

UNIVERSIDADE FEDERAL DE SERGIPE PRÓ-REITORIA DE PÓS-GRADUAÇÃO E PESQUISA PROGRAMA DE PÓS-GRADUAÇÃO EM QUÍMICA

WILLYAN FARIAS OLIVEIRA

DESENVOLVIMENTO E APLICAÇÃO DO LUMPAC 2.0 NO ESTUDO DA LUMINESCÊNCIA EM COMPOSTOS DE Eu³⁺

DEVELOPMENT AND APPLICATION OF LUMPAC 2.0 IN THE STUDY OF LUMINESCENCE IN Eu³⁺ COMPOUNDS





UNIVERSIDADE FEDERAL DE SERGIPE PRÓ-REITORIA DE PÓS-GRADUAÇÃO E PESQUISA PROGRAMA DE PÓS-GRADUAÇÃO EM QUÍMICA

WILLYAN FARIAS OLIVEIRA

DESENVOLVIMENTO E APLICAÇÃO DO LUMPAC 2.0 NO ESTUDO DA LUMINESCÊNCIA EM COMPOSTOS DE Eu³⁺

Dissertação de Mestrado apresentada ao Programa de Pós-Graduação em Química, da Universidade Federal de Sergipe, para a obtenção do título de Mestre em Química.

Orientador: Prof. Dr. José Diogo de Lisboa Dutra

DEVELOPMENT AND APPLICATION OF LUMPAC 2.0 IN THE STUDY OF LUMINESCENCE IN Eu³⁺ COMPOUNDS

Master dissertation presented to the Postgraduate Program in Chemistry of the Federal University of Sergipe to obtain MSc. in Chemistry.





SERVIÇO PÚBLICO FEDERAL MINISTÉRIO DA EDUCAÇÃO UNIVERSIDADE FEDERAL DE SERGIPE Programa de Pós-Graduação em Química PPGQ



FOLHA DE APROVAÇÃO

Membros da Comissão Julgadora da Dissertação de Mestrado de Willyan Farias Oliveira apresentada ao Programa de Pós-Graduação em Química da Universidade Federal de Sergipe em 19/02/2025.

Prof. Dr/José Diogo de Lisboa Dutra Departamento de Química - UFS

Foras. Grue uet

Prof.ª Dr.ª Iara de Fatima Gimenez Departamento de Química - UFS

Prof. Dr. Marcos Antonio Couto dos Santos Departamento de Física - UFS

RESUMO

A primeira versão do LUMPAC (LUMinescence PACkage) foi disponibilizada pelo Laboratório Pople (UFS) em 2014, com a proposta de ser um programa amigável para o estudo de propriedades luminescentes, especialmente de compostos de Eu³⁺. A implementação de novas ferramentas para o estudo teórico das propriedades de íons lantanídeos trivalentes (Ln3+) motivou o desenvolvimento da versão 2.0 do LUMPAC no presente trabalho. Dentre as novas implementações, destacam-se: possibilidade de múltiplos cálculos em paralelo, estudo de mais canais de transferência de energia (TE), cálculo das taxas de TE ligante-íon Tb3+ e renderização de orbitais moleculares para caracterização de estados excitados. Ao longo do processo de desenvolvimento, vários recursos presentes no LUMPAC 2.0 facilitaram a modelagem da TE em complexos de Eu3+, de modo que tais recursos foram validados através de diversos trabalhos publicados por nosso grupo de pesquisa. O LUMPAC 2.0 é baseado em um protocolo proposto por de Sá e colaboradores para o estudo teórico da TE em compostos de Ln³⁺. Entretanto, protocolos alternativos foram propostos recentemente: Carneiro Neto e colaboradores consideraram muito mais canais de TE, Georgieva e colaboradores contemplaram a contribuição da relaxação da geometria dos estados excitados do composto e Beltrán-Leiva e colaboradores utilizaram cálculos de fluoro e fosforescência para interpretar a TE ligante-metal. Dois complexos de Eu³⁺ foram estudados através dessas metodologias com auxílio do LUMPAC 2.0 de forma a se complementarem. Foi observado que a metodologia de Beltrán-Leiva e colaboradores forneceu taxas intraligantes úteis para as metodologias de Sá e colaboradores e Carneiro Neto e colaboradores a fim de obter melhores rendimento quânticos teóricos, entretanto, ainda carecendo de aperfeiçoamentos.

Palavras-chave: LUMPAC 2.0. Luminescência. Transferência de energia. Európio.

ABSTRACT

The first version of LUMPAC (LUMinescence PACkage) was released by the Pople Laboratory (UFS) in 2014, with the objective of being a user-friendly program for studying luminescent properties, particularly for Eu3+ compounds. The implementation of new tools for the theoretical investigation of trivalent lanthanide ion (Ln3+) properties motivated the development of version 2.0 of LUMPAC in the present work. Among the new features, the following stand out: the possibility of performing multiple parallel calculations, the study of additional energy transfer (ET) channels, the calculation of ET rates for ligand-Tb3+ systems, and the rendering of molecular orbitals for the characterization of excited states. During the development process, several features in LUMPAC 2.0 facilitated the modeling of ET in Eu3+ complexes, and these features were validated through various studies published by our research group. LUMPAC 2.0 is based on a protocol proposed by de Sá and collaborators for the theoretical study of ET in Ln3+ compounds. However, alternative protocols have been proposed recently: Carneiro Neto and collaborators considered a greater number of ET channels; Georgieva and collaborators included the contribution of excitedstate geometry relaxation of the compound; and Beltrán-Leiva and collaborators employed fluorescence and phosphorescence calculations to interpret ligand-tometal ET. Two Eu³⁺ complexes were studied using these methodologies with the support of LUMPAC 2.0 in a complementary manner. It was observed that the methodology proposed by Beltrán-Leiva and collaborators provided intraligand rates useful for the protocols by de Sá and collaborators and Carneiro Neto and collaborators to achieve better theoretical quantum yields, although improvements are still needed.

Keywords: LUMPAC 2.0. Luminescence. Energy transfer. Europium.

SUMÁRIO

CAPI	TULC) 1: INTRODUÇAO GERAL	1
1.1.	1.1. Transferência de energia ligante-metal		
1.2.	LU	Minescence PACkage (LUMPAC)	5
1.3.	Ob	jetivos	7
CAPÍ	ΓULC) 2: REVISÃO DO LUMPAC	9
2.1.	LU	MPAC 1.4.1	.12
2.2.	Pri	ncipais aplicações do LUMPAC	. 15
	ΓULC	3: METODOLOGIAS PARA ESTUDO DA TRANSFERÊNCIA D EM COMPLEXOS DE Eu³+	E
3.1.	Es	pectroscopia do íon Eu³+	. 17
3.2.	Cá	lculo das Propriedades Espectroscópicas de Complexos de Eu ³⁺	. 20
3.2	2.1.	PARÂMETROS DE INTENSIDADE TEÓRICOS	21
3.2	2.2.	MODELAGEM DA TRANSFERÊNCIA DE ENERGIA LIGANTE-METAL	23
	2.3.	TAXA DE DECAIMENTO RADIATIVO E RENDIMENTO QUÂNTICO	
3.3.	Me	etodologias	
3.3	3.1.	METODOLOGIA CLÁSSICA (de SÁ E COLABORADORES)	27
_	3.2. ARNE	METODOLOGIA DA GENERALIZAÇÃO DOS ESTADOS ACEITADORES EIRO NETO E COLABORADORES)	28
_	3.3. OLAB(METODOLOGIA DA RELAXAÇÃO DOS ESTADOS (GEORGIEVA E ORADORES)	30
• • • • • • • • • • • • • • • • • • • •	3.4. OLAB(METODOLOGIA DA FLUORO E FOSFORESCÊNCIA (BELTRÁN-LEIVA E ORADORES)	32
) 4: CODIFICAÇÃO E APLICAÇÃO DOS NOVOS RECURSOS D	
		2.0	
4.1.		vos recursos implementados	
4.2.	_	licações das novas funções	
CAPÍ	TULC) 5: APLICAÇÃO DAS METODOLOGIAS	49
5.1.	Sis	stemas estudados	. 49
5.2.	Oti	mização geométrica e cálculo dos estados excitados	. 51
5.3.	Pro	ocedimento das metodologias	. 52
5.3	3.1.	METODOLOGIA CLÁSSICA	52
5.3	3.2.	METODOLOGIA DA GENERALIZAÇÃO DOS ESTADOS EXCITADOS	53
5.3	3.3.	METODOLOGIA DA RELAXAÇÃO DOS ESTADOS	
5.3	3.4.	METODOLOGIA DA FLUORO E FOSFORESCÊNCIA	
5.4.	Re	sultados das abordagens	
5.4	4.1.	METODOLOGIA CLÁSSICA	
	4.2.	METODOLOGIA DA GENERALIZAÇÃO DOS ESTADOS EXCITADOS	
5.4	4.3.	METODOLOGIA DA RELAXAÇÃO DOS ESTADOS	69

5.4.4.	METODOLOGIA DA FLUORO E FOSFORESCÊNCIA	71
5.5. Vi	são geral dos resultados das metodologias	74
CAPÍTULO	O 6: TRABALHOS PUBLICADOS	77
CONCLUS	SÕES	89
PERSPEC	TIVAS DO TRABALHO	90
REFERÊN	CIAS	91
APÊNDIC	E	109
Manual d	lo Pacote Computacional LUMPAC – versão 2.0	109
Módulo	1 – Otimização geométrica	109
Módulo	2 – Cálculo dos estados excitados	117
Módulo	3 – Cálculo das propriedades espectroscópicas	125
Módulo	5 – Conversor de arquivos	154
Mádula	6 – Sobre o LUMPAC	158

LISTA DE FIGURAS

Figura 1 . Diagrama de Jablonski simplificado do processo de transferência de energia para o íon Eu ³⁺ 3
Figura 2. Distribuição de licenças do LUMPAC ao redor do mundo. Dados coletados no dia 25 de abril de 2024
Figura 3. Página inicial do <i>site</i> do JOYSpectra, acessada através do link http://joyspectra.website/index.php em 05 de julho de 2024
Figura 4. Interface gráfica do JOES ilustrando a determinação de dados fotofísicos
Figura 5. Página da plataforma JOEX, acessada através do link https://omasgroup.org/repository/euform.html em 05 de julho de 2024
Figura 6. Módulo 1 do LUMPAC 1.4.1 destinado às otimizações geométricas dos sistemas estudados
Figura 7. Módulo 2 do LUMPAC 1.4.1, em que é realizado o cálculo dos estados excitados
Figura 8. Módulo 3 do LUMPAC e suas divisões, onde são tratados os dados fotofísicos de compostos com Eu ³⁺
Figura 9. Espectros de emissão de dois complexos de Eu ³⁺ obtidos por Al-Busaidi <i>et al.</i> [23]
Figura 10. Diagrama de energia de Jablonski para os canais de maior probabilidade de transferência de energia segundo de Sá e colaboradores 28
Figura 11. Diagrama de Jablonski assinalando os canais de transferência de energia considerados na metodologia proposta por Carneiro Neto e colaboradores
Figura 12. Diagrama de energia de Jablonski que ilustra a modelagem da transferência de energia proposta por Georgieva e colaboradores
Figura 13 . Diagrama de energia ilustrando a modelagem da transferência de energia proposta por Beltrán-Leiva e colaboradores
Figura 14. Módulo 1 do LUMPAC 2.0, com destaque ao recurso "Compare Models"
Figura 15. Exemplo de arquivo "rmsd.txt", em que foram comparados os modelos RM1 e os Sparkle RM1, AM1, PM3 e PM6 para um complexo de Eu ³⁺ hipotético. É possível observar que, neste caso, o RM1 forneceu os menores RMSD
Figura 16. Submódulos 3.1 (a), 3.2 (b), 3.3 (c) e 3.4 (d) do programa LUMPAC 2.0
Figura 17. Módulo 4 do LUMPAC 2.0, com destaque para os recursos disponíveis

Figura 18. Utilização do módulo 5 do LUMPAC 2.0 para conversão de um arquivo de saída o MOPAC (.out) para um arquivo de entrada do Gaussian (.gjf).
Figura 19. a) Estrutura bidimensional do complexo [Eu(hfaa) ₄] b) Estrutura cristalográfica do complexo [Eu(hfaa) ₄]- (código CSD TEJSIO). c) Estrutura do complexo modelada com o Sparkle/AM1 e poliedro de coordenação correspondente
Figura 20. Espectro de absorção teórico do complexo [Eu(hfaa) ₄] calculado com o modelo INDO/S-CIS, usando a geometria Sparkle/AM1. A janela mostra as transições eletrônicas que mais contribuem para a composição do estado excitado singleto correspondente
Figura 21. Orbitais moleculares selecionados calculados com o modelo INDO/S-CIS gerados com o LUMPAC 2.0
Figura 22. Diagramas de Jablonski simplificados dos complexos a) [Eu(hfaa) ₄] ⁻ e b) [Tb(hfaa) ₄] ⁻ obtidos com o LUMPAC 2.0
Figura 23. Complexos de Eu³+ utilizados para aplicação das diferentes modelagens da transferência de energia
Figura 24 . Canais de transferência de energia e taxas intraligantes utilizadas para aplicação da metodologia clássica no LUMPAC 2.0
Figura 25 . Canais de transferência de energia e taxas intraligantes utilizadas na aplicação da metodologia da generalização dos estados excitados no LUMPAC 2.0
Figura 26 . Estruturas dos complexos Eu1 e Eu2 otimizadas com PBE1PBE/TZVP/MWB52 obtidas com o LUMPAC 2.0
Figura 27 . Espectros de absorção experimentais e teóricos dos complexos Eu1 e Eu2 calculados com os funcionais PBE1PBE e CAM-B3LYP, usando a função de base SVP e o ECP MWB52
Figura 28 . Orbitais mais importantes para a formação dos estados S ₁ e T ₁ calculados com o método TDDFT PBE1PBE/SVP/MWB52 e obtidos com o LUMPAC 2.0
Figura 29 . Orbitais mais importantes para a formação dos estados singleto excitado e tripleto de menores energias calculadas com TDDFT CAM-B3LYP/SVP/MWB52 e obtidos com o LUMPAC 2.0
Figura 30 . Complexos estudados teoricamente por nosso grupo em colaboração no trabalho publicado por Muhammad S. Khan <i>et al.</i> (2020) [8]
Figura 31 . Complexo Eu3 estudado teoricamente por nosso grupo em colaboração no trabalho publicado por Rashid Ilmi <i>et al.</i> (2020) [101]
Figura 32 . Complexo Eu4 estudado por nosso grupo em trabalho publicado por Idris Juma Al-Busaidi <i>et al.</i> (2021) [24]
Figura 33 . Complexo Eu5 estudado por nosso grupo em trabalho publicado por Rashid Ilmi <i>et al.</i> (2021) [102]

Figura 34 . Complexo [Eu(FOD) ₃ (2-Pyr) ₂] estudado por nosso grupo em trabalho publicado por Alex Santos Borges <i>et al.</i> (2021) [136]
Figura 35 . Complexos estudados por nosso grupo em trabalho publicado por Idris Juma Al-Busaidi <i>et al.</i> (2022) [23]
Figura 36 . Complexos Eu9 e Eu10 estudados por nosso grupo em trabalho publicado por Rashid Ilmi <i>et al.</i> (2022) [9]
Figura 37 . Complexos Eu11 e Eu12 que foram estudados por nosso grupo em trabalho publicado por Rashid Ilmi <i>et al.</i> (2023) [103]
Figura 38 . Complexos estudados por nosso grupo em trabalho publicado por Rashid Ilmi <i>et al.</i> (2024) [137]
Figura 39 . a) Estrutura do complexo Eu16 estudado e b) diagrama de Jablonski do complexo, destacando em azul as taxas ajustadas e em vermelho as taxas parametrizadas
Figura 40. Complexos pouco luminescentes com ligantes lausonas estudados
Figura 41 . Diagramas de energia de Jablonski do tratamento adotado para o estudo dos complexos a) [Eu(Lau) ₃ (H ₂ O) ₃] e b) [Tb(Lau) ₃ (H ₂ O) ₃]
Figura 42 . Módulo responsável pelo processo de otimização de geometria usando os modelos semiempíricos contidos no pacote computacional MOPAC.
Figura 43. Representação bidimensional do complexo [Eu(btfa) ₃ (bpy)] 110
Figura 44. Interface do LUMPAC mostrando os tipos de arquivos que podem ser usados como arquivos de entrada para a otimização de geometria
Figura 45. Arquivo .mol2 do sistema [Eu(btfa)3(bpy)] criado pelo programa Mercury
Figura 46 . Estrutura do complexo [Eu(btfa) ₃ (bpy)] montada com o programa Avogadro, explicitando todas as ligações entre íon lantanídeo e os átomos doadores dos ligantes
Figura 47. Interface do LUMPAC mostrando como integrar um executável do MOPAC ao LUMPAC
Figura 48. Editor de palavras-chaves do MOPAC no módulo de otimização de geometria
Figura 49 . Recurso Compare Models, mostrando a seleção dos modelos a serem comparados e da quantidade de núcleos lógicos para a execução dos cálculos em paralelo
Figura 50 . Arquivo rmsd.txt com os erros estimados entre a estrutura de entrada e as estruturas calculadas usando os modelos semiempíricos escolhidos 114
Figura 51 . Visualizadores de arquivos e de molécula do LUMPAC no módulo de otimização de geometria

Figura 52 . Visualização do sistema [Eu(btfa) ₃ (bpy)] e possibilidades de edição da imagem
Figura 53. Módulo responsável pelo cálculo da energia dos estados excitados dos ligantes do sistema usando o programa ORCA
Figura 54 . Interface do LUMPAC mostrando como integrar o programa ORCA ao LUMPAC e os diferentes tipos de arquivos que podem ser usados como arquivos de entrada para a execução do cálculo dos estados excitados 119
Figura 55. Editor dos parâmetros do cálculo dos estados excitados usando o ORCA
Figura 56 . Arquivo .orcinp criado pelo LUMPAC a partir do arquivo de saída do MOPAC do sistema [Eu(btfa) ₃ (bpy)]. Este arquivo será usado como arquivo de entrada para o programa ORCA
Figura 57. Arquivo .pointcharge contendo a carga pontual +3e que substituirá o íon lantanídeo
Figura 58. Visualizador de arquivos do LUMPAC mostrando o arquivo de saída criado pelo ORCA
Figura 59 . Seção do arquivo de saída .orcout contendo as energias dos orbitais moleculares, possibilitando a seleção do intervalo de orbitais para ser usado no cálculo CIS
Figura 60 . Seção do arquivo .orcout mostrando as energias calculadas dos estados singleto e tripleto, assim como as excitações individuais que formam os respectivos estados excitados
Figura 61. Módulo responsável pelo cálculo das propriedades espectroscópicas.
Figura 62. Interface do LUMPAC para inserção do espectro de emissão ou excitação, além de gerar o diagrama de cromaticidade
Figura 63 . Diagrama de cromaticidade do complexo [Eu(btfa) ₃ (bpy)] em diclorometano
Figura 64. Interface do LUMPAC ilustrando como selecionar as áreas sob as principais transições para sistemas à base do íon európio
Figura 65 . Visualizador do espectro de emissão com todas as áreas possíveis selecionadas e opções visualização do espectro
Figura 66. Interface para seleção das bandas do espectro de excitação 131
Figura 67. Submódulo do LUMPAC responsável pelo cálculo teórico dos parâmetros e intensidade
Figura 68 . Interface do LUMPAC ilustrando como calcular teoricamente os parâmetros de intensidade e as demais quantidades que podem ser adicionadas à impressão dos parâmetros de intensidade
Figura 69 . Interface do LUMPAC 2.0 para seleção do método de ajuste dos parâmetros de intensidade teóricos

Figura 70. Interface LUMPAC dedicada ao ajuste QDC
Figura 71 . Interface para inserção manual dos parâmetros QDC e atribuição do rótulo dos ligantes para avaliação da partição química dos ligantes sobre a A_{rad}
Figura 72. Interface do LUMPAC mostrando como definir os grupos dos fatores de carga e das polarizabilidades relacionados aos átomos ligantes
Figura 73 . Interface do LUMPAC para inserção manual dos valores de <i>g</i> e α
Figura 74 . Módulo responsável pelo cálculo das taxas de transferência de energia e do rendimento quântico de emissão
Figura 75 . Interface do LUMPAC mostrando como determinar as taxas de transferência de energia e o rendimento quântico de emissão a partir do arquivo de saída do ORCA e dos parâmetros de intensidade teóricos
Figura 76 . Interface para modificações de parâmetros para o cálculo das taxas de transferência de energia
Figura 77 . Arquivo Eu(btfa)3(bpy).simul contendo a parametrização das taxas de decaimento para os canais $S_1 \rightarrow T_1$, $T_1 \rightarrow S_0$ e $S_1 \rightarrow S_0$
Figura 78 . Diagrama de energia do complexo [Eu(btfa) ₃ (bpy)] fornecido pelo LUMPAC ao final do cálculo das taxas de transferência de energia
Figura 79. Arquivo de saída do LUMPAC mostrando todas as propriedades espectroscópicas calculadas
Figura 80 . Módulo responsável pelo cálculo teórico do espectro de absorção obtido pelo arquivo de saída do programa ORCA
Figura 81 . Interface do LUMPAC mostrando como obter o espectro de absorção a partir do arquivo de saída do ORCA
Figura 82 . Seção do arquivo .orcout onde as energias singleto e as forças do oscilador das transições singleto→singleto são mostradas. Estas quantidades são usadas para obter o espectro de absorção teórico
Figura 83 . Espectro de absorção criado pelo LUMPAC e opções de visualização das propriedades das excitações
Figura 84. Módulo responsável pela visualização das moléculas
Figura 85. Interface do LUMPAC para inserção do arquivo de entrada para visualização estrutural do complexo
Figura 86. Interface com as opções de geração dos orbitais moleculares 152
Figura 87 . Interface para selecionar os orbitais moleculares que serão renderizados
Figura 88. Interface com a visualização de um dado orbital molecular renderizado

Figura 89 . Interface da janela Join Images com as opções de agregamento das imagens dos orbitais
Figura 90. Módulo responsável pela conversão de arquivos
Figura 91. Opções de arquivos de entrada para o ORCA assim que selecionado o arquivo de saída para .orcinp (ORCA Input File) e clicando em Save Output File
Figura 92 . Interface do último módulo do LUMPAC, com informações dos desenvolvedores, instituição e bibliotecas usadas no desenvolvimento do LUMPAC 2.0

LISTA DE TABELAS

Tabela 1. Principais bibliotecas e suas respectivas versões utilizadas no desenvolvimento do LUMPAC 2.0
Tabela 2. RMSD calculados entre a estrutura cristalográfica do complexo [Eu(hfaa) ₄] ⁻ e a estrutura otimizada com diferentes modelos semiempíricos implementados no MOPAC, usando o módulo 1 do LUMPAC 2.0
Tabela 3. Dados fotofísicos experimentais e teóricos do complexo [Eu(hfaa) ₄] ⁻ 43
Tabela 4. Energia, <i>R</i> ∟ e transições eletrônicas de maiores contribuições para os estados excitados singleto e tripleto de menor energia do complexo [Eu(hfaa)₄]⁻.
Tabela 5. Taxas de transferência (W_{ET}) e retrotransferência (W_{BT}) de energia para cada canal de transferência e correspondente diferença de energia entre nível doador e aceitador de energia (Δ) para o complexo [Eu(hfaa) ₄] ⁻
Tabela 6. Taxas de transferência (W_{ET}) e retrotransferência (W_{BT}) de energia para cada canal de transferência e correspondente diferença de energia entre nível doador e aceitador de energia (Δ) para o complexo [Tb(hfaa) ₄] ⁻
Tabela 7. Dados experimentais dos complexos Eu1 [23] e Eu2 [9] 55
Tabela 8 . Coordenadas esféricas dos poliedros de coordenação dos complexos Eu1 e Eu2 otimizados com DFT PBE1PBE/TZVP/MWB52
Tabela 9 . Estados singleto (S_1) e tripleto (T_1) de menor energia, distância R_L e transições eletrônicas mais importantes para a formação de S_1 e T_1 calculados com a abordagem TDDFT PBE1PBE/SVP/MWB52
Tabela 10 . Taxas de transferência e retrotransferência de energia e diferença de energia entre os níveis doadores e aceitadores de energia (Δ) calculadas considerando os canais propostos pela metodologia clássica calculadas com os dados TDDFT PBE1PBE/SVP/MWB52
Tabela 11. Dados fotofísicos teóricos calculados com o LUMPAC 2.0 60
Tabela 12 . Energias singleto e tripleto de menores energias, seus RL e transições eletrônicas mais importantes na formação do estado calculadas com CAM-B3LYP
Tabela 13 . Taxas de transferência e retrotransferência de energia e diferença de energia entre os níveis doadores e aceitadores de energia (Δ) calculadas para os canais propostos pela metodologia clássica usando os dados TDDFT CAM-B3LYP/SVP/MWB52
Tabela 14 . Canais e taxas de transferência de energia por interações coulômbica (W_{ET}^{IC}) , de troca (W_{ET}^{EX}) e total (W_{ET}) e retrotransferência (W_{BT}) do complexo Eu1 calculados com dados TDDFT PBE1PBE

Tabela 15 . Canais e taxas de transferência de energia por interações coulômbica (W_{ET}^{IC}) , de troca (W_{ET}^{EX}) e total (W_{ET}) e retrotransferência (W_{BT}) do complexo Eu2 estimados com dados TDDFT PBE1PBE
Tabela 16 . Canais e taxas de transferência de energia por interações coulômbica (W_{ET}^{IC}) , de troca (W_{ET}^{EX}) e total (W_{ET}) e retrotransferência (W_{BT}) do complexo Eu1 calculados com os dados TDDFT CAM-B3LYP
Tabela 17 . Canais e taxas de transferência de energia por interações coulômbica (W_{ET}^{IC}) , de troca (W_{ET}^{EX}) e total (W_{ET}) e retrotransferência (W_{BT}) do complexo Eu2 calculados com os dados TDDFT CAM-B3LYP
Tabela 18 . Rendimentos quânticos teóricos (<i>q</i>) calculados a partir da metodologia da generalização dos estados aceitadores
Tabela 19 . Energias (cm ⁻¹) de S ₁ e T ₁ , adiabática, ZPE e final de S _{1rel} e T _{1rel} calculadas com PBE1PBE/SVP/MWB52
Tabela 20 . Energias (cm ⁻¹) de S ₁ e T ₁ , adiabáticas, ZPE e finais de S _{1rel} e T _{1rel} calculadas com CAM-B3LYP/SVP/MWB5271
Tabela 21 . Energias dos estados S ₁ e T ₁ , juntamente com as taxas de decaimento de fluorescência, fosforescência e cruzamento intersistema 71
Tabela 22 . Energias S ₁ e T ₁ e taxas de decaimento dos ligantes isolados dos complexos Eu1 e Eu2
Tabela 23 . Rendimento quântico (q) e eficiencia quântica (η) teóricos calculados com os métodos clássicos e da generalização dos estados utilizando as taxas intraligantes da metodologia da fluoro e fosforenscência calculados com PBE1PBE/ESD, comparados com os dados experimentais
Tabela 24 . Comandos relacionados com as funções de translação, rotação e zoom da estrutura visualizada (visualizador de moléculas)
Tabela 25. Conversões de arquivos que o LUMPAC pode executar 155

Dedico essa dissertação à minha família e amigos, especialmente minha mãe, que sempre me apoiou nas minhas decisões.

AGRADECIMENTOS

Primeiramente à força metafísica maior, que me manteve com saúde, resiliência e ânimo, possibilitando a continuidade e finalização do meu trabalho.

À minha família, que é meu alicerce. Mais especificamente à minha mãe, meu pai, meus irmãos, sobrinhos, primos, tios e avós. Aos amigos que estiveram presentes, compreendendo os momentos de ausência e celebrando cada pequena vitória comigo. Opto por não mencionar nomes, temendo omitir alguém, mas saibam que cada um de vocês tem um lugar especial em meu coração. Sintam-se calorosamente abraçados.

Ao Laboratório Pople de Química Computacional, ao Programa de Pós-Graduação em Química, ao Departamento de Química e à Universidade Federal de Sergipe, pela infraestrutura e ambiente que possibilitaram a realização deste trabalho.

Ao meu orientador, professores e colegas de laboratório. A ajuda de todos foi indispensável para superar os desafios dessa trajetória.

Agradeço à CAPES pelo financiamento. Sem o incentivo devido, esse trabalho nunca seria feito da maneira que se encontra.

Por fim, manifesto minha gratidão às políticas governamentais de incentivo à pesquisa. Apesar de enfrentarem cenários desafiadores e muitas vezes negligenciadas, essas políticas são essenciais para o avanço científico e para o desenvolvimento de trabalhos como este.

LISTA DE ABREVIATURAS E SIGLAS

DC Acoplamento dinâmico, do inglês "*Dynamic Coupling*" SOC Acoplamento spin-órbita, do inglês "*Spin-Orbit Coupling*"

AM1 Austin Model 1

CASSCF Campo autoconsistente do espaço ativo completo, do inglês

"Complete Active Space Self-Consistent Field"

ISC Cruzamento intersistema, do inglês "Intersystem Crossing"
ESD Dinâmica de estados excitados, do inglês "Excited States

Dynamics"

WLED Diodo emissor de luz branca, do inglês "White Light Emitting

Diode"

OLED Diodo orgânico emissor de luz, do inglês "Organic Light Emitting

Diode"

FED Dipolo elétrico forçado, do inglês "Forced Eletric Dipole"

R_L Distância entre os baricentros dos estados doador e aceitador de energia envolvidos no processo de transferência de energia

Estado excitado singleto de menor energia

S_{1rel} Estado excitado singleto de menor energia relaxado

S₀ Estado fundamental singleto

T Estado tripleto

 S_1

T₁ Estado tripleto de menor energia

T_{1rel} Estado tripleto de menor energia relaxado

g_j Fator de carga do *j-ésimo* átomo

F Fator de Franck-Condon

S_L Força do dipolo

CI Interação coulômbica direta, do inglês "Coulombic Interaction"

Eu³⁺ Íon európio trivalente

Ln³⁺ íons lantanídeos trivalentes

JO Judd-Ofelt

LUMPAC Luminescence Package

SOM Modelo simples de recobrimento, do inglês "Simple Overlap

Model"

MOPAC Molecular Package

INDO/S-CIS Negligência intermediária de sobreposição

diferencial/espectroscopia - interação de configuração simples, do inglês "Intermediate Neglect of Differential

Overlap/Spectroscopy-Configuration Interaction Singles"

^{2S+1}L_{J,MJ} Nível espectroscópico

J Número quântico do acoplamento spin-órbita
 S Número quântico do momento angular de spin total
 L Número quântico do momento angular orbital total

NTO Orbital de transição natural, do inglês "Natural Transition

Orbital"

PM3 Parametric Model 3
PM6 Parametric Model 6
PM7 Parametric Model 7

 $\Omega_{\lambda}^{\text{FED}}$ Parâmetro de intensidade de Judd-Ofelt de contribuição

exclusiva de dipolo elétrico forçado

 Ω_{λ} Parâmetros de intensidade de Judd-Ofelt

Polarizabilidade do j-ésimo átomo α_j

ŹΡΕ Ponto zero de energia, do inglês "Zero-Point Energy"

População energética do estado i η_{i}

ECP Potencial efetivo de caroço, do inglês "Effective Core Potential" Raiz quadrada do desvio quadrático médio, do inglês "Root RMSD

Mean Square Deviation"

RM1 Recife Model 1

Rendimento quântico de emissão

q ZDO Sobreposição diferencial nula, do inglês "Zero Differential

Overlap"

 W_{RT}^{S} Soma das taxas de retrotransferência de energia envolvendo o

nível singleto de menor energia

 $W_{BT}^{T\prime}$ Soma das taxas de retrotransferência de energia envolvendo o

nível tripleto de menor energia e o nível emissor ⁵D₀ do Eu³⁺

Soma das taxas de retrotransferência de energia envolvendo o W_{BT}^{T}

nível tripleto de menor energia exceto canais com o nível

emissor 5D0 do Eu3+

 W_{ET}^{S} Soma das taxas de transferência de energia envolvendo o nível

singleto de menor energia

Soma das taxas de transferência de energia envolvendo o nível $W_{BT}^{T\prime}$

tripleto de menor energia e o nível emissor 5Do do Eu3+

 W_{ET}^{T} Soma das taxas de transferência de energia envolvendo o nível

tripleto de menor energia exceto canais com o nível emissor ⁵D₀

do Eu3+

Superdeslocalizabilidade eletrofílica do j-ésimo átomo SE_{i}

Taxa de emissão não radiativa A_{nrad} A_{rad} Taxa de emissão radiativa

Taxa de retrotransferência de energia $W_{\rm BT}$ Taxa de transferência de energia W_{ET}

Taxa de transferência de energia do estado i para j W_{ii}

 W_{FT}^{IC} Taxa de transferência de energia via mecanismo de interação

coulômbica direta

 W_{ET}^{EX} Taxa de transferência de energia via mecanismo troca

Tempo de vida

TDDFT Teoria do funcional da densidade dependente do tempo, do

inglês "Time-Dependent Density Functional Theory"

DFT Teoria do funcional da densidade, do inglês "Density Functional

Theory"

TE Transferência de energia EX Troca, do inglês "Exchange"

CAPÍTULO 1: INTRODUÇÃO GERAL

1

2

4

5

6

7

8

9

10

11

12

13

14

15

16

17

18

19

20

21

22

23

24

25

26

27

28

29

30

31

32

Os lantanídeos, também conhecidos no geral como terras-raras, são um grupo de elementos químicos que têm a configuração eletrônica [Xe]4fⁿ, ou seja, estão presentes no bloco f da tabela periódica, contando com os elementos de número atômicos 57 a 71. Vale destacar que a denominação terra-rara, formalmente, contempla os elementos escândio (Z = 21) e ítrio (Z = 39). Alguns íons lantanídeos trivalentes (Ln3+) têm a particularidade de apresentar estados excitados com longos tempos de vida e exibirem bandas de luminescência estreitas devido à natureza interna e proibitiva das transições 4f-4f. Isso ocorre por conta da blindagem dos orbitais 4f do ambiente químico pelos orbitais radialmente mais externos 5s e 5p, acarretando no baixo desdobramento dos orbitais 4f [1]. Além disso, a configuração 4fⁿ proporciona uma série de níveis eletrônicos que são determinados pelos números quânticos S (momento angular de spin total), L (momento angular orbital total) e J (momento angular total). O desdobramento desses níveis, em função da simetria em torno do íon lantanídeo, leva aos chamados níveis Stark, os quais apresentam pequenas diferenças de energias entre si.

As transições 4*f*-4*f* não são permitidas pelo mecanismo de dipolo elétrico, seguindo a regra de Laporte, pois não há mudança na paridade dos estados iniciais e finais. Contudo, a partir do estudo de dados espectroscópicos de lantanídeos, van Vleck propôs em 1937 que, embora sejam proibidas, as transições 4*f*-4*f* ocorrem devido à relaxação da regra de Laporte. Tal relaxação é promovida pelo efeito da perturbação do campo ligante sobre os níveis 4*f*. Desta forma, van Vleck estimou que a natureza das transições mais intensas observadas em espectros óticos de íons lantanídeos é governada por dipolo elétrico, dipolo magnético e quadrupolo elétrico [2]. Posteriormente, em 1945, foi comprovado o fenômeno do dipolo elétrico forçado para as transições 4*f*-4*f* [3].

Devido justamente à blindagem dos orbitais 4f e às transições proibidas 4f-4f, os íons lantanídeos têm uma baixa absortividade molar, o que prejudica a excitação direta. Entretanto, em 1942, Weissman descobriu que ligantes capazes de absorver e transferir energia excitam um íon lantanídeo indiretamente [4]. Posteriormente, este fenômeno foi chamado de efeito antena [5]. O fenômeno baseia-se na transferência de energia (TE) intramolecular de níveis excitados dos ligantes para níveis aceitadores do íon lantanídeo, resultando na emissão luminescente pelo íon.

Em 1962, Brian R. Judd [6] e George S. Ofelt [7], de forma independente, propuseram modelos para descrever e prever os espectros óticos de absorção de íons lantanídeos. Como os modelos são complementares, as contribuições dadas foram chamadas de teoria de Judd-Ofelt. A teoria lida com o efeito da perturbação do campo ligante eletroestático, devido ao ambiente químico, sobre a configuração eletrônica do íon lantanídeo. Deste modo, uma mistura é "forçada" entre as configurações fundamentais e excitadas de paridade opostas. Este mecanismo é denominado de dipolo elétrico forçado, sendo descrito através dos três parâmetros de intensidade de Judd-Ofelt (Ω_{λ} , λ = 2, 4 e 6). As transições governadas pelo dipolo magnético não são tratadas pela teoria, pois não dependem de parâmetros variáveis para cada íon lantanídeo.

Desde então, a busca por ligantes mais eficientes tem sido empregada para o desenvolvimento de novos compostos com íons lantanídeos cada vez mais luminescentes. Assim, devido a essas características, compostos com íons Ln³+ encontram diversas aplicações, como em diodos orgânicos emissores de luz (OLEDs, do inglês "*Organic Light Emitting Diodes*") [8–10], *lasers* [11,12], marcadores de munição [13–15], dentre outras aplicações. Se tratando de aplicações que envolvam a emissão de fótons, o íon Eu³+ é um dos lantanídeos mais estudado na literatura pois apresenta características espectroscópicas peculiares, sendo a possibilidade de forte emissão no vermelho (610–630 nm) uma delas.

1.1. Transferência de energia ligante-metal

O mecanismo de TE ligante-íon lantanídeo ideal é iniciado através da excitação do ligante coordenado, que passa do estado S_0 (singleto fundamental) para S_1 (singleto excitado). Em seguida, a energia decai do nível S_1 para o nível T (tripleto) via cruzamento intersistema. Preferencialmente a partir nível T, ocorre a TE para os níveis aceitadores de energia do íon lantanídeo (Ln^*). O mecanismo pode ser representado simplificadamente por $S_0 \rightarrow S_1 \rightarrow T \rightarrow Ln^*$.

Entretanto, diversos outros canais de transferência são possíveis, como os decaimentos intraligantes para o estado fundamental $S_1 \rightarrow S_0$ e $T \rightarrow S_0$, que despopulam energeticamente os estados excitados e atrapalham o processo de TE para o Ln*. Além disso, cada íon lantanídeo possui níveis aceitadores diferentes. Para o Eu³⁺, os níveis aceitadores mais comuns são ⁵D₄, ⁵D₁ e ⁵D₀, em que todos podem decair energeticamente de forma não radiativa. Normalmente, apenas o nível ⁵D₀ possui a capacidade de emitir a luz característica do íon Eu³⁺, o qual é chamado de nível emissor de luminescência. Mesmo o estado tripleto sendo o que apresenta maior contribuição para a TE, o estado singleto excitado também pode contribuir na população dos níveis aceitadores. Outro fenômeno que atrapalha a população dos estados excitados dos Ln³⁺ é a retrotransferência de energia, quando os níveis aceitadores devolvem energia aos estados excitados do ligante. Um diagrama de Jablonski que ilustra todo esse processo de maneira simples está apresentado na Figura 1. Entender como todo esse mecanismo funciona possibilita que pesquisadores busquem por ligantes que transfiram energia mais eficientemente para o metal [16,17].

81 82

83

64

65

66

67

68

69

70

71

72

73

74

75

76

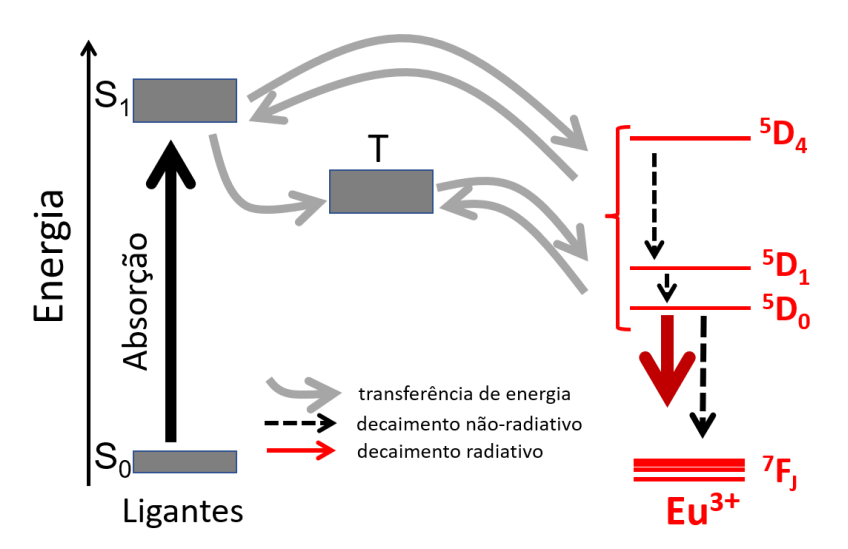
77

78

79

80

Figura 1. Diagrama de Jablonski simplificado do processo de transferência de energia para o íon Eu³⁺.



84 85

86

87

88

O processo para que o Eu³⁺ emita radiação envolve diversas etapas. Entretanto, os canais mais relevantes envolvem a TE de um dado estado T do ligante para os níveis aceitadores ⁵D₀ e ⁵D₁ do Eu³⁺. Calcular adequadamente

os estados excitados dos ligantes é uma das etapas mais importantes para o entendimento do processo de TE, visto que os níveis aceitadores do íon sofrem o efeito do ambiente químico fracamente [18,19].

Métodos quânticos devem se empregados para a obtenção de informações acerca dos estados excitados dos ligantes [8,20–24]. Neste sentido, a abordagem mais utilizada é a baseada na Teoria do Funcional da Densidade Dependente do Tempo (TDDFT, do inglês "*Time-Dependent Density Functional Theory*") [25]. A TDDFT estende as ideias básicas da Teoria do Funcional da Densidade (DFT, do inglês "*Density Functional Theory*") do estado fundamental [26] para viabilizar o cálculo de excitações eletrônicas bem como de outros fenômenos dependentes do tempo. O modelo semiempírico quântico INDO/S-CIS (do inglês "*Intermediate Neglect of Differential Overlap/Spectroscopy-Configuration Interaction Singles*"), o qual é baseada no método de interação de configurações simples [27,28], também tem sido aplicado a extração de informações dos estados excitados dos ligantes.

A literatura dispõe de quatro metodologias que aplicam de modo distinto os dados calculados para os estados excitados no estudo da TE. Estas metodologias foram propostas pelos seguintes pesquisadores: i) de Sá e colaboradores [18], ii) Carneiro Neto e colaboradores [29], iii) Georgieva e colaboradores [30,31] e iv) Beltrán-Leiva e colaboradores [32–34].

Todas essas metodologias estão descritas detalhadamente no **Capítulo 3**, mas, de forma resumida, a abordagem proposta por de Sá e colaboradores fundamenta o estudo teórico da TE em compostos de Ln³+ através de um protocolo. A etapa inicial consiste na otimização da geometria do composto estudado, seguida pelo cálculo dos estados excitados S₁ e T₁ (tripleto de menor energia). Informações extraídas dos estados excitados são então aplicadas no cálculo das taxas de TE ligante-metal, usando modelos propostos por Malta e colaboradores [35,36]. Por fim, o rendimento quântico de emissão teórico é determinado. Entretanto, nesta metodologia, apenas os níveis aceitadores 5D_4 , 5D_1 e 5D_0 do íon Eu³+ são considerados.

Já na abordagem proposta por Carneiro Neto e colaboradores, outros canais de transferência são adicionados com a introdução de mais níveis aceitadores do íon Ln³+. Além disso, os canais de TE entre todos os níveis aceitadores e doadores são considerados e taxas intraligantes são calculadas. No tratamento de Georgieva e colaboradores, a mudança geométrica do composto (causada pela nova configuração eletrônica após a absorção de energia pelos ligantes) é mais rápida que a TE ligante-metal é levada em consideração na modelagem da TE. Por fim, Beltrán-Leiva e colaboradores utilizam cálculo das taxas de fluoro e fosforescência dos estados singleto e tripleto dos ligantes para interpretar a TE para o Ln³+. Essas duas últimas metodologias não se propõem a calcular taxas de TE ligante-metal, apenas interpretam qualitativamente a possibilidade de TE para justificar a luminescência dos compostos.

1.2. LUMinescence PACkage (LUMPAC)

Até meados de 1990, a descoberta de novos compostos luminescentes com lantanídeos se baseava em regras e conceitos gerais, acarretando em descobertas através do empirismo experimental [17]. Entretanto, a implementação de ferramentas matemáticas em *softwares* aliada com a grande quantidade de dados luminescentes experimentais, juntamente com o desenvolvimento conceitos de espectroscopia de lantanídeos, viabilizaram o estudo de compostos com lantanídeos teoricamente [16,37].

Até o ano de 2008, não havia um *software* voltado para o estudo da TE disponível para a comunidade acadêmica. Deu-se então início ao desenvolvimento de um *software* para tal finalidade no Laboratório Pople de Química Computacional (Universidade Federal de Sergipe), o qual foi denominado de LUMPAC (*LUMinescence PACkage*). A primeira versão do LUMPAC foi publicada por Dutra, Freire e Bispo, no qual a metodologia proposta por Sá e colaboradores foi implementada [38]. O LUMPAC consiste em um *software* de fácil uso que permite o cálculo teórico de propriedades luminescentes de complexos de lantanídeo, especialmente compostos contendo o íon Eu³⁺.

Desde seu lançamento, o LUMPAC já foi aplicado por grupos de pesquisa situados em diversos países. Como exemplo, o programa foi usado para auxiliar na interpretação de propriedades espectroscópicas de compostos de Eu³⁺ que foram utilizados com as mais diversas finalidades: polímeros luminescentes [39–

41], sensores de agrotóxico [42], potencial de aplicação em telas [24,43–49], OLEDs [9,50–54], potencial diodos emissores de luz branca (WLED, do inglês "White Light Emitting Diode") [55–58], marcadores de munição e forense [14,59,60], potenciais corantes em bioimagem e marcadores biológicos [61–68], potenciais nanotermômetros [69], termossensores [70,71], membrana com potencial em aplicação em tratamento de doenças de pele [72], marcador de frescor de alimentos [73], potenciais lasers [74], potenciais enantisseletores [75].

Apesar da importância assumida pelo LUMPAC, é importante destacar que a versão atual conta com alguns aspectos passíveis de melhoramento. Por exemplo, o LUMPAC permite apenas a inclusão de um dado estado excitado singleto e um dado estado tripleto dos ligantes, sendo que há trabalhos na literatura em que mais estados foram incluídos na modelagem da TE. A inclusão de mais estados excitados viabiliza uma descrição teórica mais sofisticada do fenômeno de TE, melhorando assim a descrição das observações experimentais. Em adição, o LUMPAC calcula as taxas de TE ligante-metal considerando alguns poucos estados aceitadores do íon Eu³+. Como consequência, estas limitações impedem que outras metodologias além da proposta por de Sá e colaboradores sejam aplicadas.

Através de informações fornecidas por métodos mecânico-quânticos, como os orbitais moleculares, é possível caracterizar as regiões moleculares mais relevantes para uma dada excitação eletrônica ou mesmo para um certo canal de TE ligante-metal. A versão corrente do LUMPAC não fornece meios para auxiliar o usuário neste quesito. Além disso, esta versão não possibilita o tratamento de múltiplos sistemas de uma só vez com foco em produtividade. O visualizador de moléculas também não permite a personalização da molécula e nem a exportação de imagens com elevada qualidade.

As limitações apontadas na versão atual do LUMPAC, bem como a necessidade de implementar novas interpretações na área da espectroscopia de lantanídeos, motivaram o desenvolvimento de uma nova versão do LUMPAC. Originalmente, o LUMPAC foi programado usando a linguagem de programação C++ a qual, apesar de ser bastante poderosa, apresenta uma longa curva de aprendizado. A nova versão do LUMPAC foi completamente reescrita usando a linguagem Python. A escolha desta linguagem deu-se pelo fato dela seguir em

ascensão no meio acadêmico, além de ser uma linguagem acessível, de natureza aberta e gratuita, sendo compatível com diversos sistemas operacionais e com uma enorme quantidade de bibliotecas. Devido à migração do código, foi possível estender a equipe responsável pela manutenção do LUMPAC.

Deste modo, a codificação do LUMPAC em Python permitiu a implementação de novas funcionalidades como: visualizador da estrutura 3D mais avançado e renderização dos orbitais moleculares das estruturas; possibilidade de escolha de canais específicos que devem ser incluídos no processo de TE; dentre outras funções.

1.3. Objetivos

Diante do exposto, este trabalho tem como objetivo principal desenvolver a segunda versão do pacote computacional LUMPAC e aplicar diferentes tratamentos teóricos usados no processo de TE em complexos de Eu³⁺ com os aperfeiçoamentos do *software*. Como objetivos específicos, destacam-se:

- Implementar novas funcionalidades ao LUMPAC, criando a versão 2.0;
- Estudar as metodologias de Sá e colaboradores, Carneiro Neto e colaboradores, Georgieva e colaboradores, e Beltrán-Leiva e colaboradores, para tratamentos e cálculos de TE em complexos de íons lantanídeos;
- Encontrar pontos convergentes entre as metodologias e assim propor meios de estudá-las através do LUMPAC 2.0;
- Desenvolver trabalhos em colaboração com pesquisadores da área experimental, aplicando as novas ferramentas que serão implementadas no LUMPAC.

O presente trabalho segue a seguinte estrutura: no **Capítulo 2**, está descrita uma revisão do LUMPAC, onde se fez um breve levantamento da sua utilização desde o lançamento em 2014. É salientado em que contexto o programa foi utilizado por meio dos artigos científicos que o citaram. Além disso, as funções do LUMPAC 1.4.1 (versão corrente) são apresentadas. O **Capítulo 3** é dedicado

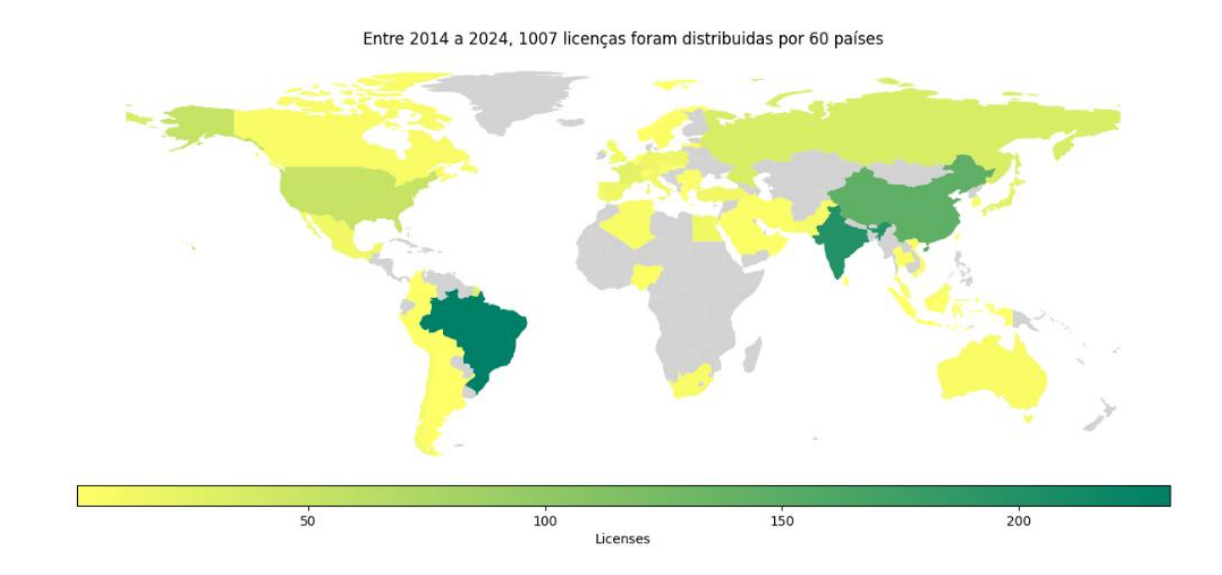
à apresentação da fundamentação teórica da espectroscopia do íon Eu³+ e do processo de TE ligante-metal. As quatro metodologias mencionadas para o estudo da TE estão detalhadas no **Capítulo 3**. O processo de codificação e os novos recursos disponíveis no programa LUMPAC 2.0 estão apresentados no **Capítulo 4**. Além disso, através de um estudo de caso, a utilização do novo LUMPAC em trabalhos teóricos-experimentais é demonstrada. No **Capítulo 5** estão apresentados o procedimento e os resultados obtidos com a aplicação das quatro metodologias. No **Capítulo 6**, são descritos os trabalhos publicados que motivaram o desenvolvimento e aplicaram os novos recursos do LUMPAC 2.0. Por fim, um tutorial completo do LUMPAC 2.0 está disponibilizado no **Apêndice**.

CAPÍTULO 2: REVISÃO DO LUMPAC

Neste capítulo estão apresentadas as funções do LUMPAC 1.4.1, a versão mais recente disponibilizada, além das várias aplicações do LUMPAC pela academia baseadas em artigos publicados desde seu lançamento.

O LUMPAC já conta com mais de 1000 licenças distribuídas por mais de 60 diferentes países. Na **Figura 2** é possível observar que a Índia, a China e o Brasil concentram mais de 60% dessas licenças. Depois desses três países, os Estados Unidos e a Rússia aparecem com 53 e 35 licenças, respectivamente. Contudo, não se pode deixar de reconhecer a disseminação do uso do LUMPAC por todo o mundo.

Figura 2. Distribuição de licenças do LUMPAC ao redor do mundo. Dados coletados no dia 25 de abril de 2024.

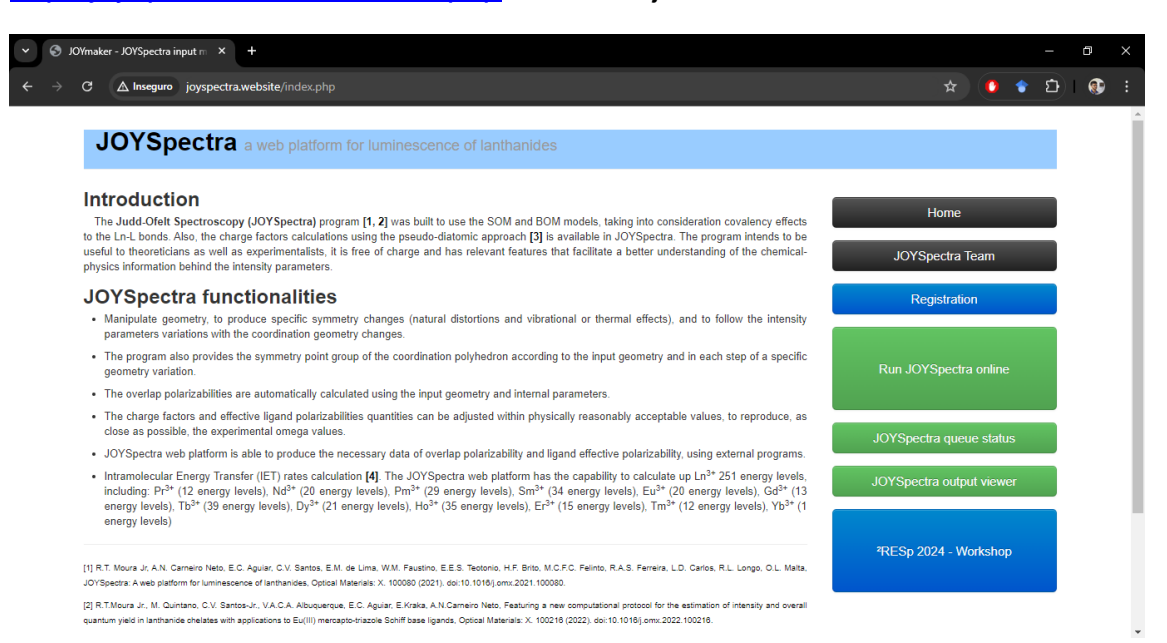


Além disso, o interesse no estudo de propriedades luminescentes de lantanídeos vem crescendo no meio acadêmico na última década. Sabe-se que esse aumento não está diretamente ligado ao uso do programa LUMPAC. Contudo, é perceptível que o pioneirismo do LUMPAC estimulou o desenvolvimento de outros programas com aplicabilidades similares como é o caso do JOYSpectra, JOES e o JOEX.

O JOYSpectra, desenvolvido por Moura et al. [76], foi disponibilizado em 2021. Trata-se de uma plataforma web (Figura 3) gratuita que utiliza

fundamentos teóricos e matemáticos semelhantes àqueles utilizados no LUMPAC para o cálculo das propriedades luminescentes de sistemas contendo íons Ln³+. Os usuários da plataforma, a princípio, não precisam ter recursos computacionais próprios, uma vez que os cálculos submetidos à plataforma são executados em dois computadores dedicados e os arquivos de saída são enviados por *e-mail* para o usuário. Entretanto, há a necessidade do fornecimento de vários dados externos, como por exemplo, coordenadas cartesianas do poliedro de coordenação, energia dos estados excitados singleto e tripleto e a distância entre o centro doador e aceitador de energia (*R*_L). A extração dessas informações demanda certo poder computacional.

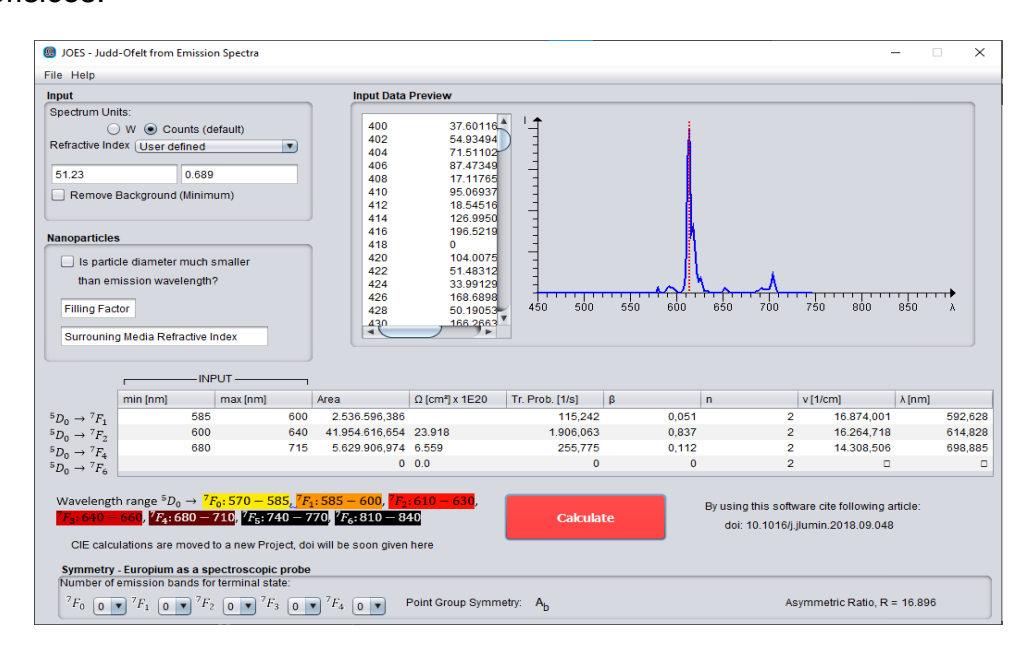
Figura 3. Página inicial do *site* do JOYSpectra, acessada através do link http://joyspectra.website/index.php em 05 de julho de 2024.



O JOES (*Judd-Ofelt from Emission Spectra*), desenvolvido em 2019 por Ćirić et al. [77], é um *software* gratuito de código aberto e de fácil manuseio desenvolvido usando a linguagem de programação JAVA. O JOES é focado apenas no cálculo dos parâmetros de intensidade de Judd-Ofelt e de quantidades derivadas do espectro de emissão de sistemas contendo Eu³⁺, como decaimentos radiativos, tempos de vida, eficiência quântica e de sensibilização. O JOES não é voltado à determinação de propriedades teóricas como taxas de transferência de energia ligante-metal e de rendimento quântico.

A **Figura 4** ilustra a determinação de propriedades fotofísicas de um complexo de Eu³⁺ usando o JOES, a partir de dados experimentais como: tempo de vida de decaimento observado e espectro de emissão.

Figura 4. Interface gráfica do JOES ilustrando a determinação de dados fotofísicos.



O JOEX, desenvolvido por Ćirić, Marciniak e Dramićanin [78], é uma plataforma web (**Figura 5**) que permite o cálculo dos parâmetros de intensidade a partir de dados do espectro de excitação. Trata-se de uma metodologia interessante, pois permite que os parâmetros de intensidade sejam calculados para sistemas que não apresentam o espectro de emissão medido. Para isso, os dados utilizados são referentes às transições ${}^7F_0 \rightarrow [{}^5D_4, {}^5L_6, {}^5D_2 \, e\, {}^5D_1]$, sendo eles: i) os índices de refração do meio para cada comprimento de onda de excitação; ii) baricentros dos comprimentos de onda das transições em nanômetros e; iii) intensidade de cada transição. Os autores explicam que a transição ${}^7F_0 \rightarrow {}^5D_1$ é constante, servindo de calibração na determinação de Ω_2 (${}^7F_0 \rightarrow {}^5D_2$), Ω_4 (${}^7F_0 \rightarrow {}^5D_4$) e Ω_6 (${}^7F_0 \rightarrow {}^5L_6$). Vale destacar que a versão 2.0 do LUMPAC traz essa metodologia implementada de maneira mais otimizada, em que os baricentros dos comprimentos de onda e as intensidades integradas são determinadas diretamente do espectro de excitação.

Figura 5. Página da plataforma JOEX, acessada através do link https://omasgroup.org/repository/euform.html em 05 de julho de 2024.

← → ♂ 25 omasgroup.org/re	pository/euform.html			 호 화 (* 호) (*)
	Judo	d-Ofelt from Eu ³⁺ excitat	ion spectrum	
		The app is under GPLv3 license		
	Refractive index	2 Barycenter wavelengths [nm]	3 Integrated Intensities [a.u.]	
	n(364 nm) =	$\lambda(^5D_4) =$	$I(^5D_4) =$	
	n(397 nm) =	$\lambda(^5L_6) =$	$I(^5L_6) =$	
	n(465 nm) =	$\lambda(^5D_2) =$	$I(^5D_2) =$	
	n(526 nm) =	$\lambda(^5D_1) =$	$I(^5D_1) =$	
		Calculate		

O LUMPAC, de modo indireto, contribuiu para o desenvolvimento e uso desses outros programas e metodologias pela comunidade científica que estuda sistemas contendo lantanídeos.

2.1. LUMPAC 1.4.1

A versão mais recente do LUMPAC conta com diversas funções para o estudo da luminescência de complexos de íons lantanídeos. As funções e módulos estão explicados detalhadamente no manual do programa, disponível no site https://lumpac.pro.br/. Resumidamente, o LUMPAC é estruturado em módulos, os quais têm as seguintes funções:

O módulo 1 é responsável pela otimização geométrica, através do *software* MOPAC (*Molecular Package*) [79] acoplado, sendo possível otimizar as geometrias usando com modelos semiempíricos (**Figura 6**). É possível otimizar a geometria de qualquer composto de íons lantanídeos trivalentes que tenham parâmetros inseridos no RM1 [80] e nos modelos baseados na aproximação Sparkle: RM1 [81], AM1 [82], PM3 [83], PM6 [84] e PM7 [85].

No módulo 2, os estados excitados são calculados com a ajuda do *software* ORCA [17] (**Figura 7**). É possível executar cálculos para determinar a energia dos estados excitados singleto e tripleto dos ligantes coordenados através do modelo semiempírico INDO/S-CIS, por padrão. O módulo permite determinar a quantidade de orbitais ocupados e virtuais que serão incluídos no procedimento de interação de configurações simples.

Figura 6. Módulo 1 do LUMPAC 1.4.1 destinado às otimizações geométricas dos sistemas estudados.

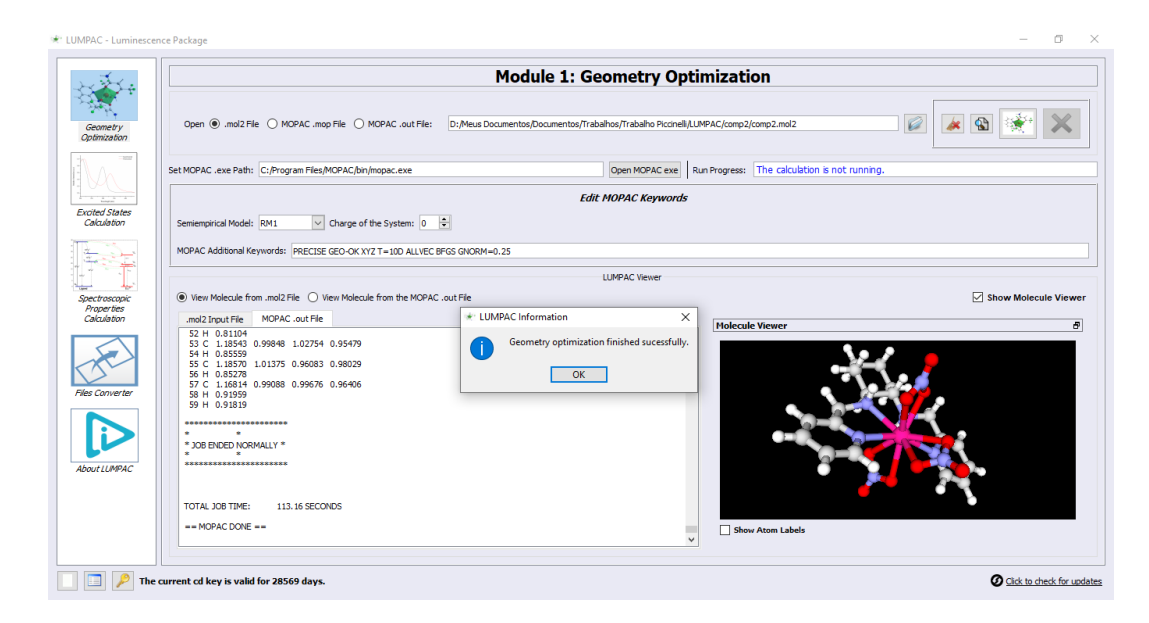
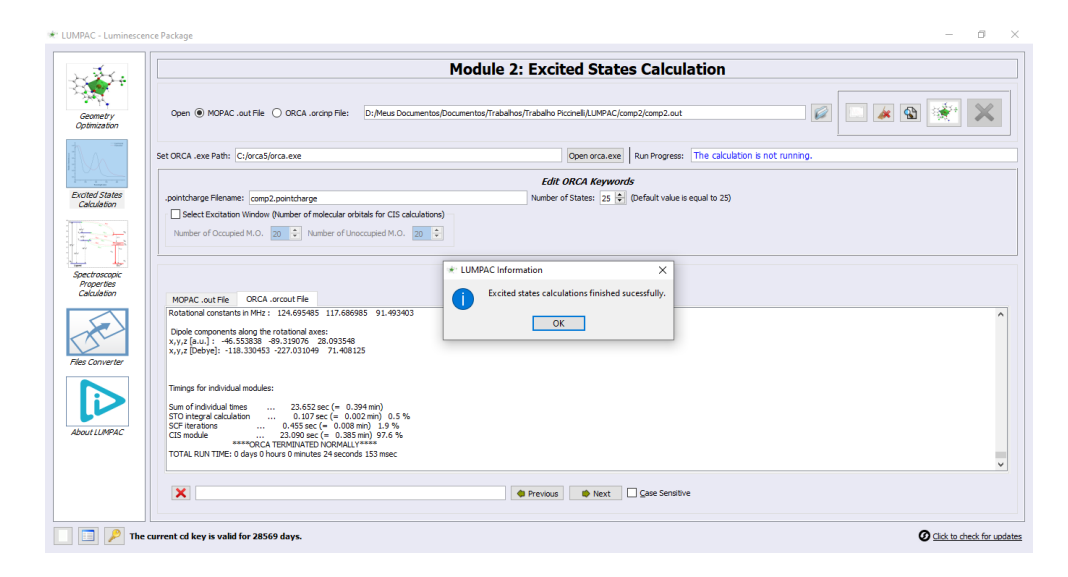


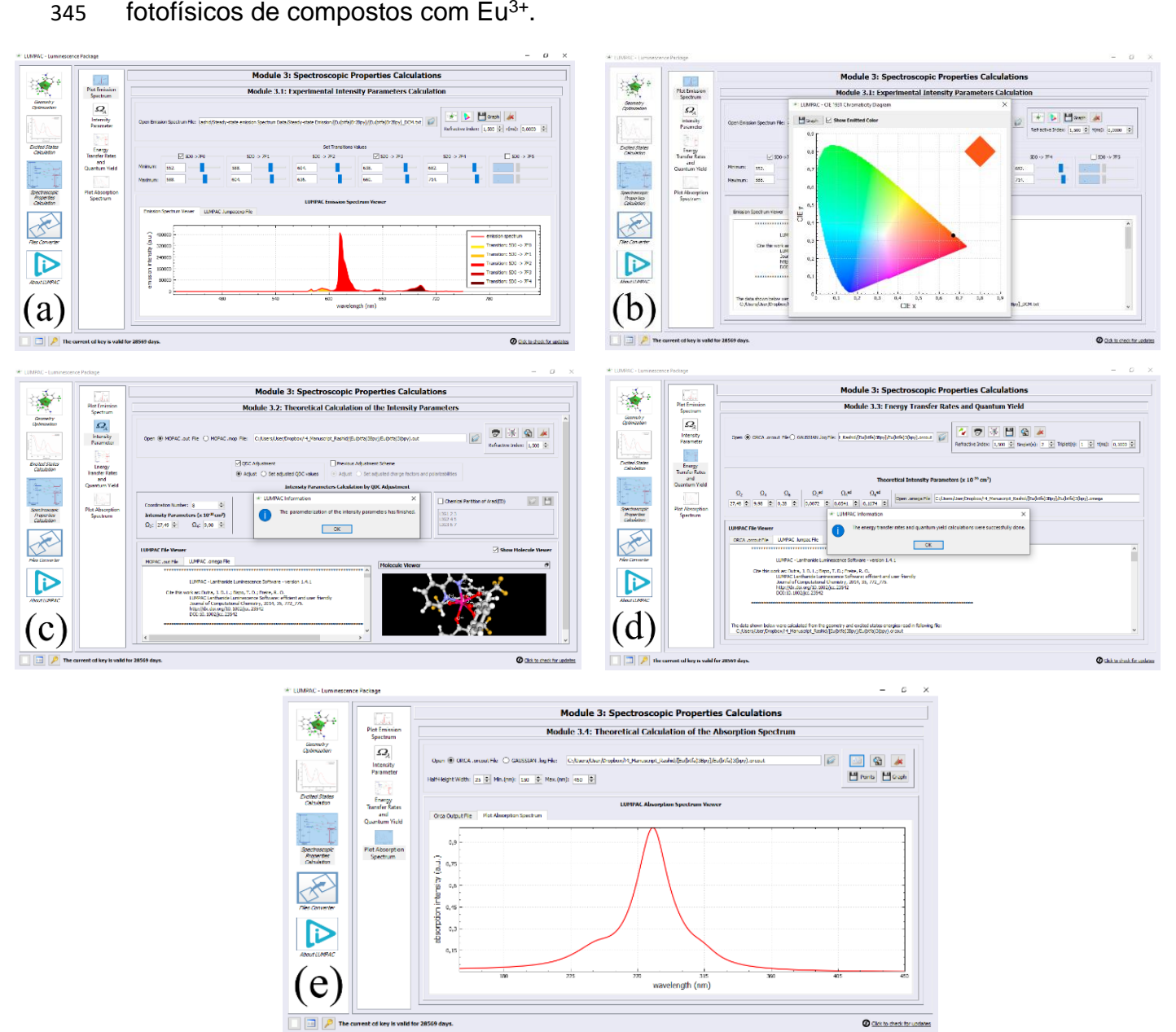
Figura 7. Módulo 2 do LUMPAC 1.4.1, em que é realizado o cálculo dos estados excitados.



O módulo 3 foi projetado para o cálculo das propriedades espectroscópicas, sendo dividido em submódulos. O submódulo 3.1 é exclusivo para íons Eu^{3+} , através do qual é possível determinar, com a ajuda de dados experimentais, as seguintes propriedades: parâmetros de intensidade de Judd-Ofelt (JO) Ω_2 e Ω_4 , taxa de decaimento radiativo (A_{rad}) e não radiativo (A_{nrad}) e, diagrama de cromaticidade CIE, usando o espectro de emissão e o tempo de vida de emissão (τ) experimentais do sistema estudado (**Figura 8a** e **8b**). No submódulo 3.2, é

possível calcular os parâmetros de JO (Ω_2 , Ω_4 e Ω_6) e A_{rad} teóricos, usando como referência os parâmetros de JO experimentais (**Figura 8c**). O submódulo 3.3 permite o cálculo das taxas de transferência e retrotransferência de energia (W_{ET} e W_{BT} , respectivamente) entre os níveis excitados dos ligantes e os níveis aceitadores do Eu³⁺ (**Figura 8d**). Por fim, no submódulo 3.4 é possível esboçar o espectro de absorção do complexo através dos dados dos estados excitados (**Figura 8e**).

Figura 8. Módulo 3 do LUMPAC e suas divisões, onde são tratados os dados fotofísicos de compostos com Eu³⁺.



Uma das funcionalidades mais interessantes do LUMPAC é a possibilidade de calcular os parâmetros de intensidade de Judd-Ofelt (Ω_2 , Ω_4 e Ω_6) utilizando somente três parâmetros ajustáveis (Q, D e C) com funções de onda semiempíricas, por meio do modelo QDC [86]. O procedimento de ajuste QDC é vantajoso, pois unifica as quantidades derivadas de uma dada geometria do composto, o que inclui um esquema proposto pelo nosso grupo de pesquisa, em que A_{rad} pode ser dividida em termos dos efeitos dos ligantes [86].

O último módulo é um conversor de diversos arquivos úteis para o LUMPAC. Os módulos 1 e 2 são executados com auxílio de softwares de terceiros, mas livres e gratuitos e, no caso do MOPAC, também aberto desde 2022. Os módulos 3 e 4 são totalmente calculados pelo próprio LUMPAC, em que o módulo 3 utiliza o método proposto por Malta e colaboradores [35,36].

2.2. Principais aplicações do LUMPAC

347

348

349

350

351

352

353

354

355

356

357

358

359

360

361

362

363

364

365

366

367

368

369

370

371

372

373

374

375

376

377

378

Desde o lançamento do LUMPAC em 2014, diversos pesquisadores do mundo inteiro fizeram uso do programa para os mais diversos objetivos. A seguir será apresentada uma revisão com o propósito de ilustrar alguns trabalhos que citaram o LUMPAC, desde seu lançamento até agosto de 2023. Para tanto, apenas trabalhos publicados em periódicos foram selecionados. Com o levantamento, será possível notar a gama de áreas e contextos nos quais o LUMPAC foi utilizado no meio acadêmico.

Dentre os mais de 200 artigos que citaram o LUMPAC, há trabalhos em que os autores utilizaram todos ou alguns dos módulos do programa. Por exemplo, Santos et al. [87] salientaram o uso do LUMPAC desde o cálculo da geometria do estado fundamental, até o cálculo de todas as propriedades fotofísicas para estudar propriedades luminescentes em filmes finos de estruturas metalorgânicas. Em outros estudos, foram feitos usos pontuais como para a otimização geométrica [73,75,88-91] (módulo 1), para o cálculo dos estados excitados [92,93] (módulo 2) e de taxas de transferência de energia [94,95], de decaimento radiativo e não radiativo [56], rendimento quântico teórico [96,97] (módulo 3) dentre outras quantidades. Vários trabalhos salientaram que o LUMPAC é de fácil compreensão, operação e importante no estudo da transferência de energia em compostos de Eu³⁺ [17,98,99]. A análise dos

trabalhos que citaram o LUMPAC revelou que o cálculo dos parâmetros de intensidade de Judd-Ofelt (Ω_2 e Ω_4 experimentais ou Ω_2 , Ω_4 e Ω_6 teóricos) consiste na principal finalidade dada ao programa, seguida por, em sequência, pelos seguintes cálculos: A_{rad} e A_{nrad} , e W_{ET} e W_{BT} , eficiência quântica, otimização de geometria, rendimento quântico, estados excitados, diagrama de cromaticidade e parâmetros do modelo QDC.

Diversas versões do LUMPAC foram utilizadas nos trabalhos citados, contudo, vários artigos não especificaram qual a versão foi utilizada. A obtenção do diagrama de cromaticidade por coordenadas CIE, a partir do espectro de emissão do composto, foi a última função inserida no LUMPAC, adicionada na versão atual 1.4.1, a qual foi lançada em 2021. Esse pode ser o motivo de ainda não estar sendo utilizada tanto quanto outras funções. Como os parâmetros *QDC*, que ainda são de conhecimento incipiente no meio acadêmico, isso explica a sua pequena exploração nos trabalhos. Em vários trabalhos, a concordância entre os dados calculados com o LUMPAC com os dados experimentais foi salientada, mostrando assim, a acurácia do LUMPAC em diferentes contextos. Diante do exposto, é possível observar a grande serventia do LUMPAC atuando como um dos protagonistas para o estudo teórico da luminescência principalmente em compostos de Eu³⁺.

CAPÍTULO 3: METODOLOGIAS PARA ESTUDO DA TRANSFERÊNCIA DE ENERGIA EM COMPLEXOS DE Eu³⁺

3.1. Espectroscopia do íon Eu³⁺

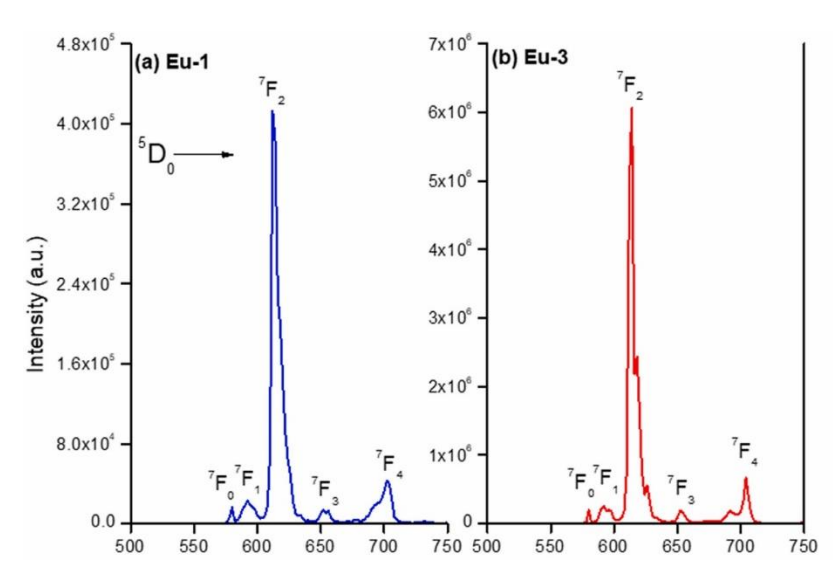
O európio (Eu) é o sétimo elemento da série dos lantanídeos, possuindo 63 elétrons ao total, dos quais 54 estão em camadas fechadas tal qual o xenônio, 2 elétrons no orbital 6s e os 7 elétrons restantes ocupam os orbitais 4f. O íon Eu³⁺ é formado a partir da perda de 2 elétrons do orbital 6s e 1 elétron do orbital 4f, levando à configuração eletrônica [Xe]4f6. A configuração eletrônica de valência f6 fornece 3003 microestados ($^{2S+1}$ LJ,MJ). A degenerescência dos microestados é removida a partir de perturbações provocadas pela repulsão eletrônica entre os elétrons 4f7, pelo acoplamento spin-órbita e pelo campo cristalino causado pelo ambiente químico. Os microestados do estado fundamental do Eu³⁺ são aqueles pertencentes ao nível 7 FJ, com J = 0-6. Observando o íon livre, a energia desses níveis varia em 4992 cm⁻¹, do nível de menor (7 Fo) ao de maior energia (7 F6). Os níveis excitados de menor energia espectroscopicamente relevantes são 5 Do (17227 cm⁻¹), 5 Do (18973 cm⁻¹), 5 Do (21445 cm⁻¹), 5 Do (24335 cm⁻¹), 5 L6 (25125 cm⁻¹), 5 L7 (26177 cm⁻¹), 5 G2 (26269 cm⁻¹), 5 G3 (26493 cm⁻¹), 5 G4 (26611 cm⁻¹), 5 G5 e 5 G6 (26642 cm⁻¹), 5 L8 (27095 cm⁻¹), 5 D4 (27583 cm⁻¹), dentre outros [100].

As diversas aplicações que o íon Eu³+ apresenta são motivadas por sua luminescência especial. A luminescência é um processo de emissão de luz que depende da natureza química de uma substância e que envolve níveis de energias quantizados. É um fenômeno que ocorre por meio de diversos processos em um material como: i) na fotoluminescência, fótons são absorbidos pelo material e então fótons de menor energia são emitidos; ii) a eletroluminescência envolve transformação de energia elétrica ou campo elétrico em fótons; iii) na quimioluminescência, há emissão de luz através de reações químicas e; iv) na termoluminescência, energia térmica (vibracional) é convertida em fótons. De modo geral, a luminescência pode ser caracterizada por dois mecanismos: fluorescência e fosforescência, no qual o primeiro é um processo rápido de emissão permitido por spin e o segundo é um processo lento proibido por spin [17].

A **Figura 9** mostra dois exemplos ordinários de espectros de emissão de complexos de Eu³⁺, estudados por Al Busaidi *et al.* [23]. É possível observar que

os decaimentos responsáveis pela luminescência do Eu³+ são do tipo $^5D_0 \rightarrow ^7F_J$, em que J = 0-4. Entretanto, os decaimentos $^5D_0 \rightarrow ^7F_5$ e $^5D_0 \rightarrow ^7F_6$ também participam do processo de luminescência, mas, por limitação dos equipamentos, comumente não é detectada [100]. Os níveis 5D_1 , 5D_2 e 5D_3 raramente atuam como níveis emissores, sendo o nível 5D_0 o principal emissor de radiação [100]. Devido aos níveis de energia do Eu³+ não variar significativamente com a mudança de ambiente químico, os comprimentos de onda característicos das transições são relativamente constantes, o que resulta em um espectro típico para o Eu³+.

Figura 9. Espectros de emissão de dois complexos de Eu³⁺ obtidos por Al-Busaidi *et al.* [23].



Fonte: Al-Busaidi et al. (2022) [23].

As transições observadas nos espectros de emissão de sistemas com Eu³⁺ são governadas majoritariamente por dipolo elétrico forçado, ou seja, causado pelo efeito do campo ligante que desdobra os níveis 4*f*, relaxando a regra de seleção de Laporte [100]. Isto é, são transições eletrônicas em que envolve a inversão de paridade (de par para ímpar ou vice-versa) e segue um padrão linear, influenciado pelo campo ligante que permite essas transições.

As transições ${}^5D_0 \rightarrow {}^7F_J$ com J=0, 3 e 5 são proibidas de acordo com a teoria de Judd-Ofelt, entretanto, ocorrem devido à quebra da regra de seleção de Laporte. A transição ${}^5D_0 \rightarrow {}^7F_0$ (570–585 nm) é a transição 4F_J de menor largura de banda em espectros de Eu³⁺ devido à sua forte proibição. Uma explicação

para a ocorrência da transição ${}^5D_0 \rightarrow {}^7F_0$ é a mistura de J, em que uma mistura do estado 7F_0 com estados 7F_J (J=2, 4 e 6) é provocada pelo campo ligante [100]. Outra explicação está na mistura de estados de transferência de carga nas funções de onda da configuração $4f^6$. Os estados de transferência de carga de baixa energia causam efeitos de campo ligantes fortes, que por sua vez aumentam a mistura de J. A presença de ${}^5D_0 \rightarrow {}^7F_0$ está relacionada a uma baixa simetria do poliedro de coordenação ao Eu ${}^3+$ (especialmente C_{nv} , C_n ou C_s) [100].

A transição ${}^5D_0 \rightarrow {}^7F_3$ (640–660 nm) também é fraca no geral, apresentando maiores intensidades em compostos em que há grandes misturas de J e fortes perturbações do campo cristalino [100]. Por fim, a transição ${}^5D_0 \rightarrow {}^7F_5$ (740–770 nm) é pouco discutida devido sua dificuldade de obtenção em espectrofluorímetros comuns [100]. Como as demais transições proibidas, apresenta baixa intensidade.

De todas as transições luminescentes do Eu^{3+} , apenas o decaimento $^5D_0 \rightarrow ^7F_1$ (585–600 nm) não é governado por dipolo elétrico, sendo, nesse caso, governado por dipolo magnético. As transições por dipolo magnético não dependem do ambiente químico [100]. Assim, tomando a transição $^5D_0 \rightarrow ^7F_1$ como referência, é possível estimar os parâmetros de intensidade de Judd-Ofelt a partir do espectro de emissão de compostos de Eu^{3+} . Dependendo da simetria do poliedro, diferentes quantidades de picos estão relacionados à transição $^5D_0 \rightarrow ^7F_1$ [100]. Nos espectros de compostos de Eu^{3+} com centro de inversão e altas simetrias, a intensidade da emissão da transição $^5D_0 \rightarrow ^7F_1$ tende a ser mais acentuada que das demais transições.

A transição ${}^5D_0 \rightarrow {}^7F_2$ (610–630 nm), responsável pela luminescência vermelha típica do Eu³+, é a mais influenciada pela simetria do poliedro do Eu³+ e pela natureza dos ligantes, quando comparada com as demais transições de dipolo elétrico. Deste modo, esta transição sofre bastante variação do perfil e intensidade, sendo denominada de transição hipersensível. Embora a transição ${}^5D_0 \rightarrow {}^7F_2$ seja permitida para o mecanismo de quadrupolo elétrico, sua intensidade é muito maior que os valores esperados para transições governadas par este mecanismo [100]. O parâmetro de intensidade Ω_2 é determinado por esta transição. Comumente, compostos de Eu³+ com ligantes β-dicetonatos têm altas intensidades para a transição ${}^5D_0 \rightarrow {}^7F_2$ [8,9,106–108,23,24,54,101–105], os

quais são ligantes que apresentam altas polarizabilidades quando ligados. Outro fator notável para sua maior intensidade deve-se à baixa simetria do ambiente do Eu^{3+} [100]. Por outro lado, quando a intensidade da transição $^5D_0 \rightarrow ^7F_2$ é baixa, a luminescência do composto é dominada pelo decaimento envolvendo outras transições, levando à emissão de outras cores, como o laranja e rosa [109–111].

A transição ${}^5D_0 \rightarrow {}^7F_4$ (680–710 nm) é permitida pela regra de seleção da teoria de Judd-Ofelt, mas não é governada por quadrupolo. Além disso, como a transição é detectada em um intervalo de comprimentos de onda maiores, pode ocorrer problemas na determinação em vários equipamentos, exigindo correções. É a transição que determina o parâmetro de intensidade Ω_4 e, tal como a transição ${}^5D_0 \rightarrow {}^7F_2$, sofre influência da simetria do ambiente químico do Eu $^{3+}$ além da natureza química dos quelatos, sendo mais intensificada em simetrias D_{4d} [100].

Por fim, semelhante à transição ${}^5D_0 \rightarrow {}^7F_5$, a transição ${}^5D_0 \rightarrow {}^7F_6$ (810–840 nm) é pouco discutida por conta da sua dificuldade de obtenção e apresenta baixas intensidades, exceto em situações raras [100].

3.2. Cálculo das Propriedades Espectroscópicas de Complexos de Eu³⁺

Na literatura existem quatro abordagens bastante conhecidas utilizadas para o estudo teórico do processo de transferência de energia (TE) em sistemas com Eu³⁺. Tais metodologias estão descritas nas próximas seções. Cada metodologia tem as suas particularidades e o entendimento dos aspectos semelhantes e divergentes relacionados a estas metodologias é de suma importância para o avanço do campo da espectroscopia de lantanídeos.

Como mencionado no **Capítulo 1**, as quatro metodologias estudadas, são: i) de Sá e colaboradores [18] (clássica); ii) Carneiro Neto e colaboradores [29] (generalização dos estados aceitadores); iii) Georgieva e colaboradores [30,31] (relaxação dos estados excitados); iv) Beltrán-Leiva e colaboradores [32–34] (taxas de fluoro e fosforescência). Para as duas primeiras, o procedimento de determinação das taxas de TE e dados fotofísicos é similar. Nesse capítulo, a base teórica dos modelos é descrita.

3.2.1. PARÂMETROS DE INTENSIDADE TEÓRICOS

Os parâmetros de intensidade teóricos podem ser calculados segundo uma notação proposta por Malta e colaboradores [18] da seguinte forma:

$$\Omega_{\lambda}^{calc} = (2\lambda + 1) \sum_{t}^{\lambda - 1, \lambda + 1(impar)} \sum_{p = -t}^{t(total)} \frac{\left| B_{\lambda tp} \right|^2}{(2t + 1)}$$
(1)

$$B_{\lambda tp} = B_{\lambda tp}^{FED} + B_{\lambda tp}^{DC}$$

$$= \frac{2}{\Delta E} \left\langle r^{t+1} \right\rangle \theta(t, \lambda) \gamma_p^t - \left[\frac{(\lambda + 1)(2\lambda + 3)}{2\lambda + 1} \right]^{1/2} \left\langle r^{\lambda} \right\rangle (1 - \sigma_{\lambda}) \left\langle f \left\| C^{(\lambda)} \right\| f \right\rangle \Gamma_p^t \delta_{t, \lambda + 1}$$
(2)

$$\gamma_{p}^{t} = \left(\frac{4\pi}{2t+1}\right)^{1/2} e^{2} \sum_{j} \rho_{j} \left(2\beta_{j}\right)^{t+1} \frac{g_{j}}{R_{j}^{t+1}} Y_{p}^{t*} \left(\theta_{j}, \phi_{j}\right)$$
(3)

$$\Gamma_p^t = \left(\frac{4\pi}{2t+1}\right)^{1/2} \sum_j \frac{\alpha_j}{R_i^{t+1}} Y_p^{t*} \left(\theta_j, \phi_j\right) \tag{4}$$

$$\rho_j \approx 0.05 \left(\frac{R_{\min}}{R_j}\right)^{3.5} \tag{5}$$

$$\beta_j = \frac{1}{1 \pm \rho_j} \tag{6}$$

A distância entre o átomo j, diretamente ligado ao íon európio (R_i), e suas coordenadas angulares correspondentes (θ_i e ϕ_i) indicam que os parâmetros teóricos de intensidade dependem da estrutura do poliedro de coordenação do complexo. Isso mostra a importância que a geometria inicial assume para a determinação dos parâmetros de intensidade teóricos. $\theta(t,\lambda)$ são constantes para o íon Eu³+, os quais apresentam os seguintes valores estimados com integrais radiais de cálculos Hartree-Fock: $\theta(1,2)$ = -0,17, $\theta(3,2)$ = 0,345, $\theta(3,4)$ = 0,18, $\theta(5,4)$ = -0,24, $\theta(5,6)$ = -0,24, e $\theta(7,6)$ = 0,24 [112]. O termo $\delta_{t,\lambda+1}$ se trata da função delta de Kronecker.

A **Equação** (2) inclui a contribuição dos mecanismos de dipolo elétrico forçado (FED, do inglês "Forced Eletric Dipole") e de acoplamento dinâmico (DC, do inglês "Dynamic Coupling"). Assim, Ω_{λ}^{FED} é calculado pela **Equação** (1) apenas considerando a parcela $B_{\lambda up}^{FED}$ da **Equação** (2) Ω_{λ}^{FED} é importante

posteriormente para o cálculo das taxas de TE ligante-metal via o mecanismo multipolar. A variação de energia (Δ E) presente em $B_{\lambda tp}^{FED}$ na **Equação (2)** envolve o baricentro do estado fundamental e o primeiro estado excitado de paridade oposta ($E_{4f} - E_{nl}$) do íon Eu³⁺, obtido pelo método do denominador da energia média [113].

Os mecanismos FED e DC dependem de γ_p^t (**Equação (3)**) e Γ_p^t (**Equação (4)**), respectivamente. γ_p^t é calculado utilizando o Modelo de Sobreposição Simples (SOM, do inglês "Simple Overlap Model") [113,114] que introduz covalência ao modelo de carga pontual por meio da inclusão do termo $\rho_j \left(2\beta_j\right)^{t+1}$, o qual corresponde à sobreposição entre os orbitais 4f e os orbitais de valência do j-ésimo átomo diretamente coordenado ao lantanídeo. As grandezas ρ_j e β_j são calculadas usando as **Equações (5)** e **(6)**.

Para reproduzir os parâmetros de intensidade Ω_2 e Ω_4 experimentais, os Ω_λ teóricos são calculados ajustando os fatores de carga (g_j) e as polarizabilidades (α_j) , conforme descrito nas **Equações (7)** e **(8)**, respectivamente, aplicando o modelo QDC [86]. O modelo QDC propõe que o fator de carga é obtido pela multiplicação do parâmetro ajustável Q pela densidade eletrônica da Sobreposição Diferencial Nula (ZDO, do inglês "Zero Differential Overlap"), q_j , de cada átomo j ligado diretamente ao Eu³+. A polarizabilidade α_j é calculada usando a superdeslocalizabilidade eletrofílica (SE_j), com o auxílio dos parâmetros ajustáveis D e C.

$$g_j = Q.q_j \tag{7}$$

$$\alpha_j = SE_j \cdot D + C \tag{8}$$

A densidade eletrônica ZDO e a SE para cada átomo μ da estrutura são calculadas da seguinte forma:

$$q_{\mu} = 2 \sum_{i'}^{occ.} \sum_{p}^{N_{\mu}} \left| c_{pi'}^{\mu} \right|^2 \tag{9}$$

$$SE_{\mu} = 2\sum_{i'}^{occ.} \sum_{p} \sum_{q} \frac{c_{pi'}^{\mu} c_{qi'}^{\mu}}{\varepsilon_{i'}}$$
 (10)

em que i' se estende a todos os orbitais moleculares ocupados do complexo, p percorre todos os orbitais moleculares, $c_{pi'}^{\mu}$ corresponde ao coeficiente linear, e ε_i é a energia do orbital molecular ocupado i'.

3.2.2. MODELAGEM DA TRANSFERÊNCIA DE ENERGIA LIGANTE-METAL

562

563

564

565

566

567

O modelo de Malta e colaboradores [115] para o cálculo das taxas de TE ligante-metal deriva da regra de ouro de Fermi. O Hamiltoniano leva em consideração a contribuição dos mecanismos de interação coulômbica direta (CI, do inglês "Coulombic Interaction") e de troca (EX, do inglês "Exchange"). Considerando apenas a interação CI, a taxa de TE ligante-metal é calculada por:

$$W_{ET}^{CI} = \frac{2\pi}{\hbar} \frac{e^2 S_L F}{G(2J+1)} \sum_{\lambda=2,4,6} \Lambda_{\lambda} \left\langle \psi' J' \middle\| U^{(\lambda)} \middle\| \psi J \right\rangle^2 \tag{11}$$

$$\Lambda_{\lambda} = 2\Omega_{\lambda}^{FED} \left(1 - \sigma_{1}\right)^{2} \left(\frac{1}{R_{L}^{6}}\right) + \left\langle r^{\lambda} \right\rangle^{2} \left\langle 3 \left\| C^{(\lambda)} \right\| 3 \right\rangle^{2} \left(1 - \sigma_{\lambda}\right)^{2} \left(\frac{\lambda + 1}{\left(R_{L}^{\lambda + 2}\right)^{2}}\right) \tag{12}$$

Os elementos de matriz $\left\langle \psi' J' \middle\| U^{(\lambda)} \middle\| \psi J \right\rangle^2$ fornecem a regra de seleção para o 568 momento angular total *J*, que é dada por $|\Delta J| \le 6$ com $|\Delta J| = 2,4,6$ (J = J' = 0569 excluído). Como resultado, as excitações eletrônicas envolvendo os estados 570 $^5D_4\leftarrow^7F_0,\ ^5G_6\leftarrow^7F_0$ e $^5L_6\leftarrow^7F_0$ para o Eu³+, por exemplo, são permitidas pelo 571 mecanismo CI. G é a degenerescência do estado inicial do ligante, que se trata 572 da multiplicidade do estado singleto e tripleto. Os operadores tensoriais de 573 Racah ($\langle 3 | C^{(\lambda)} | 3 \rangle$) são ferramentas matemáticas para descrever propriedades 574 de simetria e têm os seguintes valores para Eu³⁺: $\langle 3 \| C^{(2)} \| 3 \rangle$ =-1,366, $\langle 3 \| C^{(4)} \| 3 \rangle$ 575 = 1,128 e $\left\langle 3 \left\| C^{(6)} \right\| 3 \right\rangle$ = -1,270. As integrais radiais ($\left\langle r^{\lambda} \right\rangle$) são valores esperados 576 de distribuição radial eletrônica em orbitais atômicos e para os orbitais 4f do Eu³⁺ 577 são $\langle r^2 \rangle$ = 0,9175, $\langle r^4 \rangle$ = 2,0200 e $\langle r^6 \rangle$ = 9,0390 [116]. $\left(1-\sigma_{\lambda}\right)$ é o fator de 578

blindagem dos orbitais 5s e 5p nos Ln³⁺, sendo 0,9, 0,6, 0,139 e 0,1 para λ = 0, 579 2, 4 e 6, respectivamente. O termo S_L corresponde à força do dipolo associada 580 à transição entre os estados eletrônicos do ligante, sendo 10⁻³⁵ (e.s.u.)² um valor 581 típico para o estado doador singleto e 10⁻⁴⁰ (e.s.u.)² para o estado doador tripleto 582 [115]. 583

A contribuição do mecanismo EX para a TE ligante-metal é dada por:

584

593

594

595

596

597

598

599

600

$$W_{ET}^{EX} = \frac{8\pi}{3\hbar} \frac{e^2}{R_L^4} \frac{(1 - \sigma_0)^2 F}{G(2J + 1)} \langle \psi' J' \| S \| \psi J \rangle^2 \sum_{m} \left\langle \Psi_{N-1} \Pi \left| \sum_{j} r_j C_0^{(1)}(j) s_{-m}(j) \right| \Psi_{N-1} \Pi^* \right\rangle^2$$
(13)

Do termo $\langle \psi' J' \| S \| \psi J \rangle^2$ deriva a regra de seleção para o mecanismo de 585 troca, a qual é dada por $|\Delta J| = 0, \pm 1$ (J = J' = 0 excluído) e $\Delta S = 0$ para o íon 586 lantanídeo, sendo que esta última regra pode ser relaxada pelo acoplamento 587 spin-órbita. Dessa maneira, o mecanismo de troca opera nas excitações 588 $^{5}\text{D}_{1} \leftarrow ^{7}\text{F}_{0} \text{ e } ^{5}\text{D}_{0} \leftarrow ^{7}\text{F}_{1} \text{ para o ion Eu}^{3+}. \left\langle \Psi_{N-1}\Pi \left| \sum_{i} r_{j} C_{0}^{(1)}(j) s_{-m}(j) \right| \Psi_{N-1}\Pi^{*} \right\rangle^{2} \text{ \'e o quadrado do}$ 589 elemento de matriz do operador acoplado de dipolo e de spin, sendo 10-36 590 (e.s.u.)²cm² o valor típico comumente considerado nas estimativas numéricas 591 [117]. 592

As regras de seleção, tanto para W_{FT}^{CI} quanto para W_{FT}^{EX} , estão associadas à excitação eletrônica do Eu³⁺ promovida pela TE dos ligantes. A excitação dos estados de menor energia ⁷F₀ e ⁷F₁ do Eu³⁺ tem população térmica de 0,64 e 0,33 a 300 K [118], respectivamente. Além disso, para inclusão da transição ⁵D₀←⁷F₀ nos cálculos, é considerada uma mistura *J* de 5% entre os estados ⁷F₀ e ⁷F₂, o que permite a transição via mecanismo CI.

O fator de sobreposição espectral (F), presente nas Equações (11) e (13), pode ser aproximado pela expressão:

$$F = \frac{1}{\hbar \gamma_L} \sqrt{\frac{\ln 2}{\pi}} e^{-\left(\frac{\Delta}{\hbar \gamma_L}\right)^2 \ln 2}$$
 (14)

Esta expressão leva em conta que a largura de banda à meia altura do ligante ($\gamma_{\rm L}$ = 3200 cm⁻¹) é muito maior que a largura das transições 4*f*-4*f* dos íons Ln³⁺ ($\gamma_{\rm Ln}$). Δ é a diferença de energia entre os níveis doador (estados excitados singleto e tripleto do ligante) e aceitador (estados excitados do íon lantanídeo) envolvidos no processo de TE.

Recentemente, Malta e colaboradores aperfeiçoaram o cálculo do termo $(1-\sigma_0)$, por meio da **Equação (15)**, em um capítulo de livro em que uma revisão crítica e avanços recentes na modelagem da TE intramolecular em quelatos de lantanídeos foram discutidos [119]. A **Equação (15)** foi então implementada no LUMPAC para calcular a taxa de TE via o mecanismo de troca.

$$(1-\sigma_0) = \rho \left(\frac{R_{\min}}{R_L}\right)^{7/2} \tag{15}$$

$$R_{L} = \frac{\sum_{i} c_{i}^{2} R_{L_{i}}}{\sum_{i} c_{i}^{2}}$$
 (16)

em que ρ é a integral de sobreposição (aproximadamente 0,05) entre os orbitais de valência do íon Ln^{3+} e dos átomos ligantes. R_{min} é a menor distância entre o centro metálico e os átomos presentes na primeira esfera de coordenação. R_L é a distância do Ln^{3+} até o baricentro de energia do estado doador (ou aceitador) do ligante, c_i é o coeficiente do orbital molecular do átomo-i no estado doador (ou aceitador) do ligante e R_{Li} é a distância do átomo-i ao íon Ln^{3+} . As **Equações** (12), (13) e (15) demonstram a grande dependência de W_{ET}^{CI} e W_{ET}^{EX} com a distância R_L .

A taxa de retrotransferência de energia é estimada pelo produto entre a taxa de TE direta e o fator de Boltzmann $\exp\left(-\left|\Delta\right|/k_BT\right)$, em que T é a temperatura ambiente e k_B é a constante de Boltzmann.

3.2.3. TAXA DE DECAIMENTO RADIATIVO E RENDIMENTO QUÂNTICO

A taxa de decaimento radiativo teórico (A_{rad}) para o Eu³⁺ é calculada por

$$A_{rad} = \frac{32e^{2}\pi^{3}\chi}{3\hbar(2J+1)} \sum_{\lambda=2,4,6} \nu [{}^{5}D_{0} \rightarrow {}^{7}F_{J=\lambda}]^{3} \Omega_{\lambda} \left| \left\langle {}^{5}D_{0} \| U^{(\lambda)} \| {}^{7}F_{J=\lambda} \right\rangle \right|^{2} + \frac{32\pi^{3}n^{3}\nu [{}^{5}D_{0} \rightarrow {}^{7}F_{1}]^{3}}{3\hbar} S_{md}$$

$$(17)$$

em que e é a carga elementar do elétron, 2J+1 é a degenerescência do estado inicial, neste caso 5D_0 , portanto J=0. χ é o termo de correção do campo local de Lorentz dado por $\chi=n(n^2+2)^2/9$, sendo n o índice de refração, que depende do meio em que o composto está inserido. $v[{}^5D_0 \to {}^7F_J]$ são as energias dos baricentros das respectivas transições ${}^5D_0 \to {}^7F_2$, ${}^5D_0 \to {}^7F_4$ e ${}^5D_0 \to {}^7F_6$. A força do dipolo magnético (S_{md}) da transição ${}^5D_0 \to {}^7F_1$ é teoricamente considerada como $9,6 \times 10^{-42}$ esu 2 cm 2 [120].

O rendimento quântico de emissão (Q_{Eu}^L) é definido como a razão entre o número de fótons emitidos pelo íon Eu³⁺ e o número de fótons absorvidos pelo ligante, como mostrado na **Equação (18)**.

$$Q_{Eu}^{L} = \frac{A_{rad}\eta_{_{^5}D_0}}{\varphi\eta_{_{S_0}}} \tag{18}$$

Os termos η_{S_0} e η_{S_0} correspondem à população energética dos estados S_0 e 5D_0 , respectivamente. φ é a taxa de absorção do singleto fundamental ao singleto excitado do ligante em ${}^{-1}$. A população normalizada de um determinado nível j considerado na modelagem de TE, η_j , é obtida a partir de um sistema de equações, aplicando a aproximação do estado estacionário. A população de um dado nível j é calculada por meio da **Equação (19)**.

$$\frac{d\eta_j}{dt} = -\sum_{i \neq j} W_{ji} \eta_j + \sum_{i \neq j} W_{ij} \eta_i \tag{19}$$

em que W_{ij} é a taxa de transferência do nível i para o nível j. As taxas de transição do mesmo estado, isto é, i = j, são, portanto, iguais a zero. Na aproximação de estado estacionário tem-se que $\frac{d\eta_j}{dt} = 0$, permitindo que o conjunto de equações algébricas derivadas da **Equação (19)** possa ser resolvido analiticamente.

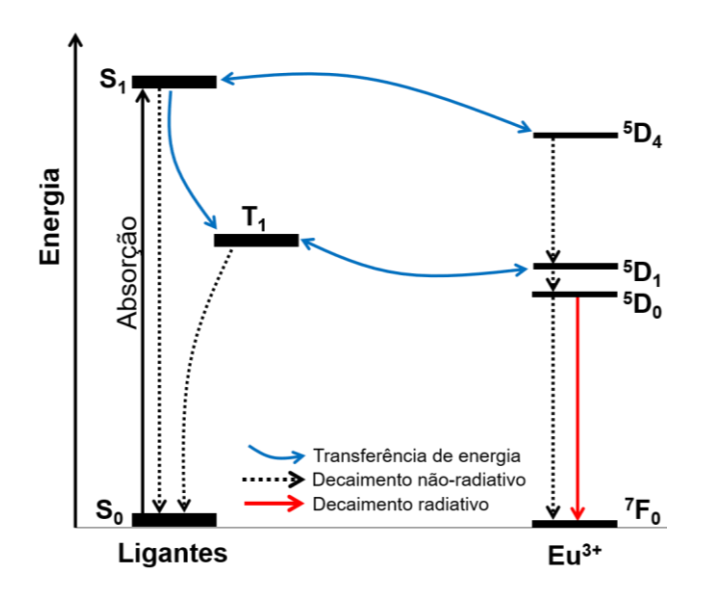
3.3. Metodologias

3.3.1. METODOLOGIA CLÁSSICA (de SÁ E COLABORADORES)

A metodologia proposta por de Sá e colaboradores [18] é baseada nas seguintes etapas: i) otimização da geometria do composto no estado fundamental (S₀); ii) cálculo dos estados excitados singleto e tripleto de menor energia (S₁ e T₁, respectivamente); iii) cálculo das taxas de TE ligante-metal com os modelos de Malta; por fim, iv) estimativa da população dos níveis de energia envolvidos, possibilitando quantificar o rendimento quântico de emissão teórico [115]. A estrutura dos módulos do LUMPAC obedece a estas etapas ordenadamente.

Nesta modelagem da TE, apenas os estados 5D_4 , 5D_1 e 5D_0 do Eu $^{3+}$ são considerados, sendo $S_1 \rightarrow ^5D_4$ e $T_1 \rightarrow ^5D_1$ os principais canais de TE ligante-metal. Os autores explicam que os canais envolvendo o nível 5D_0 não são interessantes, pois, mesmo com a mistura de J, devido à regra de seleção, sua população não é considerável. Eles sugerem a inclusão dos níveis 5D_2 , 5L_6 , 5G_6 e 5D_4 para contemplar o mecanismo multipolo e do nível 5D_1 para o mecanismo de troca. Os autores consideram valores típicos de 10^8 s $^{-1}$ para a taxa de cruzamento intersistema $S_1 \rightarrow T_1$, de 10^5 s $^{-1}$ para a taxa de decaimento $T_1 \rightarrow S_0$, de 10^6 s $^{-1}$ para $S_1 \rightarrow S_0$ e para o decaimento não radiativo $^5D_1 \rightarrow ^5D_0$. Vale salientar que essa é uma metodologia pioneira e que novas metodologias semelhantes foram desenvolvidas com o tempo, modificando em pontos específicos. Esta metodologia está implementada no LUMPAC, entretanto, há possibilidade de consideração de outros níveis energéticos do Eu $^{3+}$. A **Figura 10** ilustra um diagrama simplificado de Jablonski representando o processo associado a esta metodologia.

Figura 10. Diagrama de energia de Jablonski para os canais de maior probabilidade de transferência de energia segundo de Sá e colaboradores.

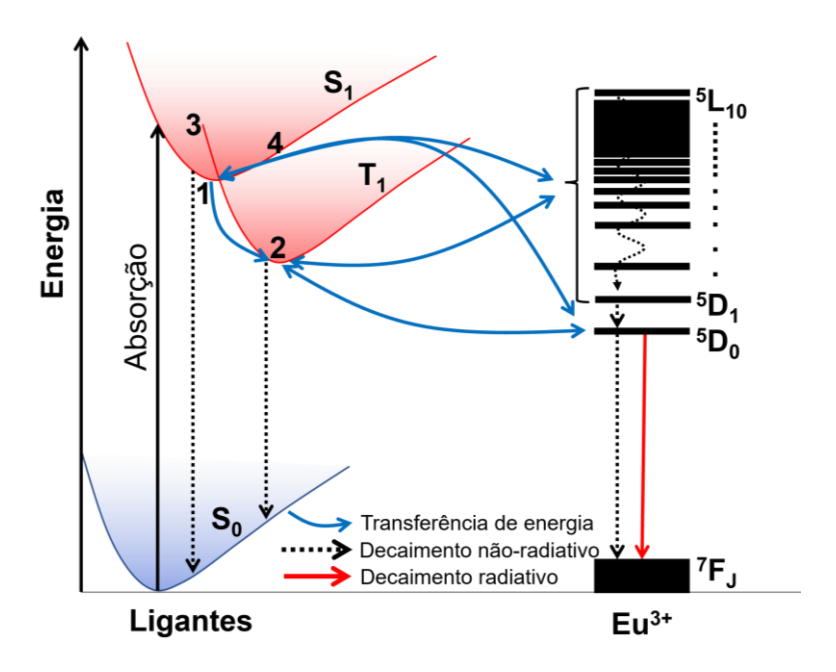


A otimização geométrica no estado fundamental é geralmente realizada utilizando métodos quânticos, garantindo a obtenção da função de onda. Para tal, podem ser utilizados métodos *ab initio*, DFT e semiempíricos. Os estados excitados singleto e tripleto são determinados exclusivamente por métodos quânticos. A terceira e quarta etapas são calculadas usando as abordagens descritas nas seções 3.2.2 e 3.2.3.

3.3.2. METODOLOGIA DA GENERALIZAÇÃO DOS ESTADOS ACEITADORES (CARNEIRO NETO E COLABORADORES)

A abordagem proposta por Carneiro Neto e colaboradores [29] é baseada na metodologia introduzida por de Sá e colaboradores. Contudo, neste tratamento, diversos outros estados excitados do Eu³+, além de ⁵D₄, ⁵D₁ e ⁵D₀, são considerados na modelagem da TE (**Figura 11**). Como uma simplificação, todas as taxas de transferência ligante-Eu³+ envolvendo os estados excitados do íon, exceto o estado emissor ⁵D₀, são somadas. Assim, as taxas de TE ligante-metal dos estados S₁ e T₁ para diversos níveis aceitadores do Eu³+ são consideradas.

Figura 11. Diagrama de Jablonski assinalando os canais de transferência de energia considerados na metodologia proposta por Carneiro Neto e colaboradores.



Enquanto no tratamento de Sá e colaboradores valores típicos são considerados para as taxas dos decaimentos intraligantes ($S_1 \rightarrow S_0$, $S_1 \rightarrow T_1$ e $T_1 \rightarrow S_0$), na abordagem de Carneiro Neto e colaboradores, essas taxas são determinadas a partir de cálculos TDDFT e utilizando o acoplamento spin-órbita (SOC, do inglês "*Spin-Orbit Coupling*") para o cálculo das taxas de cruzamento intersistema. A mistura dos estados singleto e tripleto do ligante devido ao acoplamento spin-órbita relaxa a regra de seleção de spin e permite que as transições proibidas por spin ocorram.

Para a determinação do cruzamento intersistema é necessário o cálculo dos estados S_1 e T_1 reorganizados, tal qual feitos na metodologia mostrada na sequência. Assim, são determinadas as energias 1, 2, 3 e 4 presentes na **Figura 11**, em que 1 e 2 são as energias S_1 e T_1 com a geometria do complexo S_1 otimizada e 3 e 4 são as energias S_1 e T_1 com a geometria do estado fundamental. Segundo os autores, estes cálculos demandam bastante poder computacional e apresentam difícil convergência. Nessa metodologia, a taxa de cruzamento intersistema (W_{ISC}) é calculada por meio da estrutura de Marcus-Levich através da **Equação (20)**.

$$W_{ISC} = \frac{4\pi^2}{h} \left| \langle S_1 | \hat{H}_{SO} | T_1 \rangle \right|^2 \frac{1}{\sqrt{4\pi\lambda_M k_B T}} e^{-\frac{(\Delta E_{ST} + \lambda_M)^2}{4\lambda_M k_B T}}$$
 (20)

A partir dos cálculos de SOC, elemento de matriz de acoplamento spin-órbita dos estados S₁ e T₁, $\langle S_1 | \hat{H}_{SO} | T_1 \rangle$, é determinado. ΔE_{ST} é a diferença de energia entre os níveis S₁ e T₁ relaxados em cm⁻¹. A energia de reorganização de Markus (λ_M) é calculada pela **Equação (21)**. Os termos da equação são as energias em cm⁻¹ presentes na **Figura 11**.

$$\lambda_{M} = \frac{[E(4) - E(1)] + [E(3) - E(2)]}{2} \tag{21}$$

As taxas S₁→S₀ e T₁→S₀ são estimadas através do tempo de vida de decaimento radiativo (τ_{rad}) dos níveis S₁ e T₁, respectivamente. Para tal, é assumido que o tempo de emissão radiativa do nível é inversamente proporcional à taxa de decaimento radiativo. Assim, o tempo de vida é calculado em função da energia do nível S₁ ou T₁ não relaxado e a força do dipolo da excitação, que depende da força de oscilador da transição (f). O cálculo do tempo em segundos é feito através da probabilidade de transição de Einstein (**Equação** (22)), em que a energia é dada em eV e a força de oscilador é adimensional e são obtidos através de cálculos TDDFT.

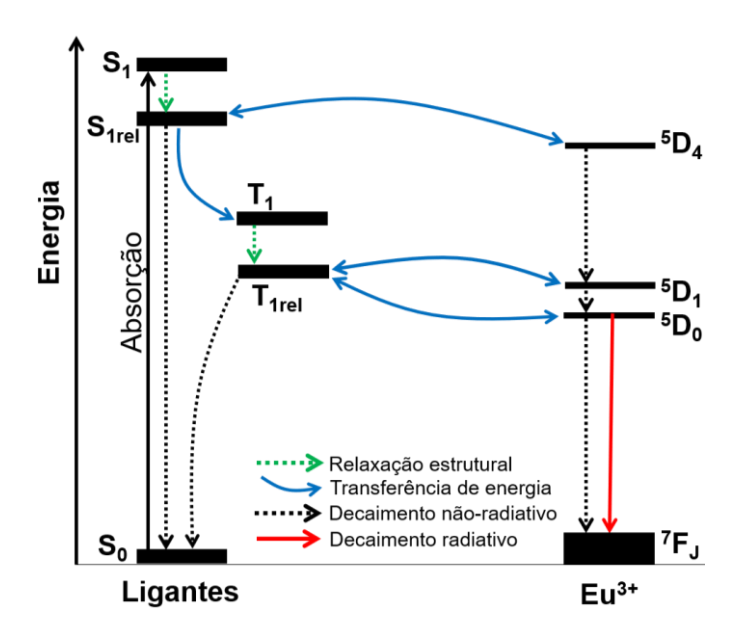
$$\tau_{rad} = \frac{2.305 \times 10^{-8}}{E^2 f} \tag{22}$$

3.3.3. METODOLOGIA DA RELAXAÇÃO DOS ESTADOS (GEORGIEVA E COLABORADORES)

Georgieva e colaboradores [30,31] também propõem um tratamento semelhante aos anteriores. As geometrias de menor energia dos estados excitados são otimizadas individualmente, tal qual no método anterior. Isto é, a relaxação estrutural das geometrias correspondentes aos estados S_1 e T_1 é contemplada neste tratamento. O procedimento é motivado pelo fato de que quando o sistema é promovido do seu estado fundamental (S_0) para estados excitados, o tempo de a estrutura relaxar para a sua nova geometria devido à mudança de configuração eletrônica (10^{-10} – 10^{-14} s) é menor do que o tempo de despopulação energética do estado (10^{-6} – 10^{-10} s). Além disso, o decaimento entre estados de paridades iguais, por exemplo $S_n \rightarrow S_1$, é mais rápido que a

mudança estrutural. Isso implica que, devido à relaxação da geometria, os estados excitados terão energias menores do que quando apenas a geometria do estado fundamental é considerada. Embora Georgieva e colaboradores utilizaram o LUMPAC para estudar as propriedades espectroscópicas dos complexos estudados, as taxas de TE não foram calculadas usando as estruturas dos estados excitados relaxadas. A **Figura 12** ilustra um digrama de Jablonski simplificado para essa metodologia.

Figura 12. Diagrama de energia de Jablonski que ilustra a modelagem da transferência de energia proposta por Georgieva e colaboradores.



A estimativa dos estados S_{1rel} e T_{1rel} é feita através da diferença entre as energias eletrônicas obtidas através dos cálculos TDDFT com a geometria no estado fundamental e as energias de excitação adiabáticas. A energia de excitação adiabática é determinada como a diferença entre a energia pontual da estrutura otimizada no estado excitado em questão (S₁ ou T₁) e a energia pontual do estado fundamental com a geometria do estado fundamental [121].

Os autores ainda consideram a correção de energia do ponto zero (ZPE, do inglês "Zero-Point Corrected Energy") na determinação da energia dos estados excitados S₁ e T₁. A energia do ponto zero é a menor energia que um sistema quântico pode ter, sendo a energia remanescente de vibrações quânticas, mesmo no estado fundamental, em que a energia clássica seria zero. A ZPE é obtida a partir das frequências vibracionais da molécula e é somada à energia

eletrônica calculada a fim de corrigir a energia total da molécula. O cálculo da ZPE de cada estado é dado pela diferença entre a ZPE da geometria do estado em questão (S₁ ou T₁) e a ZPE da geometria fundamental.

3.3.4. METODOLOGIA DA FLUORO E FOSFORESCÊNCIA (BELTRÁN-LEIVA E COLABORADORES)

Para Beltrán-Leiva e colaboradores [32–34], diferentemente das demais abordagens, cálculos quânticos relacionados aos fenômenos radiativos da fluorescência e fosforescência são considerados para estimar taxas de decaimento nos ligantes. Com isso, o mecanismo de TE é interpretado apenas qualitativamente, dado que as taxas de TE não são calculadas.

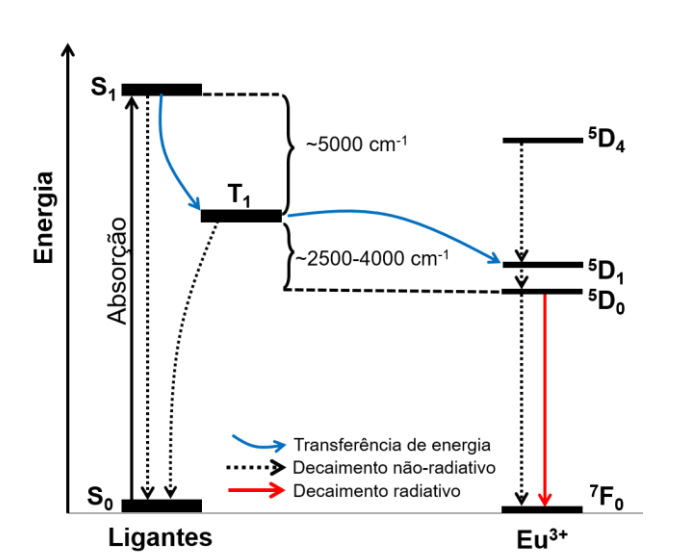
O método é baseado em um esquema de fragmentação do sistema estudado, observando o ligante separadamente do íon Ln³+ em questão. Os autores não descartam que há influência da interação dos ligantes com o íon lantanídeo, mas que essa influência é pequena devido à blindagem dos orbitais 4f. Os cálculos são realizados em duas etapas: i) usando cálculos DFT, os estados S₀, S₁ e T₁ do ligante antena são otimizados para prever as taxas de absorção e emissão e transições vibracionais. As taxas relacionadas à fluorescência e à fosforescência são calculadas a partir de matrizes hessianas obtidas de cálculos de dinâmica de estados excitados (ESD, do inglês "Excited States Dynamics"), a qual possibilita o estudo da evolução temporal de moléculas e materiais em estados excitados.

Em seguida, ii) devido à influência do acoplamento spin-órbita advinda do lantanídeo, o cruzamento intersistema é calculado considerando todo o complexo. Para determinar os estados singleto excitados, cálculos Kohn-Shan restritos (RKS) são considerados, enquanto para o tripleto, são considerados cálculos Kohn-Shan irrestritos (UKS). Entretanto, os autores esclarecem que, para a segunda etapa, são necessários cálculos multiconfiguracionais *ab initio* para uma melhor determinação da função de onda por conta do grande número de estados quase degenerados da configuração 4f. Por conta da correlação eletrônica, estes estados causam um forte caráter multirreferencial na função de onda de todo sistema. Para esse fim, os autores utilizam cálculos *ab initio* baseados no método do campo autoconsistente do espaço ativo completo

(CASSCF, do inglês "Complete Active Space Self-Consistent Field"). O CASSCF consiste em uma extensão do método Hartree-Fock que permite uma descrição mais precisa dos sistemas em que a correlação eletrônica desempenha um papel crucial.

Os autores esclarecem que bons ligantes doadores de energia são aqueles que têm i) diferença de energia entre os estados S₁ e T₁ por volta de 5000 cm⁻¹, em que o ISC é mais eficiente (regra de Reinhoudt [122]) e ii) diferença de energia entre T₁ e o estado emissor do íon Ln³⁺ por volta de ~2500–4000 cm⁻¹ (regra de Latva [19]). Relatam também que os cálculos podem demandar muito tempo e processamento computacional e, mesmo assim, não fornecerem bons resultados. O diagrama de energia que representa de forma simples a metodologia está disposto na **Figura 13**.

Figura 13. Diagrama de energia ilustrando a modelagem da transferência de energia proposta por Beltrán-Leiva e colaboradores.



Enfim, essa metodologia não aplica os modelos de Malta e colaboradores para estimar as taxas de TE ligante-Eu³⁺, e nem determina o rendimento e eficiência quântica teóricos. Além disso, das metodologias em questão, é a que mais demanda poder computacional.

CAPÍTULO 4: CODIFICAÇÃO E APLICAÇÃO DOS NOVOS RECURSOS DO LUMPAC 2.0

816

817

818

819

820

821

822

823

824

825

826

827

828

829

830

831

832

833

834

835

836

837

838

839 840

841

842

843

844

845

Para o início do desenvolvimento do LUMPAC 2.0, inicialmente foi convertida boa parte do código do LUMPAC 1.0 da linguagem de programação C++ para a linguagem Python. A escolha da linguagem Python está atrelada ao fato de ser uma linguagem atual, de fácil manuseio, compatível com os principais sistemas operacionais e com uma enorme quantidade de bibliotecas disponíveis, o que agilizou o processo de desenvolvimento. Embora Python, por ser uma linguagem interpretada, seja bem mais lenta quando comparada à linguagem C++ (uma linguagem compilada), este problema foi contornado com o uso de bibliotecas específicas. Por exemplo, o uso da biblioteca Cython [123] permitiu a execução do código responsável pelo ajuste dos parâmetros de intensidade com velocidade comparável à da versão C++ do LUMPAC.

O ambiente gráfico da primeira versão do LUMPAC foi desenvolvido usando a biblioteca Qt/C++ (https://www.qt.io/). Com o auxílio de uma ferramenta disponibilizada pela própria biblioteca, denominada Qt Designer, foi possível projetar as janelas facilmente. O código XML gerado pelo Qt Designer foi automaticamente convertido para C++ usando outras ferramentas disponibilizadas pela biblioteca Qt. Uma versão da biblioteca Qt está disponível em Python, com o nome PyQt 5 (https://pypi.org/project/PyQt5/). Da mesma forma, o código XML é então convertido para Python, o qual está acessível para ser vinculado ao código principal. No código principal, as funcionalidades de cada elemento gráfico presente em uma dada janela são adicionadas. Deste modo, o projeto do ambiente gráfico pôde ser completamente reaproveitado para o desenvolvimento da segunda versão do LUMPAC. Isto permitiu manter o layout na versão 2.0, dado que a primeira versão do LUMPAC já está consolidada entre os usuários. As principais bibliotecas utilizadas para o desenvolvimento do LUMPAC 2.0, juntamente com as correspondentes versões, estão listadas na Tabela 1.

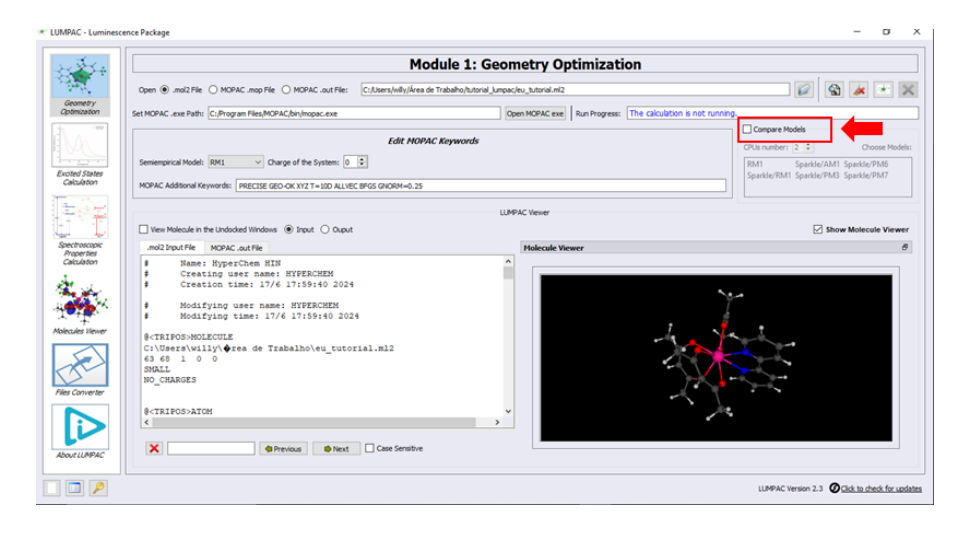
Tabela 1. Principais bibliotecas e suas respectivas versões utilizadas no desenvolvimento do LUMPAC 2.0.

Biblioteca	Versão	Biblioteca	Versão
colour-science	0.4.4	pillow	10.2.0
Cython	3.0.8	PyQt5	5.15.10
fbs	1.1.2	rmsd	1.5.1
matplotlib	3.6.3	scipy	1.12.0
numpy	1.26.3	vtk	9.3.0

4.1. Novos recursos implementados

No módulo 1, foi implementada a função "Compare Models" (Figura 14), no canto direito superior, através da qual os modelos semiempíricos implementados no MOPAC podem ser selecionados para executar a otimização de geometria. Este procedimento é realizado em paralelo e por meio da opção "CPU Number" o usuário especifica a quantidade de núcleos que deve ser disponibilizada para os cálculos.

Figura 14. Módulo 1 do LUMPAC 2.0, com destaque ao recurso "Compare Models".



O recurso "Compare Models" compara as geometrias otimizadas com os modelos semiempíricos selecionados em relação à geometria de entrada, usando como métrica a Raiz Quadrada do Desvio Quadrático Médio (RMSD, do inglês "Root Mean Square Deviation"). O RMSD fornece o erro entre as posições atômicas de duas estruturas sobrepostas. Este recurso é interessante para sistemas que possuem estrutura cristalográfica e busca-se o modelo semiempírico que melhor descreve a estrutura experimental. Os arquivos de

saída do MOPAC, contendo as estruturas otimizadas, são armazenados em uma pasta chamada "compare_geoms" juntamente com o documento "rmsd.txt", o qual contém o RMSD relacionado a cada modelo (Figura 15).

871

872 873

874

875

868

869

870

Figura 15. Exemplo de arquivo "*rmsd.txt*", em que foram comparados os modelos RM1 e os Sparkle RM1, AM1, PM3 e PM6 para um complexo de Eu³⁺ hipotético. É possível observar que, neste caso, o RM1 forneceu os menores RMSD.

```
Arquivo Editar Formatar Exibir Ajuda
                                       LUMPAC - Lanthanide Luminescence Software - version 2.3
                  Cite this work as: Dutra, J. D. L.; Bispo, T. D.; Freire, R. O.

LUMPAC Lanthanide Luminescence Software: efficient and user friendly
                                       Journal of Computational Chemistry, 2014, 35, 772_775.
http://dx.doi.org/10.1002/jcc.23542
DOI:10.1002/jcc.23542
                 The values of RMSD were calculated considering the geometry read from the following file as reference: C:/Users/willy/Área de Trabalho/tutorial_lumpac/eu_tutorial.mop
                              Values of RMSD(angs.)
                                normal
eu tutorial RM1
                                0.9664
                                           0.9657
eu_tutorial_Sparkle-RM1
eu tutorial Sparkle-AM1
                                1.0575
                                           1.0569
eu_tutorial_Sparkle-PM3
eu_tutorial_Sparkle-PM6
                                1.0154
                                           1.0127
```

876

877

878

879

880

881

882

883

884

885

886

887

888

889

890

891

892

893

O módulo 2 não sofreu mudanças significativas na nova versão do LUMPAC, foi apenas adicionada a janela de orbitais 20 x 20 como padrão, que indica a inclusão dos 20 orbitais moleculares ocupados de menor energia e dos 20 orbitais moleculares virtuais de menor energia no cálculo dos estados excitados usando o modelo INDO/S-CIS implementado no programa ORCA. Caso a opção para definição da janela de excitação não seja marcada, todos os orbitais moleculares ocupados e virtuais serão considerados no cálculo.

O módulo 3, mesmo mantendo suas quatro subdivisões, foi o que mais sofreu melhoramentos. No módulo 3.1, além de permitir a obtenção dos parâmetros de intensidade de Judd-Ofelt com o método convencional usando o espectro de emissão, foi adicionada a possibilidade de calculá-los por meio do espectro de excitação de compostos de Eu³⁺ (**Figura 16a**). Esta implementação é baseada na metodologia desenvolvida por Ćirić e colaboradores [78], presente na plataforma web JOEX. A novidade do módulo 3.2 consiste na possibilidade de calcular os parâmetros de JO teóricos para múltiplos sistemas de forma paralela (**Figura 16b**).

Figura 16. Submódulos 3.1 (**a**), 3.2 (**b**), 3.3 (**c**) e 3.4 (**d**) do programa LUMPAC 2.0.



897 898

899

900

901

902

903

904

905

906

907

908

909

910

911

912

913

914

915

916

894 895

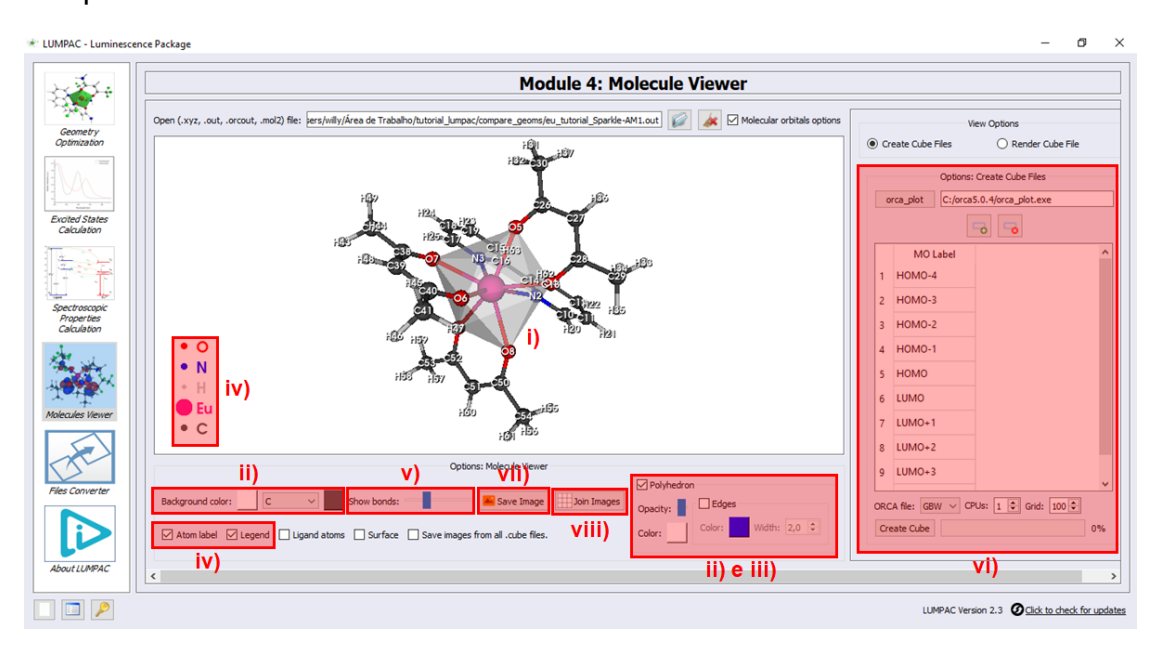
> O módulo 3.3, responsável pelos cálculos das propriedades fotofísicas teóricas, é o que recebeu a maior quantidade de novos recursos (Figura 16c). Agora é possível calcular as taxas de transferência de energia para compostos de Tb³⁺. Também foi adicionada uma função para construção do diagrama de energia de Jablonski automaticamente, destacando os níveis de energias, os canais de transferência e as correspondentes taxas envolvidos na modelagem da transferência de energia (TE). Outras novas implementações presentes no módulo 3.3 são: i) possibilidade de escolha de mais canais de TE ligante-Ln³⁺; ii) cálculo das propriedades de forma paralela para vários sistemas; iii) possibilidade de substituição dos valores típicos para algumas variáveis envolvidas nos cálculos, como taxas de absorção e decaimento de energia nos ligantes, taxas de cruzamento intersistema, força do dipolo (SL) singleto e tripleto, elemento de matriz dos operadores de dipolo e spin acoplados, largura de banda à meia altura do ligante e tolerância de energia entre os níveis aceitadores e doadores de energia; iv) possibilidade de considerar mais níveis de energia do ligantes, além de apenas um singleto e um tripleto; v) caracterização dos estados excitados do ligante em termos de transições eletrônicas.

> Por fim, no módulo 3.4, responsável pela geração de espectros de absorção, agora é possível sobrepor vários espectros de absorção teóricos e

destacar a intensidade de cada absorção por meio da correspondente força do oscilador. Adicionalmente, o módulo 3.4 possibilita também a caracterização de determinados estados de acordo com as transições eletrônicas calculadas (**Figura 16d**).

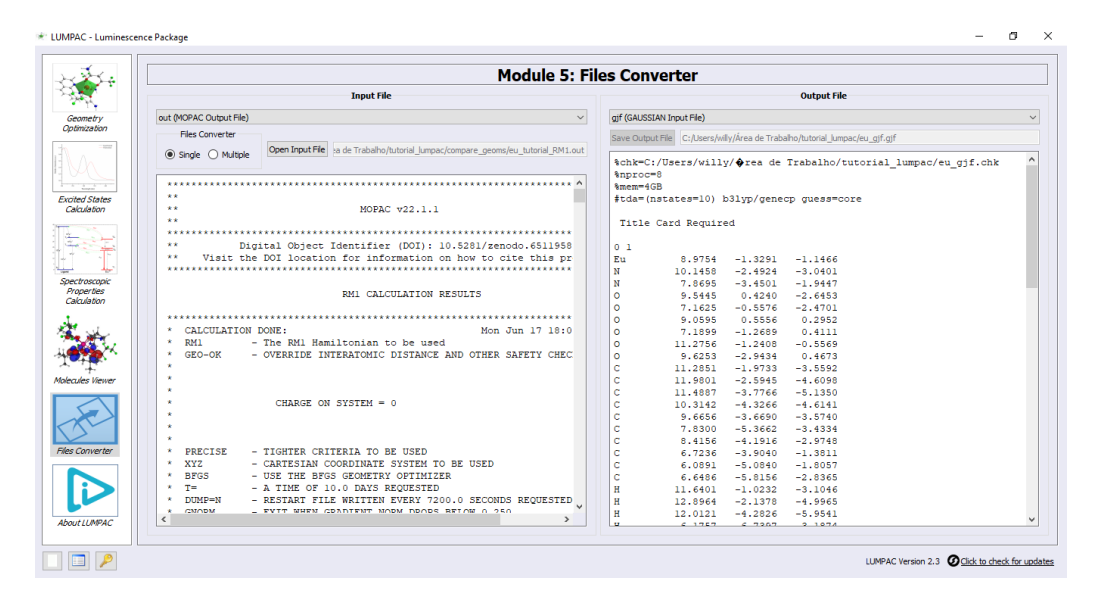
Uma grande novidade do LUMPAC 2.0 é a inclusão do módulo 4 (**Figura 17**), que tem como função a análise da estrutura e dos orbitais moleculares do sistema, permitindo inclusive a geração de imagens que auxiliem as análises. Nesse módulo é possível renderizar orbitais oriundos do arquivo de saída do programa ORCA, em um primeiro momento. Os recursos implementados no módulo 4 permitem: i) destacar o poliedro de coordenação do Ln³+ e possibilidade de observar apenas os átomos do poliedro; ii) alterar a cor do plano de fundo, dos átomos, do poliedro de coordenação, dos vértices do poliedro e dos orbitais moleculares; iii) modificar a opacidade do poliedro e dos orbitais; iv) adicionar rótulo e legenda aos átomos; v) alterar a tolerância da distância entre os átomos para a adição ou não do traço que representa a ligação química; vi) selecionar quais orbitais moleculares devem ser renderizados; vii) salvar a imagem observada em arquivo de formato .png; viii) agrupar várias imagens de orbitais em uma só com suas respectivas legendas.

Figura 17. Módulo 4 do LUMPAC 2.0, com destaque para os recursos disponíveis.



O módulo 5 é um módulo utilitário para criar arquivos do tipo *input-input* ou *output-input* e converter arquivos (**Figura 18**). Este módulo está presente desde a primeira versão do LUMPAC e na versão 2.0 foi implementada a possibilidade de converter vários arquivos simultaneamente. Os novos recursos concentramse principalmente na geração de arquivos de entrada para o ORCA. Um banco de dados foi inserido no LUMPAC contendo vários potenciais efetivos de caroço (ECP) e funções de base do Grupo Stuttgart/Cologne (https://www.tc.uni-koeln.de/PP/clickpse.en.html) para íons lantanídeos. Desta forma, é possível criar arquivos de entrada para cálculos utilizando, por exemplo, as abordagens DFT e TDDFT com o ORCA. Além disso, o LUMPAC 2.0 também suporta a criação de arquivos de entrada para o programa Gaussian, bem como converte arquivos de saída deste programa em diversos formatos.

Figura 18. Utilização do módulo 5 do LUMPAC 2.0 para conversão de um arquivo de saída o MOPAC (.out) para um arquivo de entrada do Gaussian (.gjf).

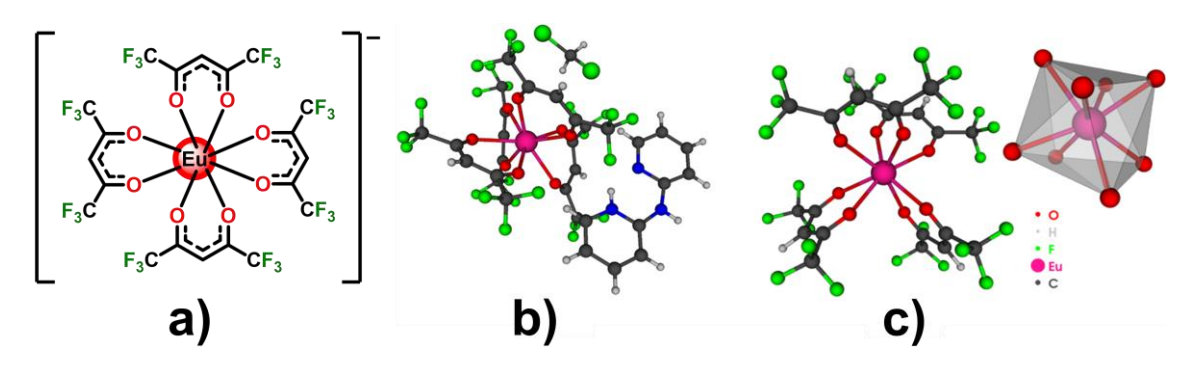


4.2. Aplicações das novas funções

Um complexo de Eu³⁺ sintetizado e caracterizado espectroscopicamente por Ilmi e colaboradores [124] foi escolhido como estudo de caso para ilustrar as funcionalidades e potencialidades do LUMPAC 2.0. O complexo selecionado trata-se do tetraquis $[Eu(hfaa)_4]^-$ (**Figura 19a**), o qual contém o íon európio coordenado a quatro ligantes β -dicetonato hfaa (hexafluoro-acetilacetonato). A **Figura 19b** mostra a estrutura cristalográfica do complexo estabilizada pelas

moléculas do solvente diclorometano e do contraíon 2,2'-dipiridilamina. As **Figura 19a** e **b** foram geradas a partir do módulo 4 presente no LUMPAC 2.0. Os dados cristalográficos e fotofísicos experimentais foram então utilizados para fins de comparação com as propriedades calculadas por meio de abordagens teóricas implementadas no LUMPAC.

Figura 19. a) Estrutura bidimensional do complexo [Eu(hfaa)₄]⁻. **b)** Estrutura cristalográfica do complexo [Eu(hfaa)₄]⁻ (código CSD TEJSIO). **c)** Estrutura do complexo modelada com o Sparkle/AM1 e poliedro de coordenação correspondente.



A estrutura cristalográfica foi utilizada como entrada nos cálculos de modelagem estrutural usando diferentes modelos semiempíricos implementados no programa MOPAC 22.0.1 [79]. Antes da execução do cálculo de otimização estrutural, as moléculas do solvente e do contraíon foram removidas e para compensar a ausência do contraíon, a carga -1 foi atribuída ao complexo. Através do novo recurso adicionado ao módulo 1 do LUMPAC, todos os cálculos foram executados em paralelo.

Ao término da modelagem, o LUMPAC forneceu os RMSD que estão exibidos na **Tabela 2**, usando a estrutura experimental como referência. O menor RMSD corresponde à estrutura otimizada com o modelo Sparkle/AM1, sendo, portanto, o modelo que melhor descreveu a estrutura do complexo [Eu(hfaa)4]⁻. A **Figura 19b** ilustra a estrutura otimizada com o modelo Sparkle/AM1, bem como destaca o poliedro de coordenação do complexo, sendo ambas as representações gráficas fornecidas pelo módulo 4 do LUMPAC. As distâncias de ligação Eu-O experimentais estão no intervalo de 2,359(5) – 2,467(5) Å [124], enquanto as distâncias teóricas variam no intervalo 2,3944 – 2,3978 Å. Deste

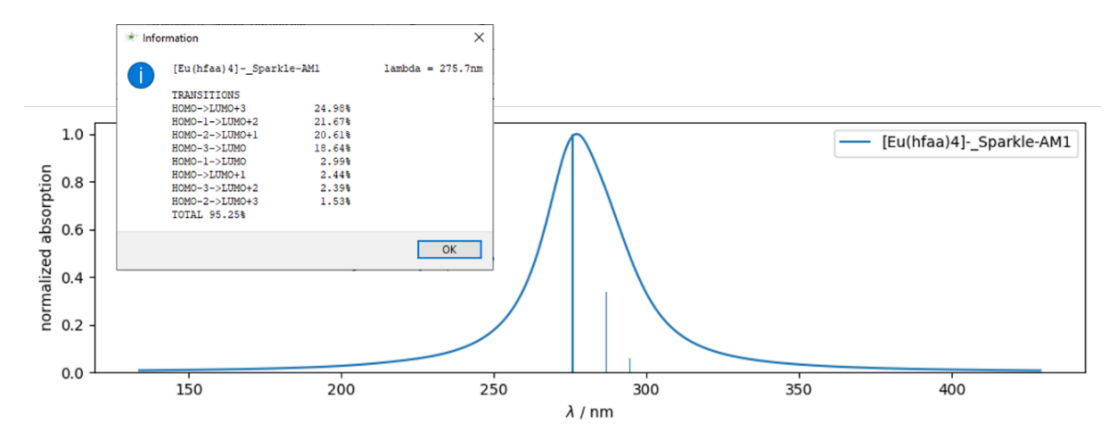
modo, a estrutura Sparkle/AM1 foi utilizada para o estudo das propriedades espectroscópicas adiantes.

Tabela 2. RMSD calculados entre a estrutura cristalográfica do complexo [Eu(hfaa)4] e a estrutura otimizada com diferentes modelos semiempíricos implementados no MOPAC, usando o módulo 1 do LUMPAC 2.0.

RMSD (Å)							
Complexo	RM1	Modelo Sparkle					
		RM1	AM1	PM3	PM6	PM7	
[Eu(hfaa) ₄]	1,4443	1,3332	0,9271	1,0718	0,9763	1,2694	

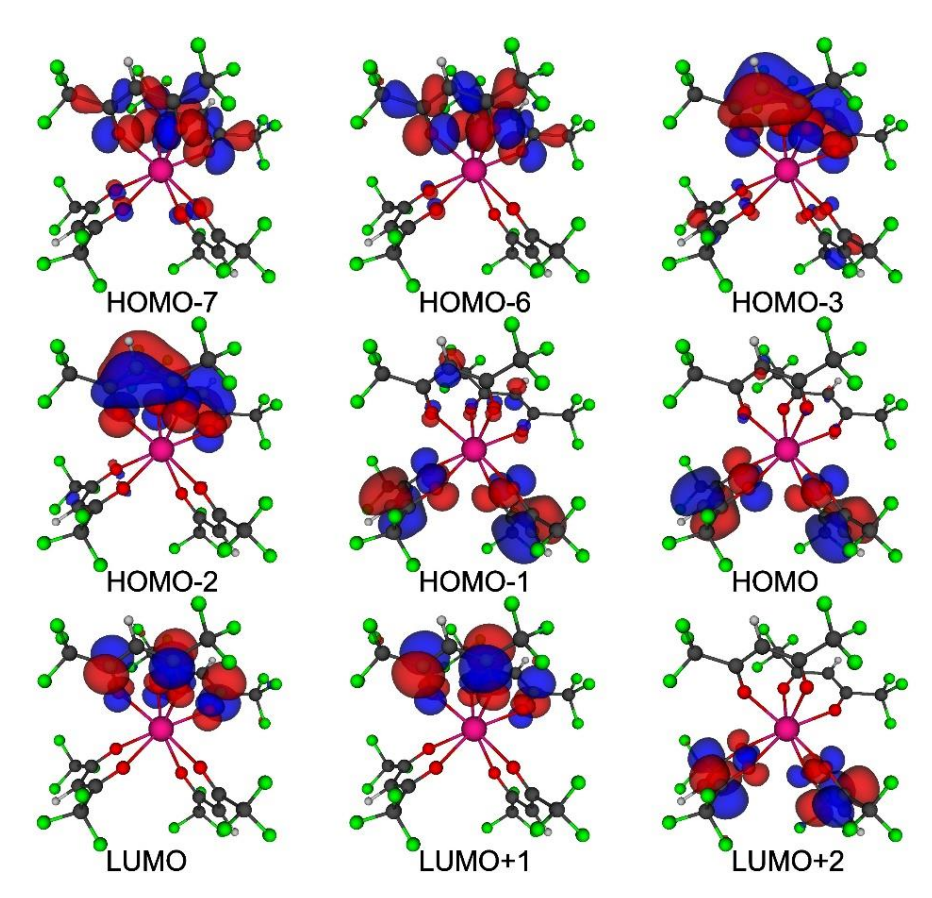
Utilizando o módulo 2 do LUMPAC, os estados excitados singleto e tripleto centrados nos ligantes foram calculados com o modelo INDO/S-CIS [28,125] implementado no programa ORCA [126]. Neste procedimento, o íon lantanídeo é substituído por uma carga pontual +3e. A **Figura 20** ilustra o espectro de absorção gerado pelo módulo 3.4 do LUMPAC. Este novo recurso permite explicitar as forças de oscilador na forma de barras estreitas e viabiliza o ajuste espectral por meio de funções Gaussiana ou Lorentziana. Além disso, ao clicar nas barras que representam a intensidade das forças do oscilador, é possível observar as transições eletrônicas que mais contribuem para a composição de uma dada banda de absorção (**Figura 20**).

Figura 20. Espectro de absorção teórico do complexo [Eu(hfaa)₄] calculado com o modelo INDO/S-CIS, usando a geometria Sparkle/AM1. A janela mostra as transições eletrônicas que mais contribuem para a composição do estado excitado singleto correspondente.



O espectro de absorção experimental revela a presença de uma banda de absorção larga na região de 300 nm. A **Figura 20** indica que o espectro previsto pelo modelo INDO/S-CIS fornece um comprimento de onda máximo em 275,7 nm. As transições eletrônicas mais relevantes para a composição desta banda são HOMO \rightarrow LUMO+3, HOMO-1 \rightarrow LUMO+2, HOMO-2 \rightarrow LUMO+1 e HOMO-3 \rightarrow LUMO. Adicionalmente, o LUMPAC fornece o percentual de contribuição de cada transição eletrônica. Com a ajuda do módulo 4, é possível visualizar e obter as imagens referentes à representação gráfica dos orbitais moleculares calculados com o INDO/S-CIS usando o programa ORCA (**Figura 21**). Dado que os orbitais moleculares envolvidos nas transições apresentam caráter π , as transições mais relevantes para a composição da banda de absorção mais intensa são do tipo $\pi\rightarrow\pi^*$.

Figura 21. Orbitais moleculares selecionados calculados com o modelo INDO/S-CIS gerados com o LUMPAC 2.0.



Na modelagem da TE de um dado complexo de lantanídeo, um procedimento importante consiste no cálculo teórico dos parâmetros de Judd-

Ofelt (Ω_{λ}) . Por meio deste procedimento, a contribuição do dipolo elétrico para os Ω_{λ} $(\Omega_{\lambda}^{\text{FED}})$ é calculada e assim a taxa de TE devido ao mecanismo multipolar pode então ser determinada [112]. Os parâmetros de intensidade experimentais publicados por Ilmi e colaboradores foram obtidos através do espectro de emissão do complexo e considerados como referência no processo de ajuste usando o modelo QDC implementado no LUMPAC [86]. Como já mencionado, o cálculo teórico dos parâmetros de intensidade é realizado com o módulo 3.2 do LUMPAC. Em seguida, as taxas de emissão radiativa (A_{rad}) e não radiativa (A_{nrad}) , eficiência quântica (η) e rendimento quântico (q) teóricos foram calculados usando o módulo 3.3. É importante destacar que a A_{nrad} foi quantificada com o auxílio do tempo de vida experimental determinado por Ilmi e colaboradores. Os dados fotofísicos estão mostrados na **Tabela 3**.

Tabela 3. Dados fotofísicos experimentais e teóricos do complexo [Eu(hfaa)₄]⁻.

[Eu(hfaa) ₄]-	$\Omega_2 \ (\Omega_2^{FED})$	$\Omega_4 \ (\Omega_4^{\sf FED})$	$\Omega_6 \ (\Omega_6^{\sf FED})$		A _{rad}	A _{nrad}	Tobs	η	q
		×10 ⁻²⁰ cm ²	!	-	S	-1	μs	9	6
Experimental	22,02	6,93	-		844,35	64,74	1010	92,88	60,00
Teórico	22,01 (0,0063)	6,94 (0,0334)	0,27 (0,0894)	•	815,15	174,94	-	82,33	82,01

A caracterização dos estados singleto e tripleto de menor energia, S_1 e T_1 , respectivamente, está mostrada na **Tabela 4**. As energias de S_1 e T_1 são comuns para ligantes β -dicetonatos, os quais favorecem bastante a TE em compostos de Eu^{3+} . Além disso, as distâncias entre o centro doador e aceitador de energia (R_L) são relativamente baixas pois os ligantes são pouco volumosos, contribuindo adicionalmente para a eficiência do processo de transferência.

A **Tabela 4** mostra que as transições eletrônicas envolvidas com o estado S₁ estão centradas principalmente nos orbitais HOMO-7, HOMO-6, LUMO e LUMO+1. Já para T₁, os orbitais de maior contribuição são HOMO, HOMO-1, LUMO+2 e LUMO+3. A análise da **Figura 21** mostra que os orbitais moleculares envolvidos na composição de S₁ estão centrados em uma mesma região dos ligantes β-dicetonatos. Isso é observado também para T₁, porém ligantes

diferentes daqueles para S₁ estão envolvidos.

Tabela 4. Energia, R_L e transições eletrônicas de maiores contribuições para os estados excitados singleto e tripleto de menor energia do complexo [Eu(hfaa)₄]⁻.

Complexo	Estado	Energia (cm ⁻¹)	R _L (Å)	Maior contribuição	Total
[Eu(hfaa) ₄] ⁻	S ₁	28239,90	3,3684	HOMO-7 → LUMO (35,03%) HOMO-6 → LUMO (27,74%) HOMO-7 → LUMO+1 (15,85%) HOMO-6 → LUMO+1 (12,17%)	90,78%
	T ₁	19333,70	3,3030	HOMO → LUMO+2 (33,69%) HOMO-1 → LUMO+2 (29,57%) HOMO-1 → LUMO+3 (18,33%) HOMO → LUMO+3 (11,30%)	92,89%

1066

1067

1068

1069

1070

1071

1072

1073

1074

1075

1076

1077

1078

1079

1080

1081

1082

1083

1084

1085

10861087

1064 1065

> Com a nova versão do LUMPAC, é possível selecionar diversos canais de transferência através de diferentes excitações partindo dos níveis fundamentais ⁷F₀ e ⁷F₁ do íon Eu³⁺. A **Tabela 5** lista 120 taxas envolvidas no processo de TE, envolvendo os seguintes níveis aceitadores para o íon Eu3+ disponíveis no LUMPAC 2.0: ⁵D₀, ⁵D₁, ⁵D₃, ⁵D₄, ⁵L₆, ⁵L₇, ⁵G₂, ⁵G₃, ⁵G₅ e ⁵G₆. A diferença de energia entre estes níveis e os estados S₁ e T₁ (Δ) demonstram que, para o estado T₁, apenas os canais de transferência envolvendo os estados ⁵D₀ e ⁵D₁ têm energias menores que o nível doador, favorecendo a TE. Este fato é corroborado pelos valores de taxas de transferência de energia (Wet), o qual é dado pela soma das taxas de transferência de energia do mecanismo multipolar (WeTIC) e de troca (WeTEX), maiores que as taxas de retrotransferência de energia (W_{BT}). Deste modo, a eficiência da TE do sistema é aumentada, pois a energia é direcionada para os estados ⁵D₁ e ⁵D₀ (estado emissor), o que dificulta a perda de energia por outras vias. Além disso, para vários autores, os canais mais eficientes para a luminescência de compostos de Eu³⁺ são T₁→⁵D_{0.1} [8,108,127– 130]. Todos os níveis aceitadores têm energias menores que S₁ e nesses canais, todas taxas Wet são maiores que Wet, incluindo canais de alta energia, o que também garante a população de T₁, devido a suas altas W_{BT} com níveis aceitadores de maior energia. Esses dados condizem com o rendimento quântico observado em [Eu(hfaa)4].

Tabela 5. Taxas de transferência (W_{ET}) e retrotransferência (W_{BT}) de energia, para cada canal de transferência e correspondente diferença de energia entre nível doador e aceitador de energia (Δ) para o complexo [Eu(hfaa)4].

С	anal	Λ (om-1)	W ET ^{IC}	W ET ^{EX}	<i>W</i> _{ET}	<i>W</i> _{BT}
Doador	Aceitador	- Δ (cm ⁻¹)	(s ⁻¹)	(s ⁻¹)	(s ⁻¹)	(s ⁻¹)
	$^{7}\text{F}_{0}\rightarrow^{5}\text{D}_{0}$	2040,70	$5,42 \times 10^{1}$	0,00	$5,42 \times 10^{1}$	$3,04 \times 10^{-3}$
	$^{7}\text{F}_{0}\rightarrow^{5}\text{D}_{1}$	306,70	0,00	$1,71 \times 10^9$	$1,71 \times 10^9$	$3,92 \times 10^8$
	$^{7}\text{F}_{0}\rightarrow ^{5}\text{L}_{6}$	-5991,30	$5,59 \times 10^{-1}$	0,00	$5,59 \times 10^{-1}$	$1,68 \times 10^{12}$
	$^{7}\text{F}_{0}\rightarrow ^{5}\text{G}_{6}$	-7418,30	$3,85 \times 10^{-2}$	0,00	$3,85 \times 10^{-2}$	$1,09 \times 10^{14}$
	$^{7}\text{F}_{0}\rightarrow ^{5}\text{D}_{4}$	-8252,30	$2,10 \times 10^{-1}$	0,00	$2,10 \times 10^{-1}$	$3,24 \times 10^{16}$
	$^{7}F_{1}\rightarrow ^{5}D_{0}$	2412,70	0,00	$7,76 \times 10^9$	$7,76 \times 10^9$	$7,32 \times 10^4$
	$^{7}\text{F}_{1}\rightarrow^{5}\text{D}_{1}$	678,70	$3,71 \times 10^3$	$8,84 \times 10^5$	$8,87 \times 10^5$	$3,42 \times 10^4$
T_1	$^{7}\text{F}_{1}\rightarrow ^{5}\text{D}_{2}$	-1777,30	0,00	$7,24 \times 10^7$	$7,24 \times 10^7$	$3,64 \times 10^{11}$
	$^{7}\text{F}_{1}\rightarrow ^{5}\text{D}_{3}$	-4649,30	$6,67 \times 10^{1}$	0,00	$6,67 \times 10^{1}$	$3,22 \times 10^{11}$
	$^{7}F_{1}\rightarrow ^{5}L_{6}$	-5619,30	$2,27 \times 10^{-1}$	0,00	$2,27 \times 10^{-1}$	$1,15 \times 10^{11}$
	$^{7}F_{1}\rightarrow ^{5}L_{7}$	-6651,30	$1,71 \times 10^{-1}$	0,00	$1,71 \times 10^{-1}$	$1,22 \times 10^{13}$
	$^{7}F_{1}\rightarrow ^{5}G_{2}$	-6686,30	0,00	$1,32 \times 10^7$	$1,32 \times 10^7$	$1,12 \times 10^{21}$
	$^{7}F_{1}\rightarrow ^{5}G_{3}$	-6916,30	6,26	0,00	6,26	$1,59 \times 10^{15}$
	$^{7}\text{F}_{1}\rightarrow ^{5}\text{G}_{6}$	-7046,30	$3,05 \times 10^{-2}$	0,00	$3,05 \times 10^{-2}$	$1,45 \times 10^{13}$
	$^{7}\text{F}_{1}\rightarrow ^{5}\text{G}_{5}$	-7057,30	$1,94 \times 10^{-1}$	0,00	$1,94 \times 10^{-1}$	$9,70 \times 10^{13}$
	$^{7}\text{F}_{0}\rightarrow ^{5}\text{D}_{0}$	10946,90	$7,02 \times 10^3$	0,00	$7,02 \times 10^3$	$1,11 \times 10^{-19}$
	$^{7}F_{0}\rightarrow ^{5}D_{1}$	9212,90	0,00	$5,27 \times 10^6$	$5,27 \times 10^6$	$3,41 \times 10^{-13}$
	$^{7}\text{F}_{0}\rightarrow ^{5}\text{L}_{6}$	2914,90	$7,77 \times 10^5$	0,00	$7,77 \times 10^5$	$6,59 \times 10^{-1}$
	$^{7}\text{F}_{0}\rightarrow ^{5}\text{G}_{6}$	1487,90	$2,84 \times 10^5$	0,00	$2,84 \times 10^5$	$2,26 \times 10^2$
	$^{7}\text{F}_{0}\rightarrow^{5}\text{D}_{4}$	653,90	$4,23 \times 10^6$	0,00	$4,23 \times 10^6$	$1,84 \times 10^5$
	$^{7}\text{F}_{1}\rightarrow ^{5}\text{D}_{0}$	11318,90	0,00	$2,05 \times 10^6$	$2,05 \times 10^6$	$5,44 \times 10^{-18}$
	$^{7}\text{F}_{1}\rightarrow^{5}\text{D}_{1}$	9584,90	$2,36 \times 10^6$	$1,77 \times 10^3$	$2,36 \times 10^6$	$2,57 \times 10^{-14}$
S ₁	$^{7}\text{F}_{1}\rightarrow ^{5}\text{D}_{2}$	7128,90	0,00	$2,56 \times 10^6$	$2,56 \times 10^{6}$	$3,62 \times 10^{-9}$
	$^{7}\text{F}_{1}\rightarrow^{5}\text{D}_{3}$	4256,90	$2,14 \times 10^7$	0,00	$2,14 \times 10^7$	$2,92 \times 10^{-2}$
	$^{7}F_{1}\rightarrow ^{5}L_{6}$	3286,90	$2,05 \times 10^5$	0,00	$2,05 \times 10^5$	$2,92 \times 10^{-2}$
	$^{7}F_{1}\rightarrow ^{5}L_{7}$	2254,90	$5,14 \times 10^5$	0,00	$5,14 \times 10^5$	$1,03 \times 10^{1}$
	$^{7}F_{1}\rightarrow ^{5}G_{2}$	2219,90	0,00	$1,45 \times 10^8$	$1,45 \times 10^8$	$3,45 \times 10^3$
	$^{7}F_{1}\rightarrow ^{5}G_{3}$	1989,90	$2,84 \times 10^7$	0,00	$2,84 \times 10^7$	$2,03 \times 10^3$
	$^{7}F_{1}\rightarrow ^{5}G_{6}$	1859,90	$1,46 \times 10^5$	0,00	$1,46 \times 10^5$	$1,95 \times 10^{1}$
	$^{7}F_{1}\rightarrow ^{5}G_{5}$	1848,90	$9,53 \times 10^5$	0,00	$9,53 \times 10^5$	$1,34 \times 10^2$

Para o cálculo do rendimento quântico, as seguintes taxas padrão referentes aos decaimentos envolvendo os estados centrados ligantes foram utilizadas: $S_1 \rightarrow S_0$ (10^6 s^{-1}), $S_1 \rightarrow T_1$ (10^8 s^{-1}) e $T_1 \rightarrow S_0$ (10^5 s^{-1}). Contudo, a nova versão do LUMPAC fornece uma interface bastante amigável através da qual estes valores de taxa podem ser alterados com a finalidade de, por exemplo, reproduzir o rendimento quântico experimental. Além disso, este recurso permite a inclusão de outros estados dos ligantes diferentes dos considerados por padrão ($S_1 \text{ e } T_1$).

No trabalho de Ilmi e colaboradores, um complexo de Tb3+ correlato a [Eu(hfaa)₄] também foi estudado. A título de demonstração, as taxas de TE envolvendo o complexo [Tb(hfaa)4] também foram calculadas (Tabela 6). O complexo [Tb(hfaa)₄] não apresenta estrutura cristalográfica então, para a otimização geométrica, a estrutura Sparkle/PM6 do complexo [Eu(hfaa)4] foi utilizada como partida e o átomo de Eu foi substituído pelo Tb. O modelo usado para o cálculo dos estados excitados também foi o INDO/S-CIS. A Tabela 6 lista 220 taxas envolvendo os seguintes níveis aceitadores do íon Tb3+ que estão disponíveis no LUMPAC 2.0: ⁵D₃, ⁵D₄, ⁵F₅, ⁵G₄, ⁵G₅, ⁵G₆, ⁵H₅, ⁵H₆, ⁵H₇, ⁵L₆ e ⁵L₁₀, sendo que para o íon Tb³⁺, ⁵D₄ é o nível emissor. Os valores de Δ mostram que, para o estado T₁, apenas o canal de transferência envolvendo a transição ${}^{7}F_{5} \rightarrow {}^{5}D_{4}$ tem energia menor que o nível doador. Nesse canal, a taxa W_{ET} (1,52) \times 10⁹ s⁻¹) é cerca de 10² vezes maior que $W_{\rm BT}$ (2,18 \times 10⁷ s⁻¹). Entretanto, devido à alta $W_{\rm BT}$ em comparação com $W_{\rm ET}$ nos demais canais de transferência, o rendimento e eficiência quântica experimentais e teóricos do complexo [Tb(hfaa)₄] é justificável, em torno de 3,8% e 4,8%, respectivamente.

1115

1116

1117

1118

1099

1100

1101

1102

1103

1104

1105

1106

1107

1108

1109

1110

1111

1112

1113

1114

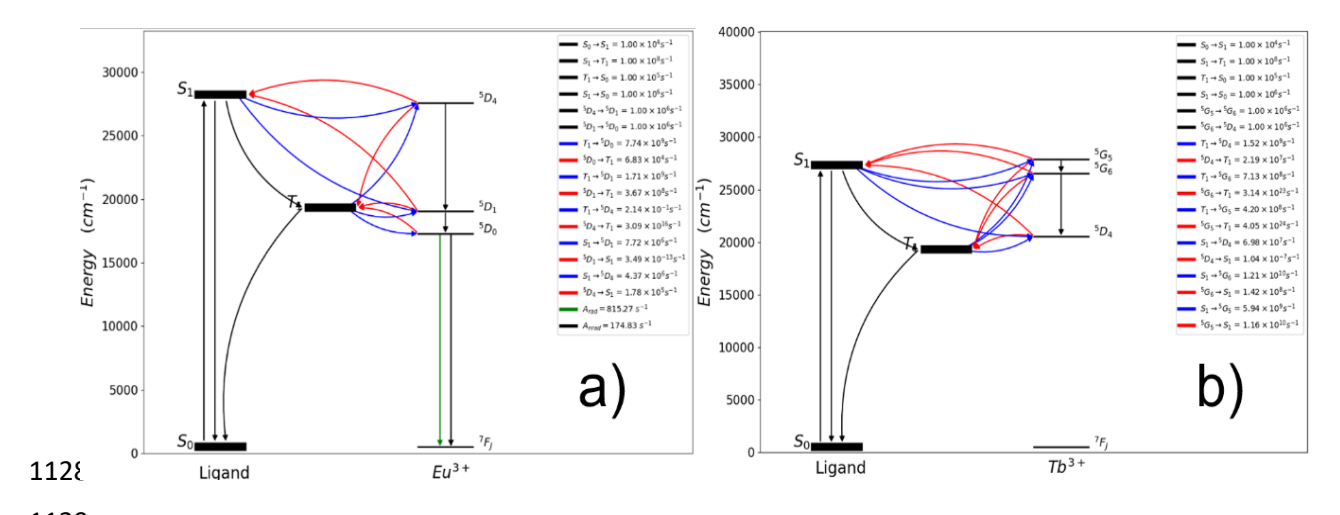
Tabela 6. Taxas de transferência (W_{ET}) e retrotransferência (W_{BT}) de energia, para cada canal de transferência e correspondente diferença de energia entre nível doador e aceitador de energia (Δ) para o complexo [Tb(hfaa)₄]⁻.

	anal		<i>W</i> ET ^{IC}	<i>W</i> er ^{EX}	14/	1//_
	anal	- Δ (cm ⁻¹)			W ET	W вт
Doador	Aceitador	_ (/	(s ⁻¹)	(s ⁻¹)	(s ⁻¹)	(s ⁻¹)
	${}^{7}F_{6} \rightarrow {}^{5}L_{6}$	-10388,60	0,00	$1,63 \times 10^5$	$1,63 \times 10^5$	$7,07 \times 10^{26}$
	$^{7}\text{F}_{6} \rightarrow ^{5}\text{H}_{7}$	-12097,60	0,00	$1,26 \times 10^4$	$1,26 \times 10^4$	$1,99 \times 10^{29}$
	$^{7}\text{F}_{6} \rightarrow {}^{5}\text{H}_{6}$	-13609,60	0,00	$9,18 \times 10^3$	$9,18 \times 10^3$	$2,04 \times 10^{32}$
	$^{7}\text{F}_{6} \rightarrow {}^{5}\text{H}_{5}$	-14485,60	0,00	$2,38 \times 10^{-5}$	$2,38 \times 10^{-5}$	$3,53 \times 10^{25}$
	$^{7}F_{6} \rightarrow {}^{5}F_{5}$	-15652,60	0,00	$4,40 \times 10^{2}$	$4,40 \times 10^{2}$	$1,76 \times 10^{35}$
	$^{7}\text{F}_{6} \rightarrow {}^{5}\text{D}_{4}$	-1162,60	$1,64 \times 10^3$	0,00	$1,64 \times 10^3$	$4,32 \times 10^5$
	$^{7}\text{F}_{6} \rightarrow ^{5}\text{D}_{3}$	-6954,60	$2,63 \times 10^{-1}$	0,00	$2,63 \times 10^{-1}$	$8,05 \times 10^{13}$
	$^{7}\text{F}_{6} \rightarrow {}^{5}\text{G}_{6}$	-7141,60	$8,03 \times 10^{1}$	$4,23 \times 10^8$	$4,23 \times 10^8$	$3,17 \times 10^{23}$
-	${}^{7}\text{F}_{6} \rightarrow {}^{5}\text{L}_{10}$	-7689,60	$2,94 \times 10^{-1}$	0,00	$2,94 \times 10^{-1}$	$3,05 \times 10^{15}$
T ₁	$^{7}\text{F}_{6} \rightarrow {}^{5}\text{G}_{5}$	-8485,60	$1,75 \times 10^{1}$	$8,65 \times 10^6$	$8,65 \times 10^6$	$4,09 \times 10^{24}$
	$^{7}\text{F}_{6} \rightarrow {}^{5}\text{G}_{4}$	-9005,60	1,01	0,00	1,01	$5,79 \times 10^{18}$
	$^{7}\text{F}_{5} \rightarrow {}^{5}\text{L}_{6}$	-8340,60	0,00	$2,75 \times 10^5$	$2,75 \times 10^5$	$6,48 \times 10^{22}$
	$^{7}\text{F}_{5} \rightarrow {}^{5}\text{H}_{7}$	-10049,60	0,00	0,00	0,00	0,00
	$^{7}\text{F}_{5} \rightarrow {}^{5}\text{H}_{6}$	-11561,60	0,00	$3,49 \times 10^4$	$3,49 \times 10^4$	$4,21 \times 10^{28}$
	$^{7}\text{F}_{5} \rightarrow {}^{5}\text{H}_{5}$	-12437,60	0,00	$1,30 \times 10^5$	$1,30 \times 10^5$	$1,05 \times 10^{31}$
	$^{7}\text{F}_{5} \rightarrow {}^{5}\text{F}_{5}$	-13604,60	0,00	$2,34 \times 10^4$	$2,34 \times 10^4$	$5,07 \times 10^{32}$
	$^{7}\text{F}_{5} \rightarrow {}^{5}\text{D}_{4}$	885,40	$2,66 \times 10^4$	$1,52 \times 10^9$	$1,52 \times 10^9$	$2,18 \times 10^7$
	$^{7}\text{F}_{5} \rightarrow {}^{5}\text{D}_{3}$	-4906,60	$2,77 \times 10^{2}$	0,00	$2,77 \times 10^2$	$4,59 \times 10^{12}$

	_					
	${}^{7}F_{5} ightarrow {}^{5}G_{6}$	-5093,60	$1,00 \times 10^3$	$2,88 \times 10^{8}$	$2,88 \times 10^{8}$	$1,17 \times 10^{19}$
	${}^{7}F_{5} \rightarrow {}^{5}L_{10}$	-5641,60	$3,69 \times 10^{-2}$	0,00	$3,69 \times 10^{-2}$	$2,08 \times 10^{10}$
	$^{7}F_{5} ightarrow {}^{5}G_{5}$	-6437,60	$1,10 \times 10^{1}$	$4,10 \times 10^{8}$	$4,10 \times 10^{8}$	$1,05 \times 10^{22}$
	${}^{7}F_{5} \rightarrow {}^{5}G_{4}$	-6957,60	$4,11 \times 10^{1}$	$4,02 \times 10^7$	$4,02 \times 10^7$	$1,25 \times 10^{22}$
	$^{7}F_{6} \rightarrow {}^{5}L_{6}$	-2358,30	0,00	$1,12 \times 10^8$	$1,12 \times 10^8$	$9,13 \times 10^{12}$
	$^{7}\text{F}_{6} \rightarrow {}^{5}\text{H}_{7}$	-4067,30	0,00	$5,26 \times 10^7$	$5,26 \times 10^7$	$1,56 \times 10^{16}$
	$^{7}\text{F}_{6} \rightarrow {}^{5}\text{H}_{6}$	-5579,30	0,00	$1,88 \times 10^8$	$1,88 \times 10^8$	$7,85 \times 10^{19}$
	$^{7}\text{F}_{6} \rightarrow {}^{5}\text{H}_{5}$	-6455,30	0,00	1,23	1,23	$3,42 \times 10^{13}$
	$^{7}\text{F}_{6} \rightarrow {}^{5}\text{F}_{5}$	-7622,30	0,00	$7,75 \times 10^7$	$7,75 \times 10^7$	$5,83 \times 10^{23}$
	$^{7}\text{F}_{6} \rightarrow {}^{5}\text{D}_{4}$	6867,70	$2,12 \times 10^7$	0,00	$2,12 \times 10^7$	$1,05 \times 10^{-7}$
	$^{7}\text{F}_{6} \rightarrow {}^{5}\text{D}_{3}$	1075,70	$1,42 \times 10^6$	0,00	$1,42 \times 10^6$	$8,14 \times 10^3$
	$^{7}\text{F}_{6} \rightarrow {}^{5}\text{G}_{6}$	888,70	$5,66 \times 10^{8}$	$9,49 \times 10^9$	$1,01 \times 10^{10}$	$1,42 \times 10^8$
	$^{7}\text{F}_{6} \rightarrow ^{5}\text{L}_{10}$	340,70	$3,28 \times 10^6$	0,00	$3,28 \times 10^6$	$6,40 \times 10^5$
	$^{7}\text{F}_{6} \rightarrow {}^{5}\text{G}_{5}$	-455,30	$5,09 \times 10^8$	$8,00 \times 10^8$	$1,31 \times 10^9$	$1,16 \times 10^{10}$
٥.	$^{7}\text{F}_{6} \rightarrow {}^{5}\text{G}_{4}$	-975,30	$5,08 \times 10^7$	0,00	$5,08 \times 10^7$	$5,46 \times 10^9$
S ₁	$^{7}\text{F}_{5} \rightarrow {}^{5}\text{L}_{6}$	-310,30	0,00	$2,18 \times 10^7$	$2,18 \times 10^7$	$9,67 \times 10^7$
	$^{7}\text{F}_{5} \rightarrow {}^{5}\text{H}_{7}$	-2019,30	0,00	0,00	0,00	0,00
	$^{7}\text{F}_{5} \rightarrow {}^{5}\text{H}_{6}$	-3531,30	0,00	$8,26 \times 10^7$	$8,26 \times 10^7$	$1,87 \times 10^{15}$
	$^{7}\text{F}_{5} \rightarrow {}^{5}\text{H}_{5}$	-4407,30	0,00	$7,73 \times 10^8$	$7,73 \times 10^8$	$1,17 \times 10^{18}$
	$^{7}\text{F}_{5} \rightarrow {}^{5}\text{F}_{5}$	-5574,30	0,00	$4,76 \times 10^{8}$	$4,76 \times 10^{8}$	$1,94 \times 10^{20}$
	$^{7}\text{F}_{5} \rightarrow {}^{5}\text{D}_{4}$	8915,70	$3,98 \times 10^7$	$7,21 \times 10^6$	$4,70 \times 10^7$	$1,27 \times 10^{-11}$
	$^{7}\text{F}_{5} \rightarrow {}^{5}\text{D}_{3}$	3123,70	$1,85 \times 10^8$	0,00	$1,85 \times 10^8$	$5,76 \times 10^{1}$
	$^{7}F_{5} \rightarrow {}^{5}G_{6}$	2936,70	$8,18 \times 10^8$	$7,45 \times 10^8$	$1,56 \times 10^9$	$1,19 \times 10^3$
	${}^{7}F_{5} \rightarrow {}^{5}L_{10}$	2388,70	$4,69 \times 10^4$	0,00	$4,69 \times 10^4$	$4,96 \times 10^{-1}$
	$^{7}\text{F}_{5} \rightarrow {}^{5}\text{G}_{5}$	1592,70	$3,70 \times 10^7$	$4,38 \times 10^9$	$4,41 \times 10^9$	$2,13 \times 10^6$
	$^{7}\text{F}_{5} \rightarrow {}^{5}\text{G}_{4}$	1072,70	$2,40 \times 10^8$	$7,43 \times 10^8$	$9,82 \times 10^8$	$5,73 \times 10^6$
1119						

Uma maneira de observar graficamente os canais de TE envolvidos na modelagem, é através do diagrama de Jablonski. A **Figura 22** ilustra os diagramas representativos fornecidos pelo LUMPAC 2.0, mostrando os canais de transferência juntamente com as taxas de TE ligante-metal consideradas para os complexos [Eu(hfaa)₄]- e [Tb(hfaa)₄]-.

Figura 22. Diagramas de Jablonski simplificados dos complexos **a)** [Eu(hfaa)₄]⁻ e **b)** [Tb(hfaa)₄]⁻ obtidos com o LUMPAC 2.0.



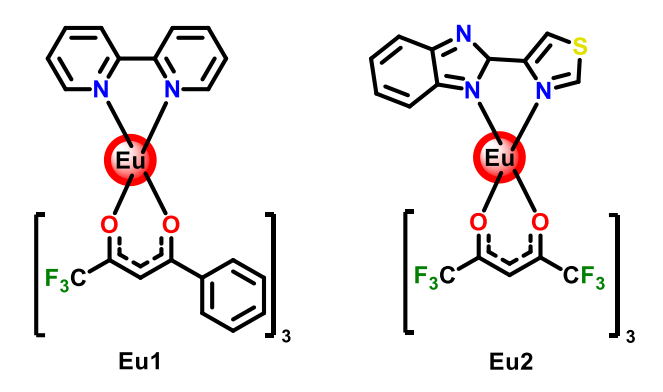
Mais detalhes sobre as novas funcionalidades do LUMPAC 2.0 está no **APÊNDICE**, onde foi desenvolvido um tutorial completo do programa.

CAPÍTULO 5: APLICAÇÃO DAS METODOLOGIAS

5.1. Sistemas estudados

De modo a melhorar a compreensão acerca das metodologias discutidas no **Capítulo 3** para a modelagem da transferência de energia (TE), dois complexos de Eu³⁺ foram selecionados: Eu1 [23] e Eu2 [9] (**Figura 23**). Estes complexos foram estudados em dois trabalhos de colaboração teórico e experimental entre nosso grupo de pesquisa e pesquisadores da *Sultan Qaboos University*, do Sultanato de Omã, liderados pelo professor Dr. Muhammad Khan.

Figura 23. Complexos de Eu³⁺ utilizados para aplicação das diferentes modelagens da transferência de energia.



Fonte: adaptado de Idris Juma Al-Busaidi *et al.* (2022) [23] e de Rashid Ilmi *et al.* (2022) [9].

Devido ao grande caráter iônico da ligação envolvendo os íons Ln³+, a simetria do poliedro de coordenação do complexo depende majoritariamente do efeito estérico dos ligantes. Isso leva à possibilidade de o poliedro de coordenação possuir variadas geometrias.

Em ambos os complexos, ligantes β -dicetonatos com diferentes substituintes estão presentes: 4,4,4-trifluoro-1-fenil-1,3-butanodiona (btfa), em Eu1 e 1,1,1,5,5,5-hexafluoroacetilacetona (hfac), em Eu2. As β -dicetonas são os principais ligantes antenas utilizados para a obtenção de complexos luminescentes de lantanídeos devido a sua fácil síntese, alta absortividade molar (ótimo cromóforo) e formação de complexos estáveis [8]. Além disso, as β -dicetonas são moléculas poucos volumosas geralmente, o que ajuda a diminuir a distância do centro doador ao centro aceitador de energia (R_L) no processo de

TE ligante-metal. Devido à perda do hidrogênio no carbono α , cada ligante β -dicetonato possui carga -1 e, como cada complexo possui três ligantes β -dicetonatos, juntamente com a carga do Eu³+, o complexo é neutralizado. Assim, como todos os ligantes auxiliares (aqueles que não são β -dicetonatos) são neutros, por extensão, os complexos Eu1 e Eu2 são neutros. O fato do complexo ser neutro facilita a sua obtenção e manuseio.

Mesmo as β-dicetonas sendo ligantes eficientes na sensibilização dos íons Ln³+, utilizar apenas essa espécie química, além de não resultar em um composto neutro, não garante rendimentos quânticos superiores a 60% para o íon Eu³+ e 6% para Sm³+ e Tb³+ [124], como visto no estudo de caso do **Capítulo** 4. Assim, grande parte dos complexos de Eu³+ eficientes e de fácil obtenção são tris-β-dicetonas com ligantes auxiliares.

Os ligantes auxiliares são utilizados para completar a coordenação do íon central. Além de absorverem energia, desempenham o papel de proteger o íon da coordenação de moléculas do solvente, evitando perdas da energia absorvida para o meio externo. O ligante auxiliar do complexo Eu1 é a bipiridina, um ligante bidentado e pouco volumoso, além de ser uma molécula comum e com alta conjugação de elétrons π . Já o ligante auxiliar de Eu2 é o tiabendazol, que também proporciona grande conjugação π . O tiabendazol, por exemplo, já foi estudado em trabalhos com marcadores de munição luminescentes [13]. Ambos os ligantes auxiliares de Eu1 e Eu2 são nitrogenados, os quais são comprovadamente eficientes nesse papel. Como todos os ligantes apresentam uma alta ou total conjugação eletrônica, a absorção de energia ocorre mais facilmente e, consequentemente, a probabilidade de transferência para o Eu³+ é aumentada.

Outros dez complexos foram inicialmente considerados para o estudo. Entretanto, para uma análise mais aprofundada utilizando as quatro metodologias, o que rende uma grande quantidade de informações, apenas os complexos Eu1 e Eu2 foram selecionados. Outro critério de escolha se deve especialmente ao fato de Eu1 e Eu2 serem complexos com poucos átomos quando comparados aos demais, fornecendo maior probabilidade de convergência das funções de onda e menor tempo de cálculo. Isso leva a uma menor susceptibilidade a interrupções dos cálculos devido a quedas de energia

elétrica, as quais afetam os computadores do laboratório regularmente. Além disso, Eu1 e Eu2 possibilitaram o estudo envolvendo as metodologias da relaxação dos estados excitados e dos processos de fluoro e fosforescência. Já para outros complexos, ocorreram problemas de convergência dos cálculos.

5.2. Otimização geométrica e cálculo dos estados excitados

A otimização geométrica do sistema é uma etapa crucial para o cálculo das demais propriedades. A geometria de cada complexo foi otimizada por meio de métodos baseados na Teoria do Funcional da Densidade (DFT) [131] usando o funcional híbrido PBE0 [132], também denominado de PBE1PBE, juntamente com a base TZVP. A estrutura eletrônica do Eu³+ foi tratada com o potencial efetivo de caroço (ECP, do inglês "Effective Core Potential") MWB52 [133]. A base TZVP considera a estrutura eletrônica (5s1p)/[3s1p] para o átomo de hidrogênio, (11s6p1d)/[5s3p1d] para o carbono, nitrogênio, oxigênio e flúor e (14s9p1d)/[5s4p1d] para o enxofre. Uma base maior (def2-TZVPPD) também foi testada nos cálculos DFT, mas os cálculos chegaram a convergir. O ECP MWB52 considera o átomo de európio com 52 elétrons no caroço e os 11 elétrons de valência são descritos por (7s6p5d)/[5s4p3d]. As respectivas estruturas cristalográficas dos complexos Eu1 e Eu2 foram utilizadas como estrutura inicial nos cálculos DFT.

Como mencionado no **Capítulo 3**, algumas metodologias recomendam a aplicação de métodos *ab initio* multirreferenciais e a inclusão do acoplamento spin-órbita no cálculo dos estados excitados dos ligantes. Entretanto, dado o alto custo computacional que essas metodologias demandam, os métodos DFT foram escolhidos para manter a isonomia entre as abordagens de modelagem da TE.

Os estados excitados singleto e tripleto dos ligantes foram calculados através da Teoria do Funcional da Densidade Dependente do Tempo (TDDFT), com os funcionais híbridos PBE1PBE e CAM-B3LYP. Dois funcionais diferentes foram selecionados a fim de avaliar possíveis diferenças das propriedades espectroscópicas obtidas com os diferentes funcionais. Nestes cálculos, o ECP MWB52 foi usado para representar a estrutura eletrônica do európio e a função de base SVP [134] foi considerada para os demais átomos. A escolha de uma

função de base com menos componentes foi motivada para reduzir o tempo de cálculo em algumas etapas. A base SVP considera a estrutura eletrônica (4s1p)/[2s1p] para o átomo de hidrogênio, (7s4p1d)/[3s2p1d] para o carbono, nitrogênio, oxigênio e flúor e (10s7p1d)/[4s3p1d] para o átomo de enxofre.

Todos os cálculos DFT foram executados no *software* ORCA 5.0.3, instalado no *cluster* de computadores do Laboratório de Química Computacional Pople. Cada um dos 12 computadores contém de 20 a 40 processadores, com capacidade de memória RAM que varia de 16 a 48 GB. Mesmo usando vários processadores em paralelo, cálculos com métodos DFT podem demandar muito tempo para serem finalizados. O tempo de execução do cálculo está relacionado à combinação funcional da densidade/função de base empregada, ao tamanho da estrutura e ao poder computacional disponível.

5.3. Procedimento das metodologias

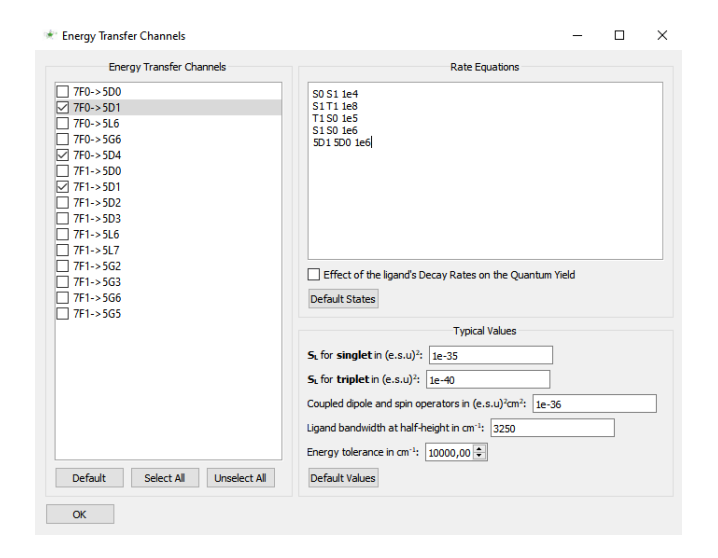
5.3.1. METODOLOGIA CLÁSSICA

A metodologia clássica é a mais simples dentre as estudadas, pois necessita apenas da geometria otimizada do complexo no estado fundamental e dos estados excitados S_1 e T_1 calculados para esta geometria. Com ajuda do LUMPAC 2.0, as taxas de TE ligante-metal e demais dados fotofísicos são determinados no módulo 3.

A função de onda no estado fundamental para o ajuste dos parâmetros de Judd-Ofelt teóricos foi obtida através de um cálculo semiempírico RM1. Testes mostraram que o uso de funções de onda provindas de cálculos DFT não levam a bons ajustes dos parâmetros de intensidade.

Nesta metodologia a interação dos níveis S₁ e T₁ com o nível ⁵D₀ não é contabilizada. Assim, a fim de calcular o rendimento quântico teórico (**Equação** (18)), o estado ⁵D₀ é populado através do decaimento não radiativo advindo do estado ⁵D₁. Para aplicar este procedimento no LUMPAC 2.0, a fim de calcular as taxas de transferência e o rendimento quântico, deve-se considerar as especificações mostradas na **Figura 24**.

Figura 24. Canais de transferência de energia e taxas intraligantes utilizadas para aplicação da metodologia clássica no LUMPAC 2.0.

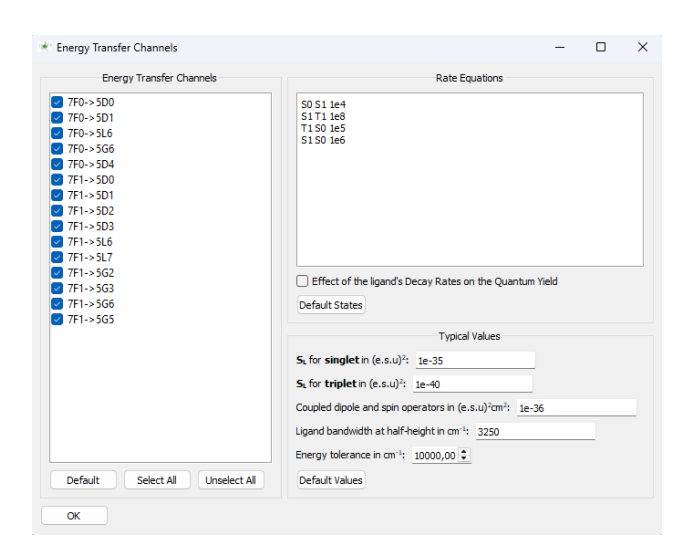


5.3.2. METODOLOGIA DA GENERALIZAÇÃO DOS ESTADOS EXCITADOS

Como mencionado anteriormente, a diferença desta metodologia para a clássica é que canais de transferência contemplando os estados S₁ e T₁ e todos os níveis aceitadores do íon Eu³⁺ são incluídos na modelagem do processo de TE. Os níveis aceitadores que estão disponíveis no LUMPAC são: ⁵D₁, ⁵D₂, ⁵D₃, ⁵D₄, ⁵L₆, ⁵L₇, ⁵G₂, ⁵G₃, ⁵G₆ e o estado emissor ⁵D₀.

Embora o procedimento aplique cálculos TDDFT com acoplamento spinórbita para determinar as taxas de decaimento não radiativo entre os estados energéticos dos ligantes, devido ao elevado custo computacional, os valores típicos dessas taxas presentes no LUMPAC foram considerados na estimativa do rendimento quântico. Deste modo, os resultados DFT/TDDFT considerados nas estimativas numéricas das taxas de TE com a metodologia clássica também foram considerados na metodologia da generalização dos estados excitados.

Figura 25. Canais de transferência de energia e taxas intraligantes utilizadas na aplicação da metodologia da generalização dos estados excitados no LUMPAC 2.0



5.3.3. METODOLOGIA DA RELAXAÇÃO DOS ESTADOS

Os resultados DFT/TDDFT aplicados no estudo das duas metodologias citadas anteriormente foram aproveitados no estudo da metodologia da relaxação dos estados excitados. Entretanto, cálculos TDDFT com mesmo nível de teoria foram executados para otimizar a geometria dos estados excitados S1 (considerando a geometria fundamental S0 como estrutura de partida) e T1 (a partir da geometria otimizada S1). Para a determinação da ZPE, as frequências vibracionais das estruturas do estado fundamental (S0) e dos estados excitados S1 e T1 foram calculadas. Em todos os cálculos é importante atentar à utilização do mesmo nível de teoria DFT.

5.3.4. METODOLOGIA DA FLUORO E FOSFORESCÊNCIA

Segundo os autores dessa metodologia, é necessário que os ligantes sejam estudados individualmente em razão do alto custo computacional relacionado. Inicialmente, usando informações dos estados excitados singleto, os ligantes que mais participam do processo de absorção de energia são selecionados. Entretanto, para os complexos estudados, tanto os ligantes β-dicetonatos quanto os ligantes auxiliares contribuem para o processo de absorção, impedindo a fragmentação dos complexos, o que poderia agilizar a execução dos cálculos. Portanto, a metodologia foi aplicada ao complexo completo. Além disso, os autores recomendam a utilização de cálculos *ab initio* principalmente para a

determinação da energia dos estados excitados, das taxas de fluorescência, de fosforescência e do cruzamento intersistema. Entretanto, devido ao elevado custo computacional associado, o método DFT foi aplicado para esse fim.

Deste modo, a partir das geometrias otimizadas com DFT, fez-se a otimização do estado fundamental novamente, mas incluindo o cálculo das frequências vibracionais. Essa etapa é importante para a obtenção da matriz hessiana, da qual o método de dinâmica dos estados excitados implementado no ORCA depende. Com a nova estrutura otimizada, o mesmo procedimento foi aplicado para determinar as frequências vibracionais das estruturas S_1 e T_1 otimizadas. Em seguida, as taxas dos decaimentos $S_1 \rightarrow S_0$ (fluorescência) e $T_1 \rightarrow S_0$ (fosforescência) foram calculadas usando o método da dinâmica dos estados excitados. Usando também as estruturas S_1 e T_1 otimizadas juntamente com as correspondentes matrizes hessianas, a taxa de cruzamento intersistema $S_1 \rightarrow T_1$ para cada complexo foi estimada. Com base no valor dessas taxas, o complexo será então qualitativamente avaliado como sendo potencialmente luminescente ou não.

5.4. Resultados das abordagens

As propriedades espectroscópicas dos complexos Eu1 e Eu2 determinadas experimentalmente serão comparadas com aquelas obtidas pelas diferentes metodologias. Os dados fotofísicos são úteis especialmente para as metodologias clássicas e da generalização dos estados excitados, que se propõem a quantificar o rendimento quântico e eficiência quântica teórica. Alguns dados experimentais estão dispostos na **Tabela 7**.

Tabela 7. Dados experimentais dos complexos Eu1 [23] e Eu2 [9].

Propriedade espectroscópica	Eu1	Eu2	Propriedade espectroscópica	Eu1	Eu2
$\Omega_2 \ (\times \ 10^{-20} \ cm^2)$	30,25	24,57	7 (%)	90,45	76,87
$\Omega_4 (\times 10^{-20} \text{ cm}^2)$ $\tau_{\text{obs}} (\mu \text{s})$	9,91 926,91	7,25 977,81	q (%) 7 sens (%)	63,00 69,65	47,00 61,14
A _{rad} (s ⁻¹) A _{nrad} (s ⁻¹)	975,76 102,99	786,18 236,52	n*	1,424	1,424

^{*}Índice de refração do solvente diclorometano utilizado.

A representação gráfica das estruturas tridimensionais dos complexos Eu1 e Eu2 otimizados com DFT PBE1PBE/TZVP/MWB52 foram obtidas com o LUMPAC 2.0 (**Figura 26**). Visualmente, há certa semelhança entre os poliedros de coordenação dos complexos. Entretanto, o RMSD entre os poliedros aponta para um erro de 2,1021 Å. As coordenadas esféricas dos poliedros de coordenação dos complexos estão na **Tabela 8**.

Figura 26. Estruturas dos complexos Eu1 e Eu2 otimizadas com PBE1PBE/TZVP/MWB52 obtidas com o LUMPAC 2.0.

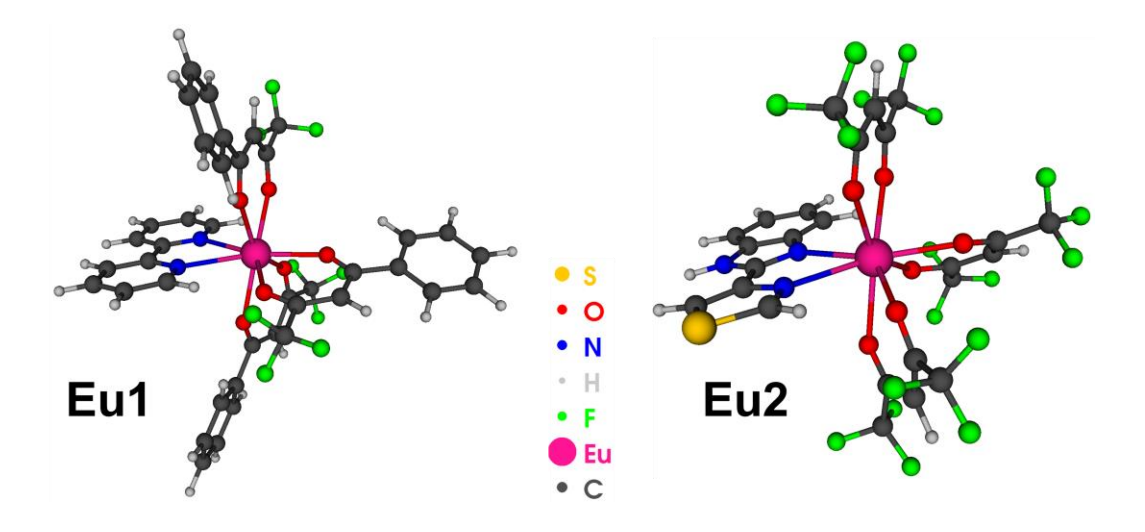


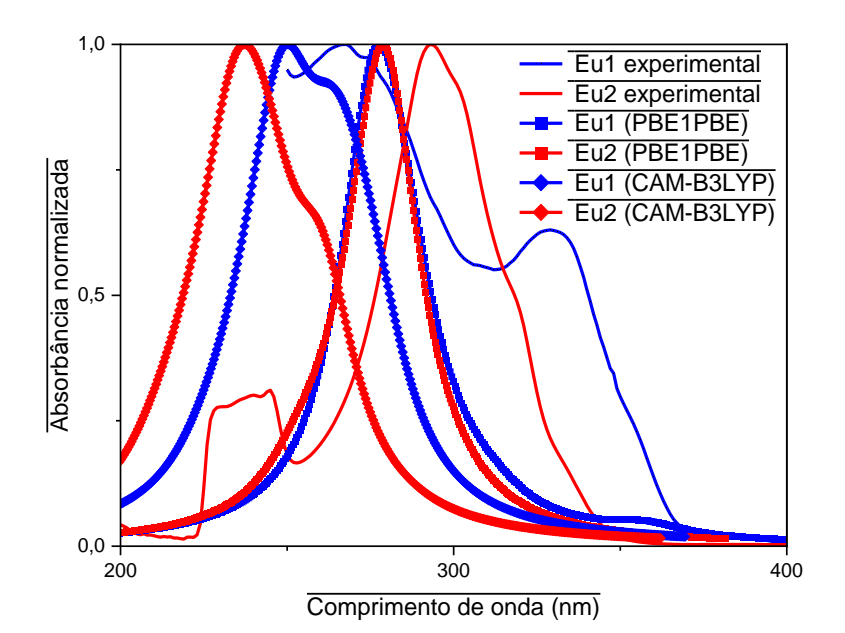
Tabela 8. Coordenadas esféricas dos poliedros de coordenação dos complexos Eu1 e Eu2 otimizados com DFT PBE1PBE/TZVP/MWB52.

Eu1				Eu2			
Átomo	R	θ	φ	Átomo	R	θ	φ
N	2,6426	60,835	282,583	N	2,5873	111,655	123,835
N	2,6476	79,344	345,105	N	2,6579	158,472	195,337
0	2,4043	143,993	298,965	0	2,4192	124,842	26,119
0	2,3959	107,190	219,875	0	2,4277	115,979	302,922
0	2,3786	112,463	134,104	0	2,3823	87,350	222,710
0	2,4023	123,360	53,162	0	2,4387	39,518	161,309
0	2,4027	46,894	63,545	0	2,4046	58,378	56,111
0	2,3999	36,887	181,610	0	2,3787	40,421	317,747
	•	•	•		•		•

Os espectros de absorção eletrônica dos complexos Eu1 e Eu2 tanto experimentais quanto teóricos estão dispostos na **Figura 27**. Coincidentemente, os espectros teóricos de Eu1 e Eu2 calculados com PBE1PBE são bastante semelhantes. Os espectros calculados com CAM-B3LYP estão majoritariamente em regiões de menores comprimentos de onda quando comparados com os

calculados com PBE1PBE. Além disso, os espectros de Eu1 e Eu2 calculados com CAM-B3LYP apresentam perfis parecidos, mas com deslocamento do espectro de Eu2 para menores comprimentos de onda.

Figura 27. Espectros de absorção experimentais e teóricos dos complexos Eu1 e Eu2 calculados com os funcionais PBE1PBE e CAM-B3LYP, usando a função de base SVP e o ECP MWB52.



5.4.1. METODOLOGIA CLÁSSICA

As energias S₁ e T₁ com seus respectivos *R*_L, juntamente com os orbitais mais relevantes para formação dos estados em ambos os complexos, estão listados na **Tabela 9**. É possível observar que as energias T₁ dos complexos são praticamente semelhantes (22638,10 e 22881,40 cm⁻¹ para Eu1 e Eu2, respectivamente). Em contrapartida, as energias S₁ apresentaram diferenças maiores. Outro ponto a salientar é que os estados S₁ são formados majoritariamente pela transição HOMO→LUMO, enquanto os estados T₁ são descritos por mais transições eletrônicas.

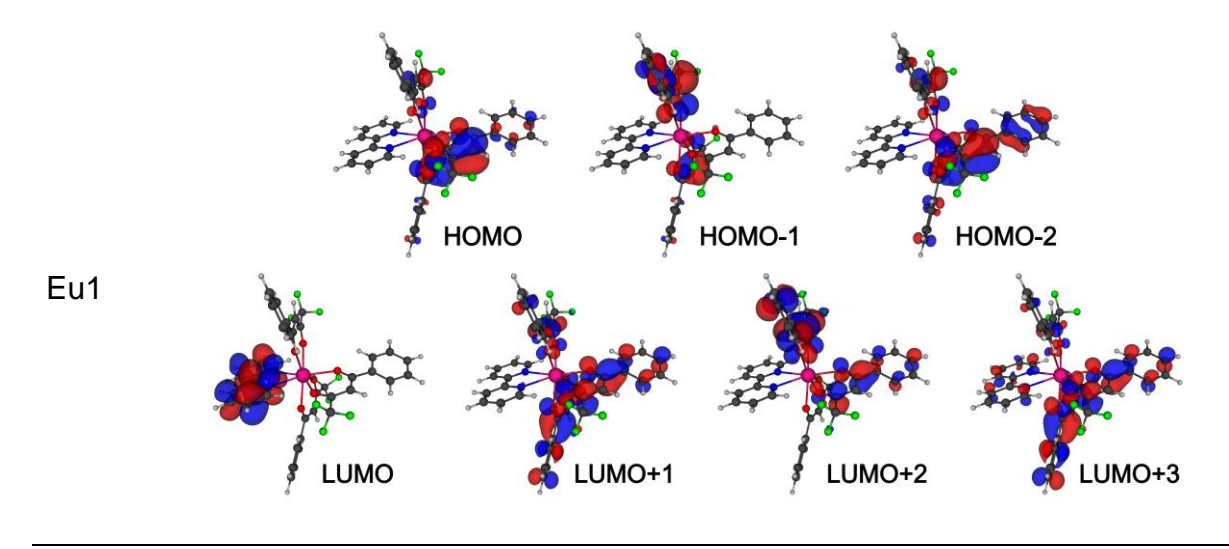
Tabela 9. Estados singleto (S₁) e tripleto (T₁) de menor energia, distância RL e transições eletrônicas mais importantes para a formação de S₁ e T₁ calculados com a abordagem TDDFT PBE1PBE/SVP/MWB52.

Complexo	Estado	Energia (cm ⁻¹)	R∟ (Å)	Transições mais importantes	Total
Eu1	S ₁	27549,60	3,9966	HOMO→LUMO (91,17%)	96,58%
				HOMO-2→LUMO (5,41%)	
	T_1	22638,10	4,2801	HOMO→LUMO+1 (43,25%)	80,03%
				HOMO-2→LUMO+3 (17,57%)	
				HOMO→LUMO+2 (12,15%)	
				HOMO-2→LUMO+2 (7,06%)	
Eu2	S ₁	32620,70	4,3775	HOMO→LUMO (93,66%)	93,66%
	T_1	22881,40	3,1741	HOMO→LUMO+1 (41,51%)	86,88%
				HOMO→LUMO+3 (19,23%)	
				HOMO-3→LUMO+3 (14,86%)	
				HOMO-4→LUMO+3 (6,27%)	
				HOMO→LUMO+2 (5,02%)	

A fim de entender melhor a determinação do R_L dos complexos, os orbitais envolvidos nas transições eletrônicas foram renderizados (**Figura 28**). A transição HOMO \rightarrow LUMO em ambos os complexos ocorrem partindo das β -dicetonas para os ligantes auxiliares. A densidade eletrônica dos orbitais HOMO concentra-se nos oxigênios ligantes das β -dicetonas. Isso explica as semelhantes R_L entre os estados S_1 de Eu1 e Eu2. A grande diferença entre as distâncias R_L dos estados S_1 está atrelada às transições envolverem majoritariamente os ligantes β -dicetonatos. Como os ligantes btfa do Eu1 são significantemente maiores que os ligantes hfac de Eu2, a distância entre o centro doador (ligantes btfa) e aceitador (Eu³+) de energia é maior.

Vale salientar que apesar do foco desta metodologia ser a busca do rendimento quântico teórico, o LUMPAC 2.0 contém recursos que permitem o aprofundamento de todo o fenômeno. As taxas de transferência e retrotransferência de energia ligante-Eu³⁺ estão dispostas na **Tabela 10**. Nos dois complexos, todas as taxas de transferência de energia (W_{ET}) são maiores que as taxas de retrotransferência (W_{BT}), sugerindo alta população dos níveis aceitadores do Eu³⁺. Para ambos os complexos, as maiores W_{ET} são para o canal T₁ \rightarrow [7 F₀ \rightarrow 5 D₁], indicando a alta população do estado 5 D₁. Como resultado, a probabilidade de população energética do estado emissor 5 D₀ é aumentada. Qualitativamente, segundo as taxas, pode-se sugerir que a alta população dos níveis emissores dos complexos leva a uma eficiente luminescência.

Figura 28. Orbitais mais importantes para a formação dos estados S₁ e T₁ calculados com o método TDDFT PBE1PBE/SVP/MWB52 e obtidos com o LUMPAC 2.0.



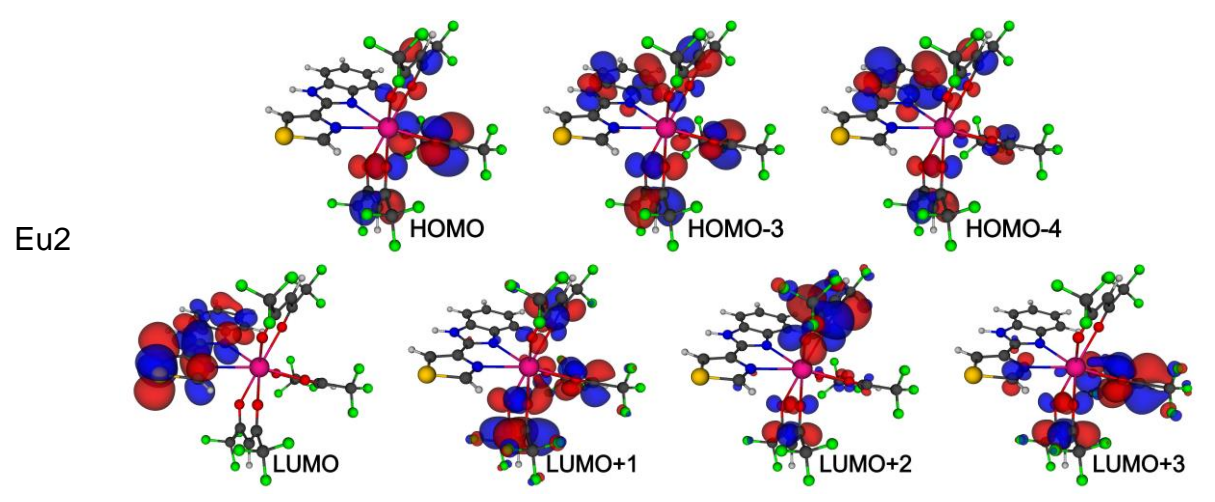


Tabela 10. Taxas de transferência e retrotransferência de energia e diferença de energia entre os níveis doadores e aceitadores de energia (Δ) calculadas considerando os canais propostos pela metodologia clássica calculadas com os dados TDDFT PBE1PBE/SVP/MWB52.

Complexo	С	anal	Δ	<i>W</i> _{ET}	<i>W</i> _{BT}
Complexo	Doador	Aceptor	(cm ⁻¹)	(s ⁻¹)	(s ⁻¹)
Eu1	S ₁	$^{7}\text{F}_{0}\rightarrow^{5}\text{D}_{4}$	-36,40	$5,96 \times 10^5$	$7,10 \times 10^5$
	T_1	$^{7}\text{F}_{0}\rightarrow ^{5}\text{D}_{1}$	3611,10	$4,03 \times 10^7$	$1,21 \times 10^{0}$
		$^{7}\text{F}_{1}\rightarrow ^{5}\text{D}_{1}$	3983,10	$1,79 \times 10^4$	$9,06 \times 10^{-5}$
Eu2	S_1	$^{7}\text{F}_{0}\rightarrow ^{5}\text{D}_{4}$	5034,70	$3,59 \times 10^4$	$1,17 \times 10^{-6}$
	T_1	$^{7}\text{F}_{0}\rightarrow ^{5}\text{D}_{1}$	3854,40	$9,58 \times 10^{8}$	$8,98 \times 10^{0}$
		$^{7}\text{F}_{1}\rightarrow^{5}\text{D}_{1}$	4226,40	$4,19 \times 10^5$	$6,60 \times 10^{-4}$

Com as taxas calculadas e os parâmetros de Judd-Ofelt ajustados, os dados fotofísicos teóricos contidos na **Tabela 11** foram calculados. A comparação entre

os dados teóricos e experimentais (**Tabela 7**) revela que os valores são concordantes, exceto o rendimento quântico e, consequentemente, a eficiência de sensibilização. É justamente a determinação do rendimento quântico a maior problemática dessa metodologia. A explicação é que, devido às taxas de decaimento intraligantes serem fixas, especialmente T₁→S₀ em 1×10⁵ s⁻¹, taxas envolvendo o canal T₁→⁵D₁ maiores que esse valor (o caso para Eu1 e Eu2) terão prioridade durante a despopulação de T₁. Isso leva aos estados aceptores do Eu³⁺ serem totalmente populados, diminuindo as perdas de energias durante o processo de TE. Desta forma, o rendimento quântico assume valores muito próximos aos da eficiência quântica. Por essa razão, a eficiência de sensibilização comumente chega próximo a 100%.

Tabela 11. Dados fotofísicos teóricos calculados com o LUMPAC 2.0.

Dado teórico	Eu1	Eu2
Ω_2 (x 10 ⁻²⁰ cm ²)	30,23	24,57
$\Omega_4 \ (\times \ 10^{-20} \ cm^2)$	10,03	7,25
Ω_6 (x 10 ⁻²⁰ cm ²)	0,49	0,24
Arad (s ⁻¹)	945,62	764,67
Anrad (s ⁻¹)	133,25	258,04
η (%)	87,65	74,77
q (%)	86,68	74,03
η_{sens} (%)	98,89	99,01

Com a versão 2.0 do LUMPAC, as taxas intraligantes (inclusive de $T_1 \rightarrow S_0$) podem ser variadas a fim de obter o rendimento quântico como uma função das taxas de decaimento intraligantes. Assim, alguns valores de taxa de decaimento intraligantes podem ser sugeridos para estimar um rendimento quântico mais concordante com o experimental. Por exemplo, o aumento da taxa de decaimento $T_1 \rightarrow S_0$ para 2.5×10^7 s⁻¹ fornece 63,99% e 73,01%, respectivamente, para o rendimento quântico e eficiência de sensibilização para Eu1. Em relação a Eu2, o aumento da taxa $T_1 \rightarrow S_0$ para 1×10^8 s⁻¹ e da taxa $S_1 \rightarrow S_0$ para 5×10^7 s⁻¹ resulta em um rendimento quântico de 43,74% e em uma eficiência de sensibilização igual a 58,49%. Ou seja, o refinamento da metodologia está na determinação das taxas intraligantes, seja de maneira experimental ou teórica.

Utilizando o funcional CAM-B3LYP, as energias para os estados S₁ e T₁ (**Tabela 12**) são superestimadas quando comparadas com as energias obtidas

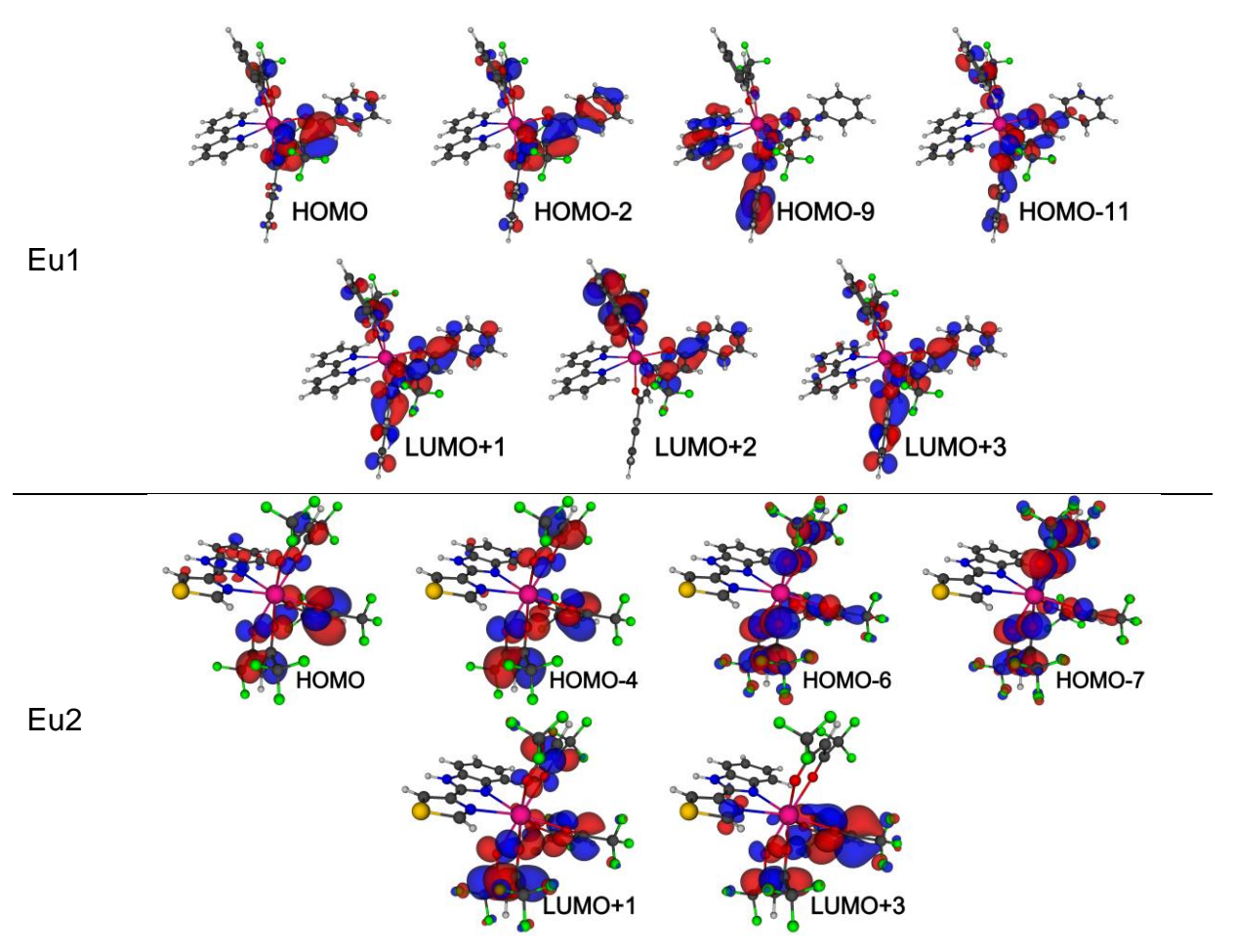
para o funcional PBE1PBE. É comum que estados excitados calculados com CAM-B3LYP apresentem energias maiores que os funcionais PBE1PBE e B3LYP. Além disso, com CAM-B3LYP, as transições eletrônicas que descrevem os níveis S₁ e T₁ são diferentes, variando os orbitais HOMO, HOMO-2. HOMO-1428 9, HOMO-11, LUMO+1, LUMO+2 e LUMO+3 para Eu1 e HOMO, HOMO, HOMO-4, HOMO-6, HOMO-7, LUMO+1 e LUMO+3 para Eu2.

Tabela 12. Energias singleto e tripleto de menores energias, seus RL e transições eletrônicas mais importantes na formação do estado calculadas com CAM-B3LYP.

Complexo	Estado	Energia (cm ⁻¹)	R∟ (Å)	Transições mais importantes	Total
Eu1	S ₁	33958,60	4,0657	HOMO-9→LUMO+3 (15,21%)	56,19%
				HOMO-9→LUMO+1 (14,55%)	
				HOMO-11→LUMO+3 (14,02%)	
				HOMO-11→LUMO+1 (12,41%)	
	T_1	23234,00	4,2366	HOMO→LUMO+1 (35,02%)	74,18%
				HOMO-2→LUMO+3 (16,87%)	
				HOMO→LUMO+2 (13,57%)	
				HOMO-2→LUMO+2 (8,72%)	
Eu2	S ₁	34826,30	3,1549	HOMO-6→LUMO+1 (42,56%)	78,41%
				HOMO-7→LUMO+1 (18,16%)	
				HOMO-6→LUMO+3 (9,53%)	
				HOMO-7→LUMO+3 (8,16%)	
	T_1	22953,40	3,2143	HOMO→LUMO+1 (31,71%)	78,07%
				HOMO-4→LUMO+3 (23,67%)	
				HOMO→LUMO+3 (22,69%)	

Em ambos os complexos, a maior parte das transições eletrônicas ocorrem nos ligantes β -dicetonatos (**Figura 29**). As R_L dos estados S_1 e T_1 de Eu2 são menores que Eu1 devido aos orbitais estarem presentes quase que exclusivamente nos ligantes hfac, que são menores que as btfa de Eu1. Embora com resultados de energias diferentes, ambos funcionais híbridos revelam que as β -dicetonas desempenham papel mais relevante durante a absorção de energia tanto para S_1 quanto para T_1 .

Figura 29. Orbitais mais importantes para a formação dos estados singleto excitado e tripleto de menores energias calculadas com TDDFT CAM-B3LYP/SVP/MWB52 e obtidos com o LUMPAC 2.0



As taxas de transferência de energia foram calculadas e estão dispostas na **Tabela 13**. Mesmo com as maiores energias, as taxas calculadas com os resultados CAM-B3LYP são semelhantes àquelas estimadas usando os dados PBE1PBE. Tanto S₁ quanto T₁, nos dois complexos, têm energias superiores aos níveis aceitadores do Eu³⁺ envolvidos nos canais selecionados, variando de 3926,40 a 7240,30 cm⁻¹.

Tabela 13. Taxas de transferência e retrotransferência de energia e diferença de energia entre os níveis doadores e aceitadores de energia (Δ) calculadas para os canais propostos pela metodologia clássica usando os dados TDDFT CAMB3LYP/SVP/MWB52.

Compleye	С	anal	Δ	WET	W _{BT}
Complexo	Doador	Aceptor	(cm ⁻¹)	(s ⁻¹)	(s ⁻¹)
Eu1	S ₁	$^{7}\text{F}_{0} \rightarrow {}^{5}\text{D}_{4}$	6372,60	$3,40 \times 10^4$	$1,82 \times 10^{-9}$
	T_1	$^{7}\text{F}_{0} \rightarrow {}^{5}\text{D}_{1}$	4207,00	$3,32 \times 10^7$	$5,73 \times 10^{-2}$
		$^{7}\text{F}_{1} \rightarrow {}^{5}\text{D}_{1}$	4579,00	$1,43 \times 10^4$	$4,16 \times 10^{-6}$
Eu2	S_1	$^{7}\text{F}_{0} \rightarrow {}^{5}\text{D}_{4}$	7240,30	$3,06 \times 10^5$	$2,54 \times 10^{-10}$
	T_1	$^{7}\text{F}_{0} \rightarrow {}^{5}\text{D}_{1}$	3926,40	$8,04 \times 10^8$	$5,33 \times 10^{0}$
		$^{7}\text{F}_{1} \rightarrow {}^{5}\text{D}_{1}$	4298,40	$3,50 \times 10^5$	$3,91 \times 10^{-5}$

Como os parâmetros de Judd-Ofelt ajustados dependem diretamente da geometria do composto, os valores utilizados para calcular as propriedades fotofísicas são os mesmos presentes **Tabela 11**. Assim, outros dados que não dependem das taxas de TE são idênticos: A_{rad} , A_{nrad} e eficiência quântica. Portanto, apenas o rendimento quântico e, por extensão, a eficiência de sensibilização variam com as taxas de TE. Entretanto, como as taxas são bastante semelhantes, os rendimentos teóricos são parecidos aos obtidos com os dados PBE1PBE: 86,44% para Eu1 e 74,02% para Eu2. Novamente, a obtenção de rendimentos teóricos mais concordantes aos experimentais dependem de um ajuste das taxas intraligantes.

5.4.2. METODOLOGIA DA GENERALIZAÇÃO DOS ESTADOS EXCITADOS

Para essa metodologia, a análise dos complexos estudados é feita de maneira semelhante à clássica. Como as taxas intraligantes não foram calculadas com a abordagem SOC-TDDFT, as mesmas taxas intraligantes utilizadas na metodologia anterior foram aproveitadas. Entretanto, se estas taxas forem calculadas ou mesmo medidas experimentalmente, elas podem ser inseridas na janela *Energy Transfer Channels*, no módulo 3.3 do LUMPAC 2.0, como mostrado na **Figura 25**. Para cada complexo e método, 120 taxas distribuídas entre 30 canais de TE S₁,T₁→Eu³+ foram calculadas. As taxas foram analisadas considerando a contribuição pelas interações coulômbicas, de troca e suas somas, além da retrotransferência de energia.

A **Tabela 14** mostra as taxas calculadas com o método PBE1PBE para o complexo Eu1. Devido a uma maior quantidade de canais, esse tratamento leva

a possibilidade de identificar os principais canais de TE ligante-Eu³⁺. Nesse caso, 1482 o principal canal de transferência é $T_1 \rightarrow [^7F_1 \rightarrow ^5D_0]$ (7,35×10⁷ s⁻¹), o que 1483 demonstra a importância do nível ⁵D₀ do Eu³⁺ para a modelagem do processo de 1484 TE, o qual não é considerado na metodologia clássica. Devido à maior taxa, a 1485 população do nível emissor tende a ser maior, o que aumenta a eficiência do 1486 1487 processo de excitação do Eu³⁺. Em um panorama geral, a soma das taxas de TE dos canais envolvendo S_1 (W_{ET}^S) é 4,81×10⁷ s⁻¹, enquanto a retrotransferência 1488 (W_{BT}^S) é de 7,50×10⁵ s⁻¹. Ou seja, o nível S₁ tende a popular os níveis aceitadores 1489 do Eu³⁺. Já os canais com nível T₁ e 5D_0 somam taxas de $(W_{ET}^{T\prime})$ 7,35×10⁷ s⁻¹, 1490 justamente a W_{ET} do canal $T_1 \rightarrow [^7F_1 \rightarrow ^5D_0]$, enquanto a taxa de retrotransferência 1491 $(W_{RT}^{T\prime})$ é aproximadamente 9,09 × 10⁻⁵, também com contribuição majoritária de 1492 $T_1 \rightarrow [^7F_1 \rightarrow ^5D_0]$. Embora $T_1 \rightarrow [^7F_1 \rightarrow ^5D_0]$ apresente maior retrotransferência que 1493 $T_1 \rightarrow [^7F_0 \rightarrow ^5D_0]$, a taxa de retrotransferência ainda é cerca de 10^{12} vezes menor 1494 que a taxa de TE. A soma das demais W_{ET} envolvendo T₁ (W_{ET}^T) é 5,10 × 10⁷, 1495 sendo a retrotransferência (W_{BT}^{T}) igual a 7,18×10¹³ s⁻¹, governada pelo canal 1496 $T_1 \rightarrow [^7F_1 \rightarrow ^5G_2]$. Visto que $W_{ET}^{T'}$ é maior que W_{ET}^T e que $W_{BT}^{T'}$ é menor que W_{BT}^T , é 1497 possível constatar a importância dos canais de TE envolvendo T₁ e ⁵D₀. 1498

Tabela 14. Canais e taxas de transferência de energia por interações coulômbica (W_{ET}^{IC}) , de troca (W_{ET}^{EX}) e total (W_{ET}) e retrotransferência (W_{BT}) do complexo Eu1 calculados com dados TDDFT PBE1PBE.

С	anal	Δ	W_{ET}^{IC}	W_{ET}^{EX}	W_{ET}	W_{BT}
Doador	Aceitador	(cm ⁻¹)	(s ⁻¹)	(s ⁻¹)	(s ⁻¹)	(s ⁻¹)
	$^{7}\text{F}_{0}\rightarrow ^{5}\text{D}_{0}$	10256,60	$4,67 \times 10^3$	$0,00 \times 10^{0}$	$4,67 \times 10^3$	$2,03 \times 10^{-18}$
	$^{7}F_{0}\rightarrow ^{5}D_{1}$	8522,60	$0,00 \times 10^{0}$	$1,71 \times 10^6$	$1,71 \times 10^6$	$3,04 \times 10^{-12}$
	$^{7}\text{F}_{0}\rightarrow ^{5}\text{L}_{6}$	2224,60	$7,52 \times 10^5$	$0,00 \times 10^{0}$	$7,52 \times 10^5$	$1,75 \times 10^{1}$
	$^{7}\text{F}_{0}\rightarrow ^{5}\text{G}_{6}$	797,60	$2,41 \times 10^5$	$0,00 \times 10^{0}$	$2,41 \times 10^5$	$5,26 \times 10^3$
	$^{7}\text{F}_{0}\rightarrow ^{5}\text{D}_{4}$	-36,40	$5,96 \times 10^5$	$0,00 \times 10^{0}$	$5,96 \times 10^5$	$7,10 \times 10^5$
	$^{7}F_{1}\rightarrow ^{5}D_{0}$	10628,60	$0,00 \times 10^{0}$	$8,05 \times 10^5$	$8,05 \times 10^5$	$5,86 \times 10^{-17}$
	$^{7}\text{F}_{1}\rightarrow ^{5}\text{D}_{1}$	8894,60	$1,39 \times 10^6$	$5,94 \times 10^2$	$1,39 \times 10^6$	$4,14 \times 10^{-13}$
S ₁	$^{7}\text{F}_{1}\rightarrow ^{5}\text{D}_{2}$	6438,60	$0,00 \times 10^{0}$	$6,88 \times 10^5$	$6,88 \times 10^5$	$2,67 \times 10^{-8}$
	$^{7}\text{F}_{1}\rightarrow ^{5}\text{D}_{3}$	3566,60	$7,62 \times 10^6$	$0,00 \times 10^{0}$	$7,62 \times 10^6$	$2,84 \times 10^{-1}$
	$^{7}\text{F}_{1}\rightarrow ^{5}\text{L}_{6}$	2596,60	$2,05 \times 10^5$	$0,00 \times 10^{0}$	$2,05 \times 10^5$	$8,00 \times 10^{-1}$
	$^{7}F_{1}\rightarrow ^{5}L_{7}$	1564,60	$4,68 \times 10^5$	$0,00 \times 10^{0}$	$4,68 \times 10^5$	$2,58 \times 10^{2}$
	$^{7}F_{1}\rightarrow ^{5}G_{2}$	1529,60	$0,00 \times 10^{0}$	$2,50 \times 10^7$	$2,50 \times 10^7$	$1,63 \times 10^4$
	$^{7}\text{F}_{1}\rightarrow ^{5}\text{G}_{3}$	1299,60	$8,05 \times 10^6$	$0,00 \times 10^{0}$	$8,05 \times 10^6$	$1,58 \times 10^4$
	$^{7}\text{F}_{1}\rightarrow ^{5}\text{G}_{6}$	1169,60	$1,28 \times 10^5$	$0,00 \times 10^{0}$	$1,28 \times 10^5$	$4,70 \times 10^2$
	$^{7}\text{F}_{1}\rightarrow ^{5}\text{G}_{5}$	1158,60	$4,52 \times 10^5$	$0,00 \times 10^{0}$	$4,52 \times 10^5$	$1,74 \times 10^3$
	$^{7}\text{F}_{0}\rightarrow ^{5}\text{D}_{0}$	5345,10	$1,37 \times 10^{0}$	$0,00 \times 10^{0}$	$1,37 \times 10^{0}$	$1,01 \times 10^{-11}$
	${}^{7}_{-}F_{0} \rightarrow {}^{5}_{-}D_{1}$	3611,10	$0,00 \times 10^{0}$	$4,03 \times 10^7$	$4,03 \times 10^7$	$1,21 \times 10^{0}$
	$^{7}\text{F}_{0}\rightarrow ^{5}\text{L}_{6}$	-2686,90	$1,39 \times 10^{0}$	$0,00 \times 10^{0}$	$1,39 \times 10^{0}$	$5,48 \times 10^5$
	$^{7}\text{F}_{0}\rightarrow ^{5}\text{G}_{6}$	-4113,90	$1,77 \times 10^{-1}$	$0,00 \times 10^{0}$	$1,77 \times 10^{-1}$	$6,57 \times 10^7$
	${}^{7}F_0 \rightarrow {}^{5}D_4$	-4947,90	$1,81 \times 10^{-1}$	$0,00 \times 10^{0}$	$1,81 \times 10^{-1}$	$3,66 \times 10^{9}$
	${}^{7}F_{1} \rightarrow {}^{5}D_{0}$	5717,10	$0,00 \times 10^{0}$	$7,35 \times 10^7$	$7,35 \times 10^7$	$9,09 \times 10^{-5}$
	${}^{7}_{-}F_{1} \rightarrow {}^{5}_{-}D_{1}$	3983,10	$1,70 \times 10^2$	$1,77 \times 10^4$	$1,79 \times 10^4$	$9,06 \times 10^{-5}$
T_1	${}^{7}F_{1} \rightarrow {}^{5}D_{2}$	1527,10	$0,00 \times 10^{0}$	$4,22 \times 10^6$	$4,22 \times 10^6$	$2,78 \times 10^3$
	$^{7}\text{F}_{1}\rightarrow ^{5}\text{D}_{3}$	-1344,90	$2,99 \times 10^{1}$	$0,00 \times 10^{0}$	$2,99 \times 10^{1}$	$1,89 \times 10^4$
	${}^{7}F_{1} \rightarrow {}^{5}L_{6}$	-2314,90	$4,81 \times 10^{-1}$	$0,00 \times 10^{0}$	$4,81 \times 10^{-1}$	$3,19 \times 10^4$
	${}^{7}F_{1} \rightarrow {}^{5}L_{7}$	-3346,90	$5,65 \times 10^{-1}$	$0,00 \times 10^{0}$	$5,65 \times 10^{-1}$	$5,28 \times 10^6$
	${}^{7}F_{1} \rightarrow {}^{5}G_{2}$	-3381,90	$0,00 \times 10^{0}$	$6,49 \times 10^6$	$6,49 \times 10^6$	$7,18 \times 10^{13}$
	${}^{7}F_{1}$ → ${}^{5}G_{3}$	-3611,90	$7,29 \times 10^{0}$	$0,00 \times 10^{0}$	$7,29 \times 10^{0}$	$2,43 \times 10^8$
	${}^{7}F_{1}$ → ${}^{5}G_{6}$	-3741,90	$1,20 \times 10^{-1}$	$0,00 \times 10^{0}$	$1,20 \times 10^{-1}$	$7,45 \times 10^6$
	$^{7}F_{1}\rightarrow ^{5}G_{5}$	-3752,90	$3,97 \times 10^{-1}$	$0,00 \times 10^{0}$	$3,97 \times 10^{-1}$	$2,60 \times 10^7$

As taxas de Eu2 calculadas com PBE1PBE estão dispostas na **Tabela 15**. Tal como no caso anterior, o principal canal de transferência é $T_1 \rightarrow [^7F_1 \rightarrow ^5D_0]$, mas com uma taxa ainda maior, de 1,64×10⁹ s⁻¹. Para Eu2, W_{ET}^S é de 1,03×10⁶ s⁻¹, enquanto W_{BT}^S é 1,20×10⁻⁶ s⁻¹. Tal como no complexo Eu1, W_{ET}^S se sobressai a W_{BT}^S , dessa vez, em cerca de 10¹² vezes, sugerindo a forte atuação de S_1 no processo de TE. Analisando os canais envolvendo T_1 e 5D_0 , novamente $T_1 \rightarrow [^7F_1 \rightarrow ^5D_0]$ se destaca, ditando os valores de $W_{ET}^{T\prime}$ (1,64×10⁹ s⁻¹) e $W_{BT}^{T\prime}$ (6,30×10⁻⁴ s⁻¹). Por fim, W_{ET}^T de Eu2 é 1,26×10⁹ s⁻¹, sendo W_{BT}^T de Eu2 igual a 6,65×10¹⁴ s⁻¹ e governada pelo canal $T_1 \rightarrow [^7F_1 \rightarrow ^5G_2]$, tal como em Eu1.

Embora $W_{ET}^{T'}$ e W_{ET}^{T} sejam bastante semelhantes, é indiscutível que o canal $T_1 \rightarrow [^7F_1 \rightarrow ^5D_0]$ exerce maior protagonismo para a TE em Eu2.

Tabela 15. Canais e taxas de transferência de energia por interações coulômbica (W_{ET}^{IC}) , de troca (W_{ET}^{EX}) e total (W_{ET}) e retrotransferência (W_{BT}) do complexo Eu2 estimados com dados TDDFT PBE1PBE.

C	anal	Δ	W_{ET}^{IC}	W_{ET}^{EX}	W_{ET}	W_{BT}
Doador	Aceitador	(cm ⁻¹)	(s ⁻¹)	(s ⁻¹)	(s ⁻¹)	(s ⁻¹)
	$^{7}\text{F}_{0}\rightarrow ^{5}\text{D}_{0}$	15327,70	$4,52 \times 10^{-1}$	$0,00 \times 10^{0}$	$4,52 \times 10^{-1}$	$5,37 \times 10^{-33}$
	$^{7}\text{F}_{0}\rightarrow^{5}\text{D}_{1}$	3593,70	$0,00 \times 10^{0}$	$4,00 \times 10^2$	$4,00 \times 10^2$	$1,95 \times 10^{-26}$
	$^{7}\text{F}_{0}\rightarrow ^{5}\text{L}_{6}$	7295,70	$2,52 \times 10^3$	$0,00 \times 10^{0}$	$2,52 \times 10^3$	$1,61 \times 10^{-12}$
	$^{7}\text{F}_{0}\rightarrow ^{5}\text{G}_{6}$	5868,70	$2,09 \times 10^3$	$0,00 \times 10^{0}$	$2,09 \times 10^3$	$1,25 \times 10^{-9}$
	$^{7}\text{F}_{0}\rightarrow ^{5}\text{D}_{4}$	5034,70	$3,59 \times 10^4$	$0,00 \times 10^{0}$	$3,59 \times 10^4$	$1,17 \times 10^{-6}$
	$^{7}\text{F}_{1}\rightarrow ^{5}\text{D}_{0}$	15699,70	$0,00 \times 10^{0}$	$4,63 \times 10^{1}$	$4,63 \times 10^{1}$	$9,24 \times 10^{-32}$
	$^{7}\text{F}_{1}\rightarrow^{5}\text{D}_{1}$	13965,70	$3,33 \times 10^2$	$1,08 \times 10^{-1}$	$3,33 \times 10^2$	$2,72 \times 10^{-27}$
S ₁	$^{7}\text{F}_{1}\rightarrow ^{5}\text{D}_{2}$	11509,70	$0,00 \times 10^{0}$	$6,44 \times 10^2$	$6,44 \times 10^2$	$6,85 \times 10^{-22}$
	$^{7}\text{F}_{1}\rightarrow ^{5}\text{D}_{3}$	8637,70	$6,28 \times 10^4$	$0,00 \times 10^{0}$	$6,28 \times 10^4$	$6,42 \times 10^{-14}$
	$^{7}F_{1}\rightarrow ^{5}L_{6}$	7667,70	$5,37 \times 10^2$	$0,00 \times 10^{0}$	$5,37 \times 10^2$	$5,75 \times 10^{-14}$
	$^{7}F_{1}\rightarrow ^{5}L_{7}$	6635,70	$2,44 \times 10^3$	$0,00 \times 10^{0}$	$2,44 \times 10^3$	$3,68 \times 10^{-11}$
	$^{7}F_{1}\rightarrow ^{5}G_{2}$	6600,70	$0,00 \times 10^{0}$	$6,15 \times 10^5$	$6,15 \times 10^5$	$1,10 \times 10^{-8}$
	$^{7}\text{F}_{1}\rightarrow ^{5}\text{G}_{3}$	6370,70	$2,98 \times 10^5$	$0,00 \times 10^{0}$	$2,98 \times 10^5$	$1,60 \times 10^{-8}$
	$^{7}\text{F}_{1}\rightarrow ^{5}\text{G}_{6}$	6240,70	$8,69 \times 10^2$	$0,00 \times 10^{0}$	$8,69 \times 10^2$	$8,72 \times 10^{-11}$
	$^{7}F_{1}\rightarrow ^{5}G_{5}$	6229,70	$4,79 \times 10^3$	$0,00 \times 10^{0}$	$4,79 \times 10^3$	$5,07 \times 10^{-10}$
	$^{7}\text{F}_{0}\rightarrow^{5}\text{D}_{0}$	5588,40	$1,26 \times 10^{1}$	$0,00 \times 10^{0}$	$1,26 \times 10^{1}$	$2,89 \times 10^{-11}$
	$^{7}\text{F}_{0}\rightarrow ^{5}\text{D}_{1}$	3854,40	$0,00 \times 10^{0}$	$9,58 \times 10^{8}$	$9,58 \times 10^{8}$	$8,98 \times 10^{0}$
	$^{7}\text{F}_{0}\rightarrow ^{5}\text{L}_{6}$	-2443,60	$6,81 \times 10^{0}$	$0,00 \times 10^{0}$	$6,81 \times 10^{0}$	$8,38 \times 10^5$
	$^{7}\text{F}_{0}\rightarrow ^{5}\text{G}_{6}$	-3870,60	$9,12 \times 10^{-1}$	$0,00 \times 10^{0}$	$9,12 \times 10^{-1}$	$1,05 \times 10^8$
	$^{7}\text{F}_{0}\rightarrow^{5}\text{D}_{4}$	-4704,60	$6,92 \times 10^{0}$	$0,00 \times 10^{0}$	$6,92 \times 10^{0}$	$4,35 \times 10^{10}$
	$^{7}\text{F}_{1}\rightarrow ^{5}\text{D}_{0}$	5960,40	$0,00 \times 10^{0}$	$1,64 \times 10^9$	$1,64 \times 10^9$	$6,30 \times 10^{-4}$
	$^{7}F_{1}\rightarrow ^{5}D_{1}$	4226,40	$1,63 \times 10^3$	$4,17 \times 10^5$	$4,19 \times 10^5$	$6,60 \times 10^{-4}$
T_1	$^{7}F_{1}\rightarrow ^{5}D_{2}$	1770,40	$0,00 \times 10^{0}$	$1,07 \times 10^8$	$1,07 \times 10^8$	$2,20 \times 10^4$
	$^{7}\text{F}_{1}\rightarrow ^{5}\text{D}_{3}$	-1101,60	$3,53 \times 10^2$	$0,00 \times 10^{0}$	$3,53 \times 10^2$	$6,95 \times 10^4$
	$^{7}\text{F}_{1}\rightarrow ^{5}\text{L}_{6}$	-2071,60	$2,33 \times 10^{0}$	$0,00 \times 10^{0}$	$2,33 \times 10^{0}$	$4,82 \times 10^4$
	$^{7}F_{1}\rightarrow ^{5}L_{7}$	-3103,60	$2,83 \times 10^{0}$	$0,00 \times 10^{0}$	$2,83 \times 10^{0}$	$8,25 \times 10^6$
	$^{7}F_{1}\rightarrow ^{5}G_{2}$	-3138,60	$0,00 \times 10^{0}$	$1,93 \times 10^8$	$1,93 \times 10^8$	$6,65 \times 10^{14}$
	$^{7}F_{1}\rightarrow ^{5}G_{3}$	-3368,60	$9,58 \times 10^{1}$	$0,00 \times 10^{0}$	$9,58 \times 10^{1}$	$9,95 \times 10^8$
	$^{7}F_{1}\rightarrow ^{5}G_{6}$	-3498,60	$6,09 \times 10^{-1}$	$0,00 \times 10^{0}$	$6,09 \times 10^{-1}$	$1,18 \times 10^7$
	$^{7}F_{1}\rightarrow ^{5}G_{5}$	-3509,60	$3,76 \times 10^{0}$	$0,00 \times 10^{0}$	$3,76 \times 10^{0}$	$7,67 \times 10^7$

As taxas de TE do complexo Eu1 calculadas usando os dados obtidos com o método CAM-B3LYP estão disponíveis na **Tabela 16**. Novamente, o canal com a maior taxa é $T_1 \rightarrow [^7F_1 \rightarrow ^5D_0]$ (5,14×10⁷ s⁻¹), levemente abaixo do valor obtido para o mesmo canal de Eu1 usando os dados PBE1PBE (7,35×10⁷ s⁻¹). Também como as análises anteriores, $T_1 \rightarrow [^7F_1 \rightarrow ^5D_0]$ é protagonista na determinação de $W_{ET}^{T\prime}$ e $W_{BT}^{T\prime}$ (3,65×10⁻⁶ s⁻¹). As taxas $W_{ET}^{T\prime}$ e $W_{BT}^{T\prime}$ são, respectivamente, 4,65×10⁷

e 5,87×10¹² s⁻¹. As características das taxas são semelhantes às calculadas anteriormente. Já W_{ET}^S e W_{BT}^S são, respectivamente 6,38×10⁵ e 1,85×10⁻⁹ s⁻¹, o que destoa dos valores obtidos com as informações PBE1PBE, em que as taxas W_{ET}^S e W_{BT}^S são maiores. Isso ocorre devido à energia S₁ calculada com CAM-B3LYP (33958,60 cm⁻¹) ser 6409 cm⁻¹ maior à calculada com PBE1PBE (27549,60 cm⁻¹). Isso garante que o nível S₁ seja mais energético que todos os níveis aceitadores do Eu³⁺, minimizando W_{BT} , mas também prejudicando W_{ET} .

Tabela 16. Canais e taxas de transferência de energia por interações coulômbica (W_{ET}^{IC}) , de troca (W_{ET}^{EX}) e total (W_{ET}) e retrotransferência (W_{BT}) do complexo Eu1 calculados com os dados TDDFT CAM-B3LYP.

	Canal	Δ	W _{ET} ^{IC}	W _{ET} EX	W _{ET}	W _{BT}
Doador	Aceitador	(cm ⁻¹)	(s ⁻¹)	(s ⁻¹)	(s ⁻¹)	(s ⁻¹)
	$^{7}\text{F}_{0}\rightarrow^{5}\text{D}_{0}$	16665,60	$4,93 \times 10^{-2}$	$0,00 \times 10^{0}$	$4,93 \times 10^{-2}$	$9,56 \times 10^{-37}$
	$^{7}F_{0}\rightarrow ^{5}D_{1}$	14931,60	$0,00 \times 10^{0}$	$7,38 \times 10^{1}$	$7,38 \times 10^{1}$	$5,86 \times 10^{-30}$
	$^{7}\text{F}_{0}\rightarrow ^{5}\text{L}_{6}$	8633,60	$6,98 \times 10^3$	$0,00 \times 10^{0}$	$6,98 \times 10^3$	$7,27 \times 10^{-15}$
	$^{7}\text{F}_{0}\rightarrow ^{5}\text{G}_{6}$	7206,60	$7,44 \times 10^3$	$0,00 \times 10^{0}$	$7,44 \times 10^3$	$7,27 \times 10^{-12}$
	$^{7}\text{F}_{0}\rightarrow ^{5}\text{D}_{4}$	6372,60	$3,40 \times 10^4$	$0,00 \times 10^{0}$	$3,40 \times 10^4$	$1,82 \times 10^{-9}$
	$^{7}\text{F}_{1}\rightarrow ^{5}\text{D}_{0}$	17037,60	$0,00 \times 10^{0}$	$5,90 \times 10^{0}$	$5,90 \times 10^{0}$	$1,92 \times 10^{-35}$
	$^{7}F_{1}\rightarrow ^{5}D_{1}$	15303,60	$4,61 \times 10^{1}$	$1,87 \times 10^{-2}$	$4,61 \times 10^{1}$	$6,15 \times 10^{-31}$
S_1	$^{7}F_{1}\rightarrow ^{5}D_{2}$	12847,60	$0,00 \times 10^{0}$	$1,71 \times 10^2$	$1,71 \times 10^2$	$2,97 \times 10^{-25}$
	$^{7}\text{F}_{1}\rightarrow ^{5}\text{D}_{3}$	9975,60	$2,23 \times 10^4$	$0,00 \times 10^{0}$	$2,23 \times 10^4$	$3,72 \times 10^{-17}$
	$^{7}\text{F}_{1}\rightarrow ^{5}\text{L}_{6}$	9005,60	$1,39 \times 10^3$	$0,00 \times 10^{0}$	$1,39 \times 10^3$	$2,43 \times 10^{-16}$
	$^{7}F_{1}\rightarrow ^{5}L_{7}$	7973,60	$7,58 \times 10^3$	$0,00 \times 10^{0}$	$7,58 \times 10^3$	$1,87 \times 10^{-13}$
	$^{7}F_{1}\rightarrow ^{5}G_{2}$	7938,60	$0,00 \times 10^{0}$	$3,87 \times 10^5$	$3,87 \times 10^5$	$1,13 \times 10^{-11}$
	$^{7}F_{1}\rightarrow ^{5}G_{3}$	7708,60	$1,58 \times 10^5$	$0,00 \times 10^{0}$	$1,58 \times 10^5$	$1,39 \times 10^{-11}$
	$^{7}\text{F}_{1}\rightarrow ^{5}\text{G}_{6}$	7578,60	$2,89 \times 10^3$	$0,00 \times 10^{0}$	$2,89 \times 10^3$	$4,74 \times 10^{-13}$
	$^{7}\text{F}_{1}\rightarrow ^{5}\text{G}_{5}$	7567,60	$1,01 \times 10^4$	$0,00 \times 10^{0}$	$1,01 \times 10^4$	$1,75 \times 10^{-12}$
	$^{7}\text{F}_{0}\rightarrow ^{5}\text{D}_{0}$	5941,00	$9,59 \times 10^{-1}$	$0,00 \times 10^{0}$	$9,59 \times 10^{-1}$	$4,05 \times 10^{-13}$
	$^{7}\text{F}_{0}\rightarrow^{5}\text{D}_{1}$	4207,00	$0,00 \times 10^{0}$	$3,32 \times 10^7$	$3,32 \times 10^7$	$5,73 \times 10^{-2}$
	$^{7}\text{F}_{0}\rightarrow ^{5}\text{L}_{6}$	-2091,00	$1,78 \times 10^{0}$	$0,00 \times 10^{0}$	$1,78 \times 10^{0}$	$4,04 \times 10^4$
	$^{7}\text{F}_{0}\rightarrow ^{5}\text{G}_{6}$	-3518,00	$2,55 \times 10^{-1}$	$0,00 \times 10^{0}$	$2,55 \times 10^{-1}$	$5,42 \times 10^6$
	$^{7}\text{F}_{0}\rightarrow ^{5}\text{D}_{4}$	-4352,00	$2,93 \times 10^{-1}$	$0,00 \times 10^{0}$	$2,93 \times 10^{-1}$	$3,40 \times 10^8$
	$^{7}F_{1}\rightarrow ^{5}D_{0}$	6313,00	$0,00 \times 10^{0}$	$5,14 \times 10^7$	$5,14 \times 10^7$	$3,65 \times 10^{-6}$
	$^{7}\text{F}_{1}\rightarrow^{5}\text{D}_{1}$	4579,00	$1,32 \times 10^2$	$1,42 \times 10^4$	$1,43 \times 10^4$	$4,16 \times 10^{-6}$
T_1	$^{7}\text{F}_{1}\rightarrow ^{5}\text{D}_{2}$	2123,00	$0,00 \times 10^{0}$	$4,09 \times 10^6$	$4,09 \times 10^6$	$1,55 \times 10^2$
	$^{7}\text{F}_{1}\rightarrow ^{5}\text{D}_{3}$	-749,00	$3,52 \times 10^{1}$	$0,00 \times 10^{0}$	$3,52 \times 10^{1}$	$1,28 \times 10^3$
	$^{7}F_{1}\rightarrow ^{5}L_{6}$	-1719,00	$6,00 \times 10^{-1}$	$0,00 \times 10^{0}$	$6,00 \times 10^{-1}$	$2,29 \times 10^3$
	$^{7}F_{1}\rightarrow ^{5}L_{7}$	-2751,00	$7,65 \times 10^{-1}$	$0,00 \times 10^{0}$	$7,65 \times 10^{-1}$	$4,11 \times 10^5$
	$^{7}F_{1}\rightarrow ^{5}G_{2}$	-2786,00	$0,00 \times 10^{0}$	$9,24 \times 10^6$	$9,24 \times 10^6$	$5,87 \times 10^{12}$
	$^{7}F_{1}\rightarrow ^{5}G_{3}$	-3016,00	$1,03 \times 10^{1}$	$0,00 \times 10^{0}$	$1,03 \times 10^{1}$	$1,96 \times 10^7$
	$^{7}F_{1}\rightarrow ^{5}G_{6}$	-3146,00	$1,67 \times 10^{-1}$	$0,00 \times 10^{0}$	$1,67 \times 10^{-1}$	$5,97 \times 10^5$
	$^{7}F_{1}\rightarrow ^{5}G_{5}$	-3157,00	$5,58 \times 10^{-1}$	$0,00 \times 10^{0}$	$5,58 \times 10^{-1}$	$2,10 \times 10^6$

Por fim, as taxas do complexo Eu2 calculadas com os dados CAM-B3LYP estão mostradas na **Tabela 17**. Novamente, o canal $T_1 \rightarrow [^7F_1 \rightarrow ^5D_0]$ possui a maior W_{ET} (1,35×10⁹ s⁻¹), representando praticamente toda $W_{ET}^{T'}$, além de $W_{BT}^{T'}$ (3,67×10⁻⁴ s⁻¹). W_{ET}^{T} e W_{BT}^{T} são, respectivamente, 1,07×10⁹ e 4,22×10¹⁴ s⁻¹, os quais se aproximam bastante ao tratamento de Eu2 com PBE1PBE. Já W_{ET}^{S} e W_{BT}^{S} são 3,36×10⁶ e 2,56×10⁻¹⁰ s⁻¹, respectivamente. De maneira semelhante às demais análises, as taxas apontam uma alta população do nível emissor do Eu³⁺ no complexo Eu2, sugerindo uma luminescência eficiente.

Tabela 17. Canais e taxas de transferência de energia por interações coulômbica (W_{ET}^{IC}) , de troca (W_{ET}^{EX}) e total (W_{ET}) e retrotransferência (W_{BT}) do complexo Eu2 calculados com os dados TDDFT CAM-B3LYP.

	Canal	Δ	W _{ET} ^{IC}	W _{ET} EX	W _{ET}	W _{BT}
Doador	Aceitador	(cm ⁻¹)	(s ⁻¹)	(s ⁻¹)	(s ⁻¹)	(s ⁻¹)
	$^{7}\text{F}_{0}\rightarrow^{5}\text{D}_{0}$	17533,30	$5,34 \times 10^{-2}$	$0,00 \times 10^{0}$	$5,34 \times 10^{-2}$	$1,62 \times 10^{-38}$
	$^{7}F_{0}\rightarrow ^{5}D_{1}$	15799,30	$0,00 \times 10^{0}$	$2,09 \times 10^{2}$	$2,09 \times 10^{2}$	$2,58 \times 10^{-31}$
	$^{7}\text{F}_{0}\rightarrow ^{5}\text{L}_{6}$	9501,30	$8,83 \times 10^3$	$0,00 \times 10^{0}$	$8,83 \times 10^3$	$1,43 \times 10^{-16}$
	$^{7}\text{F}_{0}\rightarrow ^{5}\text{G}_{6}$	8074,30	$1,11 \times 10^4$	$0,00 \times 10^{0}$	$1,11 \times 10^4$	$1,69 \times 10^{-13}$
	$^{7}\text{F}_{0}\rightarrow ^{5}\text{D}_{4}$	7240,30	$3,06 \times 10^5$	$0,00 \times 10^{0}$	$3,06 \times 10^5$	$2,54 \times 10^{-10}$
	$^{7}\text{F}_{1}\rightarrow ^{5}\text{D}_{0}$	17905,30	$0,00 \times 10^{0}$	$1,31 \times 10^{1}$	$1,31 \times 10^{1}$	$6,67 \times 10^{-37}$
	$^{7}F_{1}\rightarrow ^{5}D_{1}$	16171,30	$5,84 \times 10^{1}$	$5,08 \times 10^{-2}$	$5,84 \times 10^{1}$	$1,21 \times 10^{-32}$
S_1	$^{7}F_{1}\rightarrow ^{5}D_{2}$	13715,30	$0,00 \times 10^{0}$	$6,13 \times 10^2$	$6,13 \times 10^2$	$1,66 \times 10^{-26}$
	$^{7}F_{1}\rightarrow ^{5}D_{3}$	10843,30	$5,37 \times 10^4$	$0,00 \times 10^{0}$	$5,37 \times 10^4$	$1,40 \times 10^{-18}$
	$^{7}F_{1}\rightarrow ^{5}L_{6}$	9873,30	$1,69 \times 10^3$	$0,00 \times 10^{0}$	$1,69 \times 10^3$	$4,60 \times 10^{-18}$
	$^{7}F_{1}\rightarrow ^{5}L_{7}$	8841,30	$1,03 \times 10^4$	$0,00 \times 10^{0}$	$1,03 \times 10^4$	$3,97 \times 10^{-15}$
	$^{7}F_{1}\rightarrow ^{5}G_{2}$	8806,30	$0,00 \times 10^{0}$	$2,43 \times 10^6$	$2,43 \times 10^6$	$1,10 \times 10^{-12}$
	$^{7}F_{1}\rightarrow ^{5}G_{3}$	8576,30	$5,10 \times 10^5$	$0,00 \times 10^{0}$	$5,10 \times 10^5$	$7,00 \times 10^{-13}$
	$^{7}\text{F}_{1}\rightarrow ^{5}\text{G}_{6}$	8446,30	$4,13 \times 10^3$	$0,00 \times 10^{0}$	$4,13 \times 10^3$	$1,05 \times 10^{-14}$
-	$^{7}F_{1}\rightarrow ^{5}G_{5}$	8435,30	$2,57 \times 10^4$	$0,00 \times 10^{0}$	$2,57 \times 10^4$	$6,92 \times 10^{-14}$
	$^{7}\text{F}_{0}\rightarrow ^{5}\text{D}_{0}$	5660,40	$1,08 \times 10^{1}$	$0,00 \times 10^{0}$	$1,08 \times 10^{1}$	$1,76 \times 10^{-11}$
	$^{7}\text{F}_{0}\rightarrow^{5}\text{D}_{1}$	3926,40	$0,00 \times 10^{0}$	$8,04 \times 10^8$	$8,04 \times 10^{8}$	$5,33 \times 10^{0}$
	$^{7}\text{F}_{0}\rightarrow ^{5}\text{L}_{6}$	-2371,60	$5,82 \times 10^{0}$	$0,00 \times 10^{0}$	$5,82 \times 10^{0}$	$5,06 \times 10^5$
	$^{7}\text{F}_{0}\rightarrow ^{5}\text{G}_{6}$	-3798,60	$7,89 \times 10^{-1}$	$0,00 \times 10^{0}$	$7,89 \times 10^{-1}$	$6,44 \times 10^7$
	$^{7}\text{F}_{0}\rightarrow ^{5}\text{D}_{4}$	-4632,60	$6,22 \times 10^{0}$	$0,00 \times 10^{0}$	$6,22 \times 10^{0}$	$2,77 \times 10^{10}$
	$^{7}\text{F}_{1}\rightarrow ^{5}\text{D}_{0}$	6032,40	$0,00 \times 10^{0}$	$1,35 \times 10^9$	$1,35 \times 10^9$	$3,67 \times 10^{-4}$
	$^{7}\text{F}_{1}\rightarrow ^{5}\text{D}_{1}$	4298,40	$1,41 \times 10^3$	$3,49 \times 10^5$	$3,50 \times 10^5$	$3,91 \times 10^{-4}$
T_1	$^{7}F_{1}\rightarrow ^{5}D_{2}$	1842,40	$0,00 \times 10^{0}$	$9,18 \times 10^7$	$9,18 \times 10^7$	$1,34 \times 10^4$
	$^{7}F_{1}\rightarrow ^{5}D_{3}$	-1029,60	$3,21 \times 10^2$	$0,00 \times 10^{0}$	$3,21 \times 10^2$	$4,48 \times 10^4$
	$^{7}F_{1}\rightarrow ^{5}L_{6}$	-1999,60	$1,99 \times 10^{0}$	$0,00 \times 10^{0}$	$1,99 \times 10^{0}$	$2,90 \times 10^4$
	$^{7}F_{1}\rightarrow ^{5}L_{7}$	-3031,60	$2,43 \times 10^{0}$	$0,00 \times 10^{0}$	$2,43 \times 10^{0}$	$5,02 \times 10^6$
	$^{7}F_{1}\rightarrow ^{5}G_{2}$	-3066,60	$0,00 \times 10^{0}$	$1,73 \times 10^8$	$1,73 \times 10^8$	$4,22 \times 10^{14}$
	${}^{7}F_{1} \rightarrow {}^{5}G_{3}$	-3296,60	$8,89 \times 10^{1}$	$0,00 \times 10^{0}$	$8,89 \times 10^{1}$	$6,54 \times 10^{8}$
	${}^{7}F_{1} \rightarrow {}^{5}G_{6}$	-3426,60	$5,25 \times 10^{-1}$	$0,00 \times 10^{0}$	$5,25 \times 10^{-1}$	$7,20 \times 10^{6}$
	$^{7}\text{F}_{1}\rightarrow ^{5}\text{G}_{5}$	-3437,60	$3,29 \times 10^{0}$	$0,00 \times 10^{0}$	$3,29 \times 10^{0}$	$4,76 \times 10^7$

A análise das taxas de Eu1 e Eu2 calculadas tanto com os funcionais PBE1PBE e CAM-B3LYP sugere que a população energética dos estados aceitadores do Eu³+ é alta, especialmente a população do estado emissor ⁵D₀. Como já mencionado, este fato indica que a luminescência de ambos os complexos ocorre de forma eficiente. Entretanto, o rendimento quântico teórico de cada complexo calculado é semelhante ao obtido com a metodologia clássica (Tabela 18). Isso ocorre devido ao uso das taxas intraligantes padrão do LUMPAC que, provavelmente, não são adequadas à modelagem dos complexos Eu1 e Eu2. Especialmente a taxa de decaimento T₁→S₀ da ordem de 10⁵ s⁻¹, resultando no mesmo fenômeno já discutido para a metodologia anterior. Em razão disso, a determinação das taxas intraligantes, experimentais ou teóricas, pode viabilizar uma modelagem mais acurada.

Tabela 18. Rendimentos quânticos teóricos (*q*) calculados a partir da metodologia da generalização dos estados aceitadores.

Funcional híbrido	PBE1PBE		CAM-B3LYP	
Complexo	Eu1	Eu2	Eu1	Eu2
q (%)	86,99	74,13	86,66	74,05

5.4.3. METODOLOGIA DA RELAXAÇÃO DOS ESTADOS

Vale ressaltar que, ao contrário das metodologias anteriores, as taxas de TE ligante-Eu³+ não são calculadas e todos os cálculos foram feitos com um mesmo nível de teoria. Ou seja, para os dados com PBE1PBE, todos os cálculos foram feitos com PBE1PBE/SVP/MWB52, inclusive a nova otimização geométrica. Devido a isso, as energias eletrônicas iniciais de S₁ e T₁ variaram ligeiramente em relação às utilizadas nas metodologias anteriores, sendo de 265,3 e 1006,1 cm⁻¹ a variação de S₁ e T₁ de Eu1, respectivamente, e de 72,0 e 179,3 cm⁻¹ as correspondentes variações para o complexo Eu2.

As energias obtidas utilizando o funcional híbrido PBE1PBE estão dispostas na **Tabela 19**. Vale relembrar que para a determinação das energias relaxadas, a energia eletrônica inicial é subtraída pela energia adiabática e depois, somada com a ZPE para obter a energia final. As energias adiabáticas variam bastante entre os complexos: cerca de 3000 cm⁻¹ para Eu1 e por volta de 23000 cm⁻¹ para Eu2. Devido às energias adiabáticas de Eu1 serem bem menores que as

energias eletrônicas, as energias relaxadas são coerentes. Entretanto, para o complexo Eu2, as energias adiabáticas chegam a superar as energias eletrônicas em T₁, levando a uma energia relaxada negativa (-617,66 cm⁻¹) e energia S_{1rel} muito baixa (9707,30 cm⁻¹). Deste modo, a metodologia não se mostrou adequada para Eu2.

Tabela 19. Energias (cm⁻¹) de S₁ e T₁, adiabática, ZPE e final de S_{1rel} e T_{1rel} calculadas com PBE1PBE/SVP/MWB52.

Complexo	Estado	Energia eletrônica	Energia adiabática	Energia relaxada	ZPE	Energia final
Eu1	S ₁	27284,30	3038,48	24245,82	7647,78	31893,60
	T_1	21632,00	2961,36	18670,64	7693,72	26364,36
Eu2	S_1	32692,70	22985,40	9707,30	4832,20	14539,50
	T_1	22702,10	23319,76	-617,66	4753,84	4136,18

As ZPE para Eu1 são em torno de 7670 cm⁻¹, enquanto para Eu2 é cerca de 4790 cm⁻¹. As energias finais mostram que, para Eu1, S_{1rel} assume quase 32000 cm⁻¹, enquanto T_{1rel} é igual a 26364,36 cm⁻¹. Isso revela que o estado T_{1rel} está excessivamente acima dos estados aceitadores de energia do Eu³⁺, prejudicando a correspondente população energética e, consequentemente, a luminescência. Por outro lado, as energias finais de Eu2 são extremamente baixas, impossibilitando a ocorrência de populações significativas ao Eu³⁺.

O mesmo tratamento foi feito para energias calculadas com o funcional híbrido CAM-B3LYP (**Tabela 20**). As energias eletrônicas calculadas com a geometria CAM-B3LYP/SVP pouco destoam das calculadas com a geometria PBE1PBE/TZVP, variando de 112,9 e 112,5 cm⁻¹ para os estados S₁ e T₁ de Eu1, respectivamente, sendo de 497,6 e 245,9 cm⁻¹ as respectivas energias para Eu2. As energias adiabáticas obtidas são levemente menores que as energias eletrônicas, o que gerou baixas energias relaxadas: 4411,28 e 4265,40 cm⁻¹ para S_{1rel} e 1502,59 e 1618,44 cm⁻¹ para T_{1rel} de Eu1 e Eu2, respectivamente.

Tabela 20. Energias (cm⁻¹) de S₁ e T₁, adiabáticas, ZPE e finais de S_{1rel} e T_{1rel} calculadas com CAM-B3LYP/SVP/MWB52.

Complexo	Estado	Energia eletrônica	Energia adiabática	Energia relaxada	ZPE	Energia final
Eu1	S ₁	33845,70	29434,42	4411,28	-430,46	3980,82
	T_1	23121,50	21618,91	1502,59	$1,03 \times 10^8$	$1,03 \times 10^8$
Eu2	S_1	34328,70	30063,30	4265,40	455,96	4721,36
	T_1	22707,50	21089,06	1618,44	461,04	2079,48

As ZPE do Eu1 se apresentaram demasiadamente destoantes, desde um valor negativo para S₁ (-430,46 cm⁻¹) a um valor extremamente alto para T₁ (1,03×10⁸ cm⁻¹). Já em Eu2, as energias são mais consistentes entre os níveis. Entretanto, as energias finais para ambos os complexos revelam que a metodologia não é ideal para os estudos de ambos complexos a partir de dados CAM-B3LYP.

5.4.4. METODOLOGIA DA FLUORO E FOSFORESCÊNCIA

As energias S_1 e T_1 obtidas com os cálculos de fluorescência e fosforescência, considerando o complexo completo, estão dispostos na **Tabela 21**, juntamente com as taxas de decaimento fluorescente $(S_1 \rightarrow S_0)$, fosforescente $(T_1 \rightarrow S_0)$ e cruzamento intersistema $(S_1 \rightarrow T_1)$. Os valores de cruzamento intersistema (ISC) são obtidos através da soma das taxas envolvendo S_1 para os três estados T_1 , devido à multiplicidade tripleto (número quântico $M_S = -1$, 0 e 1). Para Eu1, as taxas de T_1^{-1} , T_1^0 e T_1^1 em s^{-1} são $1,18\times10^7$, $5,07\times10^6$ e $3,76\times10^6$. Para Eu2, os correspondentes valores em s^{-1} são $3,49\times10^{11}$, $3,84\times10^{12}$ e $4,26\times10^7$. A **Tabela 21** lista a soma desses valores para cada ISC.

Tabela 21. Energias dos estados S₁ e T₁, juntamente com as taxas de decaimento de fluorescência, fosforescência e cruzamento intersistema.

Complexo	Decaimento	Energia (cm ⁻¹)	Taxa de decaimento (s-1)
Eu1	$S_1 \rightarrow S_0$	19127,55	$7,24 \times 10^3$
	$T_1 \rightarrow S_0$	20849,73	$1,21 \times 10^6$
	$S_1 \rightarrow T_1$	-1722,18	$2,06 \times 10^7$
Eu2	$S_1 \rightarrow S_0$	28638,59	$6,63 \times 10^7$
	$T_1 \rightarrow S_0$	20986,87	$1,06 \times 10^8$
	$S_1 \rightarrow T_1$	7651,72	$4,19 \times 10^{12}$

Dentre as energias obtidas, a energia S₁ de Eu1 é a mais anômala, sendo menor que a energia T₁. Isso mostra que o tratamento considerando o complexo completo não é adequada para Eu1. Entretanto, as energias de Eu2 são mais condizentes, embora sejam subestimadas quando comparadas às obtidas para os métodos clássico e da generalização dos estados. Mesmo assim, a metodologia consegue salientar que o complexo Eu2 é provavelmente luminescente. As taxas de fluorescência, fosforescência e ISC também apontam a luminescência. A taxa de ISC é cerca de dez mil vezes maior que as demais taxas envolvidas entre os ligantes (4,19×10¹² s⁻¹), sugerindo alta população do nível T₁. Tal resultado demonstra que essa metodologia, considerando os resultados DFT, pode ser viável.

Originalmente, os autores da metodologia salientam que o ligante envolvido na TE deve ser estudado inicialmente isolado para o cálculo da taxa de fluorescência e fosforescência. Posteriormente, o ISC é então calculado com o SOC para o complexo com o íon lantanídeo. Contudo, esse procedimento encontra empecilhos quando mais de um ligante é importante nesse processo, o que é o caso de Eu1 e Eu2, em que os ligantes auxiliares e β -dicetonatos são relevantes para a sensibilização do Eu³+. Desta forma, uma questão que surge é qual o ligante que deve ser considerado no cálculo das taxas de fosforescência e fluorescência e energias S¹ e T¹ para a determinação de ISC.

A fim de investigar esse processo, os ligantes de Eu1 e Eu2 foram estudados isoladamente. As energias S_1 e T_1 assim como suas respectivas taxas de decaimento foram calculadas (**Tabela 22**). O ISC também foi calculado para comparar com o efeito sem o íon pesado. Para o complexo Eu1, valores de ISC da btfa são 7.87×10^6 , 4.47×10^7 e 7.87×10^6 s⁻¹, enquanto para a bipiridina os respectivos valores são 3.48×10^8 , 1.08×10^8 e 3.48×10^8 s⁻¹. Já para Eu2, as taxas de ISC da hfac são 3.58×10^{10} , 2.09×10^{10} e 3.58×10^{10} s⁻¹, enquanto os correspondentes valores para o tiabendazol são 3.06×10^6 , 1.17×10^7 e 3.06×10^6 s⁻¹.

Tabela 22. Energias S_1 e T_1 e taxas de decaimento dos ligantes isolados dos complexos Eu1 e Eu2.

Complexo	Ligante	Decaimento	Energia (cm ⁻¹)	Taxa de decaimento (s ⁻¹)
Eu1	btfa	$S_1 \rightarrow S_0$	20942,30	$6,66 \times 10^4$
		$T_1 \to S_0$	14031,45	$2,53 \times 10^4$
		$S_1 \to T_1$	6910,85	$6,04 \times 10^7$
	Bipiridina	$S_1 \to S_0$	27612,37	$1,16 \times 10^9$
		$T_1 \to S_0$	24328,47	$1,68 \times 10^6$
		$S_1 \to T_1$	3283,90	$8,04 \times 10^8$
Eu2	hfac	$S_1 \to S_0$	26484,23	$2,04 \times 10^4$
		$T_1 \to S_0$	20712,14	$1,24 \times 10^5$
		$S_1 \to T_1$	5772,10	$9,24 \times 10^{10}$
	tiabendazol	$S_1 \to S_0$	33884,94	$1,76 \times 10^8$
		$T_1 \to S_0$	21639,24	$3,24 \times 10^7$
		$S_1 \rightarrow T_1$	12245,70	$1,78 \times 10^7$

A energia S₁ obtida para o complexo Eu1 completo é destoante das energias de S₁ para os ligantes separadamente. As energias envolvendo os diferentes ligantes em um mesmo complexo variam significantemente, dificultando a modelagem em relação ao procedimento em que apenas um ligante é considerado. Assim, o cálculo das taxas de ISC se torna um problema durante a escolha de qual ligante exerce o papel mais importante na TE.

O ligante btfa do complexo Eu1 apresenta energias S₁ e T₁ (20942,30 e 14031,45 cm⁻¹, respectivamente) muito abaixo das energias típicas para β-dicetonas (da ordem de 20000 cm⁻¹). Embora a taxa de ISC seja a maior dentre as taxas do ligante btfa, com essas energias de S₁ e T₁, a luminescência do Eu1 estaria comprometida de acordo com a regra de Latva, pois a energia T₁ é muito abaixo da energia do estado ⁵D₀ do Eu³⁺ (17227 cm⁻¹). Além disso, segundo a regra de Reinhoudt, como a diferença de energia entre os estados S₁ e T₁ (6910,85 cm⁻¹) é bem maior que 4500 cm⁻¹, o cruzamento intersistema não é favorável. Por outro lado, os dados mostram que a bipiridina é um potencial sensibilizador do Eu³⁺, levando em conta a regra de Reinhoudt (3283,90 cm⁻¹), embora viole a regra de Latva (energia T₁ de 24328,47 cm⁻¹) e possua a taxa de fluorescência como a maior dentre as demais. Portanto, esses dados não apontam alta luminescência, indo de encontro à eficiência quântica experimental de 90,45% e ao rendimento quântico de 63,00% de Eu1 (**Tabela 7**).

Já para Eu2, as energias dos ligantes hfac e tiabendazol são condizentes com as energias calculadas para o complexo completo. A hfac apresenta energias T₁ e S₁ mais semelhantes com o esperado para β-dicetonas no geral. Embora ambos os ligantes não se encaixem na regra de Reinhout, eles possuem energias e taxas intraligantes que podem ser interpretadas como características de bons doadores de energia. As energias T₁ de hfac e tiabendazol (20712,14 e 21639,24 cm⁻¹, respectivamente) indicam que ambos são potenciais sensibilizadores do nível ⁵D₀ do Eu³⁺. Embora a taxa de fluorescência do tiabendazol (1,76×108 s⁻¹) seja cerca de dez vezes maior que a taxa de fosforescência e de ISC (3,24×10⁷ e 1,78×10⁷ s⁻¹, respectivamente), a taxa de ISC da hfac (9,24×10¹⁰ s⁻¹) é cerca de cem mil vezes maior que sua taxa de fosforescência (1,24×10⁵ s⁻¹) e um milhão de vezes maior que a taxa de fluorescência (2,04×10⁴ s⁻¹), sugerindo alta população do estado T₁. Tais dados apontam que o complexo Eu2 é luminescente, o que condiz com os dados experimentais de eficiência quântica (76,87%) e rendimento quântico (47,00%). Os cálculos com CAM-B3LYP não chegaram a convergir totalmente para essa metodologia.

5.5. Visão geral dos resultados das metodologias

No geral, as metodologias indicam a luminescência de ambos os complexos, exceto quando os dados são perceptivelmente incoerentes. Ou seja, é possível estudar a luminescência dos complexos com cada metodologia individualmente. Os cálculos DFT das primeiras metodologias mostrou-se coerente em todos os ensaios, enquanto das duas últimas, algumas etapas foram problemáticas para diferentes cálculos, levando a energias S₁ e T₁ excessivamente baixas ou altas.

O custo computacional da metodologia clássica é o menor dentre as estudadas. Os cálculos TDDFT para a determinação das energias S_1 e T_1 são feitos em questão de frações ou unidades de horas, executando os cálculos em paralelo. A metodologia da generalização dos estados também utiliza os mesmos resultados TDDFT que a clássica, entretanto, para a determinação das taxas intraligantes, cálculos mais pesados e de difícil convergência são necessários. Na metodologia da relaxação dos estados excitados, são necessários diversos cálculos diferentes para cada complexo, que somados podem ultrapassar uma semana de cálculos ininterruptos. A metodologia mais

custosa é a última, em que os cálculos ESD dependem de diversos cálculos de frequências vibracionais e de otimizações geométricas, chegando a seis cálculos diferentes para cada complexo que, somados, atingem mais de dois meses para serem efetuados. Vale salientar que, exceto para a metodologia clássica, a não convergência dos cálculos é uma problemática das metodologias.

As metodologias clássica e da generalização dos estados, de maneira qualitativa, sugerem a alta luminescência de ambos os complexos, independentemente do funcional híbrido DFT utilizado. Entretanto, utilizando as taxas intraligantes padrão, os valores de rendimento quântico teórico e de eficiência de sensibilização podem ser prejudicados. Assim, para complexos altamente luminescentes, a determinação das taxas intraligantes pode ser necessária nessas metodologias. Duas das metodologias estudadas se comprometem a calcular taxas intraligantes: abordagem da generalização dos estados e da fluoro e fosforescência. Ou seja, a junção das abordagens pode ser feita a fim de complementar suas deficiências, como a utilização das taxas obtidas pela fluoro e fosforescência para determinar o rendimento quântico teórico nas metodologias clássica e generalização dos estados.

Exceto para os cálculos PBE1PBE do complexo Eu1, a metodologia da relaxação dos estados excitados mostrou-se problemática na coerência das energias S_{1rel} e T_{1rel}. Isso comprometeu a utilização da metodologia nos complexos estudados.

A aplicação das taxas intraligantes ESD nas metodologias clássicas e generalização dos estados, utilizando os resultados PBE1PBE, forneceu os rendimentos quânticos teóricos que estão exibidos na **Tabela 23**. Como as taxas obtidas para o complexo Eu1 surgem a partir de energias contraditórias (T_1 com energia maior que S_1 nesse tratamento), as taxas $T_1,S_1\rightarrow S_0$ são bem menores que as taxas $T_1\rightarrow Eu^{3+}$ calculadas, levando a resultados semelhantes quando as taxas padrão são utilizadas. Esse cenário é levemente diferente para Eu2 em que, especialmente na metodologia clássica, houve uma singela diminuição do rendimento quântico teórico, se aproximando aos valores experimentais quando comparado com os demais resultados.

Tabela 23. Rendimento quântico (q) e eficiencia quântica (η) teóricos calculados com os métodos clássicos e da generalização dos estados utilizando as taxas intraligantes da metodologia da fluoro e fosforenscência calculados com PBE1PBE/ESD, comparados com os dados experimentais.

Metodologia	Clássio	Clássica		Gen. dos estados		Experimental	
Complexo	Eu1	Eu2	Eu1	Eu2	Eu1	Eu2	
q (%)	86,21	64,89	87,18	70,76	63,00	47,00	
n (%)	98,36	86,78	99,46	94,63	69,65	61,14	

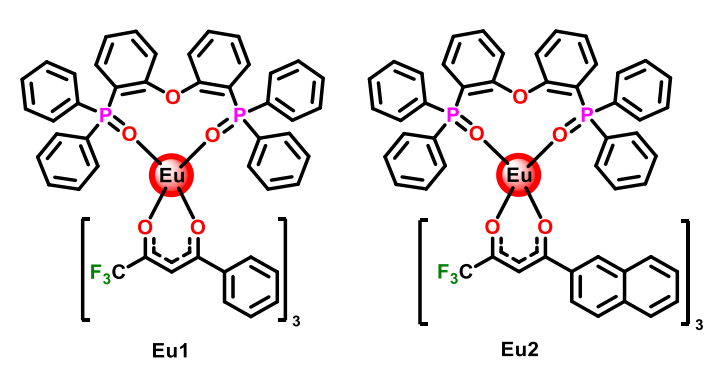
A junção dessas metodologias ainda carece de mais refinamentos e testes, mas pode ser uma opção para a determinação mais acurada do rendimento quântico utilizando dados teóricos. Além disso, a consideração de outros aspectos pode ser necessária, como a inserção de mais estados doadores de energia dos ligantes.

CAPÍTULO 6: TRABALHOS PUBLICADOS

A motivação para o desenvolvimento de alguns dos novos recursos implementados no LUMPAC 2.0 surgiu em 2020 devido à realização de trabalhos publicados por nosso grupo de pesquisa em colaboração. Nesse capítulo, as aplicações das novas ferramentas serão descritas em ordem cronológica a fim de mostrar a sua importância para os trabalhos. A evolução dessas ferramentas será apresentada através da descrição das publicações. Portanto, os novos recursos passaram por um processo de validação durante alguns anos antes de serem implementados no LUMPAC 2.0.

No ano de 2020, dois trabalhos foram publicados que, além da aplicação do LUMPAC 1.4.1, algumas das novas funções que estão implementadas no LUMPAC 2.0 foram desenvolvidas na forma de um código utilitário usando a linguagem Python e aplicadas nos trabalhos. No trabalho "Bright and efficient red emitting electroluminescent devices fabricated from ternary europium complexes" [8] as propriedades fotofísicas de dois complexos (Figura 30) foram calculadas usando métodos baseados na DFT/TDDFT. Como o nosso grupo até então não havia aplicado tais métodos, o primeiro código desenvolvido em Python foi destinado à criação de arquivos de entrada para cálculos DFT/TDDFT com o ORCA.

Figura 30. Complexos estudados teoricamente por nosso grupo em colaboração no trabalho publicado por Muhammad S. Khan *et al.* (2020) [8].



Os autores observaram que, embora as energias T₁ calculadas com o método CAM-B3LYP/SVP/MWB52 variassem pouco entre os complexos, a análise dos orbitais moleculares relacionados a T₁ mostrou o envolvimento de diferentes regiões moleculares. Para Eu1, os orbitais envolvidos nas transições

são HOMO-1, HOMO, LUMO+1 e LUMO+3, enquanto que para Eu2, os orbitais são HOMO-4, HOMO-2, LUMO, LUMO+1 e LUMO+10. Além disso, através do estudo dos orbitais de transição natural (NTOs, do inglês "*Natural Transition Orbitals*"), os quais ilustram de maneira qualitativa os orbitais mais influentes para um dado estado singleto, foi possível descrever as regiões moleculares mais relevantes para as absorções observada no espectro teórico. A análise revelou que as bandas mais intensas foram do tipo $\pi \rightarrow \pi^*$ e que estavam centradas majoritariamente nos ligantes β-dicetonatos para ambos os complexos.

1786

1787

1788

1789

1790

1791

1792

1793

1794

1795

1796

1797

1798

1799

1800

1801

1802

1803

1804

1805

1806

1807

1808

1809

1810

1811

1812

1813 1814

No segundo trabalho publicado em 2020, intitulado "Monochromatic red electroluminescence from a homodinuclear europium(III) complex of a β-diketone tethered by 2,20 -bipyrimidine" [101], o complexo Eu3 (Figura 31) foi estudado. Mais uma vez, as imagens dos NTOs foram obtidas com a abordagem TDDFT CAM-B3LYP/SVP/MWB52 para as duas bandas de absorção mais intensas do complexo. As figuras revelaram que, novamente, os ligantes β-dicetonatos desempenharam um papel mais importante no processo de absorção de energia. Neste trabalho, a contribuição dos ligantes neutros e do ligante auxiliar foi incluída na modelagem da transferência de energia (TE) para explicar o rendimento quântico experimental. Com a ajuda das figuras dos orbitais que mais favorecem a formação dos estados tripleto, constatou-se que T₁ (22531,3 cm⁻¹) está centrado nas β-dicetonas e que apenas T₁₂ (29938,1 cm⁻¹) é o estado de menor energia tripleto que possui grande contribuição do ligante auxiliar. Desta forma, apesar das taxas de transferência ter sido calculadas com o LUMPAC 1.4.1, foi necessário desenvolver um código utilitário em Python para resolver o sistema de equações de taxa incluindo T₁₂ além de T₁. Tal tratamento forneceu um valor de rendimento quântico teórico em concordância com o experimental. Na verdade, ainda não estava claro que o embrião do LUMPAC 2.0 estava germinando.

Figura 31. Complexo Eu3 estudado teoricamente por nosso grupo em colaboração no trabalho publicado por Rashid Ilmi *et al.* (2020) [101].

1815 1816

1818 1819

1820

1821

1822

1823

1824

1825

1826

1827

1828

1829

1830

1831

1832

1833

1834

1835

1836

1837

1838

Em 2021, foram três publicações, iniciando pelo trabalho "Utilization of a Pt(II) di-yne chromophore incorporating a 2,2'-bipyridine-5,5'-diyl spacer as a chelate to synthesize a green and red emitting d-f-d heterotrinuclear complex" [24], em que o complexo Eu4 (Figura 32) foi estudado. Foi observado que o complexo apresentou dupla emissão de luz (vermelha e verde) quando excitado em comprimentos de onda diferentes (345 nm e 464 nm, respectivamente). Os autores concluíram que a emissão vermelha estava atrelada ao Eu³⁺, enquanto a emissão verde tratava-se de emissão residual do ligante auxiliar. Para explicar estas observações, dois estados tripleto foram considerados para contemplar a participação das β-dicetonas e do ligante auxiliar. Os resultados CAM-B3LYP apontaram a transição HOMO→LUMO como a mais importante para a formação de S₁ (29577,5 cm⁻¹) e de T₁ (20442,2 cm⁻¹). A análise dos orbitais assinalou que esta transição estava no ligante auxiliar. Adicionalmente, foi notado que o estadoT₂ (22664,2 cm⁻¹) é o estado tripleto de menor energia com participação majoritária das β-dicetonas. O estudo da TE, incluindo T₁ e T₂, mostrou que T₂ é o estado mais importante para a excitação do íon Eu³⁺. O valor considerável de retrotransferência de T₁ através do canal T₁←⁵D₁ justificou a população dos estados excitados do ligante auxiliar e seu decaimento radiativo interno na coloração verde.

Figura 32. Complexo Eu4 estudado por nosso grupo em trabalho publicado por Idris Juma Al-Busaidi *et al.* (2021) [24].

1839 1840

18421843

1844

1845

1846

1847

1848

1849

1850

1851

1852

1853

1854

1855

1856

1857

1858

1859

1860

1861

1862

1863

1864

1865

1866

Apesar da análise dos orbitais consistir em uma ferramenta interessante para a caracterização de um dado estado excitado, selecionar e gerar as imagens dos orbitais de interesse é bastante laborioso. A geração da imagem dos orbitais moleculares nos trabalhos citados foi realizado com o programa Avogadro [135]. Para facilitar o processo de análise dos orbitais, deu-se início à codificação de vários recursos que estão implementados no módulo 4 do LUMPAC 2.0.

O código responsável pela geração dos orbitais foi aplicado no trabalho intitulado "A tris β-diketonate europium(III) complex based OLED fabricated by thermal evaporation method displaying efficient bright red emission" [102], agilizando a análise dos orbitais. Neste trabalho, o complexo Eu5 (Figura 33) foi estudado e cálculos TDDFT CAM-B3LYP/SVP/MWB52 indicaram que os orbitais mais relevantes para as principais absorções eletrônicas do complexo variam de HOMO-4 a LUMO+3. As figuras dos orbitais revelaram que as excitações ocorrem tanto no ligante auxiliar quanto nos ligantes β-dicetonatos, sendo transições do tipo $\pi \rightarrow \pi^*$. A análise dos orbitais também revelou que os estados T_1 , T_2 e T_3 são praticamente degenerados (22972, 23054 e 23170 cm⁻¹, respectivamente) e estavam concentradas nos ligantes β-dicetonatos. Por outro lado, o estado T₄ (26354 cm⁻¹) contou majoritariamente com a contribuição do ligante auxiliar. Como os estados tripleto centrados nos β-dicetonatos são praticamente degenerados, o estudo da TE envolveu apenas os estados T₁ e T₄. Diferentemente dos trabalhos anteriores, todos os canais de transferência possíveis entre os níveis doadores S₁ (35903 cm⁻¹), T₁ e T₄ e os níveis aceitadores ⁵D₄, ⁵D₁ e ⁵D₀ foram considerados. Por meio do ajuste das taxas de decaimento dos estados dos ligantes, usando um novo recurso inserido no

código que resolve o sistema de equações de taxa, o rendimento quântico do complexo foi devidamente reproduzido.

Figura 33. Complexo Eu5 estudado por nosso grupo em trabalho publicado por Rashid Ilmi *et al.* (2021) [102].

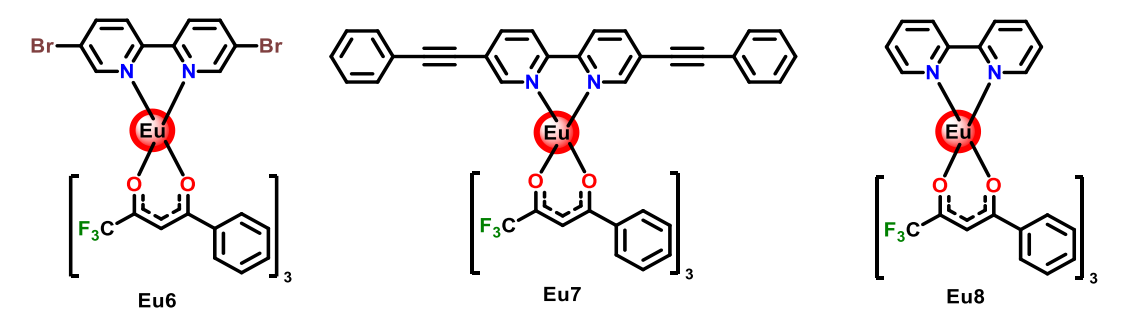
Deste modo, o desenvolvimento de códigos com a finalidade de: i) criar arquivos de entrada para cálculos DFT/TDDFT com o ORCA; ii) caracterizar os estados excitados através do tratamento dos resultados INDO/S-CIS e TDDFT obtidos com o ORCA; iii) generalizar a modelagem da TE por meio da inclusão de diversos estados dos ligantes e de vários estados excitados do íon Eu³⁺, e; iv) visualizar a estrutura e os orbitais moleculares de modo fácil, indicaram claramente o nascimento do LUMPAC 2.0.

No trabalho "Theoretical and experimental spectroscopic investigation of new Eu(III)-FOD complex containing 2-pyrrolidone ligand" [136] publicado em 2021, as propriedades espectroscópicas do complexo [Eu(FOD)₃(2-Pyr)₂] (FOD = 6,6,7,7,8,8,8-heptafluoro-2,2-dimetil-3,5-octadionato e 2-Pyr = 2-pirrolidona) foram estudadas com uma versão em fase de desenvolvimento do LUMPAC 2.0. O Eu³⁺ está coordenado a três β -dicetonas e dois ligantes auxiliares monodentados (**Figura 34**). A função de destacar o poliedro de coordenação juntamente com a legenda dos átomos foi implementada e aplicada para observar claramente o formato do poliedro do composto. A análise dos orbitais moleculares revelou que os ligantes β -dicetonatos são os mais importantes para a composição de T₁. Os autores notaram que os ligantes auxiliares não desempenharam papel crucial no processo de TE. Assim, o estudo da TE incluiu apenas os canais S₁ \rightarrow 5D₄ e T₁ \rightarrow 5D_{1,0}.

Figura 34. Complexo [Eu(FOD)₃(2-Pyr)₂] estudado por nosso grupo em trabalho publicado por Alex Santos Borges *et al.* (2021) [136].

Em 2022, dois trabalhos foram publicados. No trabalho intitulado "*Synthesis* and photophysical properties of ternary β-diketonate europium (*III*) complexes incorporating bipyridine and its derivatives" [23], os complexos Eu6, Eu7 e Eu8 (**Figura 35**) foram explorados. A análise dos NTOs com os resultados TDDFT CAM-B3LYP/SVP/MWB52 mostrou que as transições mais importantes para o processo de absorção ocorreram em orbitais centrados tanto nas β-dicetonas quanto nos ligantes auxiliares para todos os complexos. O estudo revelou que a energia T₁ de Eu6 e Eu8 não mudaram significantemente, sugerindo que a presença dos átomos de Br não interferiu na estrutura eletrônica do complexo Eu6. Entretanto, Eu7 apresentou energia T₁ menor devido à alta conjugação do ligante auxiliar, o qual foi relevante para composição do estado. Assim, para o estudo da TE, apenas T₁ foi considerado para Eu6 e Eu8 dado que as análises revelaram a contribuição de ambos os ligantes, enquanto os estados T₁ e T₂ foram considerados para o Eu7, pois apresentaram contribuição majoritária dos ligantes neutro e β-dicetonatos, respectivamente.

Figura 35. Complexos estudados por nosso grupo em trabalho publicado por Idris Juma Al-Busaidi *et al.* (2022) [23].



O trabalho "Single component white-OLEDs derived from tris (β-diketonato) bearing europium(III) complexes the large bite angle N^N 2-(4thiazolyl)benzimidazole ligand" [9] seguiu na mesma linha dos trabalhos anteriores e os complexos Eu9 e Eu10 (Figura 36) foram estudados. A análise dos orbitais que mais importantes para os estados tripleto revelou que devido a maior densidade eletrônica nos ligantes β-dicetonatos em Eu10, causada pela maior quantidade de átomos de F, o ligante auxiliar não contribui com os três estados tripleto de menor energia. Como T₁, T₂ e T₃ foram praticamente degenerados, apenas T₁ foi utilizado para considerar a contribuição dos βdicetonatos no processo de TE. A inclusão de T4 permitiu a inclusão do ligante auxiliar no tratamento. Por outro lado, para Eu9, apenas o estado T1 foi considerado, visto que apresentou participação de todos os ligantes. Por fim, esse foi o primeiro trabalho publicado por nosso grupo em que outros estados aceitadores além ⁵D₀, ⁵D₁ e ⁵D₄ do íon Eu³⁺ foram contemplados nos cálculos.

1933

1934

1935

1919

1920

1921

1922

1923

1924

1925

1926

1927

1928

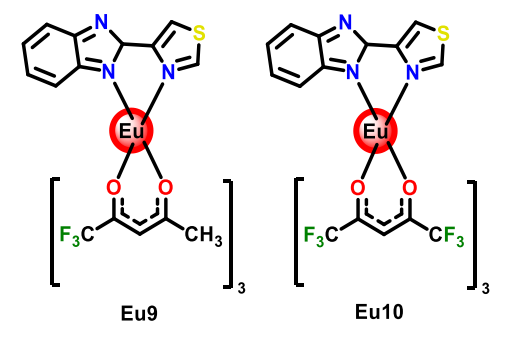
1929

1930

1931

1932

Figura 36. Complexos Eu9 e Eu10 estudados por nosso grupo em trabalho publicado por Rashid Ilmi *et al.* (2022) [9].



1936

1937

1938

1939

1940

1941

1942

1943

1944

1945

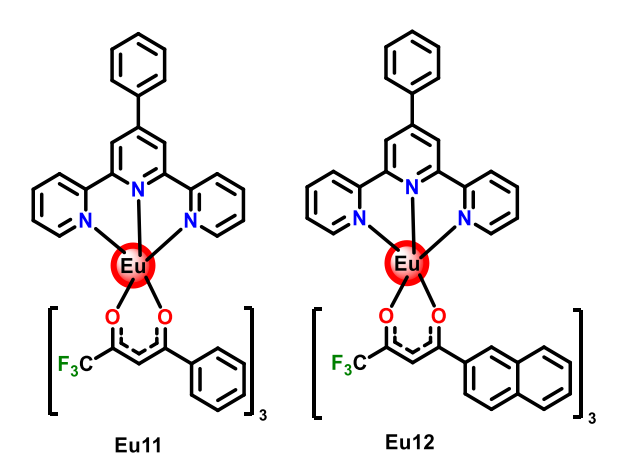
1946

1947

O trabalho "Efficient Red Organic Light Emitting Diodes of Nona Coordinate Europium Tris(β-Diketonato) Complexes Bearing 4'-Phenyl-2,2':6',2"-Terpyridine" [103] foi publicado em 2023 e a luminescência dos complexos Eu11 e Eu12 (Figura 37) foi estudada. As imagens tridimensionais dos complexos juntamente com os poliedros de coordenação permitiram uma melhor visualização do poliedro prismático esférico trigonal tricarpado distorcido (grupo pontual D_{3h}) de Eu11 e antiprismático quadrado carpado esférico distorcido (grupo pontual C_{4v}) de Eu12. Os espectros de absorção experimentais e teóricos para ambos os complexos foram bastante similares. As figuras dos NTOs referentes às transições eletrônicas. calculadas CAMcom

B3LYP/TZVP/MWB52, das três bandas de absorção mais intensas mostraram a relevância de todos os ligantes. Além disso, os ligantes auxiliares são mais relevantes para a composição das bandas em menores comprimentos de onda. Já os β-dicetonatos desempenharam papel mais crucial para as bandas de maiores comprimentos de onda. Para formação de T₁, ambos os ligantes se mostraram relevantes. Assim, o estudo da TE foi feito com os níveis doadores S₁ e T₁ dos ligantes. Tal como no trabalho antecessor, vários níveis aceitadores do Eu³⁺ foram considerados.

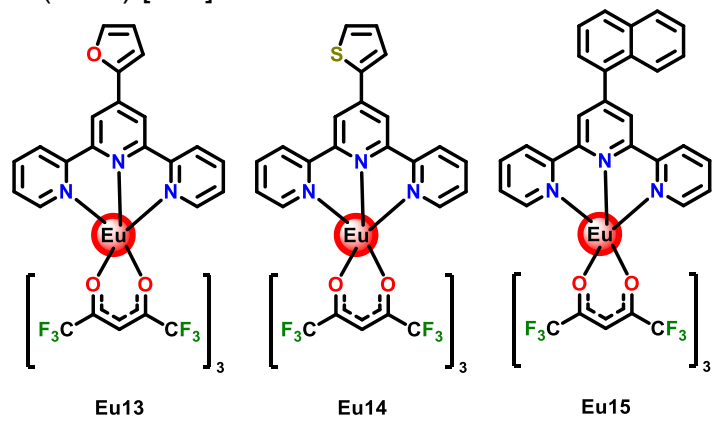
Figura 37. Complexos Eu11 e Eu12 que foram estudados por nosso grupo em trabalho publicado por Rashid Ilmi *et al.* (2023) [103].



O estudo intitulado "Highly Efficient Red-Emitting OLEDs Prepared from Nona-Coordinated Europium(III) Complexes" [137], publicado em 2024, estendeu as ideias dos seus antecessores. Três complexos nonacoordenados da mesma classe que os anteriores, foram estudados: Eu13, Eu14 e Eu15 (Figura 38). Os poliedros de todos os complexos possuíram geometria antiprisma quadrada com tampa esférica, com simetria ideal C_{4V}. Justamente por suas similaridades, os espectros de absorção teóricos dos complexos calculados com CAM-B3LYP/TZVP/MWB52 foram semelhantes, com Eu15 exibindo um pequeno deslocamento para o azul. Os NTOs mostraram que em todos os complexos há contribuição de todos os ligantes para as excitações eletrônicas. Os complexos Eu13 e Eu14 apresentaram estruturas eletrônicas semelhantes, em que os β-dicetonatos foram mais proeminentes. Já para Eu15, as principais transições ocorreram majoritariamente no ligante neutro NapTerPy, explicando o deslocamento observado para o azul nos espectros de absorção teórico e

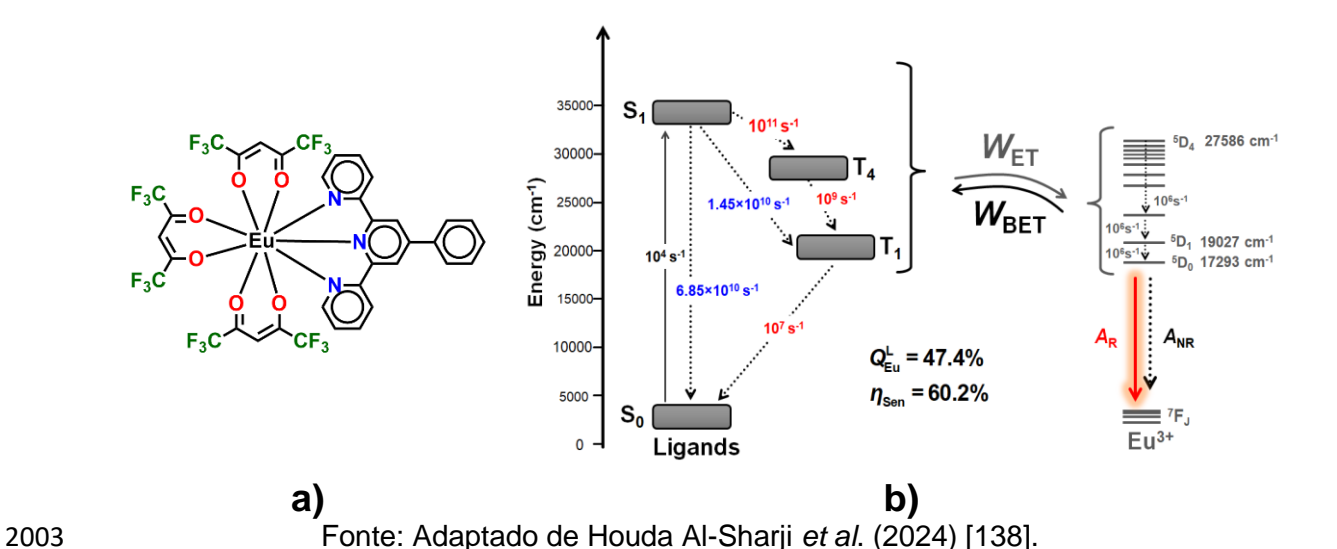
experimental. Assim, apenas os estados S₁ e T₁ foram considerados para estudar a TE em todos os complexos, além de diversos estados aceitadores do Eu³⁺. Os estados T₁ dos complexos apresentaram altas taxas de transferência para os estados ⁵D₁ e ⁵D₀. Já o estado S₁ favoreceu a população eletrônica dos estados ⁵G₂ e ⁵G₃ do Eu³⁺.

Figura 38. Complexos estudados por nosso grupo em trabalho publicado por Rashid Ilmi *et al.* (2024) [137].



No trabalho "Deciphering intersystem crossing and energy transfer mechanisms in a nonacoordinated ternary europium(iii) complex: a combined spectroscopic and theoretical study", recentemente publicado, o complexo Eu16, mostrado na Figura 39, foi estudado [138]. Em razão da fase avançada de desenvolvimento do LUMPAC 2.0, a aplicação de todas as novas implementações foi oportuna neste trabalho. Vários funcionais da densidade foram testados, em conjunto com a função de base TZVP e o ECP MWB52, quanto à previsão teórica do espectro de absorção. O funcional PBE1PBE foi aquele que forneceu um espectro mais concordante ao experimental. Para as duas bandas mais intensas, a análise NTO mostrou que o ligante auxiliar contribuiu majoritariamente para a absorção no menor comprimento de onda, enquanto os ligantes β-dicetonatos foram mais relevantes para a absorção no maior comprimento de onda. Essas observações concordaram com os espectros experimentais obtidos para os ligantes separadamente.

Figura 39. **a)** Estrutura do complexo Eu16 estudado e **b)** diagrama de Jablonski do complexo, destacando em azul as taxas ajustadas e em vermelho as taxas parametrizadas.



2005

2006

2007

2008

2009

2010

2011

2012

2013

2014

2015

2016

2017

2018

2019

2020

2021

2022

Esse trabalho traz uma abordagem diferencial devido aos decaimentos não radiativos $S_1 \rightarrow S_0$ e $S_1 \rightarrow T_1$ terem sido determinados experimentalmente (6,85×10¹⁰ s⁻¹ e 1,45×10¹⁰ s⁻¹, respectivamente) através da espectroscopia de absorção transiente ultrarrápida. Isto possibilitou o estudo das demais taxas de decaimento e cruzamento intersistema em função das taxas experimentais. Para isso, o LUMPAC 2.0 aplicado na parametrização das taxas desconhecidas. Foi

do T₁ centrado nos ligantes β-dicetonatos, o estado T₄ centrado no ligante

possível identificar a necessidade da inclusão de mais um estado tripleto. Além

auxiliar também foi incluído na modelagem da TE.

Simplificadamente, o esquema de TE postulado para o complexo estudado ocorreu da seguinte forma: $S_0 \rightarrow S_1 \rightarrow T_4 \rightarrow T_1 \rightarrow Eu(III)$. Deste modo, um papel importante para o ligante neutro no processo de TE foi destacado, além de evitar que moléculas do solvente sejam coordenadas ao centro metálico. O ajuste das taxas dos decaimentos $S_1 \rightarrow T_4$, $T_4 \rightarrow T_1$ e $T_1 \rightarrow S_0$ possibilitou determinar valores ótimos de taxas para o sistema de modo a reproduzir o rendimento quântico teórico. A Figura 39b mostra o diagrama de Jablonski utilizado para ilustrar o mecanismo de TE com as taxas parametrizadas destacadas em vermelho e as taxas obtidas experimentalmente em azul.

2023 2024

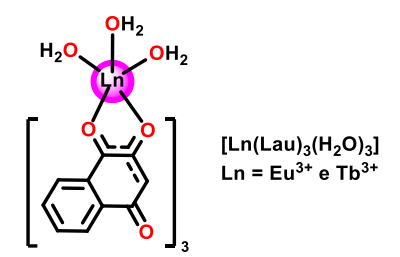
2025

2026

O trabalho "Insights of Europium and Terbium(III) complexes containing Lawsone ligand: Synthesis, Characterization and Biomolecules Studies" foi recentemente submetido à revista Journal of Molecular Structure. Nesse estudo foi feita uma investigação sobre a não luminescência de dois complexos de Eu³⁺

e Tb³+ ligados a ligantes lausonas (Lau), [Eu(Lau)₃(H₂O)₃] e [Tb(Lau)₃(H₂O)₃] (**Figura 40**). Devido à não possibilidade de determinação de dados de fotofísicos, valores quantitativos experimentais não foram determinados, como eficiência e rendimento quântico. Assim, o tratamento executado é totalmente teórico. As geometrias otimizadas dos complexos foram obtidas com DFT PBE1PBE/TZVP com o efeito implícito do solvente dimetilsulfóxido (DMSO). Os ECPs utilizados foram o MWB52 para Eu³+ e MWB54 para Tb³+. Os estados excitados foram calculados com o mesmo nível de teoria com TDDFT, exceto pelo funcional híbrido, utilizando CAM-B3LYP.

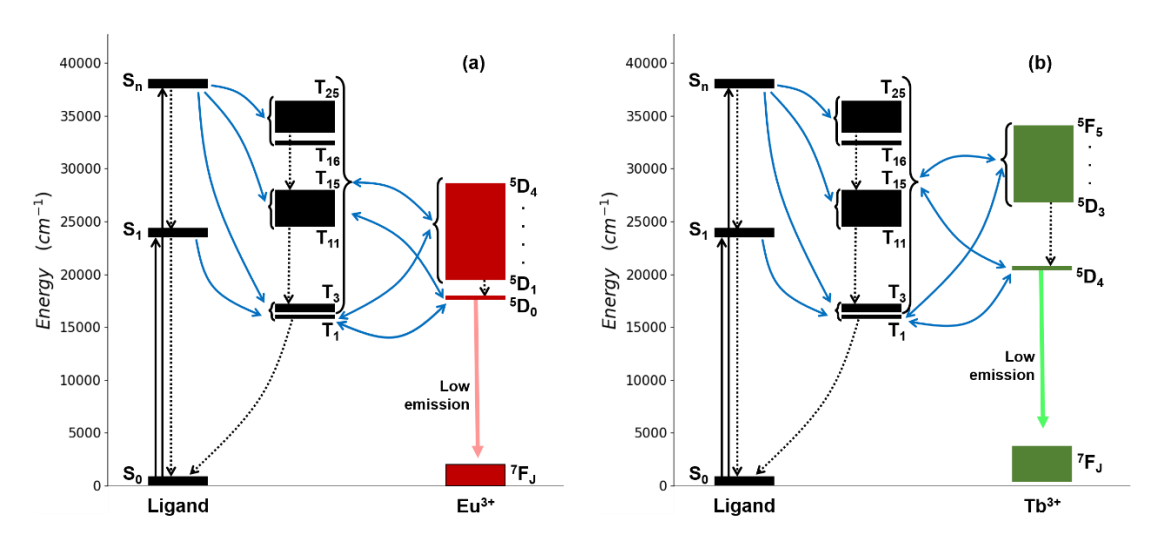
Figura 40. Complexos pouco luminescentes com ligantes lausonas estudados.



As propriedades espectroscópicas dos ligantes são semelhantes em ambos os complexos, visto que a diferença prática dos íons lantanídeos durante a otimização geométrica e absorção de energia é ínfima. Assim, foi constatado que as lausonas são protagonistas na absorção e TE. As energias T1 de ambos complexos (por volta de 15840 cm⁻¹) são bem menores que a energia dos níveis emissores dos íons Eu³⁺ (⁵D₀, 17293 cm⁻¹) e Tb³⁺ (⁵D₄, 20568 cm⁻¹), indicando a pouca população energética desses estados. Assim, foi feito um estudo inédito considerando os estados S₁, os singletos com maior força de oscilador (S_n) e 25 estados tripletos de menor energia, a fim de investigar as taxas entre os níveis dos ligantes aos níveis aceptores dos íons Ln³⁺. Foram considerados todos os estados aceptores dos íons disponíveis no LUMPAC e os níveis emissores do Eu³⁺ e Tb³⁺ foram tratados separadamente, enquanto as taxas para os demais níveis aceitadores foram somadas. Em todos os canais envolvendo T1, WBT acarretou exponencialmente maior que Wet. Os principais canais mais eficientes envolveram os estados S1 por possuir energias levemente acima dos níveis aceitadores (cerca de 23800 cm⁻¹). A contribuição dos outros 24 estados tripletos é semelhante à T₁, isto é, W_{ET} são menores que W_{BT}. Além disso, foi observado

que o aumento gradual das energias tripleto provoca uma redução em sua contribuição tanto para W_{ET} quanto W_{BT}. Como consequência da alta retrotransferência envolvendo os níveis tripleto de menor energia, a população dos níveis emissores dos íons lantanídeos é prejudicada, impedindo a luminescência eficiente. A **Figura 41** traz diagramas que esquematizam o tratamento tomado nesse estudo.

Figura 41. Diagramas de energia de Jablonski do tratamento adotado para o estudo dos complexos a) [Eu(Lau)₃(H₂O)₃] e b) [Tb(Lau)₃(H₂O)₃].



Por fim, o trabalho intitulado "LUMPAC 2.0 – Bridging Theory and Experiment in the Study of Luminescent Systems" está em processo de submissão, através do qual os novos recursos do LUMPAC 2.0 serão divulgados para toda a comunidade acadêmica, além da disponibilização da sua versão beta do programa.

CONCLUSÕES

O estudo da luminescência em complexos de Ln³+ está bastante atrelado à investigação do processo de transferência de energia (TE) ligante-metal. Para isso, diversas ferramentas teóricas podem ser utilizadas. Nesse trabalho, o recém desenvolvido LUMPAC 2.0 foi apresentado. Esta versão estende os recursos disponíveis na primeira versão do programa. A nova versão conta com vários aprimoramentos como a possibilidade de inclusão de mais canais de TE através da possibilidade de selecionar mais níveis doadores dos ligantes e aceitadores do metal. Além disso, o cálculo das taxas de TE não se limita apenas aos compostos de Eu³+, na versão 2.0 é possível estimar essas taxas também para compostos de Tb³+.

A renderização e edição dos orbitais é uma das principais ferramentas disponíveis no LUMPAC 2.0, sendo importante para a identificação das regiões moleculares mais relevantes no processo de TE.

Vale ressaltar que a nova versão do LUMPAC foi desenvolvida usando a linguagem Python, o que facilitou a codificação das novas ferramentas. Além disso, a equipe de desenvolvimento do programa pode ser aumentada, visto a acessibilidade de Python.

Através do LUMPAC 2.0, é possível fazer a junção das metodologias clássicas, da generalização dos estados e da fluoro e fosforescência a partir da utilização das taxas intraligantes obtidas dessa última. Dessa forma, é possível obter resultados quantitativos de rendimento quântico teórico mais condizente com os dados experimentais.

Ao longo do desenvolvimento do LUMPAC 2.0, trabalhos foram publicados em revistas especializadas nos quais as novas ferramentas já foram utilizadas. Onze trabalhos já foram publicados/submetidos por membros do nosso grupo de pesquisa, destacando a aplicação direta das novas funcionalidades. Isso ilustra que as ferramentas passaram por um processo de validação antes de serem implementadas ao LUMPAC 2.0.

PERSPECTIVAS DO TRABALHO

- Prosseguir com o desenvolvimento do LUMPAC, inserindo mais 2103 ferramentas, abrangendo sua utilização.
- Publicar o artigo científico do LUMPAC 2.0 em um periódico internacional.
- Disponibilizar a versão beta do programa para toda a comunidade 2106 acadêmica.
- Aplicar o LUMPAC 2.0 em trabalhos de colaboração teórico-experimental a
 fim de estudar mais complexos de Eu³⁺ e estender os métodos implementados
 no LUMPAC para outros íons Ln³⁺.
- Aplicar as diferentes modelagens de transferência de energia em novos 2111 sistemas usando o LUMPAC 2.0 para aprofundar os estudos sobre 2112 luminescência de complexos de Eu³⁺.

		_
2113	RFFFR	ÊNCIAS
Z113		

- 2114 [1] Bünzli JCG. Lanthanide luminescence for biomedical analyses and
- 2115 imaging. Chem Rev 2010;110:2729–55.
- 2116 https://doi.org/10.1021/cr900362e.
- 2117 [2] Van Vleck JH. The puzzle of rare-earth spectra in solids. J Phys Chem
- 2118 1937;41:67–80. https://doi.org/10.1021/j150379a006.
- 2119 [3] Broer LJF, Gorter CJ, Hoogschagen J. On the intensities and the multipole
- character in the spectra of the rare earth ions. Physica 1945;11:231–50.
- 2121 https://doi.org/10.1016/S0031-8914(45)80009-5.
- 2122 [4] Weissman SI. Intramolecular energy transfer the fluorescence of
- complexes of Europium. J Chem Phys 1942;10:214-7.
- 2124 https://doi.org/10.1063/1.1723709.
- 2125 [5] Lehn J -M. Perspectives in Supramolecular Chemistry—From Molecular
- 2126 Recognition towards Molecular Information Processing and Self-
- Organization. Angew Chemie Int Ed English 1990;29:1304–19.
- 2128 https://doi.org/10.1002/anie.199013041.
- 2129 [6] Judd BR. Optical absorption intensities of rare-earth ions. Phys Rev
- 2130 1962;127:750–61. https://doi.org/10.1103/PhysRev.127.750.
- 2131 [7] Ofelt GS. Intensities of crystal spectra of rare-earth ions. J Chem Phys
- 2132 1962;37:511–20.
- 2133 [8] Khan MS, Ilmi R, Sun W, Dutra JDL, Oliveira WF, Zhou L, et al. Bright and
- 2134 efficient red emitting electroluminescent devices fabricated from ternary
- europium complexes. J Mater Chem C 2020;8:5600–12.
- 2136 https://doi.org/10.1039/d0tc00749h.
- 2137 [9] Ilmi R, Yin J, Dutra JDL, Al Rasbi NK, Oliveira WF, Zhou L, et al. Single
- component white-OLEDs derived from tris(β-diketonato) europium(iii)
- complexes bearing the large bite angle N^N 2-(4-thiazolyl)benzimidazole
- 2140 ligand. Dalt Trans 2022;51:14228–42. https://doi.org/10.1039/d2dt01873j.
- [10] Koshelev DS, Chikineva TY, Kozhevnikova (Khudoleeva) VY, Medvedko A
- V., Vashchenko AA, Goloveshkin AS, et al. On the design of new europium

- heteroaromatic carboxylates for OLED application. Dye Pigment 2019;170:107604. https://doi.org/10.1016/j.dyepig.2019.107604.
- 2145 [11] Sun L, Qiu Y, Liu T, Peng H, Deng W, Wang Z, et al. Visible-light sensitized
- sol-gel-based lanthanide complexes (Sm, Yb, Nd, Er, Pr, Ho, Tm):
- 2147 Microstructure, photoluminescence study, and thermostability. RSC Adv
- 2148 2013;3:26367–75. https://doi.org/10.1039/c3ra45202f.
- 2149 [12] Van Der Voort DD, Maes NCJ, Lamberts T, Sweep AM, Van De Water W,
- Kunnen RPJ, et al. Lanthanide-based laser-induced phosphorescence for
- 2151 spray diagnostics. Rev Sci Instrum 2016;87.
- 2152 https://doi.org/10.1063/1.4943224.
- [13] Filho EV, de Sousa Filho PC, Serra OA, Weber IT, Lucena MAM, Luz PP.
- New luminescent lanthanide-based coordination compounds: Synthesis,
- studies of optical properties and application as marker for gunshot
- 2156 residues. J Lumin 2018;202:89–96.
- 2157 https://doi.org/10.1016/j.jlumin.2018.05.012.
- 2158 [14] Júnior JCA, Dos Santos GL, Colaço M V., Barroso RC, Ferreira FF, Dos
- Santos M V., et al. New Eulll Pyromellitic Metal-Organic Framework of
- 2160 Intense Red-Orange Luminescence and High Thermal Stability for Marking
- in Gunshot Residues. J Phys Chem C 2020;124:9996–10006.
- 2162 https://doi.org/10.1021/acs.jpcc.0c01374.
- 2163 [15] Harshey A, Das T, Srivastava A. Analytical contributions of lanthanide
- based metal-organic frame works as luminescent markers: Recent trends
- in gunshot residue analysis. Microchem J 2020;154.
- 2166 https://doi.org/10.1016/j.microc.2020.104597.
- 2167 [16] Tanner PA, Zhou L, Duan C, Wong KL. Misconceptions in electronic energy
- transfer: bridging the gap between chemistry and physics. Chem Soc Rev
- 2169 2018;47:5234–65. https://doi.org/10.1039/c8cs00002f.
- 2170 [17] Bünzli JCG. On the design of highly luminescent lanthanide complexes.
- 2171 Coord Chem Rev 2015;293–294:19–47.
- 2172 https://doi.org/10.1016/j.ccr.2014.10.013.
- 2173 [18] De Sá GF, Malta OL, De Mello Donegá C, Simas AM, Longo RL, Santa-

- 2174 Cruz PA, et al. Spectroscopic properties and design of highly luminescent
 2175 lanthanide coordination complexes. Coord Chem Rev 2000;196:165–95.
 2176 https://doi.org/10.1016/S0010-8545(99)00054-5.
- 2177 [19] Latva M, Takalob H, Mukkala VM, Matachescu C, Rodríguez-Ubis JC,
 2178 Kankare J. Correlation between the lowest triplet state energy level of the
 2179 ligand and lanthanide(III) luminescence quantum yield. J Lumin
 2180 1997;75:149–69. https://doi.org/10.1016/S0022-2313(97)00113-0.
- 2181 [20] Lee JC, Jeong YK, Kim JM, Kang JG. Sensitized luminescence of Eu(III)
 2182 complexes with Schiff-base and 1,10-phenanthroline: Role of Schiff-base
 2183 as a sensitizer. Spectrochim Acta Part A Mol Biomol Spectrosc
 2184 2014;124:256–64. https://doi.org/10.1016/j.saa.2013.12.117.
- 2185 [21] Freidzon AY, Scherbinin A V., Bagaturyants AA, Alfimov M V. Ab initio 2186 study of phosphorescent emitters based on rare-earth complexes with 2187 organic ligands for organic electroluminescent devices. J Phys Chem A 2188 2011;115:4565–73. https://doi.org/10.1021/jp111303a.
- [22] Romanova KA, Freidzon AY, Bagaturyants AA, Galyametdinov YG. Ab initio study of energy transfer pathways in dinuclear lanthanide complex of Europium(III) and Terbium(III) ions. J Phys Chem A 2014;118:11244–52. https://doi.org/10.1021/jp509492e.
- [23] Al-Busaidi IJ, Ilmi R, Zhang D, Dutra JDL, Oliveira WF, Al Rasbi NK, et al.

 Synthesis and photophysical properties of ternary β-diketonate europium(III) complexes incorporating bipyridine and its derivatives. Dye

 Pigment 2022;197. https://doi.org/10.1016/j.dyepig.2021.109879.
- 2197 [24] Al-Busaidi IJ, Ilmi R, Dutra JDL, Oliveira WF, Haque A, Al Rasbi NK, et al.
 2198 Utilization of a Pt(ii) di-yne chromophore incorporating a 2,2'-bipyridine2199 5,5'-diyl spacer as a chelate to synthesize a green and red emitting d-f-d
 2200 heterotrinuclear complex. Dalt Trans 2021;50:1465–77.
 2201 https://doi.org/10.1039/d0dt04198j.
- 2202 [25] Stratmann RE, Scuseria GE, Frisch MJ. An efficient implementation of time-dependent density-functional theory for the calculation of excitation energies of large molecules. J Chem Phys 1998;109:8218–24.

- 2205 https://doi.org/10.1063/1.477483.
- 2206 [26] Kohn W, Sham LJ. Self-Consistent Equations Including Exchange and Correlation Effects. Phys Rev 1965;140:1133–8.
- 2208 [27] Ridley J, Zerner M. An intermediate neglect of differential overlap technique 2209 for spectroscopy: Pyrrole and the azines. Theor Chim Acta 1973;32:111– 2210 34. https://doi.org/10.1007/BF00528484.
- 2211 [28] Ridley JE, Zerner MC. Triplet states via intermediate neglect of differential 2212 overlap: Benzene, pyridine and the diazines. Theor Chim Acta 1976;42:223–36. https://doi.org/10.1007/BF00574445.
- [29] Carneiro Neto AN, Moura RT, Carlos LD, Malta OL, Sanadar M, Melchior A, et al. Dynamics of the Energy Transfer Process in Eu(III) Complexes Containing Polydentate Ligands Based on Pyridine, Quinoline, and Isoquinoline as Chromophoric Antennae. Inorg Chem 2022;61:16333–46. https://doi.org/10.1021/acs.inorgchem.2c02330.
- 2219 [30] Georgieva I, Trendafilova N, Zahariev T, Danchova N, Gutzov S.

 Theoretical insight in highly luminescent properties of Eu(III) complex with

 phenanthroline. J Lumin 2018;202:192–205.

 https://doi.org/10.1016/j.jlumin.2018.05.045.
- 2223 [31] Georgieva I, Zahariev T, Aquino AJA, Trendafilova N, Lischka H. Energy 2224 transfer mechanism in luminescence Eu(III) and Tb(III) complexes of 2225 coumarin-3-carboxylic acid: A theoretical study. Spectrochim Acta - Part A 2226 Mol Biomol Spectrosc 2020;240:118591. 2227 https://doi.org/10.1016/j.saa.2020.118591.
- 2228 [32] Beltrán-Leiva MJ, Páez-Hernández D, Arratia-Pérez R. Theoretical 2229 Determination of Energy Transfer Processes and Influence of Symmetry in 2230 Lanthanide(III) Complexes: Methodological Considerations. Inorg Chem 2231 2018;57:5120–32. https://doi.org/10.1021/acs.inorgchem.8b00159.
- 2232 [33] Beltrán-Leiva MJ, Cantero-López P, Zúñiga C, Bulhões-Figueira A, Páez-2233 Hernández D, Arratia-Pérez R. Theoretical Method for an Accurate 2234 Elucidation of Energy Transfer Pathways in Europium(III) Complexes with 2235 Dipyridophenazine (dppz) Ligand: One More Step in the Study of the

- 2236 Molecular Antenna Effect. Inorg Chem 2017;56:9200–8.
- 2237 https://doi.org/10.1021/acs.inorgchem.7b01221.
- 2238 [34] Beltrán-Leiva MJ, Solis-Céspedes E, Páez-Hernández D. The role of the
- excited state dynamic of the antenna ligand in the lanthanide sensitization
- 2240 mechanism. Dalt Trans 2020;49:7444–50.
- 2241 https://doi.org/10.1039/d0dt01132k.
- 2242 [35] Malta OL. Ligand Rare-earth ion energy transfer in coordination
- compounds. A theoretical approach. J Lumin 1997;71:229–36.
- 2244 https://doi.org/10.1016/S0022-2313(96)00126-3.
- 2245 [36] Silva FRGE, Malta OL. Calculation of the ligand-lanthanide ion energy
- transfer rate in coordination compounds: Contributions of exchange
- 2247 interactions. J Alloys Compd 1997;250:427–30.
- 2248 https://doi.org/10.1016/s0925-8388(96)02563-7.
- 2249 [37] Dolg M. Computational Methods in Lanthanide and Actinide Chemistry.
- 2250 Comput Methods Lanthan Actin Chem 2015:1–458.
- 2251 https://doi.org/10.1002/9781118688304.
- 2252 [38] Dutra JDL, Bispo TD, Freire RO. LUMPAC lanthanide luminescence
- software: Efficient and user friendly. J Comput Chem 2014;35:772-5.
- 2254 https://doi.org/10.1002/jcc.23542.
- 2255 [39] Monteiro JHSK, Dutra JDL, Freire RO, Formiga ALB, Mazali IO, De
- Bettencourt-Dias A, et al. Estimating the Individual Spectroscopic
- Properties of Three Unique Eu III Sites in a Coordination Polymer. Inorg
- 2258 Chem 2018;57:15421–9. https://doi.org/10.1021/acs.inorgchem.8b02720.
- [40] Turchetti DA, Nolasco MM, Szczerbowski D, Carlos LD, Akcelrud LC. Light
- emission of a polyfluorene derivative containing complexed europium ions.
- 2261 Phys Chem Chem Phys 2015;17:26238–48.
- 2262 https://doi.org/10.1039/c5cp03567h.
- 2263 [41] Da Silva CM, Ellena J, Frem RCG. Chemical transformation of a
- luminescent two-dimensional Eu(iii) coordination polymer in the aqueous
- 2265 phase. New J Chem 2020;44:10146–52.
- 2266 https://doi.org/10.1039/c9nj06075h.

- 2267 [42] Galaço ARBS, Jesus LT, Freire RO, De Oliveira M, Serra OA. Experimental 2268 and Theoretical Studies of Glyphosate Detection in Water by an Europium
- Luminescent Complex and Effective Adsorption by HKUST-1 and IRMOF-
- 2270 3. J Agric Food Chem 2020;68:9664–72.
- 2271 https://doi.org/10.1021/acs.jafc.0c03574.
- 2272 [43] Hooda A, Singh D, Dalal A, Nehra K, Kumar S, Singh R, et al. Preparation
- 2273 , spectral and Judd Ofelt analyses of luminous Octa-coordinated Europium
- (III) complexes. J Photochem Photobiol A Chem 2023;440:114646.
- 2275 https://doi.org/10.1016/j.jphotochem.2023.114646.
- 2276 [44] Hooda A, Dalal A, Nehra K, Singh S, Kumar S, Singh D. Red-emitting β-
- 2277 diketonate Eu(III) Complexes With Substituted 1,10-phenanthroline
- 2278 Derivatives: Optoelectronic and Spectroscopic Analysis. J Fluoresc
- 2279 2022;32:1413–24. https://doi.org/10.1007/s10895-022-02951-0.
- 2280 [45] Dalal A, Nehra K, Hooda A, Singh S, Bhagwan S, Singh D, et al. 2,2'-
- Bipyridine based fluorinated β-Diketonate Eu(III) complexes as red emitter
- for display applications. Inorg Chem Commun 2022;140:109399.
- 2283 https://doi.org/10.1016/j.inoche.2022.109399.
- 2284 [46] Dalal A, Nehra K, Hooda A, Singh D, Kumar S, Malik RS. Synthesis,
- 2285 photophysical characteristics and geometry optimization of Tris(2-
- benzoylacetophenonate)europium complexes with 2, 2'-Bipyridine
- 2287 derivatives. J Lumin 2022;247:118873.
- 2288 https://doi.org/10.1016/j.jlumin.2022.118873.
- 2289 [47] Nehra K, Dalal A, Hooda A, Singh S, Singh D. Computational and
- spectroscopic evaluation of 1,10-phenanthroline based Eu(III) fluorinated
- β-Diketonate Complexes for displays. J Lumin 2022;251:119111.
- 2292 https://doi.org/10.1016/j.jlumin.2022.119111.
- 2293 [48] Dalal A, Nehra K, Hooda A, Singh D, Kumar S, Malik RS. Red emissive
- ternary europium complexes: synthesis, optical, and luminescence
- characteristics. Luminescence 2022;37:1309–20.
- 2296 https://doi.org/10.1002/bio.4297.
- 2297 [49] Nehra K, Dalal A, Hooda A, Singh D, Kumar S, Singh Malik R. Heteroleptic

- luminous ternary europium Complexes: Synthesis, electrochemical and photophysical investigation. Chem Phys Lett 2022;800:139675. https://doi.org/10.1016/j.cplett.2022.139675.
- 2301 [50] Mutti AMG, Canisares FSM, Machini WBS, Pires AM, Teixeira MFS, Lima 2302 SAM. A spectroscopic experimental and semi-empirical study of 2303 [Eu(salen)2] as a red-emitter for phosphor-converted UV LED. Optik 2304 (Stuttg) 2021;243:167454. https://doi.org/10.1016/j.ijleo.2021.167454.
- 2305 [51] Marques LF, Santos HP, D'Oliveira KA, Botezine NP, Freitas MCR, Freire RO, et al. New photo/electroluminescent europium(III) β-diketonate complex containing a p,p'-disubstituted bipyridine ligand: Synthesis, solid state characterization, theoretical and experimental spectroscopic studies. Inorganica Chim Acta 2017;458:28–38.
- 2310 https://doi.org/10.1016/j.ica.2016.12.022.
- Ilmi R, Khan MS, Li Z, Zhou L, Wong WY, Marken F, et al. Utilization of Ternary Europium Complex for Organic Electroluminescent Devices and as a Sensitizer to Improve Electroluminescence of Red-Emitting Iridium Complex. Inorg Chem 2019;58:8316–31. https://doi.org/10.1021/acs.inorgchem.9b00303.
- Francis B, Nolasco MM, Brandão P, Ferreira RAS, Carvalho RS, Cremona M, et al. Efficient Visible-Light-Excitable Eu3+ Complexes for Red Organic Light-Emitting Diodes. Eur J Inorg Chem 2020;2020:1260–70. https://doi.org/10.1002/ejic.202000027.
- 2320 [54] Biju S, Xu LJ, Hora Alves MA, Freire RO, Chen ZN. Bright orange and red
 2321 light-emitting diodes of new visible light excitable tetrakis-Ln-β-diketonate
 2322 (Ln = Sm3+, Eu3+) complexes. New J Chem 2017;41:1687–95.
 2323 https://doi.org/10.1039/c6nj03450k.
- 2324 [55] Dhananjaya N, Yashodha SR, Shivakumara C. The orange red 2325 luminescence and conductivity response of Eu3+ doped GdOF phosphor: 2326 Synthesis, characterization and their Judd-Ofelt analysis. Mater Res 2327 Express 2019;6. https://doi.org/10.1088/2053-1591/ab4a6b.
- 2328 [56] Shi S, Wang L, Fang M, Fu L, Carlos LD, Ferreira RAS, et al. Blue-light

2329		excitable La2Ce2O7:Eu3+ red phosphors for white light-emitting diodes. J
2330		Alloys Compd 2020;814:152226.
2331		https://doi.org/10.1016/j.jallcom.2019.152226.
2332	[57]	Neharika, Singh VK, Sharma J, Bedyal AK, Kumar V, Swart HC. Surface
2333		and spectral studies of Sm3+ doped Li4Ca(BO3)2 phosphors for white light
2334		emitting diodes. J Alloys Compd 2018;738:97-104.
2335		https://doi.org/10.1016/j.jallcom.2017.12.118.
2336	[58]	Shi S, Yang Y, Guo P, Wang J, Geng L, Fu L. Improved morphology and
2337		optimized luminescence of Eu3+-doped La2Ce2O7 composite
2338		nanopowders by surfactant-assisted solution combustion synthesis. J
2339		Lumin 2019;206:91–6. https://doi.org/10.1016/j.jlumin.2018.10.055.
2340	[59]	Gomes EM, De Oliveira Silva JP, Colaço M V., Cuin A, Franco DF, Scarpari
2341		SL, et al. Two highly photoluminescent Eu3+ β-diketonates complexes with
2342		ε-caprolactam as ancillary ligands: From synthesis to the first example as
2343		gunshot residue markers. Opt Mater (Amst) 2023;137.
2344		https://doi.org/10.1016/j.optmat.2023.113527.
2345	[60]	Ghubish Z, Saif M, Hafez H, Mahmoud H, Kamal R, El-Kemary M. Novel
2346		red photoluminescence sensor based on Europium ion doped calcium
2347		hydroxy stannate CaSn(OH)6:Eu+3 for latent fingerprint detection. J Mol
2348		Struct 2020;1207:127840. https://doi.org/10.1016/j.molstruc.2020.127840.
2349	[61]	Canisares FSM, Mutti AMG, Cavalcante DGSM, Job AE, Pires AM, Lima
2350		SAM. Luminescence and cytotoxic study of red emissive europium(III)
2351		complex as a cell dye. J Photochem Photobiol A Chem 2022;422:113552.
2352		https://doi.org/10.1016/j.jphotochem.2021.113552.
2353	[62]	Matos MG, Rocha LA, Nassar EJ, Verelst M. Influence of Bi3+ ions on the
2354		excitation wavelength of the YVO4:Eu3+ matrix. Opt Mater (Amst)
2355		2016;62:12-8. https://doi.org/10.1016/j.optmat.2016.09.035.
2356	[63]	Gomes EM, Franco DF, Scarpari SL, Colaço M V., Ferreira MS, Freire RO,
2357		et al. Study of energy transfer mechanism in the Eu III and Gd III
2358		homobimetallic complexes containing the anti-inflammatory drug naproxen
2359		and N,N-donors ligands. J Lumin 2019;210:104–18.

- 2360 https://doi.org/10.1016/j.jlumin.2019.01.066.
- 2361 [64] Santos JAO, Brito LD, da Costa PI, Pires AM, Lima SAM. Development of
- red-luminescent hybrids as contrast agents for cell imaging: A correlation
- among surface, luminescence, and biological properties. Opt Mater (Amst)
- 2364 2023;139. https://doi.org/10.1016/j.optmat.2023.113759.
- 2365 [65] Zhang JX, Chan WL, Xie C, Zhou Y, Chau HF, Maity P, et al. Impressive
- 2366 near-infrared brightness and singlet oxygen generation from strategic
- lanthanide-porphyrin double-decker complexes in aqueous solution. Light
- 2368 Sci Appl 2019;8. https://doi.org/10.1038/s41377-019-0155-9.
- 2369 [66] Mutti AMG, Santos JAO, Cavalcante DGSM, Gomes AS, Job AE, Teixeira
- GR, et al. Design of a red-emitter hybrid material for bioimaging: europium
- complexes grafted on silica particles. Mater Today Chem 2019;14:100204.
- 2372 https://doi.org/10.1016/j.mtchem.2019.100204.
- 2373 [67] Mutti AMG, Canisares FSM, Santos JAO, Santos BC, Cavalcante DGSM,
- Job AE, et al. Silica-based nanohybrids containing europium complexes
- covalently grafted: structural, luminescent, and cell labeling investigation. J
- 2376 Sol-Gel Sci Technol 2023. https://doi.org/10.1007/s10971-023-06138-2.
- 2377 [68] Costa AL, Bispo-Jr AG, Lima SAM, Pires AM. Multicolor-emitting
- 2378 luminescent Y2O3:RE3+@SiO2-[RE3+(β-diketone)3] core@shell hybrids
- featuring dual RE3+ activator centers. J Alloys Compd 2020;843.
- 2380 https://doi.org/10.1016/j.jallcom.2020.155811.
- 2381 [69] Gálico DA, Mazali IO, Sigoli FA. Nanothermometer based on intensity
- variation and emission lifetime of europium(III) benzoylacetonate complex.
- J Lumin 2017;192:224–30. https://doi.org/10.1016/j.jlumin.2017.06.062.
- 2384 [70] De Souza Ramos TJ, Da Silva Viana R, Schaidhauer L, Cassol T, Alves
- Junior S. Thermoreversible luminescent ionogels with white light emission:
- An experimental and theoretical approach. J Mater Chem C 2015;3:10934–
- 2387 42. https://doi.org/10.1039/c5tc02641e.
- 2388 [71] Bao G, Wong KL, Jin D, Tanner PA. A stoichiometric terbium-europium
- 2389 dyad molecular thermometer: energy transfer properties. Light Sci Appl
- 2390 2018;7. https://doi.org/10.1038/s41377-018-0097-7.

- 2391 [72] De Souza ÉA, De Campos BM, Rocha LA, De Faria EH, Ciuffi KJ, Nassar EJ, et al. Modificação de membrana de poliamida via sol-gel e incorporação de composto de európio (III) luminescente. Quim Nova 2016;39:1044–50. https://doi.org/10.21577/0100-4042.20160122.
- 2395 [73] Yao Y, Li J, Zhou Y, Gao T, Li H, Yan P. Turn-on luminescence detection 2396 of biogenic amine with an Eu(III) tetrahedron cage. Dye Pigment 2397 2021;192:109441. https://doi.org/10.1016/j.dyepig.2021.109441.
- 2398 [74] Kaur P, Kaur P, Alzahrani JS, Al-Buriahi MS, Alrowaili ZA, Singh T. Optical 2399 and spectroscopic behavior of Eu3+ doped heavy metal phosphate 2400 glasses. Ceram Int 2022;48:19424–33. 2401 https://doi.org/10.1016/j.ceramint.2022.03.240.
- Zhou Y, Li H, Zhu T, Gao T, Yan P. A highly luminescent chiral tetrahedral Eu4L4(L')4 cage: Chirality induction, chirality memory, and circularly polarized luminescence. J Am Chem Soc 2019;141:19634–43. https://doi.org/10.1021/jacs.9b07178.
- [76] Moura RT, Carneiro Neto AN, Aguiar EC, Santos C V., de Lima EM, Faustino WM, et al. JOYSpectra: A web platform for luminescence of lanthanides. Opt Mater X 2021;11:100080. https://doi.org/10.1016/j.omx.2021.100080.
- 2410 [77] Ćirić A, Stojadinović S, Sekulić M, Dramićanin MD. JOES: An application 2411 software for Judd-Ofelt analysis from Eu3+ emission spectra. J Lumin 2412 2019;205:351–6. https://doi.org/10.1016/j.jlumin.2018.09.048.
- [78] Ćirić A, Marciniak Ł, Dramićanin MD. Self-referenced method for the Judd–
 Ofelt parametrisation of the Eu3+ excitation spectrum. Sci Rep 2022;12:1–
 10. https://doi.org/10.1038/s41598-021-04651-4.
- 2416 [79] Stewart JJP. MOPAC2016 2016.
- 2417 [80] Filho MAM, Dutra JDL, Cavalcanti HLB, Rocha GB, Simas AM, Freire RO.
 2418 RM1 model for the prediction of geometries of complexes of the trications
 2419 of Eu, Gd, and Tb. J Chem Theory Comput 2014;10:3031–7.
 2420 https://doi.org/10.1021/ct400909w.

- 2421 [81] Filho MAM, Dutra JDL, Rocha GB, Freire RO, Simas AM. Sparkle/RM1
- parameters for the semiempirical quantum chemical calculation of
- lanthanide complexes. RSC Adv 2013;3:16747–55.
- 2424 https://doi.org/10.1039/c3ra41406j.
- 2425 [82] Da Costa NB, Freire RO, Rocha GB, Simas AM. Sparkle model for the AM1
- calculation of dysprosium (III) complexes. Inorg Chem Commun
- 2427 2005;8:831–5. https://doi.org/10.1016/j.inoche.2005.06.014.
- 2428 [83] Freire RO, Rocha GB, Simas AM. Sparkle/PM3 for the modeling of
- europium(III), gadolinium(III), and terbium(III) complexes. J Braz Chem Soc
- 2430 2009;20:1638–45. https://doi.org/10.1590/S0103-50532009000900011.
- 2431 [84] Freire RO, Simas AM. Sparkle/PM6 parameters for all lanthanide trications
- 2432 from La(III) to Lu(III). J Chem Theory Comput 2010;6:2019–23.
- 2433 https://doi.org/10.1021/ct100192c.
- 2434 [85] Dutra JDL, Filho MAM, Rocha GB, Freire RO, Simas AM, Stewart JJP.
- Sparkle/PM7 lanthanide parameters for the modeling of complexes and
- 2436 materials. J Chem Theory Comput 2013;9:3333–41.
- 2437 https://doi.org/10.1021/ct301012h.
- 2438 [86] Dutra JDL, Lima NBD, Freire RO, Simas AM. Europium Luminescence:
- 2439 Electronic Densities and Superdelocalizabilities for a Unique Adjustment of
- Theoretical Intensity Parameters. Sci Rep 2015;5:1–12.
- 2441 https://doi.org/10.1038/srep13695.
- 2442 [87] Santos JCC, Pramudya Y, Krstić M, Chen DH, Neumeier BL, Feldmann C,
- et al. Halogenated Terephthalic Acid "Antenna Effects" in Lanthanide-
- SURMOF Thin Films. ACS Appl Mater Interfaces 2020;12:52166-74.
- 2445 https://doi.org/10.1021/acsami.0c15392.
- 2446 [88] Lo WS, Zhang J, Wong WT, Law GL. Highly luminescent SmIII complexes
- with intraligand charge-transfer sensitization and the effect of solvent
- polarity on their luminescent properties. Inorg Chem 2015;54:3725–7.
- 2449 https://doi.org/10.1021/acs.inorgchem.5b00331.
- 2450 [89] Ilmi R, Iftikhar K. Synthesis and photoluminescence properties of pink
- luminescent heteroleptic Sm(III) complexes; the role of DMSO in

- transforming the inner coordination sphere and on photophysical properties. Sparkle/RM1 calculation. Polyhedron 2017;127:191–202. https://doi.org/10.1016/j.poly.2017.01.035.
- 2455 [90] Dai L, Lo WS, Gu Y, Xiong Q, Wong KL, Kwok WM, et al. Breaking the 1,2-2456 HOPO barrier with a cyclen backbone for more efficient sensitization of 2457 Eu(iii) luminescence and unprecedented two-photon excitation properties. 2458 Chem Sci 2019;10:4550–9. https://doi.org/10.1039/c9sc00244h.
- [91] Kitagawa Y, Kumagai M, Ferreira Da Rosa PP, Fushimi K, Hasegawa Y.
 First demonstration of the π-f orbital interaction depending on the
 coordination geometry in Eu(iii) luminophores. Dalt Trans 2020;49:3098–
 101. https://doi.org/10.1039/d0dt00528b.
- 2463 [92] Ilmi R, Iftikhar K. Photophysical properties of Lanthanide(III) 1,1,1-trifluoro-2,4-pentanedione complexes with 2,2'-Bipyridyl: An experimental and 2465 theoretical investigation. J Photochem Photobiol A Chem 2017;333:142– 2466 55. https://doi.org/10.1016/j.jphotochem.2016.10.014.
- 2467 [93] Johnson KR, De Bettencourt-Dias A. 1O2 Generating Luminescent
 2468 Lanthanide Complexes with 1,8-Naphthalimide-Based Sensitizers. Inorg
 2469 Chem 2019;58:13471–80.
 2470 https://doi.org/10.1021/acs.inorgchem.9b02431.
- Wankar S, Khan I, Pandit UJ. Exploration of photophysical behavior of lanthanide complex and its hybrids. Spectrochim Acta Part A Mol Biomol Spectrosc 2021;254:119629. https://doi.org/10.1016/j.saa.2021.119629.
- 2474 [95] Zhang Z, He L, Feng J, Liu X, Zhou L, Zhang H. Unveiling the Relationship 2475 between Energy Transfer and the Triplet Energy Level by Tuning 2476 Diarylethene within Europium(III) Complexes. Inorg Chem 2020;59:661–8. 2477 https://doi.org/10.1021/acs.inorgchem.9b02907.
- 2478 [96] Daumann LJ, Tatum DS, Andolina CM, Pacold JI, Dáléo A, Law GL, et al. Effects of Ligand Geometry on the Photophysical Properties of 2479 Photoluminescent Eu(III) and Sm(III) 1-Hydroxypyridin-2-one Complexes 2480 2481 Aqueous Solution. Inorg Chem 2016;55:114–24. in 2482 https://doi.org/10.1021/acs.inorgchem.5b01927.

- Shi S, Wei D, Li K, Wang S, Fu L, Yang T, et al. Combustion synthesis of 2483 [97] 2484 Ce2LuO5.5:Eu phosphor nanopowders: structure, surface and investigations. Sci 2019;472:150-7. 2485 luminescence Appl Surf
- 2486 https://doi.org/10.1016/j.apsusc.2018.03.060.
- 2487 [98] Serna-Gallén P, Beltrán-Mir H, Cordoncillo E. Practical guidance for easily interpreting the emission and physicochemical parameters of Eu3+ in solid-
- 2489 state hosts. Ceram Int 2023.
- 2490 https://doi.org/10.1016/j.ceramint.2023.01.141.
- 2491 [99] Bünzli JCG. Rising Stars in Science and Technology: Luminescent
- Lanthanide Materials. Eur J Inorg Chem 2017;2017:5058-63.
- 2493 https://doi.org/10.1002/ejic.201701201.
- 2494 [100] Binnemans K. Interpretation of europium(III) spectra. Coord Chem Rev 2495 2015;295:1–45. https://doi.org/10.1016/j.ccr.2015.02.015.
- 2496 [101] Ilmi R, Sun W, Dutra JDL, Al-Rasbi NK, Zhou L, Qian PC, et al.
- 2497 Monochromatic red electroluminescence from a homodinuclear
- europium(iii) complex of a β-diketone tethered by 2,2'-bipyrimidine. J Mater
- 2499 Chem C 2020;8:9816–27. https://doi.org/10.1039/d0tc02181d.
- 2500 [102] Ilmi R, Zhang D, Dutra JDL, Dege N, Zhou L, Wong WY, et al. A tris β-
- diketonate europium(III) complex based OLED fabricated by thermal
- evaporation method displaying efficient bright red emission. Org Electron
- 2503 2021;96:106216. https://doi.org/10.1016/j.orgel.2021.106216.
- 2504 [103] Ilmi R, Wang J, Dutra JDL, Zhou L, Wong WY, Raithby PR, et al. Efficient
- Red Organic Light Emitting Diodes of Nona Coordinate Europium Tris(β-
- Diketonato) Complexes Bearing 4'-Phenyl-2,2':6',2"-Terpyridine. Chem A
- 2507 Eur J 2023;29. https://doi.org/10.1002/chem.202300376.
- 2508 [104] Francis B, Heering C, Freire RO, Reddy MLP, Janiak C. Achieving visible
- 2509 light excitation in carbazole-based Eu3+-β-diketonate complexes via
- 2510 molecular engineering. RSC Adv 2015;5:90720–30.
- 2511 https://doi.org/10.1039/c5ra18819a.
- 2512 [105] Leite Silva CMB, Bispo-Jr AG, Canisares FSM, Castilho SA, Lima SAM,
- Pires AM. Eu3+-tetrakis β-diketonate complexes for solid-state lighting

2514 2515	application. Luminescence 2019;34:877–86. https://doi.org/10.1002/bio.3686.
2516 [106] 2517 2518 2519	Shin JD, Lim WJ, Yu KS, Lee JH, Lee NS, Jeong YG, et al. Luminescent polystyrene latex nanoparticles doped with β-diketone europium chelate and methacrylic acid. Eur Polym J 2016;83:89–98. https://doi.org/10.1016/j.eurpolymj.2016.08.017.
2520 [107] 2521 2522 2523	Wang D, Pi Y, Liu H, Wei X, Hu Y, Zheng J. Synthesis and spectroscopic behavior of highly luminescent trinuclear europium complexes with tris-β-diketone ligand. J Alloys Compd 2014;613:13–7. https://doi.org/10.1016/j.jallcom.2014.05.222.
2524 [108] 2525 2526 2527	Santos PRS, Jesus AASS, Lima WB, Arruda JG, Faustino WM, Felinto MCFC, et al. Shedding Light on Eu(III) β -Diketonate Compounds with 1,2-Bis(diphenylphosphino)ethane Oxide Ligand: an Optical Study. Eur J Inorg Chem 2024;27. https://doi.org/10.1002/ejic.202300660.
2528 [109] 2529 2530 2531	Parchur AK, Prasad AI, Rai SB, Tewari R, Sahu RK, Okram GS, et al. Observation of intermediate bands in Eu3+ doped YPO4 host: Li+ ion effect and blue to pink light emitter. AIP Adv 2012;2. https://doi.org/10.1063/1.4739504.
2532 [110] 2533 2534	Thompson LC, Kuo SC. Orange luminescence from europium(III) compounds. Inorganica Chim Acta 1988;149:305–6. https://doi.org/10.1016/S0020-1693(00)86087-9.
2535 [111] 2536 2537	Guillet E, Imbert D, Scopelliti R, Bünzli JCG. Tuning the emission color of europium-containing ionic liquid-crystalline phases. Chem Mater 2004;16:4063–70. https://doi.org/10.1021/cm049296o.
2538 [112] 2539 2540	Malta OL, Ribeiro SJL, Faucher M, Porcher P. Theoretical intensities of 4f-4f transitions between stark levels of the Eu3+ ion in crystals. J Phys Chem Solids 1991;52:587–93. https://doi.org/10.1016/0022-3697(91)90152-P.
2541 [113] 2542 2543	Malta OL. Theoretical crystal-field parameters for the YOCI:Eu3+ system. A simple overlap model. Chem Phys Lett 1982;88:353–6. https://doi.org/10.1016/0009-2614(82)87103-0.

- 2544 [114] O.L. Malta. A Simple Overlap Model in Lanthanide Crystal-Field Theory.

 Chem Phys Lett 1982;87:1–3.
- 2546 [115] Malta OL, Gonçalves E Silva FR. A theoretical approach to intramolecular 2547 energy transfer and emission quantum yields in coordination compounds 2548 of rare earth ions. Spectrochim Acta - Part A Mol Biomol Spectrosc 2549 1998;54:1593–9. https://doi.org/10.1016/S1386-1425(98)00086-9.
- 2550 [116] Freeman AJ, Desclaux JP. Dirac-Fock studies of some electronic 2551 properties of rare-earth ions. J Magn Magn Mater 1979;12:11–21. 2552 https://doi.org/10.1016/0304-8853(79)90328-7.
- 2553 [117] Malta OL. Mechanisms of non-radiative energy transfer involving 2554 lanthanide ions revisited. J Non Cryst Solids 2008;354:4770–6. 2555 https://doi.org/10.1016/j.jnoncrysol.2008.04.023.
- 2556 [118] Kasprzycka E, Carneiro Neto AN, Trush VA, Jerzykiewicz L, Amirkhanov VM, Malta OL, et al. How minor structural changes generate major consequences in photophysical properties of RE coordination compounds; resonance effect, LMCT state. J Rare Earths 2020;38:552–63. https://doi.org/10.1016/j.jre.2020.02.001.
- 2561 [119] Carneiro Neto AN, Teotonio EES, de Sá GF, Brito HF, Legendziewicz J,
 2562 Carlos LD, et al. Modeling intramolecular energy transfer in lanthanide
 2563 chelates: A critical review and recent advances. In: Bünzli J-CG, Pecharsky
 2564 VK, editors. Handb. Phys. Chem. Rare Earths, vol. 56, Elsevier; 2019, p.
 2565 55–162. https://doi.org/10.1016/bs.hpcre.2019.08.001.
- 2566 [120] Weber MJ, Varitimos TE, Matsinger BH. Optical intensities of rare-earth 2567 ions in yttrium orthoaluminate. Phys Rev B 1973;8:47–53. 2568 https://doi.org/10.1103/PhysRevB.8.47.
- [121] Adamo C, Jacquemin D. The calculations of excited-state properties with
 time-dependent density functional theory. Chem Soc Rev 2013;42:845–56.
 https://doi.org/10.1039/c2cs35394f.
- [122] Steemers FJ, Verboom W, Reinhoudt DN, van der Tol EB, Verhoeven JW.
 New Sensitizer-Modified Calix[4]arenes Enabling Near-UV Excitation of
 Complexed Luminescent Lanthanide Ions. J Am Chem Soc

- 2575 1995;117:9408–14. https://doi.org/10.1021/ja00142a004.
- 2576 [123] Behnel S, Bradshaw R, Citro C, Dalcin L, Seljebotn DS, Smith K. Cython:
- The best of both worlds. Comput Sci Eng 2011;13:31–9.
- 2578 https://doi.org/10.1109/MCSE.2010.118.
- 2579 [124] Ilmi R, Zhang D, Tensi L, Al-Sharji H, Al Rasbi NK, Macchioni A, et al. Salts
- of Lanthanide(III) Hexafluoroacetylacetonates [Ln = Sm(III), Eu(III) and
- Tb(III)] with Dipyridylammonium cations: Synthesis, characterization,
- 2582 photophysical properties and OLED fabrication. Dye Pigment
- 2583 2022;203:110300. https://doi.org/10.1016/j.dyepig.2022.110300.
- 2584 [125] Zerner MC, Loew GH, Kirchner RF, Mueller-Westerhofflc UT. An
- 2585 Intermediate Neglect of Differential Overlap Technique for Spectroscopy of
- 2586 Transition-Metal Complexes. Ferrocene. J Am Chem Soc 1980;102:589–
- 2587 99. https://doi.org/10.1021/ja00522a025.
- 2588 [126] Neese F. The ORCA program system. Wiley Interdiscip Rev Comput Mol
- 2589 Sci 2012;2:73–8. https://doi.org/10.1002/wcms.81.
- 2590 [127] Kasprzycka E, Trush VA, Amirkhanov VM, Jerzykiewicz L, Malta OL,
- Legendziewicz J, et al. Contribution of Energy Transfer from the Singlet
- 2592 State to the Sensitization of Eu3+and Tb3+Luminescence by
- Sulfonylamidophosphates. Chem A Eur J 2017;23:1318–30.
- 2594 https://doi.org/10.1002/chem.201603767.
- 2595 [128] Zhuravlev KP, Tsaryuk VI, Kudryashova VA. Photoluminescence of
- europium and terbium trifluoroacetylacetonates. Participation of LMCT
- state in processes of the energy transfer to Eu3+ ion. J Fluor Chem
- 2598 2018;212:137–43. https://doi.org/10.1016/j.jfluchem.2018.06.002.
- 2599 [129] Blois L, Carneiro Neto AN, Malta OL, Brito HF. The role of the Eu3+7F1
- level in the direct sensitization of the 5D0 emitting level through
- intramolecular energy transfer. J Lumin 2022;247:118862.
- 2602 https://doi.org/10.1016/j.jlumin.2022.118862.
- 2603 [130] Zahariev T, Beykov P, Trendafilova N, Uzunova E, Georgieva I. Modulation
- of lanthanide luminescence by carbamoylmethylphosphine oxide ligand: A
- 2605 theoretical study. Dye Pigment 2024;224:112043.

- 2606 https://doi.org/10.1016/j.dyepig.2024.112043.
- 2607 [131] Platas-Iglesias C, Roca-Sabio A, Regueiro-Figueroa M, Esteban-Gomez
- D, de Blas A, Rodriguez-Blas T. Applications of Density Functional Theory
- 2609 (DFT) to Investigate the Structural, Spectroscopic and Magnetic Properties
- of Lanthanide(III) Complexes. Curr Inorg Chem 2011;1:91–116.
- 2611 https://doi.org/10.2174/1877944111101010091.
- 2612 [132] Ernzerhof M, Scuseria GE. Assessment of the Perdew-Burke-Ernzerhof
- exchange-correlation functional. J Chem Phys 1999;110:5029–36.
- 2614 https://doi.org/10.1063/1.478401.
- 2615 [133] Dolg M, Stoll H, Preuss H. Energy-adjusted ab initio pseudopotentials for
- the rare earth elements. J Chem Phys 1989;90:1730-4.
- 2617 https://doi.org/10.1063/1.456066.
- 2618 [134] Weigend F, Ahlrichs R. Balanced basis sets of split valence, triple zeta
- valence and quadruple zeta valence quality for H to Rn: Design and
- assessment of accuracy. Phys Chem Chem Phys 2005;7:3297–305.
- 2621 https://doi.org/10.1039/b508541a.
- [135] Hanwell MD, Curtis DE, Lonie DC, Vandermeerschd T, Zurek E, Hutchison
- GR. Avogadro: An advanced semantic chemical editor, visualization, and
- 2624 analysis platform. J Cheminform 2012;4. https://doi.org/10.1186/1758-
- 2625 2946-4-17.
- 2626 [136] Borges AS, Dutra JDL, Santos GS, Diniz R, Kai J, Araujo MH. Theoretical
- 2627 and experimental spectroscopic investigation of new Eu(III)-FOD complex
- containing 2-pyrrolidone ligand. J Mol Model 2021;27.
- 2629 https://doi.org/10.1007/s00894-021-04883-1.
- 2630 [137] Ilmi R, Xia X, Dutra JDL, Santos GS, Zhou L, Wong WY, et al. Highly
- 2631 Efficient Red-Emitting OLEDs Prepared from Nona-Coordinated
- Europium(III) Complexes. ACS Appl Electron Mater 2024;6:2624–38.
- 2633 https://doi.org/10.1021/acsaelm.4c00208.
- [138] Al-Sharji H, Ilmi R, Oliveira WF, Al-Saadi BS, Dutra JDL, Abou-Zied OK, et
- al. Deciphering intersystem crossing and energy transfer mechanisms in a
- 2636 nonacoordinated ternary europium(iii) complex: a combined spectroscopic

2637		and	theoretical	study.	RSC	Adv	2024;14:	32573–82.
2638		https://do	oi.org/10.1039/	/d4ra06727	d.			
2639	[139]	Ivanciuc	O. HyperChen	n Release 4	4.5 for Wi	ndows. J	Chem Inf C	Comput Sci
2640		1996;36:	612–4. https://	doi.org/10.	1021/ci95	0190a.		
2641	[140]	Allouche	A. Software	News and	Updates	Gabedit	— A Grap	hical User
2642		Interface	for Comput	ational Ch	emistry	Software	s. J Com	put Chem
2643		2012;32:	174-82. https:	://doi.org/10).1002/jcc	: .		
2644	[141]	MacRae	CF, Sovago I	, Cottrell S	J, Galek F	PTA, McC	Cabe P, Pic	lcock E, et
2645		al. Merc	ury 4.0: From	visualizatio	n to ana	lysis, des	sign and pr	ediction. J
2646		Appl		Crystallo	gr		2020;5	53:226–35.
2647		https://do	oi.org/10.1107/	/S16005767	71901409	2.		
2648	[142]	Moussa	JE,	Stewart	JJ	P.	MOPAC	2024.
2649		https://do	oi.org/10.5281/	zenodo.65 [°]	11958.			
2650	[143]	Neese F	Software up	odate: The	ORCA p	rogram	system—V	ersion 5.0.
2651		Wiley	Interdiscip	Rev	Comput	Mol	Sci	2022;12.
2652		https://do	oi.org/10.1002/	/wcms.1606	S.			

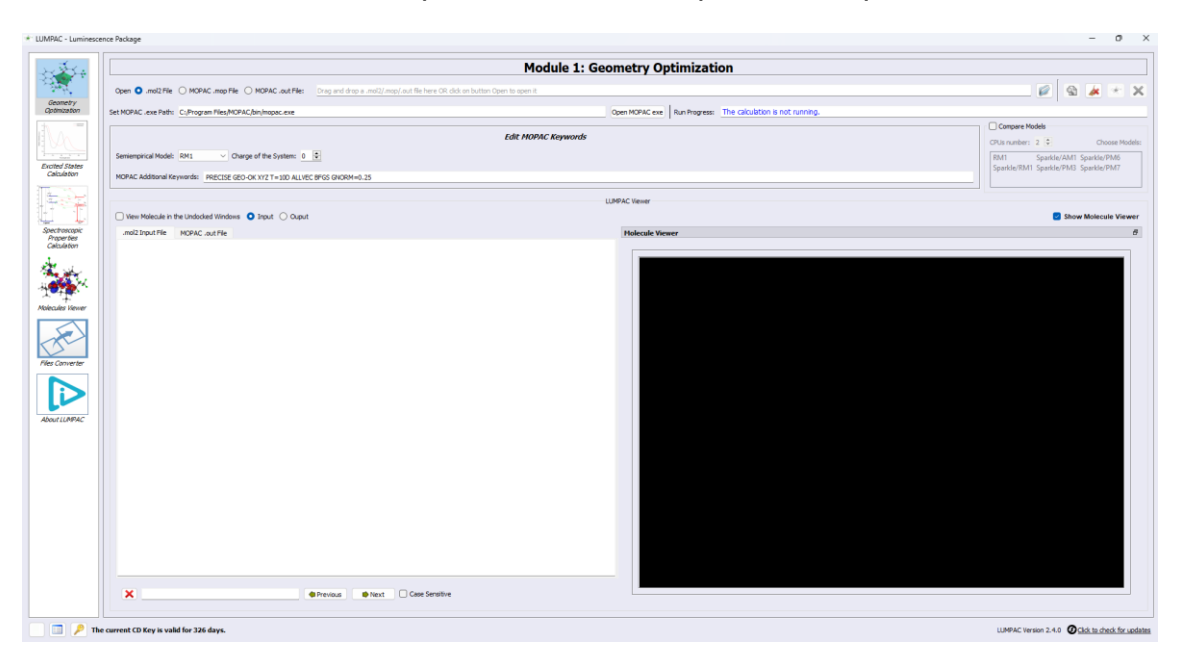
APÊNDICE

Manual do Pacote Computacional LUMPAC - versão 2.0

Módulo 1 – Otimização geométrica

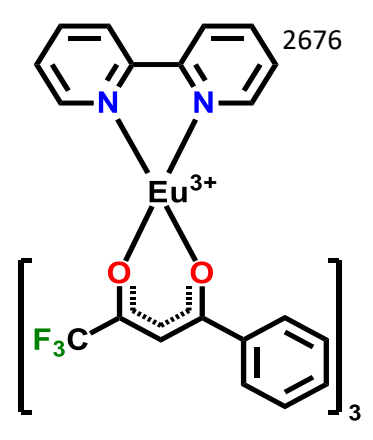
O processo de otimização de geometria é a primeira etapa para estudar a luminescência de um sistema contendo íon lantanídeo. A geometria é importante para a previsão teórica dos parâmetros de Judd-Ofelt, pois tais parâmetros dependem do ambiente químico em volta do íon lantanídeo (primeira esfera de coordenação). Para tanto, o LUMPAC apresenta um módulo designado a criar uma interface gráfica para o pacote semiempírico MOPAC (**Figura 42**). Este módulo facilita ainda mais a aplicação dos modelos semiempíricos desenvolvidos por nosso grupo de pesquisa [80–85] que estão implementados no programa MOPAC.

Figura 42. Módulo responsável pelo processo de otimização de geometria usando os modelos semiempíricos contidos no pacote computacional MOPAC.



Todos os recursos implementados no LUMPAC 2.0 serão demonstrados usando o sistema [Eu(btfa) $_3$ (bpy)] (**Figura 43**) como estudo de caso. O ligante btfa é a β -dicetona 4,4,4-trifluoro-1-fenil-1,3-butanediona, enquanto que bpy é a bipiridina [23].

Figura 43. Representação bidimensional do complexo [Eu(btfa)3(bpy)].



2678

2679

2680

2681

2682

2683

2684

2685

2686

2687

2688

2675

Um arquivo de extensão .mol2 contendo a geometria do sistema a ser estudado é necessário no cálculo da otimização de geometria. Através das conectividades entre os átomos presentes no arquivo .mol2, um arquivo de entrada para o MOPAC de extensão .mop é criado com a estrutura organizada de modo que o LUMPAC possa identificar o poliedro de coordenação facilmente. O arquivo .mol2 pode ser gerado usando programas gráficos tais como HyperChem [139], Gabedit [140], Avogadro [135], Mercury [141] dentre outros. Além disso, programas como o HyperChem, Gabedit e Avogadro viabilizam o desenho de estruturas químicas tridimensionalmente de maneira interativa. Um tutorial detalhado sobre como construir estruturas químicas usando o Gabedit e HyperChem pode seguinte link: ser acessado no http://www.sparkle.pro.br/tutorial/drawing-complexes.

26892690

2691

2692

2693

Procedimento para Otimização de Geometria usando o LUMPAC

1. Verifique se a opção "Open .mol2 File" está selecionada. Depois disso, clique no botão (Figura 44) para abrir o arquivo .mol2.

2694

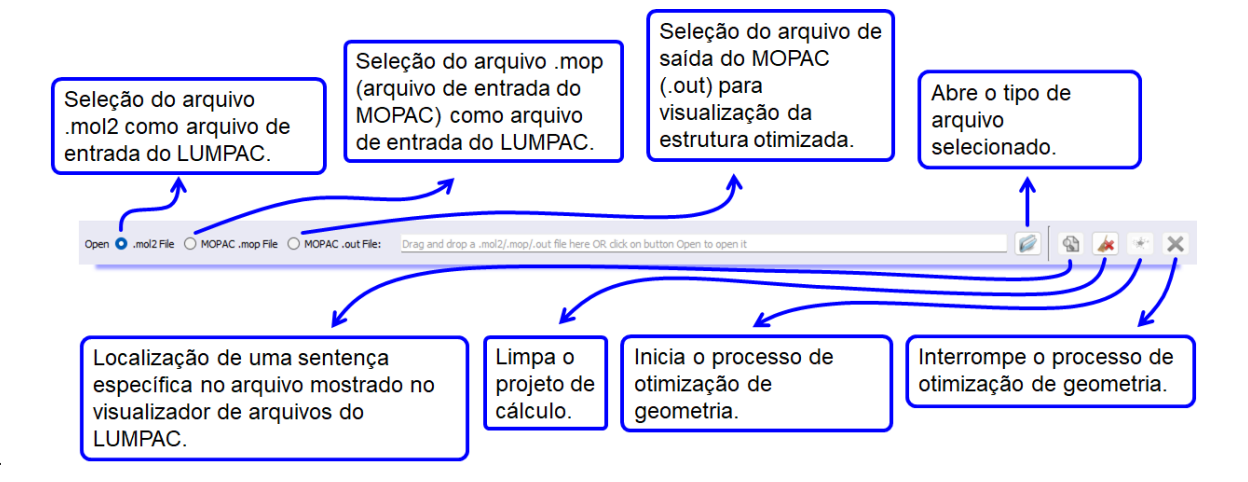
2695

2696

2697

A **Figura 44** mostra em detalhes as funcionalidades de cada elemento gráfico do módulo 1 do LUMPAC. Ênfase é dada aos diferentes tipos de arquivos que podem ser usados como arquivos de entrada para o LUMPAC.

Figura 44. Interface do LUMPAC mostrando os tipos de arquivos que podem ser usados como arquivos de entrada para a otimização de geometria.



O arquivo .mol2 ("*Tripos Mol2 file*") é um formato de arquivo que contém as posições atômicas em coordenadas cartesianas e informações sobre as ligações conectando os átomos. A **Figura 45** apresenta o arquivo .mol2 do sistema [Eu(btfa)₃(bpy)] criado usando o programa Mercury a partir da correspondente estrutura cristalográfica.

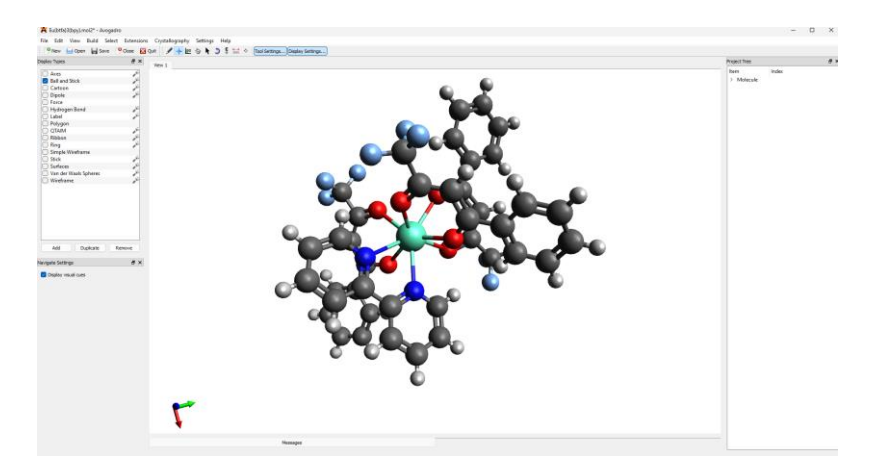
Figura 45. Arquivo .mol2 do sistema [Eu(btfa)₃(bpy)] criado pelo programa Mercury.

1		IPOS>I	MOLECULE						
2	****								
3	84 92	000							
4	SMALL	_							
5	GASTE	EIGER							
6									
7	@ <tr< td=""><td>IPOS>/</td><td>MOTA</td><td></td><td></td><td></td><td></td><td></td><td></td></tr<>	IPOS>/	MOTA						
8	1	Eu1	2.1491	13.6285	4.3851	Eu	1	RES11	0.0000
9	2	F1	-1.9750	11.9825	2.2022	F	1	RES11	0.0000
10	3	F2	-1.5794	10.3949	3.5416	F	1	RES11	0.0000
11	4	F3	-1.3002	10.1168	1.4498	F	1	RES11	0.0000
12	5	F4	3.9520	18.6738	2.8922	F	1	RES11	0.0000
13	6	F5	3.9550	17.4180	1.2010	F	1	RES11	0.0000
14	7	F6	5.1691	16.9410	2.8952	F	1	RES11	0.0000
15	8	F7	-1.8535	14.3589	7.2105	F	1	RES11	0.0000
16	9	F8	-0.9042	14.5110	9.1019	F	1	RES11	0.0000
17	10	F9	-0.9429	12.6569	8.1076	F	1	RES11	0.0000
18	11	01	2.9953	12.2862	2.6219	0.3	1	RES11	0.0000
•••									
89	82	H39	7.5656	14.2822	4.2780	Н	1	RES11	0.0000
90	83	C40	5.5662	13.9281	4.4866	C.3	1	RES11	0.0000
91	84								
92	@ <tr< td=""><td>IPOS>E</td><td>BOND</td><td></td><td></td><td></td><td></td><td></td><td></td></tr<>	IPOS>E	BOND						
93	1	1	11 1						

94 95	2 3	1 1	12 13	1
 182 183 184 185	90 91 92	81 81 83	82 83 84	1 0 1

Atenção: É muito importante assegurar que, caso a estrutura seja montada manualmente, todas as ligações envolvendo o íon lantanídeo e os átomos doadores apareçam explicitamente como mostradas na **Figura 46**.

Figura 46. Estrutura do complexo [Eu(btfa)₃(bpy)] montada com o programa Avogadro, explicitando todas as ligações entre íon lantanídeo e os átomos doadores dos ligantes.



 Clique no botão MOPAC externo. (Figura 47) para definir o diretório do programa

Figura 47. Interface do LUMPAC mostrando como integrar um executável do MOPAC ao LUMPAC.



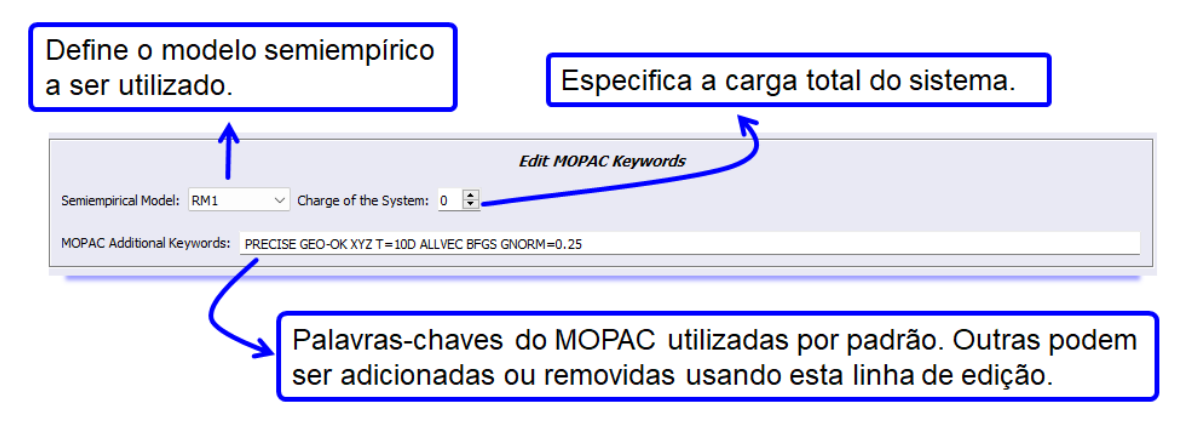
Desde o ano de 2022, o código fonte mais recente do MOPAC [142] está sendo distribuído gratuitamente por meio do seguinte repositório do GitHub: https://github.com/openmopac/mopac. A versão executável do MOPAC é

instalada sem a exigência de uma chave de ativação. O MOPAC conta com todos os modelos semiempíricos parametrizados para os íons lantanídeos, a saber: RM1, *Sparkle*/AM1, *Sparkle*/PM3, *Sparkle*/PM6, *Sparkle*/PM7 e *Sparkle*/RM1. A integração do MOPAC ao LUMPAC é bastante simples, sendo necessário apenas fornecer o diretório onde o MOPAC está localizado (**Figura 47**).

3. As palavras-chaves (**Figura 48**) devem ser adequadamente especificadas antes de realizar a otimização de geometria. Assim que o arquivo .mol2 for carregado, o botão (**Figura 44**) será ativado.

As palavras-chaves são editadas através da interface do LUMPAC (**Figura 48**). Os parâmetros mais importantes a serem definidos são: o tipo de método a ser usado e a carga total do sistema. A linha de edição completa as palavras-chaves automaticamente assim que digitadas. Dessa forma, a linha de edição assegura ao usurário entrar com as palavras-chaves com a sintaxe correta.

Figura 48. Editor de palavras-chaves do MOPAC no módulo de otimização de geometria.



 Selecione a aba Compare Models (Figura 49) para comparar a geometria do arquivo de entrada com a geometria calculada pelos métodos semiempíricos.

Através do *groupbox Compare Models* é possível estimar a diferença entre a geometria de entrada e as geometrias calculadas com diferentes modelos semiempíricos por meio do desvio quadrático médio das posições atômicas (RMSD, do inglês *Root Mean Square Deviation of atomic positions*). Através do

RMSD, as estruturas calculadas são sobrepostas à estrutura inicial e o erro de distância e ângulos de ligação são contabilizados. Os valores de erro são armazenados em um arquivo de texto chamado *rmsd.txt* (**Figura 50**), contido em uma pasta chamada *compare_geoms* juntamente com outros arquivos provenientes dos cálculos.

Figura 49. Recurso Compare Models, mostrando a seleção dos modelos a serem comparados e da quantidade de núcleos lógicos para a execução dos cálculos em paralelo.

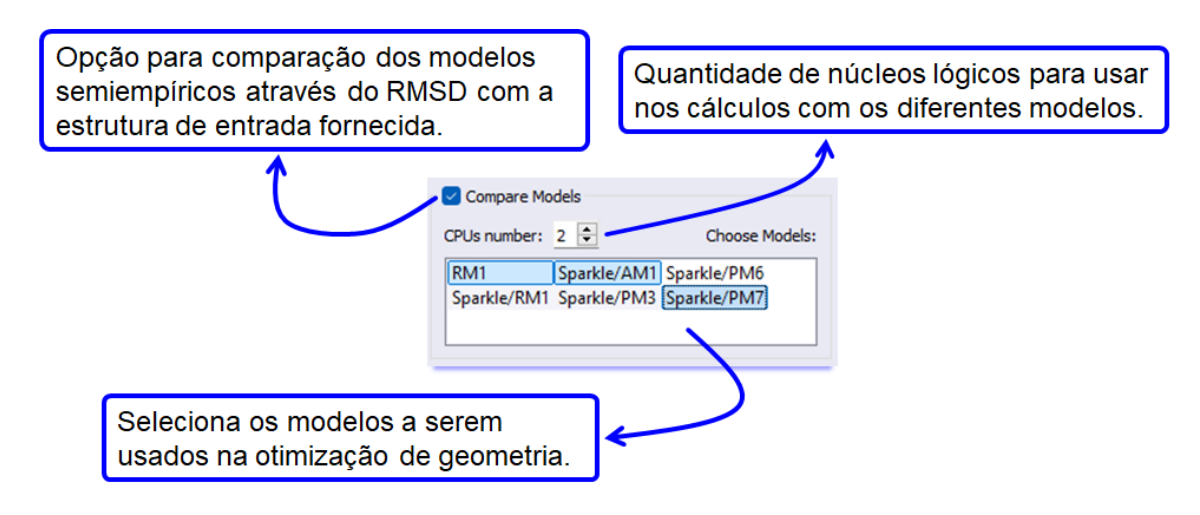


Figura 50. Arquivo rmsd.txt com os erros estimados entre a estrutura de entrada e as estruturas calculadas usando os modelos semiempíricos escolhidos.

 23		Values of R	MSD(angs.)
24		normal	kabsch
25	Eu(btfa)3(bpy)_RM1	1.4880	1.4630
26	Eu(btfa)3(bpy)_Sparkle-RM1	1.4747	1.4558
27	Eu(btfa)3(bpy)_Sparkle-AM1	1.3336	1.3048
28	Eu(btfa)3(bpy)_Sparkle-PM3	1.2959	1.2683
29	Eu(btfa)3(bpy)_Sparkle-PM6	1.3218	1.2993
30	Eu(btfa)3(bpy)_Sparkle-PM7	1.1727	1.1599

5. Clique no botão para executar o cálculo de otimização de geometria usando o programa MOPAC.

Atenção: o arquivo de saída gerado pelo MOPAC terá extensão .out e mesmo nome do arquivo de entrada. Este arquivo de saída será salvo no mesmo diretório do arquivo de entrada. Assim que o arquivo .out é modificado durante a

execução do MOPAC em segundo plano, o conteúdo do arquivo é atualizado no visualizador de arquivos do LUMPAC, fornecendo informações sobre o processo de otimização de geometria.

6. Quando o cálculo é finalizado, o usuário pode optar em visualizar a estrutura de partida ou a estrutura otimizada (**Figura 51**).

A **Figura 51** mostra os visualizadores de arquivos e de moléculas do LUMPAC no módulo de otimização de geometria. É possível destacar o visualizador de moléculas caso o usuário pretenda visualizar a estrutura molecular detalhadamente, modificar parâmetros visuais e salvar a imagem como arquivo .png (**Figura 52**). Para retornar o visualizador para a posição de origem, basta apenas um duplo clique sobre a janela.

Figura 51. Visualizadores de arquivos e de molécula do LUMPAC no módulo de otimização de geometria.

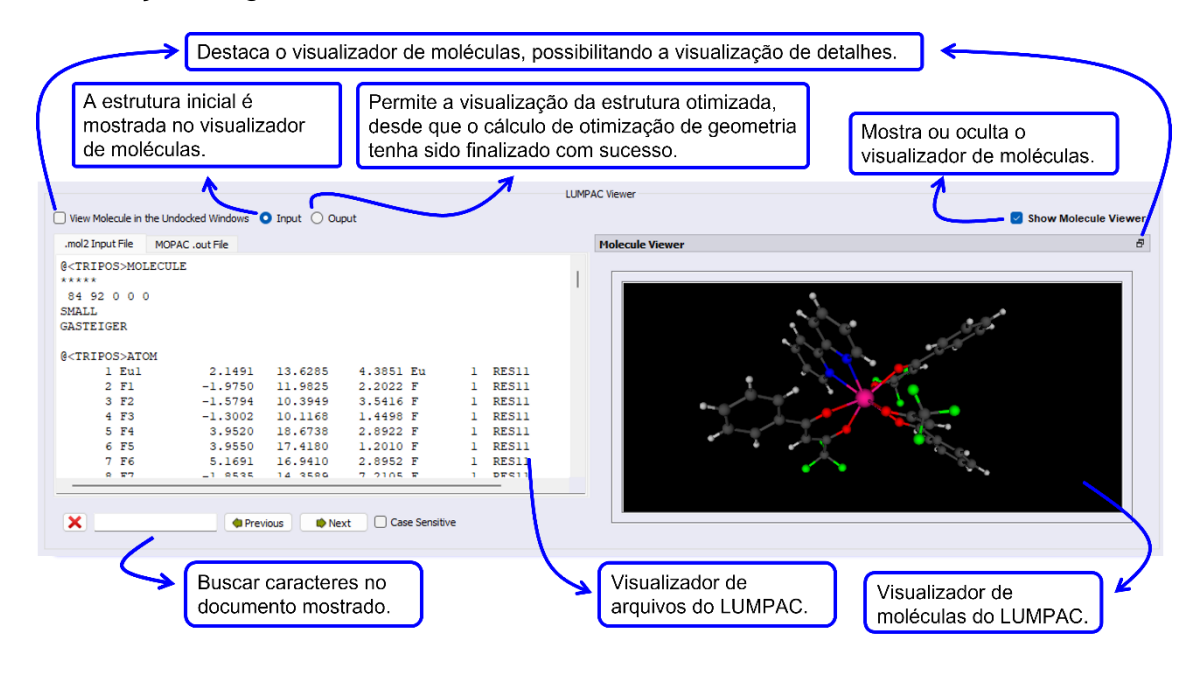
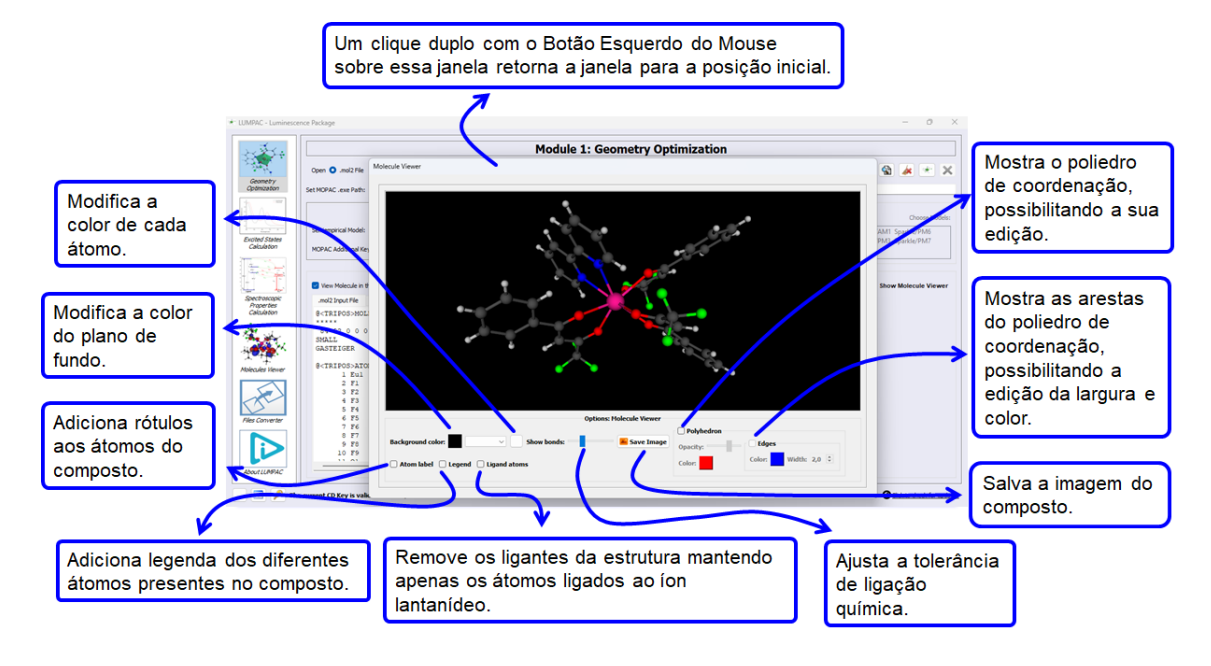


Figura 52. Visualização do sistema [Eu(btfa)₃(bpy)] e possibilidades de edição da imagem.



A configuração da visualização pode ser alterada através do cursor do *mouse*. A **Tabela 24** mostra os comandos relacionados com as funções de translação, rotação e *zoom*.

Tabela 24. Comandos relacionados com as funções de translação, rotação e zoom da estrutura visualizada (visualizador de moléculas).

Comando	Função
Pressionar o botão esquerdo do	A visualização é movida livremente.
mouse e mover o mouse.	
Pressionar os botões SHIFT e	A operação de translação é
esquerdo do <i>mouse</i> e mover o	executada.
mouse.	
Pressionar o botão direito do mouse	Ao mover o mouse para frente, o zoom
e mover o <i>mouse</i> .	é aumentado; ao mover para trás, o
	zoom é reduzido.
Girar a roda de rolagem do mouse.	O zoom é alterado.
Pressionar os botões CTRL e	A visualização é girada.
esquerdo do <i>mouse</i> e mover o	
mouse.	

O LUMPAC também executa a otimização de geometria utilizando um arquivo .mop (arquivo de entrada do MOPAC) como arquivo de entrada. Com essa opção selecionada, não é permitido editar as palavras-chaves do MOPAC

usando a interface do LUMPAC. Para alterar as palavras-chaves do arquivo .mop, é necessário editá-lo usando um editor de texto.

Módulo 2 - Cálculo dos estados excitados

O LUMPAC também possui um modulo responsável pelo cálculo dos estados excitados singleto e tripleto dos ligantes do sistema (**Figura 53**), com o auxílio do programa ORCA [143]. Deste modo, o módulo 2 do LUMPAC atua como uma interface gráfica para o ORCA. As energias dos estados excitados são importantes para calcular as taxas de transferência e retrotransferência de energia entre os ligantes, que atuam como uma antena, e o íon lantanídeo. O íon lantanídeo é convenientemente substituído por uma carga pontual 3e+ para viabilizar o cálculo dos estados excitados dos ligantes usando o modelo semiempírico INDO/S (do inglês *Intermediate Neglect of Differential Overlap*) [27,28] implementado no ORCA.

Figura 53. Módulo responsável pelo cálculo da energia dos estados excitados dos ligantes do sistema usando o programa ORCA.



O ORCA consiste de um pacote computacional moderno para o cálculo de estrutura eletrônica, o qual é desenvolvido pelo prof. Frank Neese (*Universität Born*). O projeto de desenvolvimento do ORCA conta com a contribuição de

muitos grupos de pesquisas, sendo disponibilizado gratuitamente para acadêmicos. Para efetuar o download do instalador do programa, é necessário criar cadastro apenas um no seguinte site: https://orcaforum.kofo.mpg.de/app.php/portal e nenhuma licença é necessária. As novas versões do ORCA ocupam cada vez mais espaço na unidade de armazenamento em razão dos novos recursos adicionados. Como exemplo, a versão 5.0.4 para Windows ocupa cerca de 24 GB. A versão mais atual (6.0) conta com um instalador que ajuda a selecionar os pacotes desejados para serem instalados no computador. Independentemente da versão, todos os arquivos devem ser alocados em uma única pasta.

O LUMPAC executa o ORCA usando linhas de comando. Para evitar qualquer problema relacionado à interação do LUMPAC com o ORCA, é altamente recomendado adicionar os arquivos executáveis do ORCA em um diretório com o nome curto, tal como C:\ORCA, por exemplo.

Uma grande variedade de cálculo pode ser realizada com o programa ORCA, desde a otimização de geometria a cálculo de parâmetros espectrais, usando diferentes níveis de teoria. Apesar de toda essa funcionalidade, o LUMPAC utiliza o ORCA apenas para calcular os estados excitados dos ligantes com o método baseado em interações de configurações simples (CIS) aplicando o modelo semiempírico INDO/S. O programa ORCA não é domínio público como o MOPAC. Consequentemente, o LUMPAC não o pode distribuir; diante disso, é requerido a obtenção do ORCA conforme procedimento descrito anteriormente.

28542855

2856

2857

2833

2834

2835

2836

2837

2838

2839

2840

2841

2842

2843

2844

2845

2846

2847

2848

2849

2850

2851

2852

2853

Procedimento para o Cálculo dos Estados Excitados usando o LUMPAC

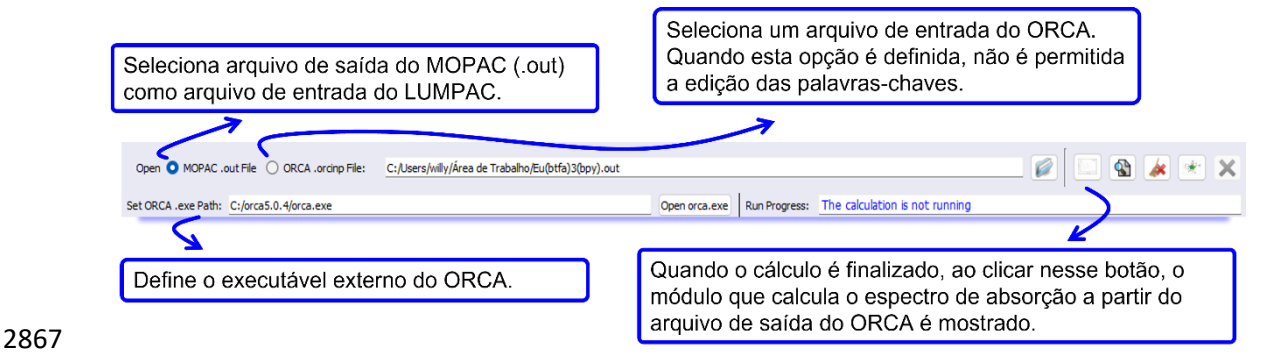
1. Defina o diretório do programa ORCA externo (**Figura 54**) usando o procedimento já mostrado para o módulo de otimização de geometria.

285828592860

2. Assim que definido o diretório onde o programa ORCA está localizado, clique no botão (Figura 54) para abrir o arquivo de saída do MOPAC (.out) criado pelo processo de otimização de geometria descrito anteriormente.

2863

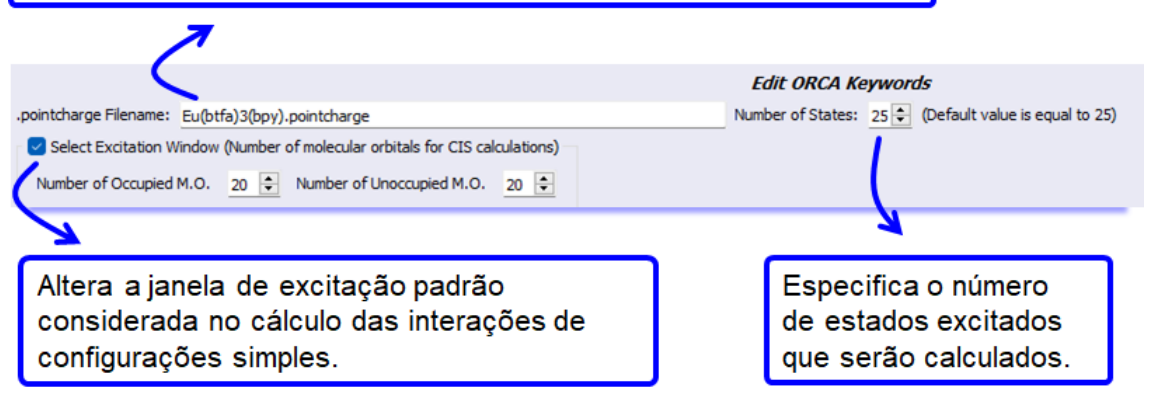
Figura 54. Interface do LUMPAC mostrando como integrar o programa ORCA ao LUMPAC e os diferentes tipos de arquivos que podem ser usados como arquivos de entrada para a execução do cálculo dos estados excitados.



3. Os parâmetros para o cálculo com o ORCA (Figura 55) devem ser especificados antes de executar o cálculo dos estados excitados. Defina o número de estados para serem calculados. Opcionalmente, o intervalo de orbitais que serão usados na interação de configurações simples (CIS) pode ser alterado. O botão (Figura 54) será ativado assim que o arquivo de saída do MOPAC for carregado.

Figura 55. Editor dos parâmetros do cálculo dos estados excitados usando o ORCA.

Fornece informações sobre o nome do arquivo em que as cargas pontuais que substituirão o Ln³+ serão armazenadas.



Antes de o LUMPAC executar o ORCA, o arquivo de entrada para o ORCA é criado com o mesmo nome do arquivo de saída do MOPAC considerado, entretanto, com a extensão .orcinp. O arquivo de entrada do ORCA criado para o composto o [Eu(btfa)₃(bpy)] pode ser visualizado na **Figura 56**. Já o arquivo de saída que será criado pelo ORCA terá a extensão .orcout.

Figura 56. Arquivo .orcinp criado pelo LUMPAC a partir do arquivo de saída do MOPAC do sistema [Eu(btfa)₃(bpy)]. Este arquivo será usado como arquivo de entrada para o programa ORCA.

```
!RHF ZINDO/S TightSCF DIIS PrintBasis
2
     %method
3
            frozencore fc ewin
4
     End
5
     %cis
6
            ewin -0.415580,0.073982
7
            nroots 25
8
            maxdim 100
9
            Triplets true
10
     end
11
     %output
12
            print[p_mos] 1
13
            print[p_basis] 2
14
            print[p_orben] 2
15
     end
     %pointcharges "[Eu(btfa)3(bpy)]. pointcharge"
16
17
     *xyz -3 1
18
     0
                2.8953
                          12.4062
                                     2.8338
19
     0
                0.6162
                          12.0218
                                     3.9834
20
     0
                0.7133
                          15.0113
                                     3.6223
21
     0
                                     3.4113
                3.3223
                          15.2461
     Н
                          13.7665
98
                7.8108
                                     4.7531
     С
                          13.5756
99
                5.6575
                                     4.8680
     Н
10
                5.4579
                          14.4262
                                     4.1831
0
10
1
```

2888

2889

2890 2891

2892

2893

2894

2895

2896

2884 2885

2886

O número de estados excitados (*nroots*) pode ser visto na sétima linha do arquivo exibido na **Figura 56**. A oitava linha mostra o tamanho da matriz CI (*Configuration Interaction*) que será usada no cálculo CIS. Como pode ser visualizado na **Figura 56**, a décima sexta linha indica o nome do arquivo .pointcharge, no qual as cargas pontuais que substituirão o lantanídeo serão armazenadas. Consequentemente, o arquivo .orcinp conterá somente as coordenadas atômicas da parte orgânica do sistema. Como o complexo [Eu(btfa)₃(bpy)] apresenta apenas um íon Eu³⁺, somente uma carga pontual será usada (**Figura 57**).

Figura 57. Arquivo .pointcharge contendo a carga pontual +3e que substituirá o íon lantanídeo.

1	1				
2	3.0	2.2392	13.6030	4.7796	

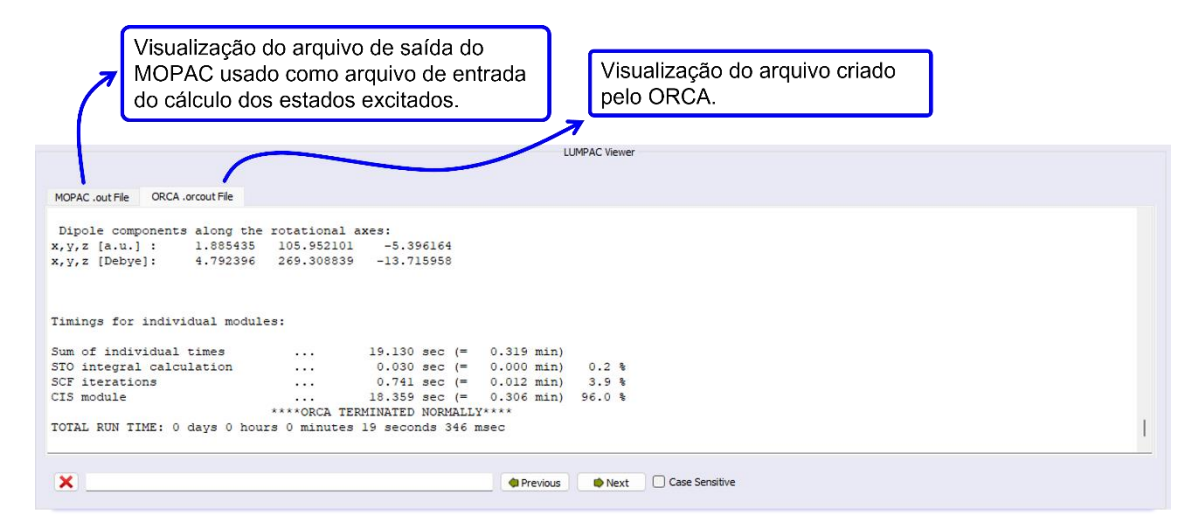
Aviso: O arquivo .pointcharge fornecerá as coordenadas cartesianas do íon lantanídeo quando o arquivo .orcout for requerido como entrada para o LUMPAC. Por causa disso, o arquivo .pointcharge tem que estar no mesmo diretório e ter o mesmo nome do correspondente arquivo .orcout.

A décima sétima linha (**Figura 56**) apresenta a seguinte sequência de dados: tipo de coordenadas, carga do sistema (considerando somente os ligantes) e a multiplicidade do sistema. Uma multiplicidade igual a 1 (singleto) indica que todos os elétrons estão emparelhados. Por causa disso, a primeira linha mostra a palavra-chave RHF (Restricted Hartree-Fock), indicando que um cálculo de camada fechada será executado. Se a carga do sistema estiver errada, o ORCA notificará um erro e o cálculo será interrompido. Para minimizar o risco de erros, o LUMPAC cria um arquivo de entrada para o ORCA usando a mesma carga especificada no processo de otimização de geometria. Em decorrência disso, o usuário deve atentar-se à carga especificado para o sistema desde o processo de otimização de geometria no módulo 1.

4. O arquivo de saída do ORCA terá o mesmo nome do arquivo .orcinp, mas com uma extensão diferente (.orcout).

A **Figura 58** mostra o arquivo de saída do ORCA no visualizador de arquivos do LUMPAC. O arquivo .orcout também pode ser visualizado em qualquer outro editor de arquivo de texto.

Figura 58. Visualizador de arquivos do LUMPAC mostrando o arquivo de saída criado pelo ORCA.



Se o usuário possuir um arquivo de entrada do ORCA (.orcinp), é possível usar este arquivo para realizar um cálculo dos estados excitados usando o LUMPAC. Como o LUMPAC não permite editar as palavras-chaves do arquivo .orcinp, caso necessário, o usuário deve recorrer a um editor de arquivo de texto.

Para definir o intervalo de orbitais moleculares que será considerado no cálculo CIS, o usuário pode modificar a opção "Select Excitation Window" (

Figura 55. Editor dos parâmetros do cálculo dos estados excitados usando o ORCA.

). Por padrão, o LUMPAC considera uma janela de excitação que inclui os 20 orbitais ocupados de energia mais alta e os próximos 20 orbitais desocupados de menor energia. Esta janela de excitação é rotulada como 20×20.

A **Figura 59** mostra a seção do arquivo de saída do ORCA contendo as energias dos orbitais moleculares calculadas para o sistema [Eu(btfa)₃(bpy)]. A ocupação dos orbitais moleculares pode ser identificada examinando a coluna OCC na **Figura 59**. Um orbital ocupado apresenta OCC igual a 2.0000. Por outro lado, um orbital desocupado é definido quando OCC é igual a 0.0000. Assim, o orbital 148 corresponde ao orbital ocupado de maior energia (HOMO); enquanto o orbital 149 corresponde ao orbital desocupado de menor energia (LUMO).

Figura 59. Seção do arquivo de saída .orcout contendo as energias dos orbitais moleculares, possibilitando a seleção do intervalo de orbitais para ser usado no cálculo CIS.

ORBITAL EN	ERGIES			
NO 0 1 2	OCC 2.0000 2.0000 2.0000	E(Eh) -1.880755 -1.879220 -1.878338	E(eV) -51.1780 -51.1362 -51.1122	
129 130 131	2.0000 2.0000 2.0000	-0.415580 -0.415056 -0.406435	-11.3085 -11.2942 -11.0597	
147 148 149 150	2.0000 2.0000 0.0000 0.0000	-0.322395 -0.315355 -0.045314 -0.028167	-8.7728 -8.5812 -1.2330 -0.7665	
168 169 170	0.0000 0.0000 0.0000	0.073982 0.079583 0.086871	2.0131 2.1656 2.3639	

Antes de um cálculo CIS ser executado, as energias dos orbitais são calculadas por um cálculo "single point" SCF (Self-Consistent Field). A Figura 59 mostra a janela de orbitais usada no cálculo CIS para o estudo de caso: os orbitais destacados em negrito, orbital 129 (-0.415580 Eh) e orbital 168 (0.073982 Eh) correspondem, respectivamente, ao limite inferior e superior da janela de excitação usada. Analisando a sexta linha na Figura 56, é então possível notar como o intervalo de orbitais foi especificado para definir uma janela de excitação 20×20.

Os estados excitados são calculados a partir das excitações individuais envolvendo os orbitais incluídos na janela de excitação definida (**Figura 60**). Em outra seção do arquivo de saída do ORCA (não mostrada aqui), os coeficientes da contribuição dos orbitais atômicos para formar um dado orbital molecular são apresentados. O parâmetro R_L é calculado usando estes coeficientes assim

como as distâncias entre os átomos envolvidos na composição do orbital molecular e o íon lantanídeo. O R_{\perp} corresponde à distância entre o centro doador de energia (que está localizado nos ligantes) e o íon lantanídeo, que atua como o aceitador da densidade de energia.

Um cálculo será finalizado com sucesso somente quando a frase ****ORCA TERMINATED NORMALLY**** constar como mostrada na Figura 60.

29712972

2973

2974

2965

2966

2967

2968

2969

2970

Figura 60. Seção do arquivo .orcout mostrando as energias calculadas dos estados singleto e tripleto, assim como as excitações individuais que formam os respectivos estados excitados.

```
CIS-EXCITED STATES (SINGLETS)
the weight of the individual excitations are printed if larger than 1.0e-02
STATE 1: E= 0.141600 au
                                  3.853 \text{ eV} 31077.6 \text{ cm}^{**}-1 < S^{**}2 > = 0.000000
  131a -> 169a : 0.023605 (c= 0.15363809)
 138a -> 152a : 0.826324 (c= -0.90902342)
138a -> 161a : 0.028342 (c= 0.16835057)
 138a -> 169a : 0.026394 (c= -0.16246218)
 143a -> 152a : 0.018771 (c= 0.13700802)
144a -> 152a : 0.015974 (c= 0.12638998)
148a -> 152a : 0.016077 (c= -0.12679346)
STATE 25: E= 0.196252 au 5.340 eV 43072.3 cm**-1 <S**2> = 0.000000
 130a -> 151a : 0.013064 (c= -0.11429804)
 139a -> 151a : 0.013577 (c= 0.11652131)
 140a -> 151a : 0.107311 (c= -0.32758363)
143a -> 151a : 0.083823 (c= 0.28952175)
 148a -> 150a : 0.010827 (c= -0.10405417)
 148a -> 151a : 0.724462 (c= 0.85115308)
                Entering triplet calculation
            ********
CIS EXCITED STATES (TRIPLETS)
the weight of the individual excitations are printed if larger than 1.0e-02
STATE 1: E= 0.091084 au 2.479 eV 19990.6 cm**-1 <S**2> = 2.000000
```

```
143a -> 152a : 0.194349 (c= -0.44085043)
 143a -> 161a : 0.090433 (c= 0.30072117)
 148a -> 152a : 0.590625 (c= -0.76852126)
 148a -> 161a : 0.064389 (c= 0.25375053)
 148a -> 169a : 0.031329 (c= 0.17699914)
STATE 25: E= 0.154690 au
                               4.209 \text{ eV} 33950.4 \text{ cm}^{**}-1 < S^{**}2 > = 2.000000
 143a -> 152a : 0.147476 (c= -0.38402645)
 143a -> 161a :
                 0.089325 (c= -0.29887306)
 143a -> 169a : 0.199749 (c= -0.44693234)
 148a -> 152a : 0.039233 (c= -0.19807217)
 148a -> 161a : 0.129474 (c= -0.35982488)
 148a -> 169a : 0.361649 (c= -0.60137222)
Timings for individual
modules:
                                       18.657 sec (= 0.311 min)
Sum of individual times
                                       0.032 \, \text{sec} \, (= \, 0.001 \, \text{min})
                                                                      0.2 %
                               ...
STO integral calculation
                                                                      3.4 %
                                       0.639 \, \text{sec} \, (= \, 0.011 \, \text{min})
SCF iterations
                                       17.986 sec (= 0.300 min)
                                                                      96.4 %
CIS module
                     ****ORCA TERMINATED NORMALLY****
TOTAL RUN TIME: 0 days 0 hours 0 minutes 18 seconds 862 msec
```

2976

2977

2978

Módulo 3 - Cálculo das propriedades espectroscópicas

A **Figura 61** mostra o módulo responsável pelo cálculo das propriedades espectroscópicas, tais como parâmetros de intensidade experimentais e teóricos, taxas de transferência de energia e rendimento quântico de emissão.



Figura 61. Módulo responsável pelo cálculo das propriedades espectroscópicas.

quatro submódulos:

O objetivo principal do protocolo teórico implementado no LUMPAC é voltado ao cálculo do rendimento quântico de emissão teórico. Por essa razão, o módulo destinado ao cálculo das propriedades espectroscópicas foi estruturado em

- i) No primeiro deles, os parâmetros de intensidade experimentais (Ω_{λ}) são determinados através do espectro de emissão ou excitação experimental;
 - ii) No segundo submódulo, os parâmetros de intensidade teóricos são calculados. Estas quantidades são determinadas através do procedimento de ajuste direto dos fatores de carga e das polarizabilidades (modelo prévio de ajuste) de modo a reproduzir os parâmetros de intensidade experimentais. Como modelo padrão, o LUMPAC permite o ajuste dos parâmetros de intensidade por meio do ajuste QDC [86], através do qual os fatores de carga e as polarizabilidades são estimados com o auxílio dos parâmetros ajustáveis Q, D e C e da carga atômica e superdeslocalizabilidade eletrofílica de cada átomo do poliedro de coordenação.
 - iii) No terceiro submódulo, os parâmetros de intensidade juntamente com as energias dos estados excitados singleto e tripleto são usados para calcular as taxas de transferência de energia ligante-íon lantanídeo.

Se o tempo de vida do nível emissor ⁵D₀ do complexo de Eu³⁺ for fornecido, o rendimento quântico de emissão será quantificado teoricamente.

iv) Por fim, no quarto módulo, o espectro de absorção é obtido a partir do arquivo de saída dos programas ORCA e GAUSSIAN.

Nas próximas seções, o cálculo de as propriedades mencionadas será detalhado usando o programa LUMPAC.

3011

3012

3013

3014

3015

3016

3007

3008

3009

3010

Cálculo dos Parâmetros de Intensidade Experimental

Aviso: Para aplicar este módulo no cálculo dos parâmetros de intensidade experimentais, o arquivo obtido através do espectro de emissão ou excitação medido experimentalmente é obrigatoriamente requisitado. Este arquivo deve ser fornecido pelo usuário.

3017 3018

3019

Os parâmetros de intensidade experimentais, para o íon Eu³⁺, são determinados através da seguinte equação:

$$\Omega_{\lambda} = \frac{3\hbar c^3 A_{0\lambda}}{4e^2 \sigma_{\lambda}^3 \chi \langle {}^7 F_J \| U^{(\lambda)} \|^5 D_0 \rangle^2}$$
(23)

em que o fator $\chi = n(n+2)^2/9$ é conhecido como termo da correção do campo 3020 local de Lorentz. O índice de refração n varia com o meio em que o sistema está, 3021 onde para o estado sólido é de 1,5. As quantidades $\langle {}^{7}F_{2}||U^{(2)}||{}^{5}D_{0}\rangle {}^{2}=0,0032$ e 3022 $\langle {}^{7}F_{4}||U^{(4)}||{}^{5}D_{0}\rangle^{2} = 0,0023$ correspondem as elements reduzidos de matriz do 3023 operado unitário ao quadrado. O termo A_{01} (taxa de emissão radiativa 3024 correspondente à transição ⁵D₀→⁷F₁) é calculado pela **(24**, enquanto as 3025 quantidades A_{02} (transição ${}^5D_0 \rightarrow {}^7F_2$) e A_{04} (transição ${}^5D_0 \rightarrow {}^7F_4$) são dadas pela 3026 (25. 3027

$$A_{01} = 0.31 \times 10^{-11} (n)^3 (\nu_{01})^3$$
 (24)

$$A_{0\lambda} = \frac{v_{01}}{v_{0J}} \cdot \frac{S_{0\lambda}}{S_{01}} \cdot (A_{01})$$
 (25)

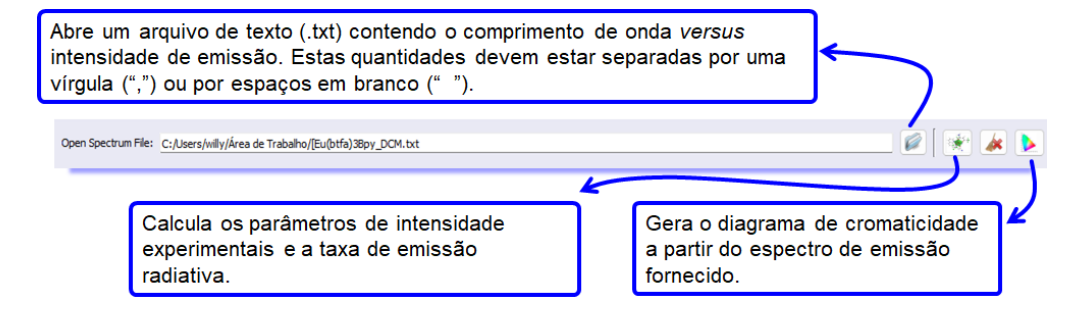
Os parâmetros S_{01} e $S_{0\lambda}$ são as áreas sob os picos das transições ${}^5D_0 \rightarrow {}^7F_1$ 3029 e ${}^5D_0 \rightarrow {}^7F_{\lambda}$, respectivamente. As quantidades v_{01} e $v_{0\lambda}$ são as energias do baricentro das transições ${}^5D_0 \rightarrow {}^7F_1$ e ${}^5D_0 \rightarrow {}^7F_\lambda$, respectivamente. Para o íon Eu³⁺, a transição ${}^5D_0 \rightarrow {}^7F_1$ é assumida como a transição de referência, pois é governada pelo mecanismo do dipolo magnético. Consequentemente, esta transição praticamente independe das características do ambiente químico, o qual varia de complexo para complexo.

Como já mencionado, os parâmetros de intensidade experimentais para complexos de Eu³+ são calculados pelo LUMPAC a partir do espectro experimental de emissão ou excitação. Usando o espectro de emissão, é necessário definir as áreas do espectro relacionadas às transições $^5D_0 \rightarrow ^7F_1$, $^5D_0 \rightarrow ^7F_2$ e $^5D_0 \rightarrow ^7F_4$ primordialmente. Já para o espectro de excitação, devem ser selecionadas as áreas das transições $^7F_0 \rightarrow [^5D_4, ^5L_6, ^5D_2 \text{ e } ^5D_1]$, em que a área da transição $^7F_0 \rightarrow ^5D_1$ é constante e serve de calibração para a determinação dos parâmetros Ω_2 ($^7F_0 \rightarrow ^5D_2$), Ω_4 ($^7F_0 \rightarrow ^5D_4$) e Ω_6 ($^7F_0 \rightarrow ^5L_6$). O LUMPAC possibilita a seleção dessas áreas de maneira simples e interativa [78].

Procedimento para o Cálculo dos Parâmetros de Intensidade e da Taxa de Emissão Radiativa com LUMPAC

1. Clique no botão (Figura 62) para abrir o arquivo .txt do espectro de emissão ou excitação contendo os comprimentos de onda versus as intensidades. Estas quantidades devem ser separadas por uma vírgula (",") ou por um espaço em branco ("") no arquivo de texto.

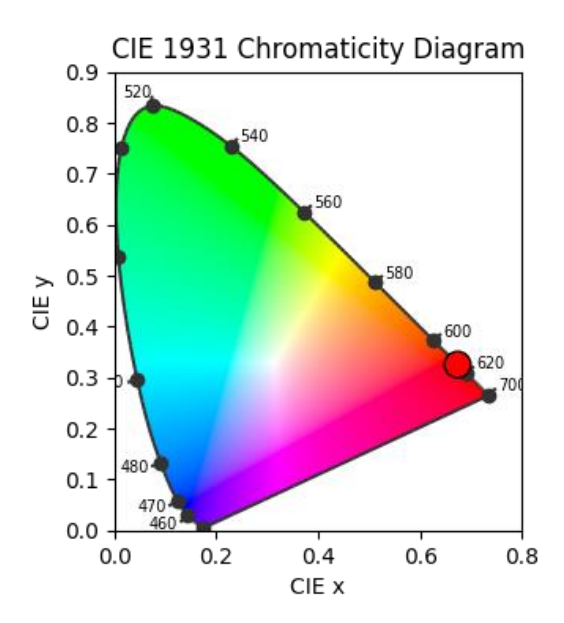
Figura 62. Interface do LUMPAC para inserção do espectro de emissão ou excitação, além de gerar o diagrama de cromaticidade



2. A partir do espectro de emissão selecionado, um diagrama de cromaticidade pode ser gerado clicando no botão (Figura 62). O diagrama de cromaticidade do

complexo [Eu(btfa)₃(bpy)] está disposto na **Figura 63**, em que é possível observar a coloração da emissão no espectro visível.

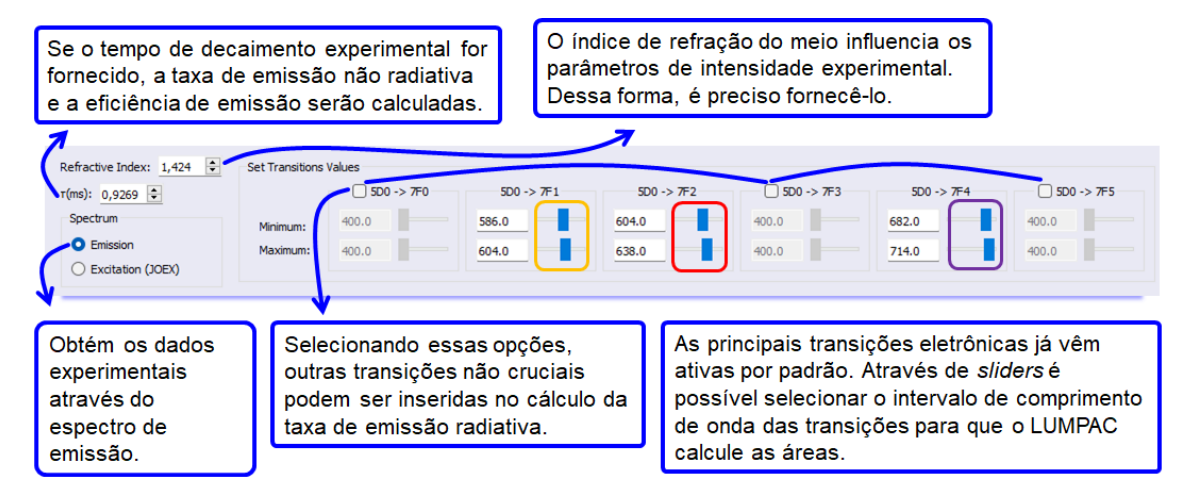
Figura 63. Diagrama de cromaticidade do complexo [Eu(btfa)₃(bpy)] em diclorometano.



3. Para um espectro de emissão, as áreas relacionadas às transições ${}^5D_0 \rightarrow {}^7F_1$, ${}^5D_0 \rightarrow {}^7F_2$ e ${}^5D_0 \rightarrow {}^7F_4$ e opcionalmente às transições ${}^5D_0 \rightarrow {}^7F_0$, ${}^5D_0 \rightarrow {}^7F_3$ e ${}^5D_0 \rightarrow {}^7F_3$ devem ser adequadamente escolhidas usando a interface do LUMPAC (**Figura 64**).

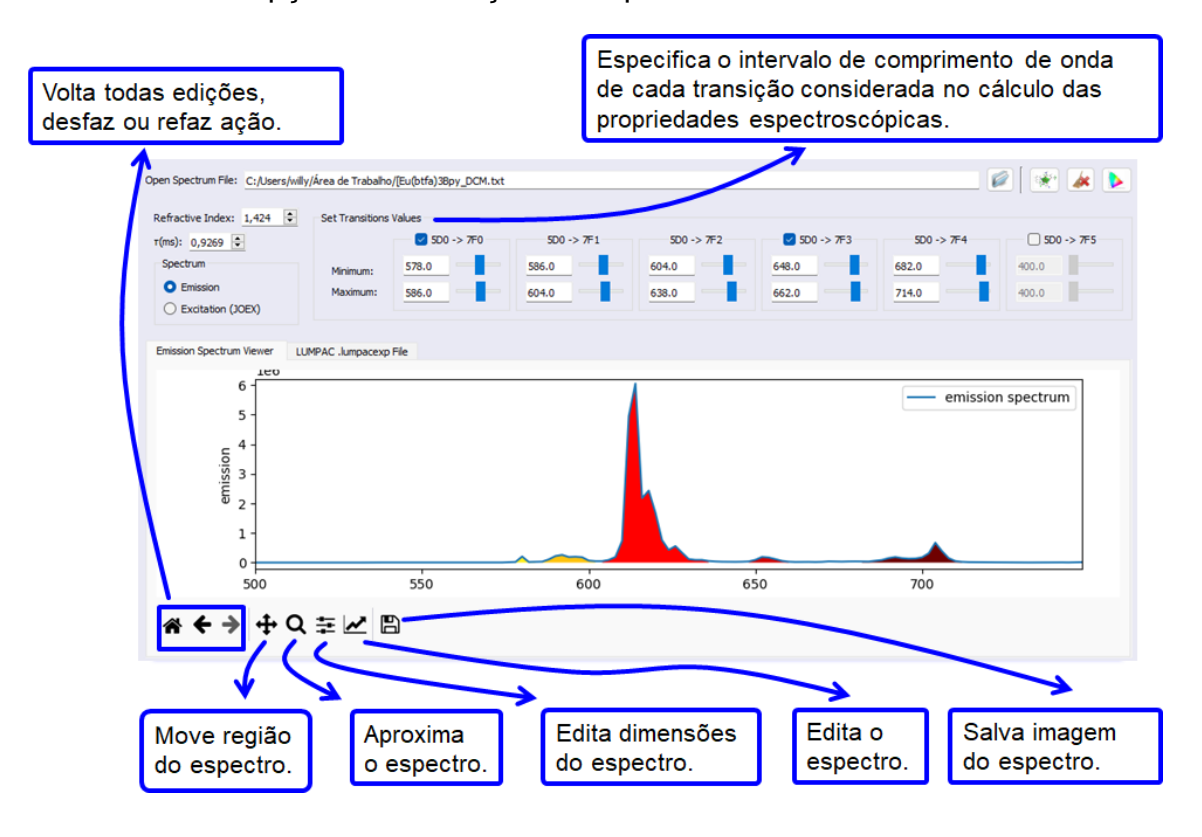
É importante especificar o índice de refração do meio em que o espectro foi obtido para correção de desvios da luz devido ao meio. O espectro de emissão do complexo [Eu(btfa) $_3$ (bpy)] foi obtido em diclorometano (DCM), sendo o índice de refração de 1,424. Outro dado importante é o tempo de decaimento observável (τ). De posse de τ e da taxa de emissão radiativa (A_{rad} , obtida através da seleção das bandas no espectro), a taxa de emissão não radiativa (A_{nrad}) do complexo é então determinada.

Figura 64. Interface do LUMPAC ilustrando como selecionar as áreas sob as principais transições para sistemas à base do íon európio.



> 4. A seleção das áreas do espectro de emissão pode ser feita adicionando numericamente os comprimentos de onda inicial e final da banda ou através dos sliders. A Figura 65 mostra todas as possíveis bandas selecionadas.

Figura 65. Visualizador do espectro de emissão com todas as áreas possíveis selecionadas e opções visualização do espectro



5. Para usar um espectro de excitação no cálculo das propriedadeespectroscópicas, a opção Excitation (JOEX) deve ser selecionada (**Figura 66**). A interface funciona de maneira semelhante à da emissão. Entretanto, note que os índices de refração devem ser adicionados individualmente para cada banda.

Figura 66. Interface para seleção das bandas do espectro de excitação.



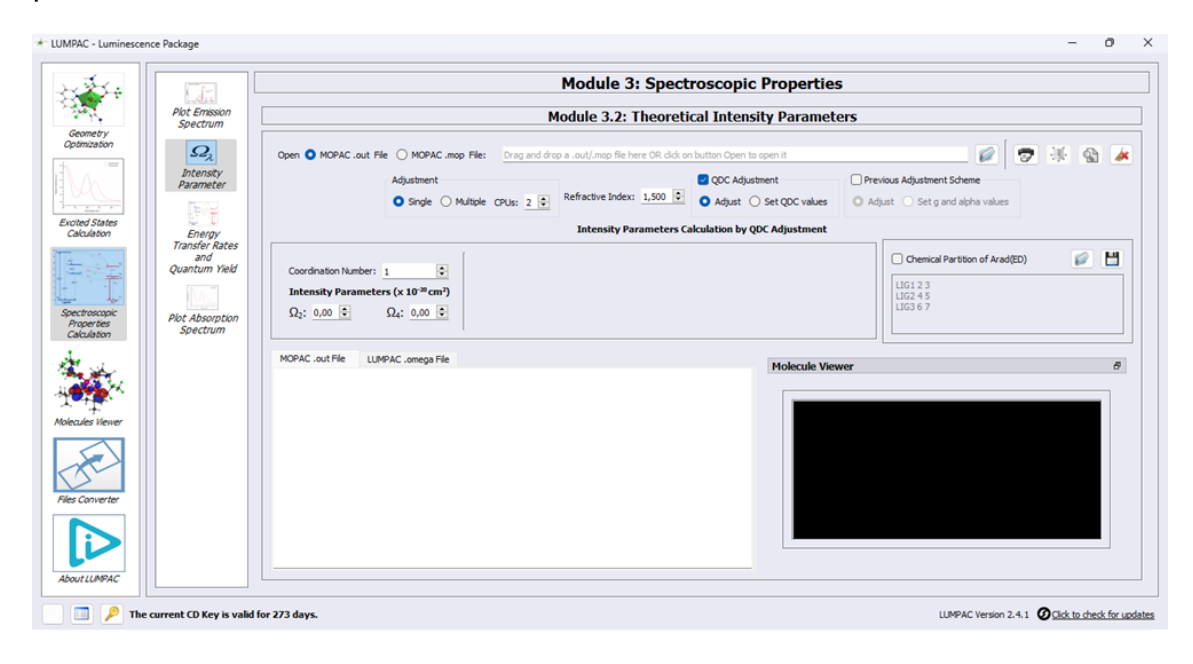
 6. Assim que selecionadas as bandas, seja do espectro de emissão ou excitação, e adicionado os dados necessários, ao clicar em (Figura 62) e (Figura 65), o cálculo dos parâmetros de intensidade e da taxa de emissão radiativa experimentais será executado.

Aviso: Os dados serão salvos em um arquivo de extensão .lumpacexp com o mesmo nome e diretório do arquivo .txt do espectro adicionado.

Cálculo teórico dos parâmetros de intensidade

A Figura 67 mostra o submódulo do LUMPAC responsável pelo cálculo teórico dos parâmetros de intensidade. Aplicando um algoritmo não linear, os fatores de carga (g) e as polarizabilidades (a), usados no cálculo dos parâmetros γ_p^t e Γ_p^t , respectivamente, são ajustados de modo a reproduzir os valores experimentais de Ω_2 e Ω_4 .

Figura 67. Submódulo do LUMPAC responsável pelo cálculo teórico dos parâmetros e intensidade.

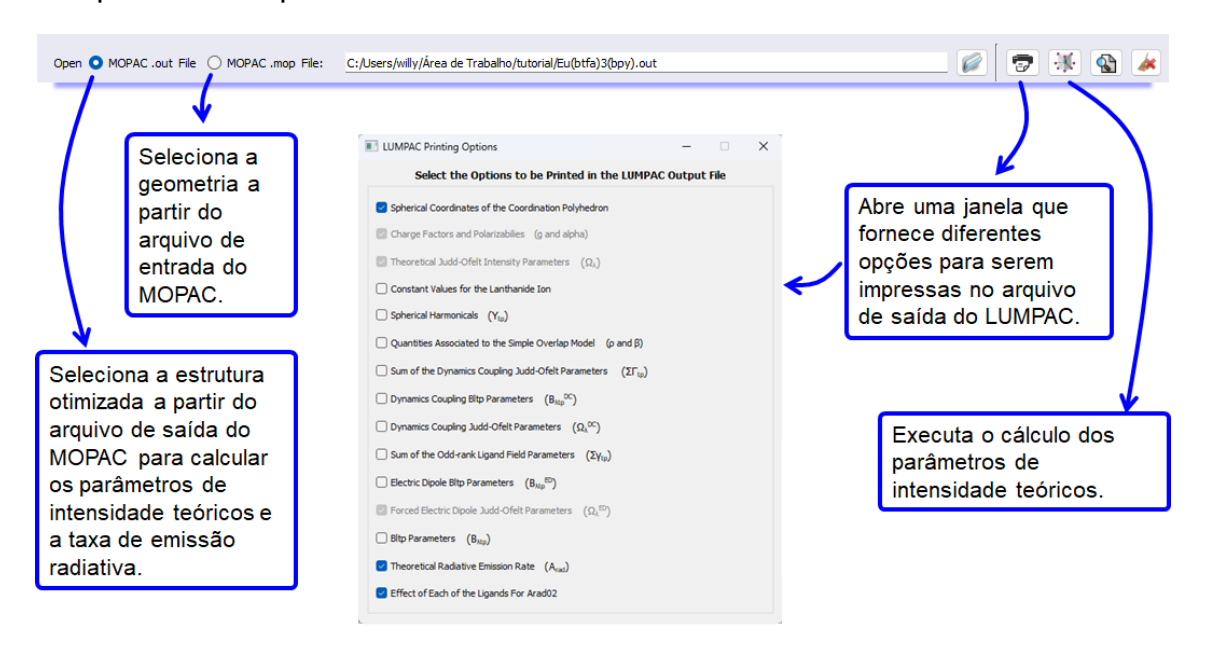


Procedimento para o Cálculo Teórico dos Parâmetros de Intensidade usando o LUMPAC

1. Clique no botão (Figura 68) para abrir o arquivo de saída do MOPAC (.out) contendo a geometria otimizada, ou o arquivo de entrada do MOPAC (.mop) contendo a estrutura inicial.

A **Figura 68** apresenta todas as quantidades que podem ser adicionadas ao arquivo de saída do submódulo destinado ao cálculo dos parâmetros de intensidade. Por padrão, algumas opções são calculadas obrigatoriamente: parâmetros de intensidade teóricos (Ω_{λ}) , parâmetros de dipolo elétrico forçado (Ω_{λ}^{ED}) , fatores de carga (g) e polarizabilidades (α) . Outros dados são selecionados por padrão, mas podem ser ignorados, como as coordenadas esféricas do poliedro de coordenação, taxa de emissão radiativa teórica (A_{rad}) e efeito de cada ligante sobre a A_{rad} . As demais opções podem ser selecionadas opcionalmente.

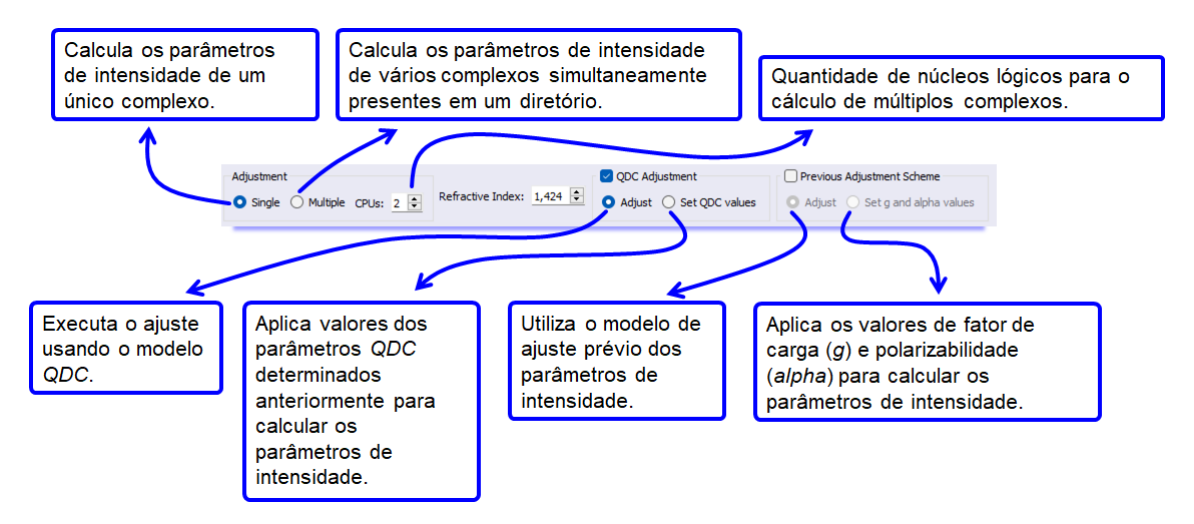
Figura 68. Interface do LUMPAC ilustrando como calcular teoricamente os parâmetros de intensidade e as demais quantidades que podem ser adicionadas à impressão dos parâmetros de intensidade.



 No LUMPAC 2.0, há quatro procedimentos diferentes para o cálculo dos parâmetros de intensidade teóricos (Figura 69).

É possível calcular os parâmetros de intensidade teóricos de vários arquivos de um mesmo diretório simultaneamente através da seleção da opção "*Multiple*" (**Figura 69**). Vale salientar que o prefixo dos arquivos .lumpacexp e .out devem ser o mesmo para que o LUMPAC reconheça os valores dos parâmetros de intensidade experimentais de cada complexo.

Figura 69. Interface do LUMPAC 2.0 para seleção do método de ajuste dos parâmetros de intensidade teóricos.



31503151

3146 3147

2.1. Por padrão, o LUMPAC usa o ajuste QDC (**Figura 70**). Os valores de g e α, que satisfazem a limites físicos estabelecidos, são calculados com o auxílio de três parâmetros ajustáveis (Q, D e C).

31533154

3155

3156

3157

3158

3159

3160

3161

3162

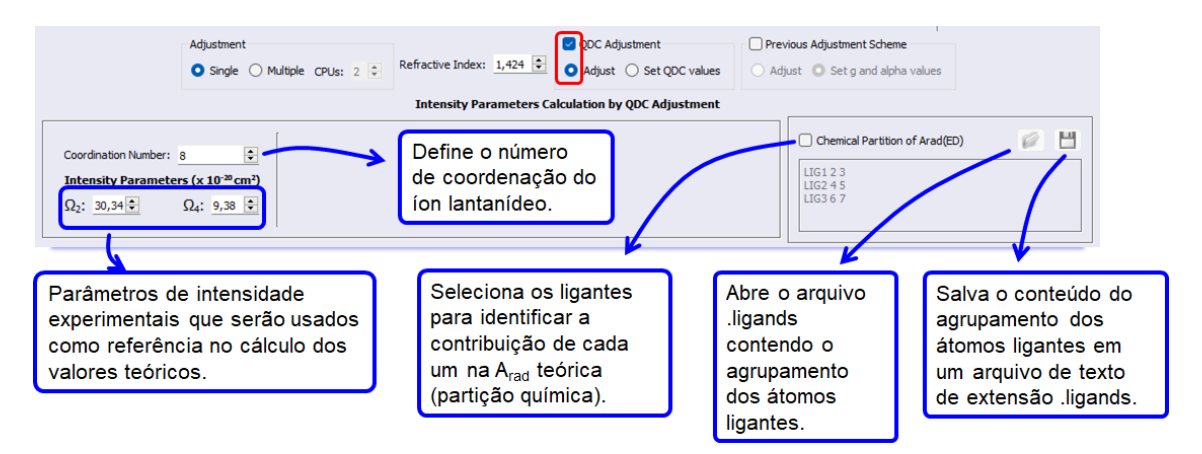
3163

3152

Caso os parâmetros de intensidade e o número de coordenação do complexo não sejam carregados automaticamente, como na Figura 70, podem ser adicionados manualmente. O ajuste QDC foi adicionado ainda durante as atualizações da primeira versão do LUMPAC e continua na versão 2.0. Com o ajuste QDC, cada átomo ligante possui um valor de g e α diferente, pois estas quantidades são estimadas função como uma da carga superdeslocalizabilidade eletrofílica de cada átomo, as quais são diferentes entre os átomos. Ao aplicar o ajuste QDC, a partição química de cada ligante também pode ser realizada, em que é contabilizada a contribuição de cada ligante para A_{rad}, como ilustrado na **Figura 71**.

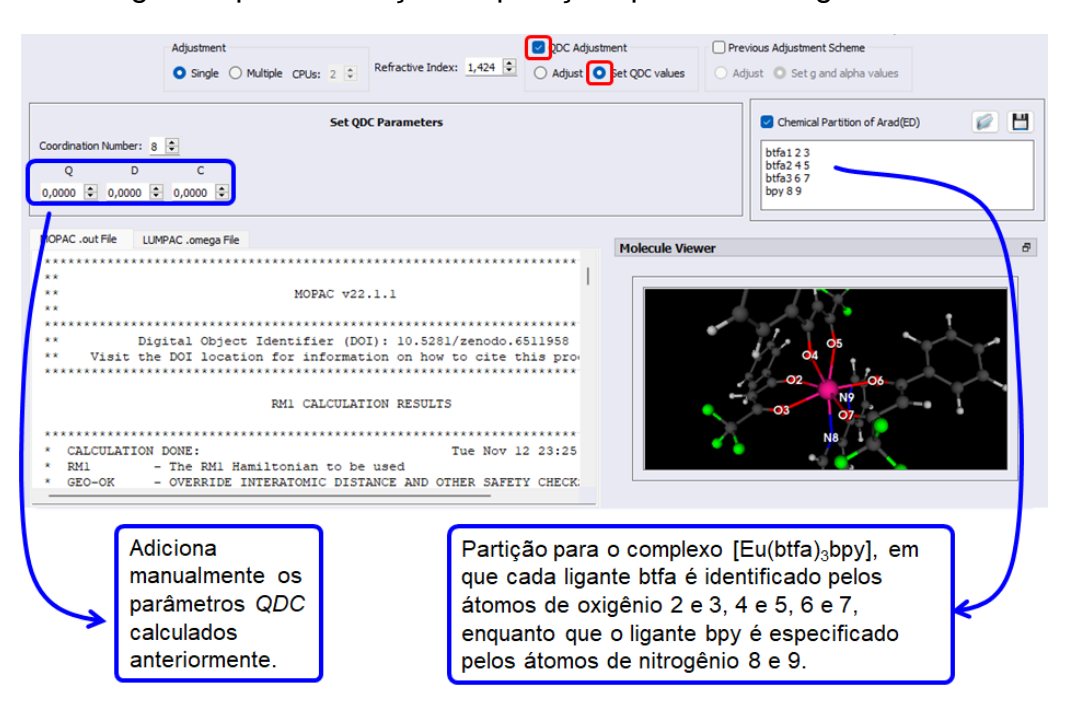
3164

Figura 70. Interface LUMPAC dedicada ao ajuste QDC.



2.2. Outra opção é adicionar os valores de QDC manualmente advindo de outra plataforma de cálculo, como mostrado na **Figura 71**.

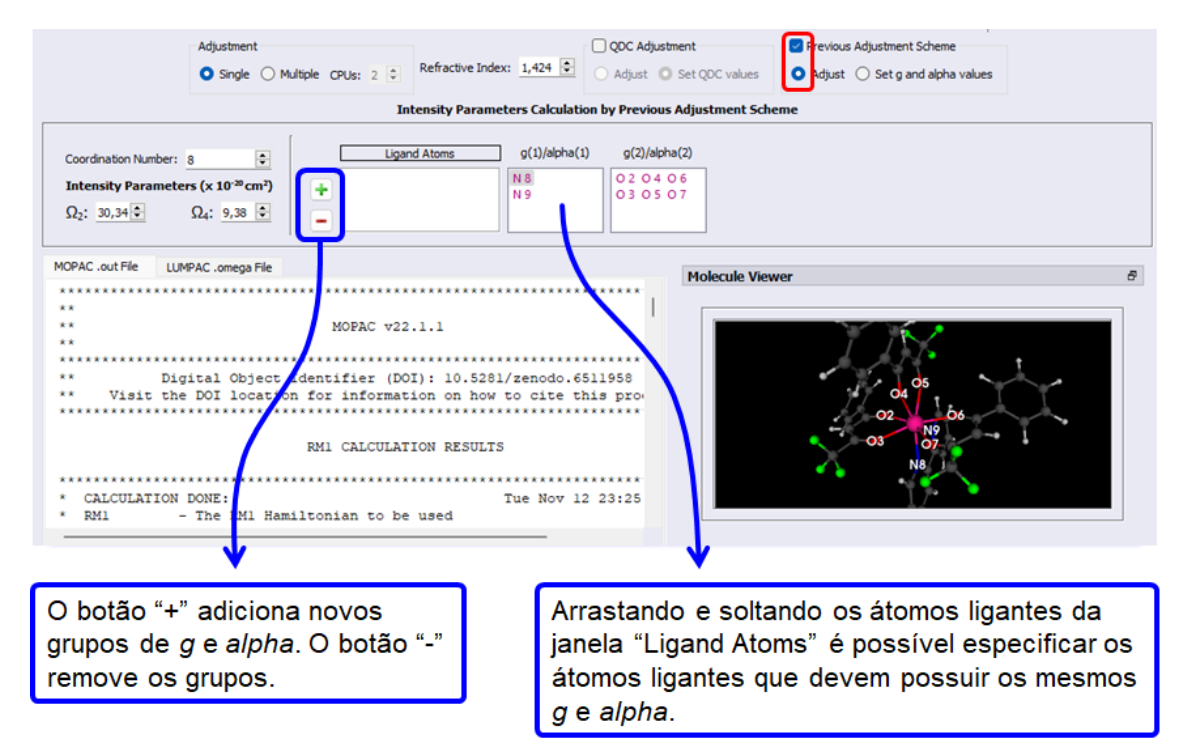
Figura 71. Interface para inserção manual dos parâmetros QDC e atribuição do rótulo dos ligantes para avaliação da partição química dos ligantes sobre a *A_{rad}*.



 2.3. Outro procedimento para o cálculo dos parâmetros de intensidade é através do ajuste prévio do LUMPAC, usado por padrão antes da implementação do ajuste QDC. No procedimento do ajuste prévio, os valores de g e α dos átomos ligante são arbitrariamente agrupados de acordo com o mesmo ambiente químico. O LUMPAC possibilita uma maneira simples de especificar os grupos de átomos que tem o mesmo ambiente químico (Figura 72);

Os seguintes átomos são incluídos no mesmo grupo (**Figura 72**) para o sistema [Eu(btfa)₃(bpy)]: N8 e N9 (nitrogênios da bipiridina); O2, O3, O4, O5, O6 e O7 (oxigênios das β-dicetonas). É necessário somente arrastar os átomos ligantes da caixa "*Ligand Atoms*" e soltar em seus respectivos grupos.

Figura 72. Interface do LUMPAC mostrando como definir os grupos dos fatores de carga e das polarizabilidades relacionados aos átomos ligantes.



2.4. Por fim, os valores de g e α determinados previamente podem ser adicionados manualmente para cada átomo ligante, como mostrado na **Figura 73**.

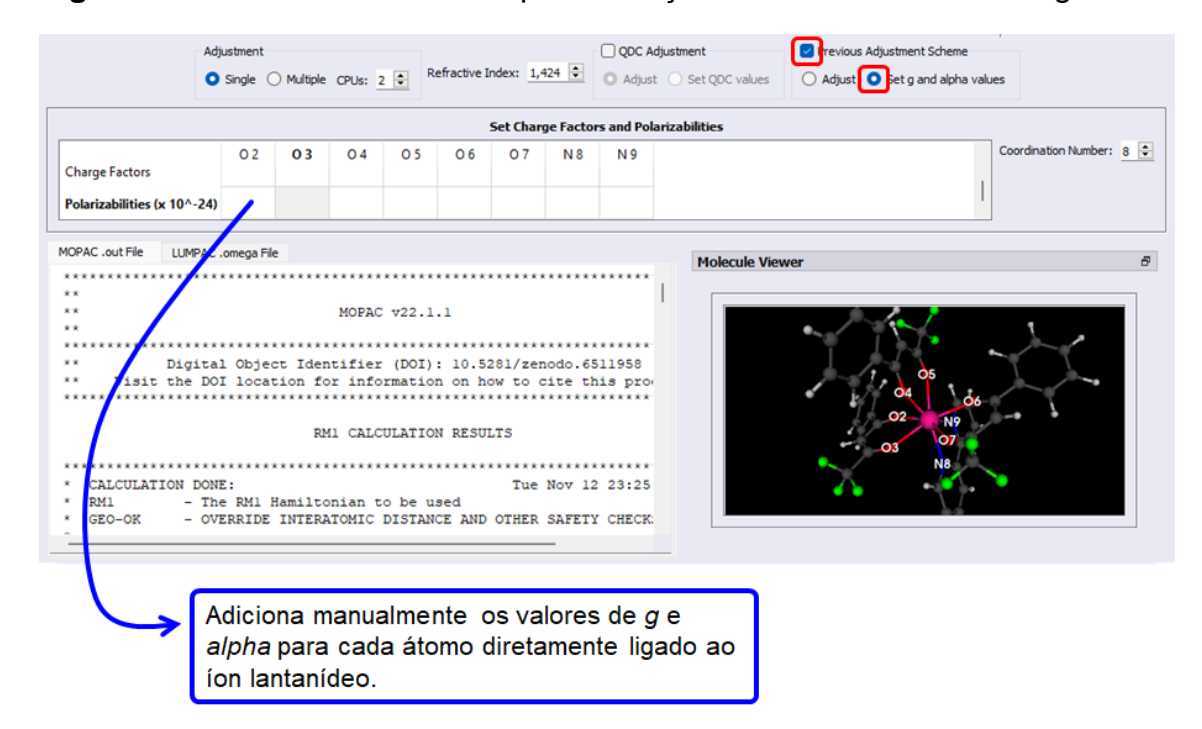


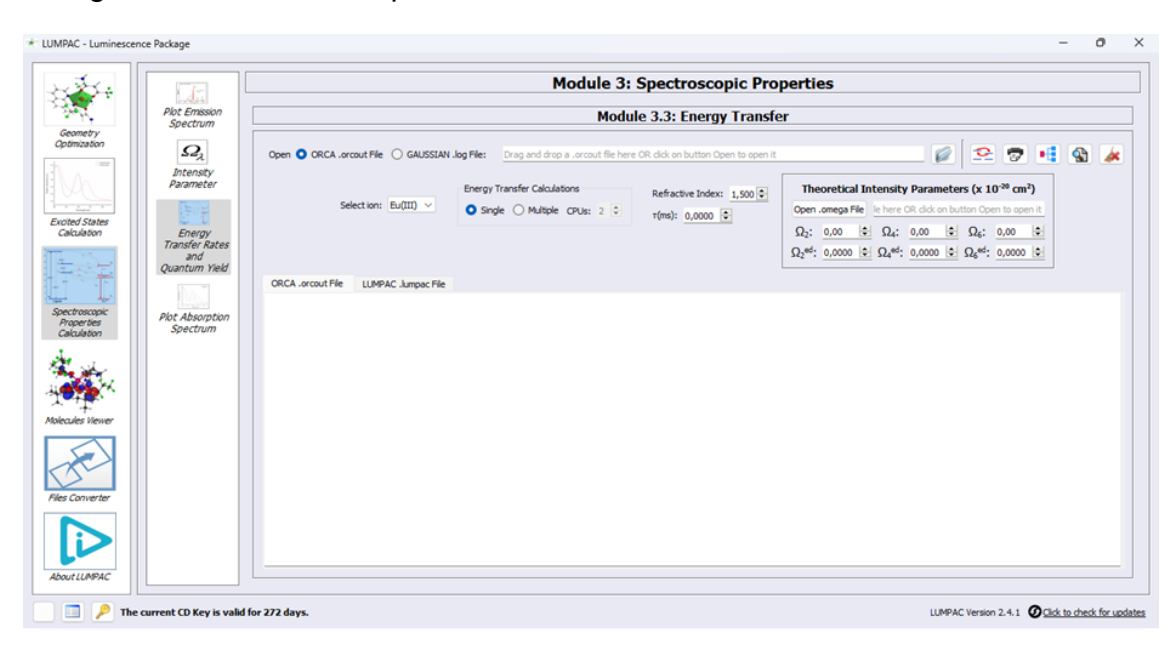
Figura 73. Interface do LUMPAC para inserção manual dos valores de $g \in \alpha$.

A taxa de emissão radiativa depende do Ω_6 , o qual não é medido experimentalmente. Por causa disso, o cálculo dos parâmetros de intensidade é muito importante. A partir dos cálculos teóricos, a contribuição do mecanismo do acoplamento dinâmico (Ω_{λ}^{DC}) e do dipolo elétrico (Ω_{λ}^{ED}) são determinados. Os valores de Ω_{λ}^{ED} são úteis para calcular as taxas de transferência de energia ligante-íon metálico pelo mecanismo multipolar.

Cálculo da Taxa de Transferência de Energia e do Rendimento Quântico de Emissão

A **Figura 74** mostra o módulo responsável pelo cálculo das taxas de transferência e, se fornecido o tempo de vida, do rendimento quântico de emissão. Todas estas quantidades podem ser calculadas usando os parâmetros de intensidade estimados na seção anterior, juntamente com o arquivo de saída do ORCA, o qual foi obtido na seção do cálculo das energias dos estados excitados.

Figura 74. Módulo responsável pelo cálculo das taxas de transferência de energia e do rendimento quântico de emissão.



Procedimento para o Cálculo das Taxas de Transferência de Energia e do Rendimento Quântico de Emissão usando o LUMPAC

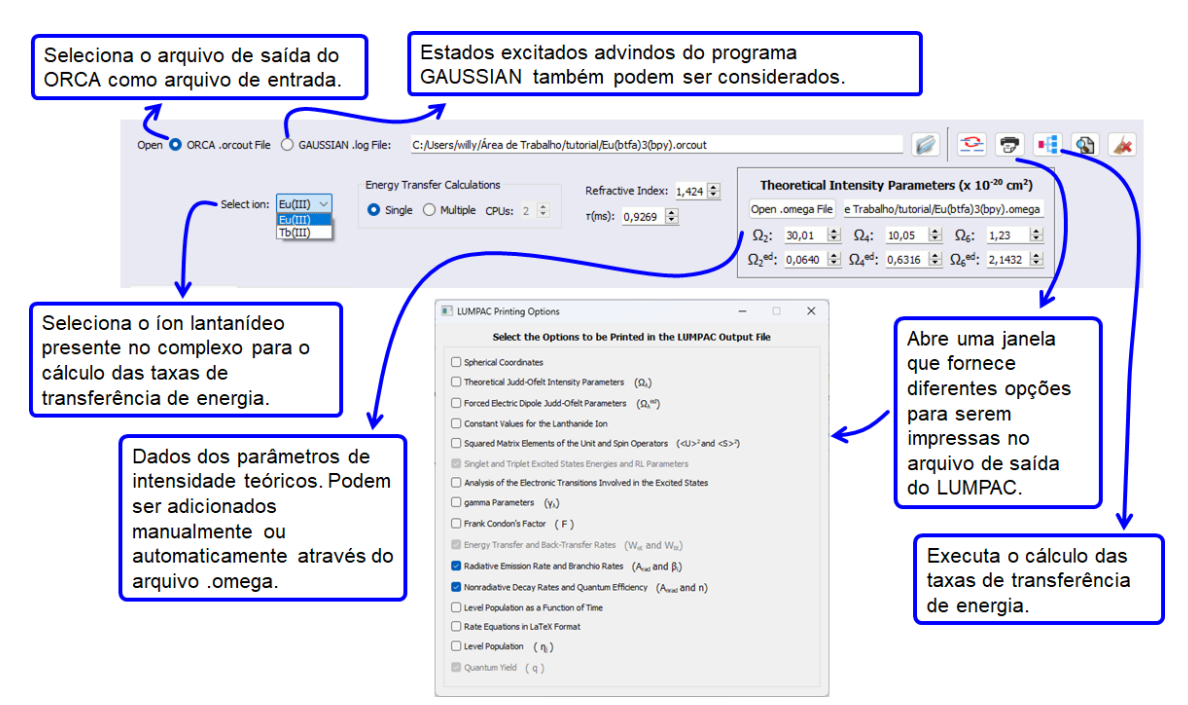
1. Clique no botão (Figura 75) para abrir o arquivo de saída do ORCA (.orcout) calculado pelo procedimento descrito na seção do módulo 2.

No LUMPAC 2.0, além do uso dos estados excitados semiempíricos calculados no módulo 2, também é possível a leitura de dados provenientes de cálculos DFT com os programas ORCA e GAUSSIAN. Outra novidade do LUMPAC 2.0 é a possibilidade de cálculo da taxa de transferência de energia para complexos de Tb³⁺. A escolha do íon em questão pode ser feita como mostrada na **Figura 75**. Entretanto, vale salientar que a determinação do rendimento quântico teórico ainda não é possível para Tb³⁺.

2. Assim que o arquivo .orcout for carregado, o arquivo .omega contendo os parâmetros de intensidade calculados pelo procedimento descrito anteriormente (Figura 75) será carregado automaticamente. Para tanto, os arquivos têm que estar no mesmo diretório e com o mesmo nome do arquivo .orcout correspondente, mas com extensão .omega.

Atenção: Se o arquivo .omega não for carregado automaticamente, forneça manualmente os parâmetros de intensidade calculados através da interface do LUMPAC ou especifique o arquivo .omega correspondente.

Figura 75. Interface do LUMPAC mostrando como determinar as taxas de transferência de energia e o rendimento quântico de emissão a partir do arquivo de saída do ORCA e dos parâmetros de intensidade teóricos.

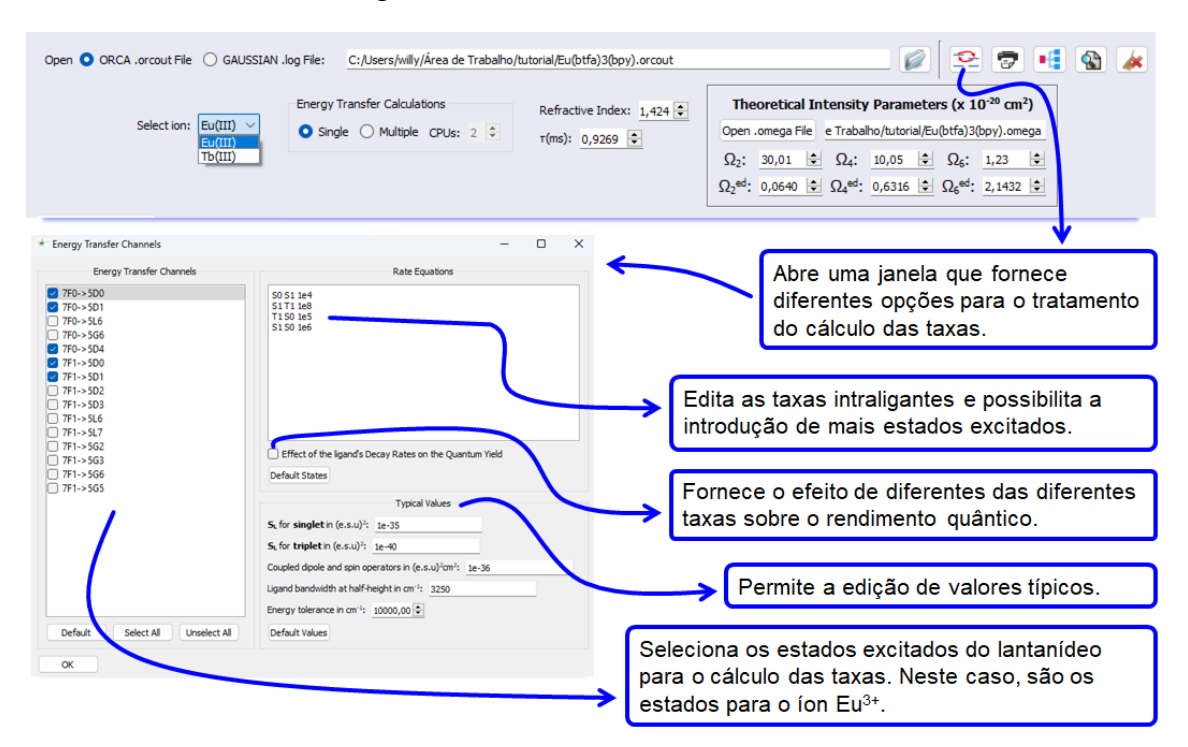


3. Clique em (Figura 76) caso deseje alterar os canais de transferência de energia, as taxas de decaimento intraligante, estados dos ligantes e os valores típicos de quantidades importantes para o cálculo da taxa de transferência de energia liganteíon lantanídeo.

É possível selecionar canais de transferência de energia envolvendo diversos níveis excitados aceitadores do íon Eu³⁺: 5D_0 , 5D_1 , 5D_2 , 5D_3 , 5D_4 , 5L_6 , 5L_7 , 5G_2 , 5G_3 , 5G_5 e 5G_6 a partir dos estados fundamentais 7F_0 ou 7F_1 . Para o Tb³⁺, os níveis aceitadores disponíveis são 5D_3 , 5D_4 , 5G_4 , 5G_5 , 5G_6 , 5L_6 , $^5L_{10}$, 5H_5 , 5H_6 , 5H_7 e 5F_5 , excitados a partir dos estados fundamentais 7F_5 ou 7F_6 . No LUMPAC 2.0, vários níveis diferentes dos ligantes podem ser considerados nas equações de taxa. Os estados S_0 , S_1 e T_1 vêm selecionados automaticamente pelo LUMPAC e com os seguintes valores típicos de taxa: 1×10^4 s⁻¹ para o canal $S_0 \rightarrow S_1$ e 1×10^8 s⁻¹, 1×10^5 s⁻¹ e 1×10^6 s⁻¹ para os canais $S_1 \rightarrow T_1$, $T_1 \rightarrow S_0$ e $S_1 \rightarrow S_0$,

respectivamente (**Figura 76**). Entretanto, tanto os níveis quanto as taxas podem ser modificados manualmente. Para considerar uma nova interação entre níveis, basta apenas fornecer o estado de partida, o estado final e a respectiva taxa logo em seguida. Por exemplo, para incluir o estado T_5 com taxa de decaimento de 5×10^9 s⁻¹ para $S_1\rightarrow T_5$ e 1×10^{10} s⁻¹ para $T_5\rightarrow T_1$, basta adicionar duas linhas na janela *Rate Equations* (**Figura 76**): "S1 T1 5e9" e "T5 T1 1e10".

Figura 76. Interface para modificações de parâmetros para o cálculo das taxas de transferência de energia.



Quando a opção "Effect of the ligand's Decay Rates on the Quantum Yield" é selecionada (Figura 76), as taxas de decaimento envolvendo os estados dos ligantes são variadas. Essa parametrização fornece todas as combinações possíveis de decaimento intraligantes de 1×10⁰ s⁻¹ a 1×10¹² s⁻¹ e o rendimento quântico teórico é calculado para cada combinação. Essas informações são armazenadas em um arquivo de extensão .simul que é salvo no diretório do arquivo .orcout.

 4. Clique no botão (Figura 75 e Figura 76) para executar o cálculo das taxas de transferência e retrotransferência de energia com as propriedades desejadas. Se o tempo de vida for fornecido, o rendimento quântico de emissão será calculado.

3283

3284

3285

3286

3287

3288

3289

3290

3291

3292

3293

3294

3295

3296

3297

3298

3299

3300

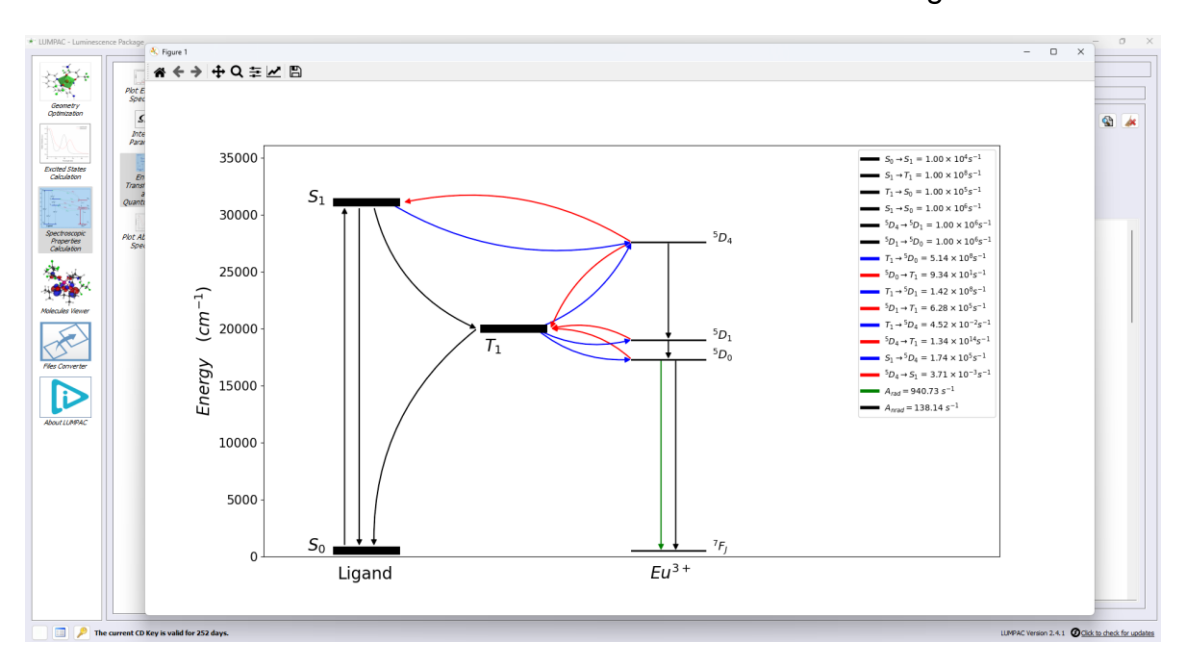
O arquivo .simul contendo o resultado da avaliação das taxas de decaimento intraligantes sobre o rendimento quântico do complexo [Eu(btfa)3(bpy)] está apresentado na Figura 77. As colunas "S1 T1", "T1 S0" e "S1 S0" se referem às taxas de decaimento $S_1 \rightarrow T_1$, $T_1 \rightarrow S_0$ e $S_1 \rightarrow S_0$, respectivamente. Caso outro nível fosse adicionado no campo de edição Rate Equations (Figura 76), também seria contabilizado. A coluna "s calc" é a eficiência de sensibilização teórica (razão entre rendimento e eficiência quântica teóricos), enquanto a coluna "s exp" é a eficiência de sensibilização experimental. A coluna "yield" é o rendimento quântico para cada combinação de taxas, sendo seu valor limitado ao da eficiência quântica teórica. A coluna "erro s" é o erro entre a eficiência de sensibilização teórica e experimental. As três últimas linhas da Figura 76 mostram o coeficiente de correlação entre as taxas para um certo canal de transferência considerado e o rendimento quântico do complexo. De forma simples, o coeficiente de correlação indica o peso que cada canal avaliado tem sobre o rendimento quântico. Assim, valores positivos e negativos indicam se o aumento da taxa implica no aumento ou diminuição, respectivamente, do rendimento quântico. O módulo do coeficiente indica a intensidade do efeito.

Figura 77. Arquivo Eu(btfa)3(bpy).simul contendo a parametrização das taxas de decaimento para os canais $S_1 \rightarrow T_1$, $T_1 \rightarrow S_0$ e $S_1 \rightarrow S_0$.

1	S1_T1	T1_S0	S1_S0	s_exp	s_calc	yield	error_s
2	1e12	1e0	1e0	100.00	100.00	87.20	0.0000
3	1e11	1e0	1e0	100.00	100.00	87.20	0.0000
4	1e12	1e0	1e1	100.00	100.00	87.20	0.0000
825	1e12	1e8	1e10	100.00	83.84	73.11	16.1572
826	1e5	1e8	1e4	100.00	81.70	71.24	18.2959
827	1e4	1e8	1e4	100.00	80.33	70.04	19.6740
2196	1e2	1e12	1e12	100.00	0.00	0.00	100.0000
2197	1e1	1e12	1e12	100.00	0.00	0.00	100.0000
2198	1e0	1e12	1e12	100.00	0.00	0.00	100.0000
2199							
2200							
2201	S1->T1	0.17	769				
2202	T1->S0	-0.30)40				
2203	S1->S0	-0.27	772				

Assim que o cálculo é finalizado, uma imagem do diagrama de energia é gerada, tal como mostrada na **Figura 78**. O diagrama gerado assinala as energias dos níveis selecionados tanto dos ligantes quanto dos íons Eu³⁺ ou Tb³⁺ em escala, assim como, os canais de transferência e retrotransferência de energia selecionados.

Figura 78. Diagrama de energia do complexo [Eu(btfa)₃(bpy)] fornecido pelo LUMPAC ao final do cálculo das taxas de transferência de energia.



A **Figura 79** traz o arquivo de saída Eu(btfa)₃(bpy).lumpac contendo todas as propriedades calculadas. Todas as opções da janela LUMPAC *Printing Options* (**Figura 75**) foram selecionadas.

33173318

3319

3314

3315

3316

Figura 79. Arquivo de saída do LUMPAC mostrando todas as propriedades espectroscópicas calculadas.

```
**************************
       ##
                 ## ## ##
                                ## #####
                                                                                ####
                                               ####
                                                       ####
                                                                 #####
       ##
                 ## ## ### ### ## ## ## ## ##
                                                                  ##
                                                                               ## ##
                 ## ## ## #### #####
       ##
                                                     ##
                                                                               ## ##
                                                                  ####
                                                     ## ##
       ##
                 ## ## ##
                                ## ##
                                             ## ##
                                                                 ##
                                                                               ## ##
                           ##
                                             ## ##
       ######
                 ####
                                ## ##
                                                        ####
                                                                 ###### ##
                                                                                ####
LUMPAC - Lanthanide Luminescence Software - version 2.0
 Cite this work as:
                         Dutra, J. D. L.; Bispo, T. D.; Freire, R. O.
                         LUMPAC Lanthanide Luminescence Software: efficient and user
                         friendly
                         Journal of Computational Chemistry, 2014, 35, 772_775.
                         http://dx.doi.org/10.1002/jcc.23542
                         DOI:10.1002/jcc.23542
The data shown below were calculated from the geometry and excited states energies read in
following file:
C:/Users/willy/Área de Trabalho/tutorial/Eu(btfa)3(bpy).orcout
Forced Electric Dipole Judd-Ofelt Parameters, omegaED (I)
 omegaED(2) = 6.4000e-22 \text{ cm}^2
 omegaED(4) = 6.3160e-21 cm<sup>2</sup>
 omegaED(6) = 2.1432e-20 cm^2
Constant values for the Ln3+ Ion
Racah Tensor Operator Used: \langle f|C(2)|f \rangle = -1.3660 \langle f|C(4)|f \rangle = 1.1280 \langle f|C(6)|f \rangle = -1.2700
Shielding Factor Used: sigma(2) = 0.6000 sigma(4) = 0.1390 sigma(6) = 0.1000
Radial Integrals: r(2) = 2.5693e-17 \text{ cm}^2 r(4) = 1.5840e-33 \text{ cm}^4 r(6) = 1.9848e-49 \text{ cm}^6
SL for singlet = 1.00e-35 (e.s.u)^2
SL for triplet = 1.00e-40 (e.s.u)^2
Coupled dipole and spin operators = 1.00e-36 (e.s.u)^2 cm^2
```

Ligand bandwidth at half-height = 3250.00 cm^-1

Squared matrix elements of the unit and spin operators

Donor	Acceptor	<u(2)>^2</u(2)>	<u(4)>^2</u(4)>	<u(6)>^2</u(6)>	<s>^2</s>
7F0	5D0	0.0032	0.0000	0.0000	0.0000
7F0	5D1	0.0000	0.0000	0.0000	0.0273
7F0	5D4	0.0000	0.0011	0.0000	0.0000
7F1	5D0	0.0000	0.0000	0.0000	0.1170
7F1	5D1	0.0025	0.0000	0.0000	0.0000

Singlet and Triplet Excited States Energies and

RL Parameters

Chosen Triplet Excited State = T1

RL Triplet: 4.4793 Angs Triplet Energy: 19990.60 cm^-1

Chosen Singlet Excited State = S1

RL Singlet: 4.1648 Angs Singlet Energy: 31077.60 cm^-1

RL: distance from the donor state located at the organic ligands and the Ln3+ ion nucleus.

.....

Transitions with coeff less than 5.0% will be neglected.

State T1 Fosc = 0.0000 RL = 4.4793 Angs E = 19990.60 cm^-1 lambda = 500.24 nm

HOMO->LUMO+359.06%HOMO-5->LUMO+319.43%HOMO-5->LUMO+129.04%HOMO->LUMO+126.44%TOTAL93.98%

State S1 Fosc = 0.0055 RL = 4.1648 Angs E = 31077.60 cm^{\wedge}-1 lambda = 321.78 nm

HOMO-10->LUMO+3 82.63% TOTAL 82.63%

gamma(I) Parameters

State T1

gamma(2) = 3.6482e+25 gamma(4) = 1.8138e+23 gamma(6) = 1.3717e+21

State S1

gamma(2) = 6.5316e+25 gamma(4) = 4.3451e+23 gamma(6) = 4.3971e+21

Frank Condon's Factor (F)

 $F(T1 7F0 -> 5D0) = 4.5132e + 11 erg^{-1}$

 $F(T1 7F0 -> 5D1) = 6.8457e + 11 erg^{-1}$

 $F(T1 7F0 -> 5D4) = 1.6509e + 10 erg^{-1}$

 $F(T1 7F1 -> 5D0) = 3.9205e + 11 erg^{-1}$

 $F(T1 7F1->5D1) = 6.4720e+11 erg^{-1}$

 $F(S1 7F0 -> 5D0) = 2.7955e + 06 erg^{-1}$

 $F(S1 7F0 -> 5D1) = 5.2870e + 07 erg^{-1}$

 $F(S1 7F0 -> 5D4) = 3.2691e + 11 erg^{-1}$

 $F(S1 7F1->5D0) = 1.4133e+06 erg^{-1}$

 $F(S1 7F1->5D1) = 2.9090e+07 erg^{-1}$

Energy Transfer (Wet) and Back-Transfer Rates (Wbt)

Wet from the Multipolar Mechanism (WetMM)

Wet from the Exchange Mechanism (WetEX)

CHANNEL	DELTA(cm^-1)	WetMM(s^-1)	WetEX(s^-1)	Wet(s^-1)	Wbt(s^-1)
T1 7F0->5D0	2697.60	3.86e+00	0.00e+00	3.86e+00	9.30e-06
T1 7F0->5D1	963.60	0.00e+00	5.33e+07	5.33e+07	5.24e+05
T1 7F0->5D4	-7595.40	1.44e-02	0.00e+00	1.44e-02	9.54e+13
T1 7F1->5D0	3069.60	0.00e+00	2.02e+08	2.02e+08	8.18e+01
T1 7F1->5D1	1335.60	2.98e+02	2.67e+04	2.70e+04	4.47e+01
S1 7F0->5D0	13784.60	1.29e+01	0.00e+00	1.29e+01	2.50e-28
S1 7F0->5D1	12050.60	0.00e+00	9.17e+03	9.17e+03	7.29e-22
S1 7F0->5D4	3491.60	1.87e+05	0.00e+00	1.87e+05	9.97e-03
S1 7F1->5D0	14156.60	0.00e+00	1.62e+03	1.62e+03	5.31e-27
S1 7F1->5D1	12422.60	7.18e+03	2.68e+00	7.19e+03	9.60e-23

Theoretical Radiative emission rate (Arad) and Branchio Rates (beta)

Refractive Index Used = 1.424

Theoretical Arad = 940.77 s^-1

Beta values (contribution of each 5D0 -> 7FJ transition in percentage to radiative decay rate)

5D0->7F1: 4.48 5D0->7F2: 81.61 5D0->7F3: 0.00

5D0->7F4: 13.83 5D0->7F5: 0.00 5D0->7F6: 0.09

Theoretical Nonradiative Decay Rate (Anrad) and Quantum Efficiency

```
Chosen Experimental Lifetime = 0.9269 ms
Theoretical Anrad = 138.10 s^-1
Theoretical Quantum Efficiency = 87.20 %
Rates Considered to Build the Rate Equations System
Arad = 940.73 s^{-1}
Anrad = 138.14 s^{-1}
Emitting State: 5D0
Absorbing State: S0
Donor
          Acceptor
                         Rate(s^{-1})
S0
          S1
                         1.0000e+04
          T1
S1
                         1.0000e+08
T1
          S0
                        1.0000e+05
S1
          S0
                        1.0000e+06
5D4
          5D1
                        1.0000e+06
5D1
          5D0
                         1.0000e+06
T1
          5D0
                        5.1360e+08
5D0
          T1
                       9.3443e+01
          5D1
T1
                        1.4171e+08
          T1
5D1
                        6.2751e+05
T1
          5D4
                        4.5186e-02
5D4
          T1
                        1.3441e+14
S1
          5D4
                        1.7443e+05
          S1
                         3.7127e-03
5D4
Population of each State Involved in the Process of Energy Transfer
S0 population = 0.098257
     population = 0.000010
S1
T1
     population = 0.000002
5D4 population = 0.000000
5D1 population = 0.000153
5D0 population = 0.901578
           Quantum Yield: 86.32 %
Sensitization Efficiency = 98.99 %
Rates equations in LaTeX format
\label{eq:linear_solution} $$ \left( \frac{30}}{dt} = -1.00\times{10}^{4} \right) = -1.00\times{10}^{6} 
\eta_{S1}+1.00\times{{10}^{5}} \eta_{T1}\]
```

```
 $$ \left(\frac{d(\text{S1})}{dt} = -(1.00\times(10)^{6}) + 1.00\times(10)^{8} + 1.74\times(10)^{5}}\right) \le _{S1}+3.71\times(10)^{-3}} \left(\frac{5D4}+1.00\times(10)^{4}}\right) $$
```

 $$$ \left(\frac{4(t_{T1})}{dt} = -(1.00\times(10)^{5}) + 4.52\times(10)^{-2}) + 1.42\times(10)^{8} + 5.14\times(10)^{8}) \cdot (10)^{6} \right) \le (10)^{6} + 1.34\times(10)^{6} + 1.34\times(10)^{6} \right) \le (10)^{6} + 1.34\times(10)^{6} + 1.34\times(10)^{6} + 1.34\times(10)^{6} \right) \le (10)^{6} + 1.34\times(10)^{6} + 1.34\times(1$

 $$$ \left(\frac{d(-3)}{dt} = -(3.71\times(10)^{-3}) + 1.34\times(10)^{14}) + 1.00\times(10)^{6}}\right) \leq _{5D4}+1.74\times(10)^{5}} \eta_{5D4}+1.74\times(10)^{5}} \eta_{5D4}+1.74\times(10)^{-2}} \eta_{5D4}-1.74\times(10)^{-2}} \$

 $\label{eq:logonorm} $$ \left(\frac{d(\text{5D0})}{dt} = -9.34\times(10)^{1} \cdot \frac{5D0}{1.00\times(10)^{6}} \cdot \frac{5D1}{5.14\times(10)^{8}} \cdot \frac{T1}{1.00\times(10)^{8}} \right) $$$

Required Citations for this Calculation

ORCA Program Reference

Neese F.

The ORCA program system.

Wiley Interdisciplinary Reviews-Computational Molecular Science, 2012, 2(1), 73-78.

http://dx.doi.org/10.1002/wcms.81

doi:10.1002/wcms.81

Revisited model in the Chapter 310 (Handbook) was used to calculate the energy transfer rates between the ligands and the lanthanide trivalent ion

Carneiro Neto, A. N.; Teotonio, E. E. S.; de Sa, G. F.; Brito, H. F.; Legendziewicz, J.; Carlos, L. D.; Felinto, M. C. F. C.; Gawryszewskae, P.; Moura Jr, R. T.; Longo, R. L.; Faustino, W. M.; Malta, O. L.

Modeling intramolecular energy transfer in lanthanide chelates:

A critical review and recent advances.

Chapter 310 - Modeling intramolecular energy transfer in lanthanide chelates: A critical review and recent advances.

in Handbook on the Physics and Chemistry of Rare Earths, J.-C. G. Bunzli and V. K. Pecharsky, Editors. 2019, Elsevier. p. 55-162.

http://dx.doi.org/10.1016/bs.hpcre.2019.08.001

doi:10.1016/bs.hpcre.2019.08.001

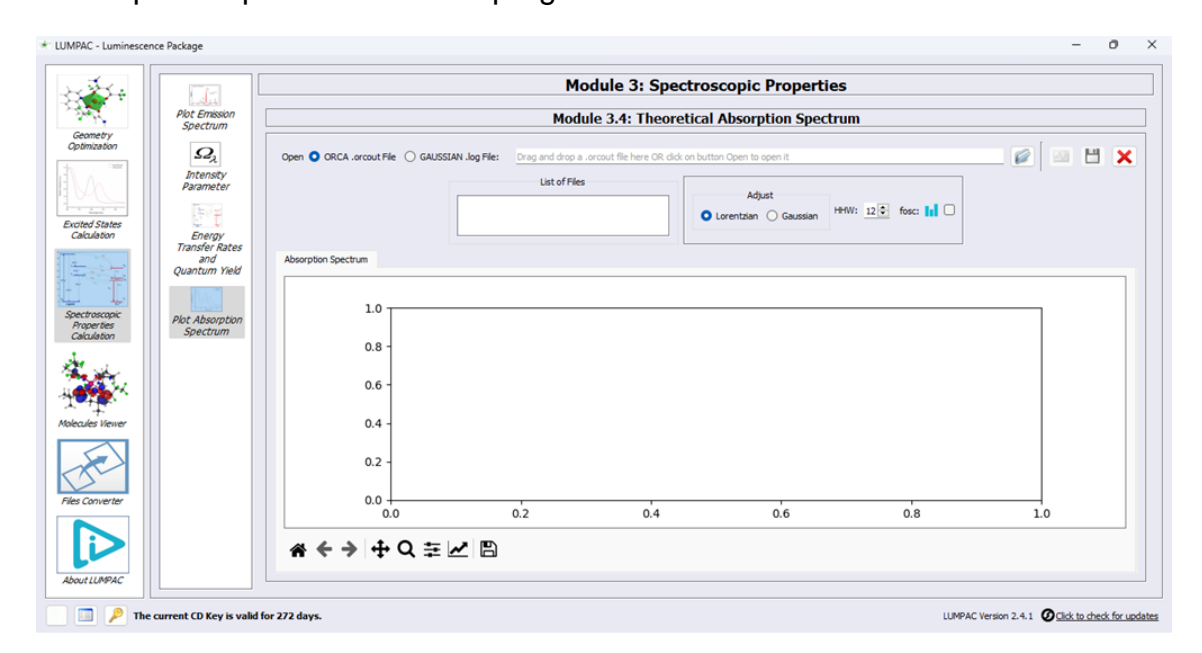
Numerical solution for the rate equations and calculation of the emission quantum yield

Malta, O. L.; Brito, H. F.; Menezes, J. F. S.; Silva, F. R. G. E.; Donega, C. D.; Alves, S. Experimental and theoretical emission quantum yield in the compound Eu(thenoyltrifluoroacetonate)(3).2(dibenzyl sulfoxide)
Chemical Physics Letter, 1998, 282(3-4), 233-238
http://dx.doi.org/10.1016/S0009-2614(97)01283-9

Cálculo teórico do espectro de absorção

A **Figura 80** mostra o módulo responsável pelo cálculo teórico do espectro de absorção a partir do arquivo de saída criado pelos programas ORCA e GAUSSIAN.

Figura 80. Módulo responsável pelo cálculo teórico do espectro de absorção obtido pelo arquivo de saída do programa ORCA.

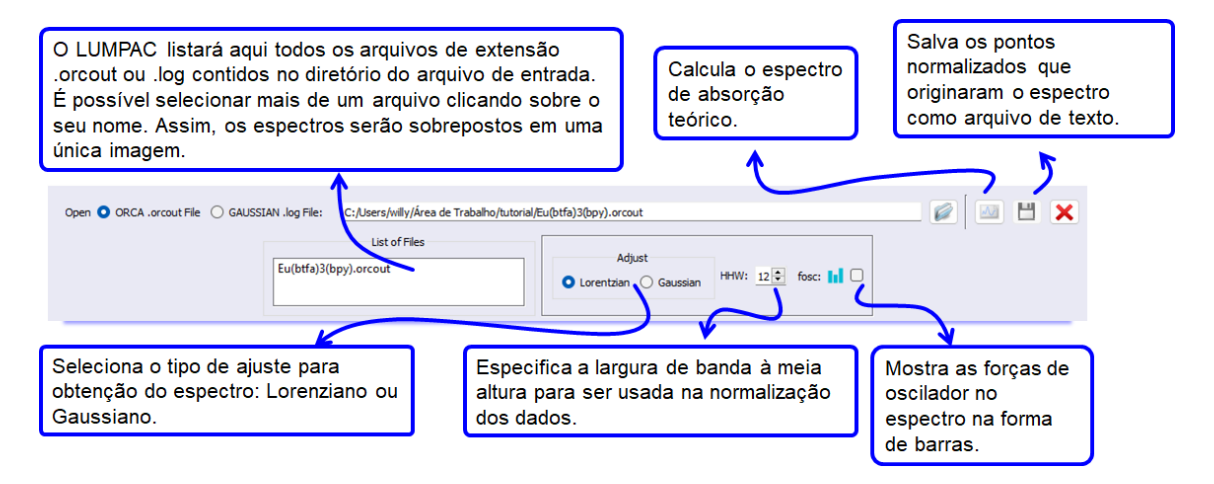


Procedimento para o Cálculo Teórico do Espectro de Absorção usando o LUMPAC

1. Clique no botão (Figura 81) para abrir o arquivo de saída do ORCA (.orcout) e selecione os arquivos listados em List of Files para gerar o espectro.

Como no módulo anterior, dados DFT calculados pelo ORCA e GAUSSIAN podem ser lidos pelo LUMPAC 2.0.

Figura 81. Interface do LUMPAC mostrando como obter o espectro de absorção a partir do arquivo de saída do ORCA.



3341

3342

3343

3344

3345

3346

3347

3348

3338 3339

> As transições eletrônicas do estado singleto fundamental para os estados singleto excitados são permitidas, cuja probabilidade de ocorrência é proporcional à força do oscilador da transição (fosc), como mostrado na Figura 82. O espectro de absorção teórico é obtido usando as forças do oscilador e as energias de excitação, aplicando uma largura de banda à meia altura arbitrária. Caso necessário, é possível alterar tanto a largura de banda quanto o intervalo de comprimento de onda, tal como definido a partir do espectro experimental.

3349

3350

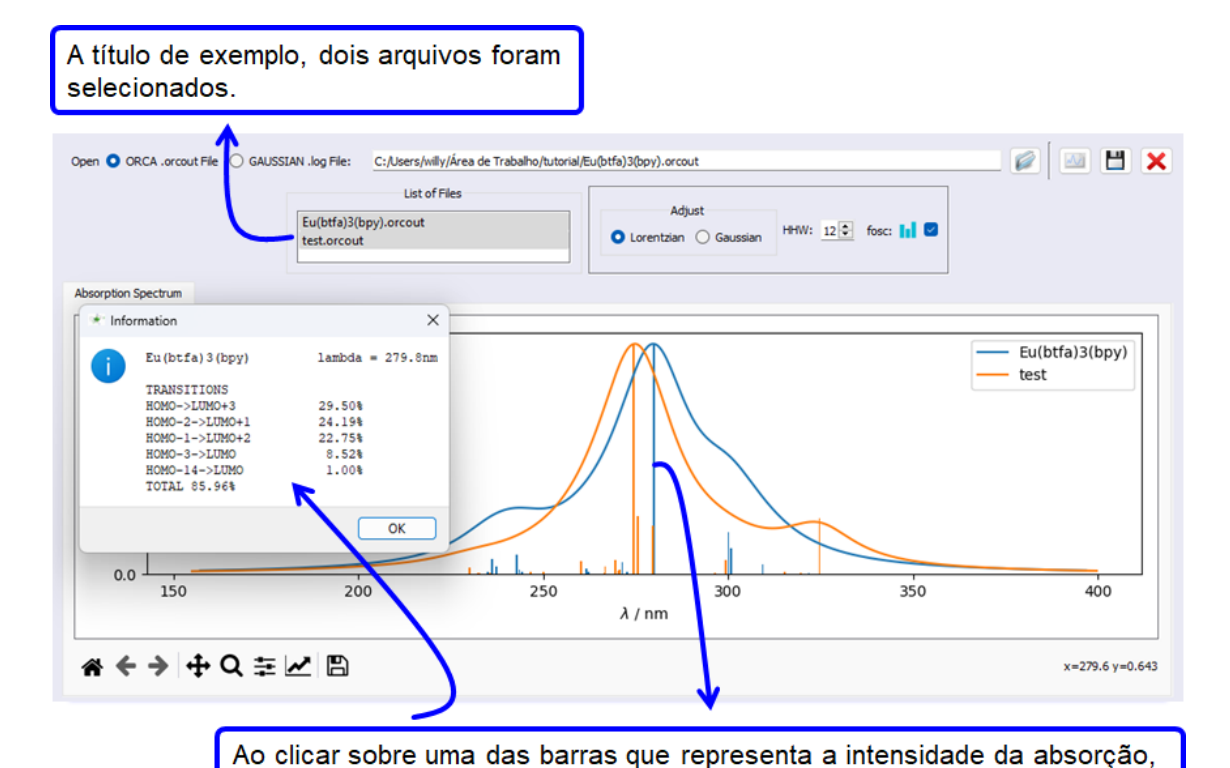
Figura 82. Seção do arquivo .orcout onde as energias singleto e as forças do oscilador das transições singleto→singleto são mostradas. Estas quantidades são usadas para obter o espectro de absorção teórico.

•••								
ABSORPTION SPECTRUM VIA TRANSITION ELECTRIC DIPOLE MOMENTS								
State	Energy (cm-1)	Wavelength (nm)	fosc	T2 (au**2)	TX (au)	TY (au)	TZ (au)	
2	31077.6 31269.4 31280.1	321.8 319.8 319.7	0.005489327 0.001656443 0.001575516	0.05815 0.01744 0.01658	0.20543 0.02418 -0.03326	-0.06040 0.12235 0.00598	0.11092 0.04342 0.12426	
_	33217.7 33259.4 33950.4	301.0 300.7 294.5	spin forbidden (mult=3) spin forbidden (mult=3) spin forbidden (mult=3)					

2. Clique no botão para executar o cálculo do espectro de absorção teórico que irá aparecer como abaixo (**Figura 83**).

A **Figura 83** mostra a seleção de dois arquivos diferentes para demonstrar a possibilidade de sobreposição entre dois espectros. Os arquivos correspondem ao arquivo de saída do ORCA contendo os estados excitados calculados para o composto [Eu(btfa)₃(bpy)] e para outro complexo genérico de Eu³⁺, adicionado ao diretório dos cálculos. Um clique sobre a barra que representa a intensidade da banda mostra a composição dos orbitais moleculares das transições mais importantes.

Figura 83. Espectro de absorção criado pelo LUMPAC e opções de visualização das propriedades das excitações.



uma janela com informações da composição dos orbitais moleculares envolvidos com a correspondente transição eletrônica é mostrada.

Módulo 4 - Visualizador de moléculas

O visualizador de moléculas é um novo módulo que foi adicionado no LUMPAC 2.0 (**Figura 84**). Este módulo permite observar, editar e salvar imagens das estruturas dos complexos estudados e dos orbitais moleculares calculados.

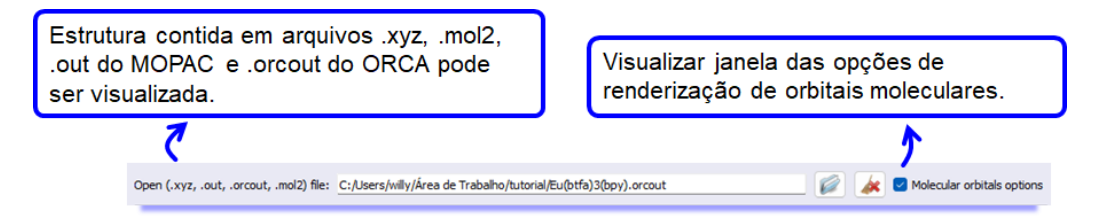
Figura 84. Módulo responsável pela visualização das moléculas.



1. Clique no botão 🔎 (**Figura 85**) para abrir o arquivo de entrada desejado.

 Ao inserir o arquivo escolhido, a estrutura será mostrada tal como no visualizador presente no módulo 1 (**Figura 52**).

Figura 85. Interface do LUMPAC para inserção do arquivo de entrada para visualização estrutural do complexo.

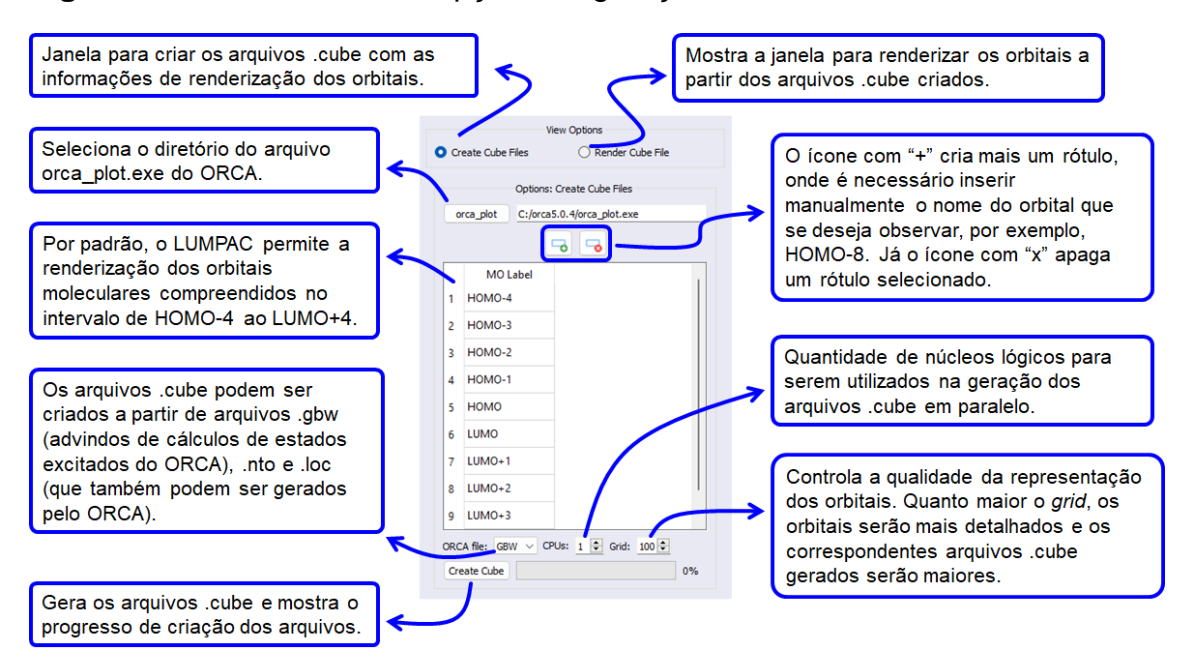


 Para visualizar os orbitais do complexo, selecione as opções ao lado direito da tela (Figura 86).

Para visualizar os orbitais moleculares com o LUMPAC 2.0, é preciso do programa utilitário orca_plot.exe (*Figura 86*). Este programa é distribuído juntamente com os demais executáveis do ORCA e encontra-se no mesmo diretório em que o programa orca.exe foi instalado. O programa orca_plot.exe cria arquivos de extensão .cube, para cada orbital escolhido, e serão salvos no

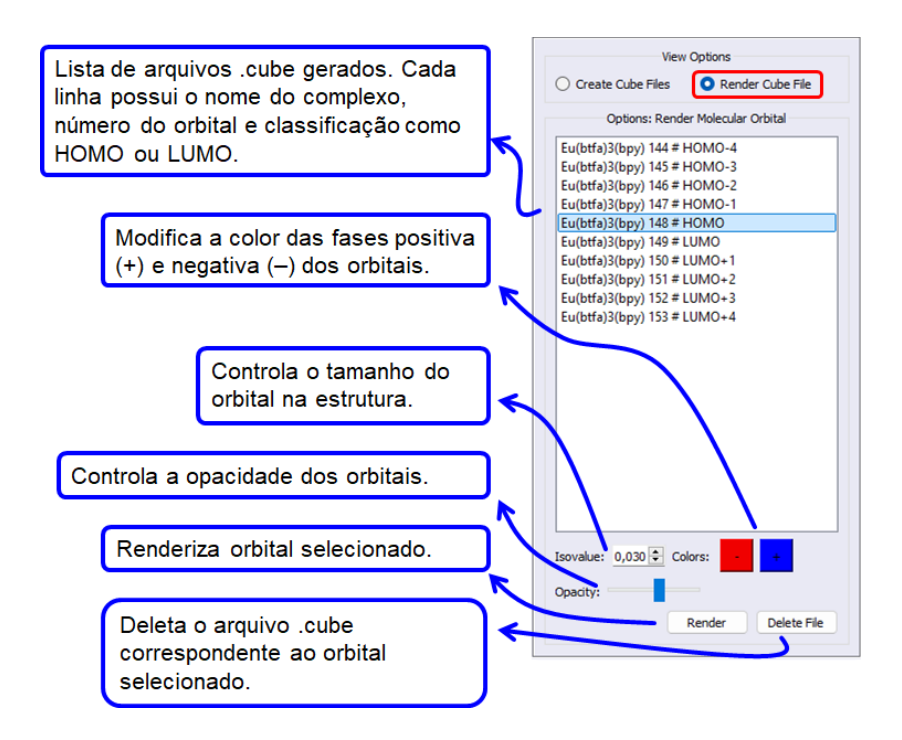
diretório onde estiverem os arquivos com informação dos orbitais (.gbw, .nto ou .loc) que são gerados automaticamente no cálculo dos estados excitados. A **Figura 86** ilustra o procedimento que deve ser aplicado para escolher os orbitais moleculares para visualização.

Figura 86. Interface com as opções de geração dos orbitais moleculares.



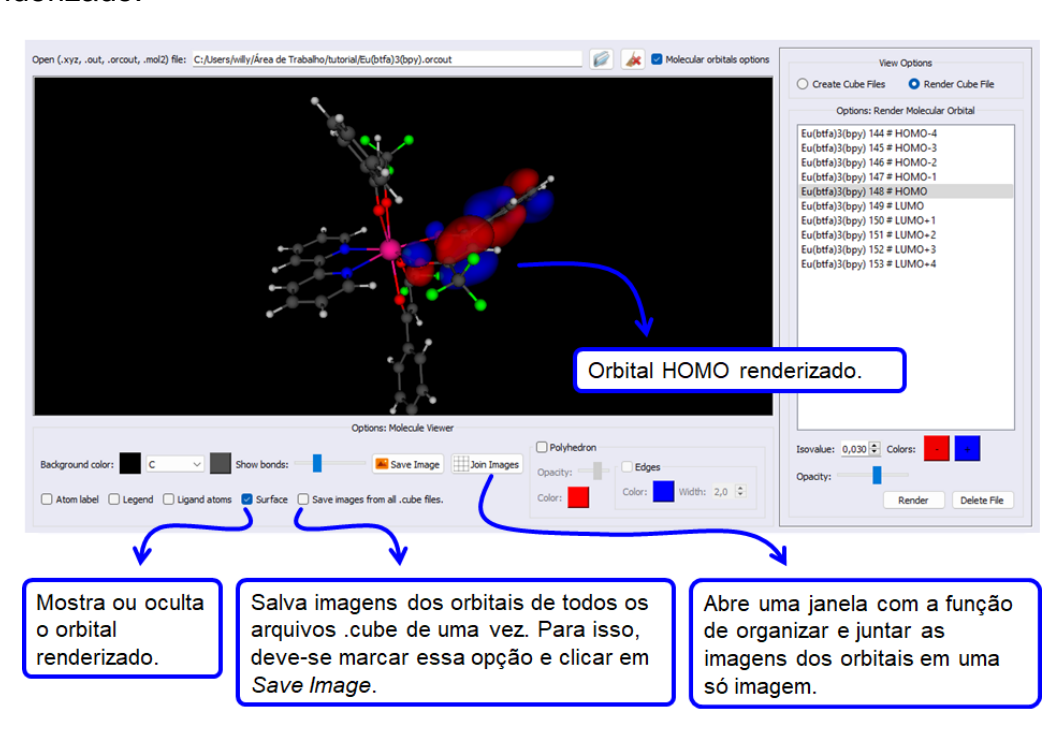
Selecione os orbitais que deseja ser renderizado, como descrito na Figura 87.

Figura 87. Interface para selecionar os orbitais moleculares que serão renderizados.



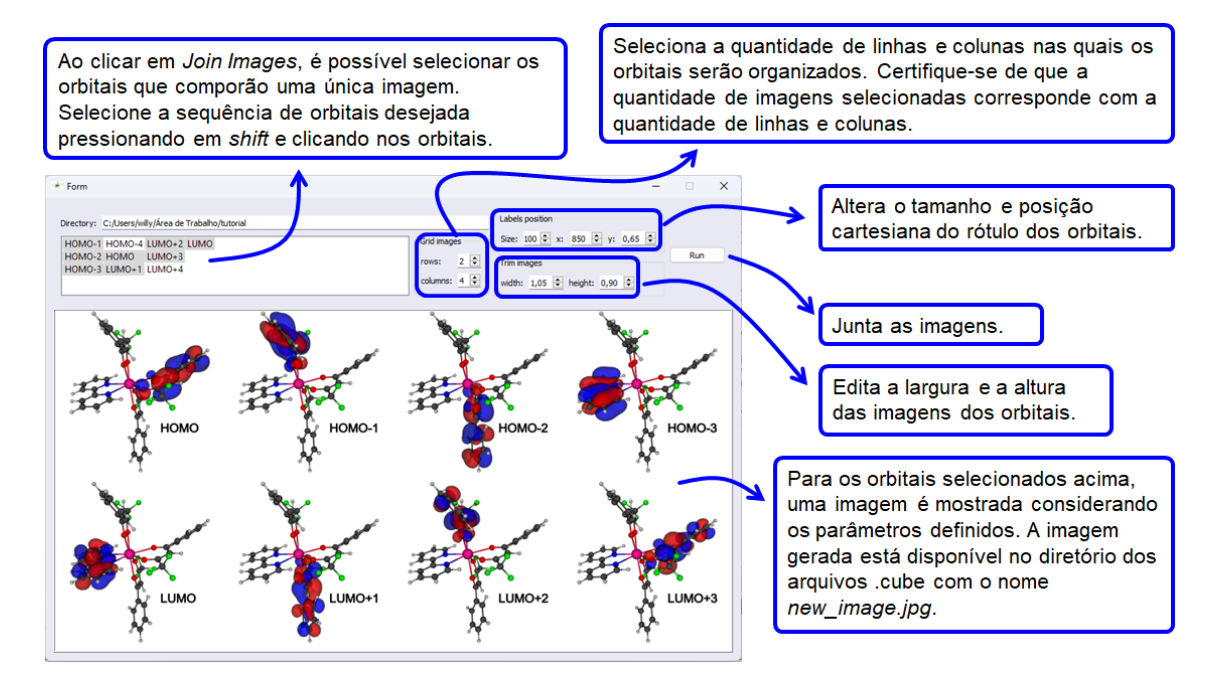
> Assim que renderizados, os orbitais serão exibidos sobrepostos à molécula (Figura 88).

Figura 88. Interface com a visualização de um dado orbital molecular renderizado.



As opções disponíveis da janela *Join Images* (**Figura 88**) estão dispostas na **Figura 89**. As imagens dos orbitais serão salvas no formato .png, enquanto o arquivo com a junção das imagens dos orbitais será salvo em um arquivo denominado new_image.jpg.

Figura 89. Interface da janela Join Images com as opções de agregamento das imagens dos orbitais.



Módulo 5 – Conversor de arquivos

A **Figura 90** mostra o módulo do LUMPAC responsável pela conversão de arquivos. A conversão pode ser feita para um só arquivo ou para múltiplos arquivos contidos em um dado diretório. A **Tabela 25** lista todas as conversões que o LUMPAC pode realizar e para cada conversão segue uma breve descrição.

Figura 90. Módulo responsável pela conversão de arquivos.

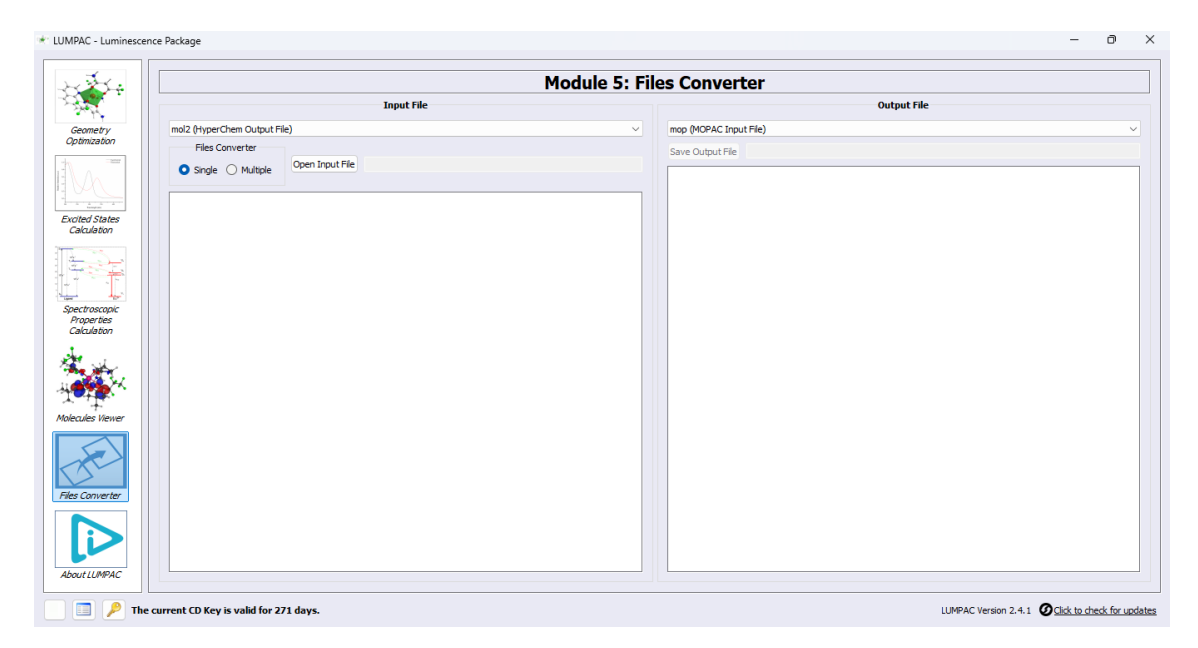


Tabela 25. Conversões de arquivos que o LUMPAC pode executar.

Arquivos de Entrada	Arquivos de Saída	Descrição
.mol2	.mop Arquivo de entrada do MOPAC.	A partir do arquivo .mol2 é gerado um arquivo de entrada do MOPAC com o modelo RM1 como padrão. Assim, usando o arquivo .mop gerado, o cálculo de otimização de geometria pode ser executado externamente ao LUMPAC.
	.orcinp Arquivo de entrada do ORCA.	A partir do arquivo .mol2 é gerado um arquivo de entrada para o programa ORCA para cálculos semiempíricos com o INDO/S-CIS, DFT e TD-DFT (Figura 91). Dessa forma, o usuário pode executar otimizações geométricas com DFT e cálculo dos estados excitados externamente ao LUMPAC.
.log Arquivo de saída do Gaussian	.spec Arquivo com propriedades espectroscópicas.	Extrai propriedades espectroscópicas de arquivos de saída do GAUSSIAN.
	.txt Arquivo com espectro de absorção teórico.	A partir do arquivo de saída do GAUSSIAN, o espectro de absorção teórico é extraído, possibilitando a escolha da largura de banda à meia altura, o mínimo e o máximo comprimento de onda do espectro.

.out

Arquivo de saída do MOPAC.

.gjf

Arquivo de entrada para o GAUSSIAN.

A partir da geometria otimizada com o MOPAC, um arquivo de entrada para o GAUSSIAN é gerado para cálculos DFT com o método B3LYP.

.mop

Arquivo de entrada do MOPAC.

Usando o arquivo de saída do MOPAC (.out) é gerado um arquivo de entrada do MOPAC.

.orcinp

Arquivo de entrada do ORCA.

A partir do arquivo de saída do MOPAC é gerado um arquivo de entrada para o ORCA para cálculos semiempíricos com INDO/S-CIS, DFT e TD-DFT (**Figura 91**).

.sph

Arquivo com coordenadas esféricas.

As coordenadas cartesianas otimizadas pelo MOPAC são convertidas em coordenadas esféricas. Nessa conversão o íon Ln³+ do topo do arquivo .out é tomado como referência.

.zmt

Arquivo com coordenadas internas.

As coordenadas cartesianas otimizadas pelo MOPAC são convertidas em coordenadas internas de modo que coordenadas otimizadas possam visualizadas ser em outros programas.

.orcout

Arquivo de saída do ORCA.

.gjf

Arquivo de entrada para o GAUSSIAN.

A partir da geometria otimizada, um arquivo de entrada para o GAUSSIAN é gerado para cálculos DFT com o método B3LYP.

.mop

Arquivo de entrada do MOPAC.

Usando o arquivo de saída do ORCA (.orcout), seja semiempírico ou DFT, é gerado um arquivo de entrada do MOPAC.

.orcinp

Arquivo de entrada do ORCA.

A partir do arquivo de saída do ORCA é gerado outro arquivo de entrada para o programa ORCA para cálculos semiempíricos com INDO/S-CIS, DFT e TD-DFT (**Figura 91**).

.spec

Arquivo com as propriedades espectroscópicas.

Através dessa conversão os estados excitados calculados pelo ORCA são extraídos. Os parâmetros R_L para os estados excitados são calculados.

.sph Arquivo com coordenadas esféricas. As coordenadas cartesianas otimizadas do arquivo de saída do ORCA são convertidas em coordenadas esféricas. Nessa conversão o íon Ln³+ do topo do arquivo é tomado como referência.

.txt

Arquivo com espectro de absorção teórico.

A partir do arquivo de saída do ORCA, extrai o espectro de absorção teórico, possibilitando a escolha da largura de banda à meia altura, o mínimo e o máximo comprimento de onda do espectro.

.zmt Arquivo com coordenadas internas. As coordenadas cartesianas otimizadas pelo ORCA em cálculos DFT são convertidas em coordenadas internas de modo que as coordenadas otimizadas possam ser visualizadas em outros programas.

3434

3435

3436

3437

3438

3439

3440

3441

3442

3443

3444

3445

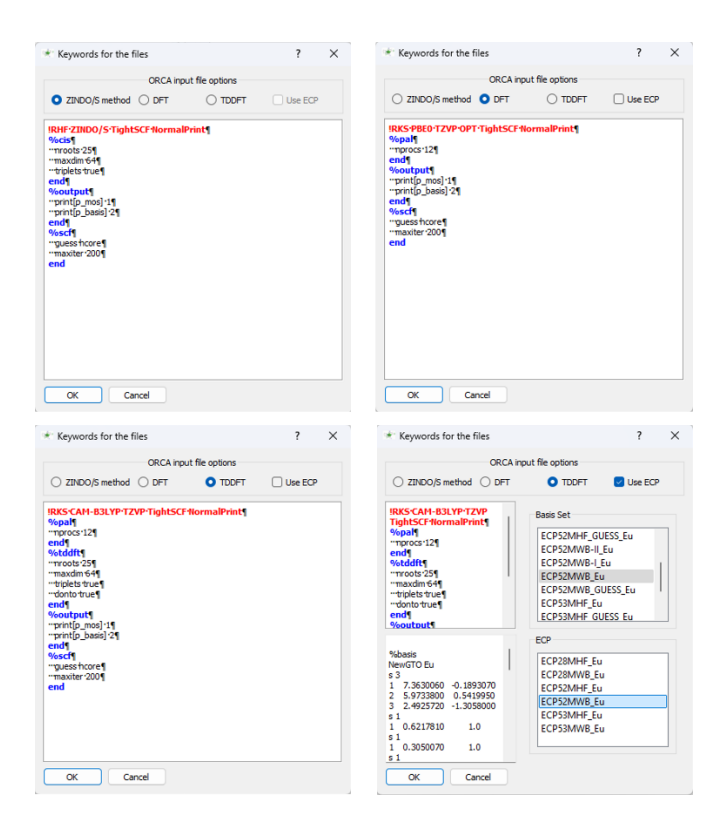
3446

3447

3448

Dentre as opções de arquivos de entrada para o ORCA (**Figura** 91), é possível selecionar cálculos INDO/S-CIS com as palavras-chave padrões utilizadas no módulo 2 do LUMPAC. Selecionando a opção DFT, será criado um arquivo para otimização geométrica utilizando, por padrão, o funcional híbrido PBE1PBE (PBE0) com a função de base TZVP. Selecionando a opção TDDFT, outro arquivo para cálculo DFT será criado, desta vez para cálculo dos estados excitados singleto e tripleto utilizando o funcional híbrido CAM-B3LYP com base TZVP, calculando 25 transições (ou raízes, "*nroots* 25") e os arquivos dos orbitais de transições naturais ("*donto true*"). Qualquer uma dessas palavras-chave presentes na **Figura** 91 podem ser editadas diretamente nas janelas e fica a critério do usuário a mudança de parâmetros dos cálculos. Para qualquer cálculo DFT (otimização geométrica ou estado excitado) com íons Eu³⁺, um banco de dados de ECPs pode ser selecionado para representação do Eu³⁺ clicando na opção ECP.

Figura 91. Opções de arquivos de entrada para o ORCA assim que selecionado o arquivo de saída para .orcinp (ORCA Input File) e clicando em Save Output File



Módulo 6 - Sobre o LUMPAC

Não se trata propriamente de um módulo, mas de informações sobre o programa e da equipe responsável pelo desenvolvimento do LUMPAC 2.0 (Figura 92).

Figura 92. Interface do último módulo do LUMPAC, com informações dos desenvolvedores, instituição e bibliotecas usadas no desenvolvimento do LUMPAC 2.0.

